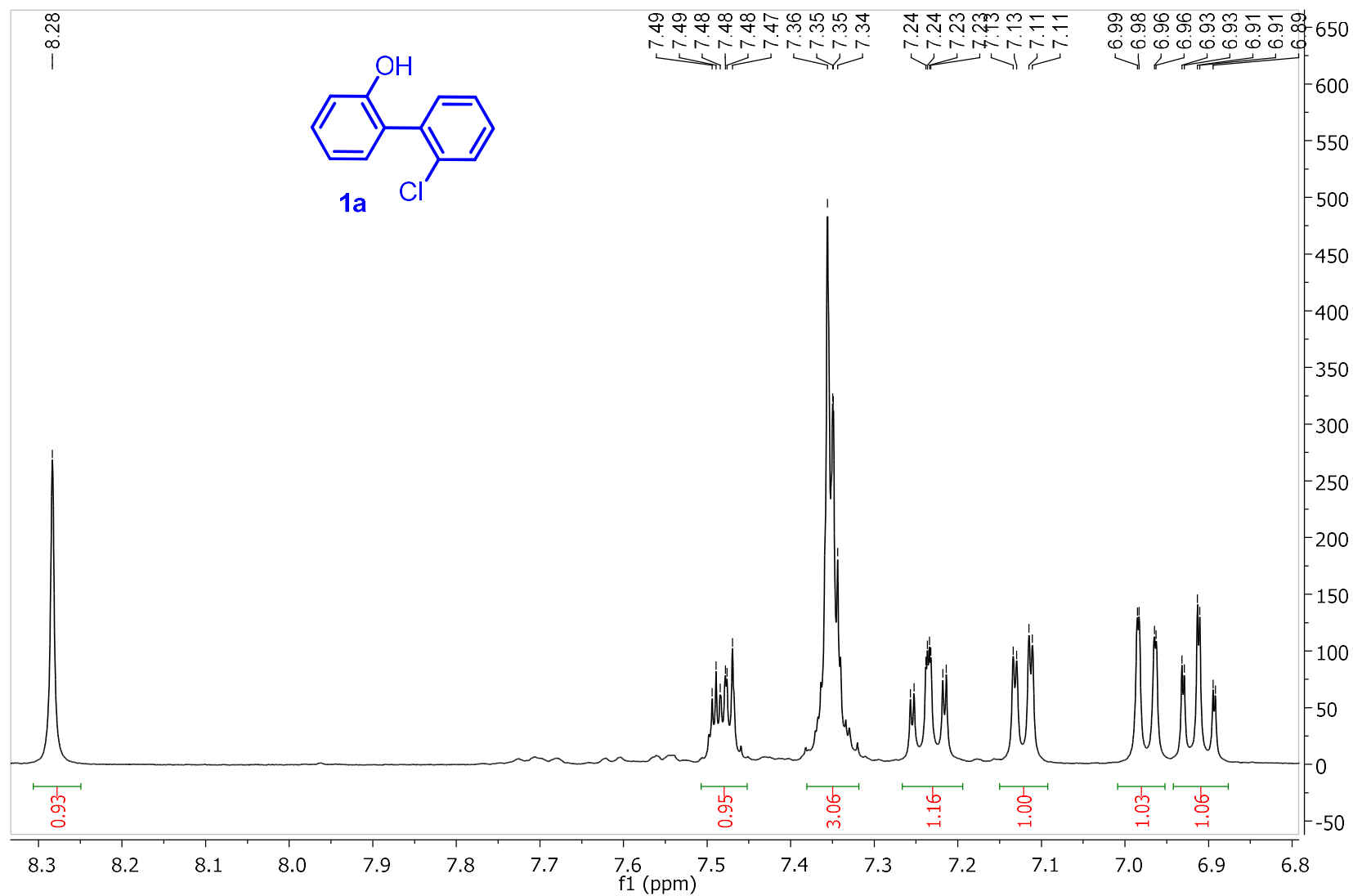
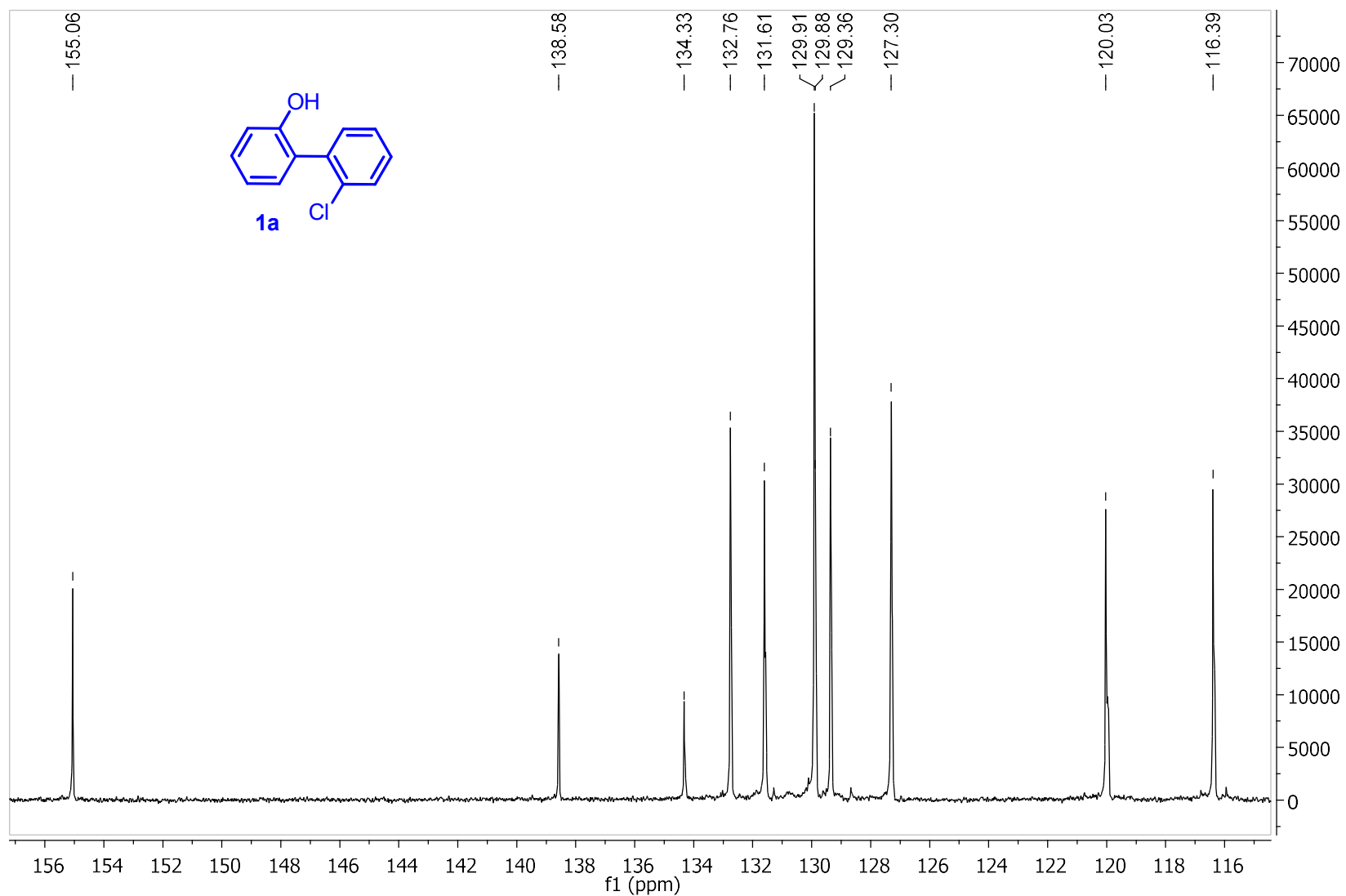

ANEXOS



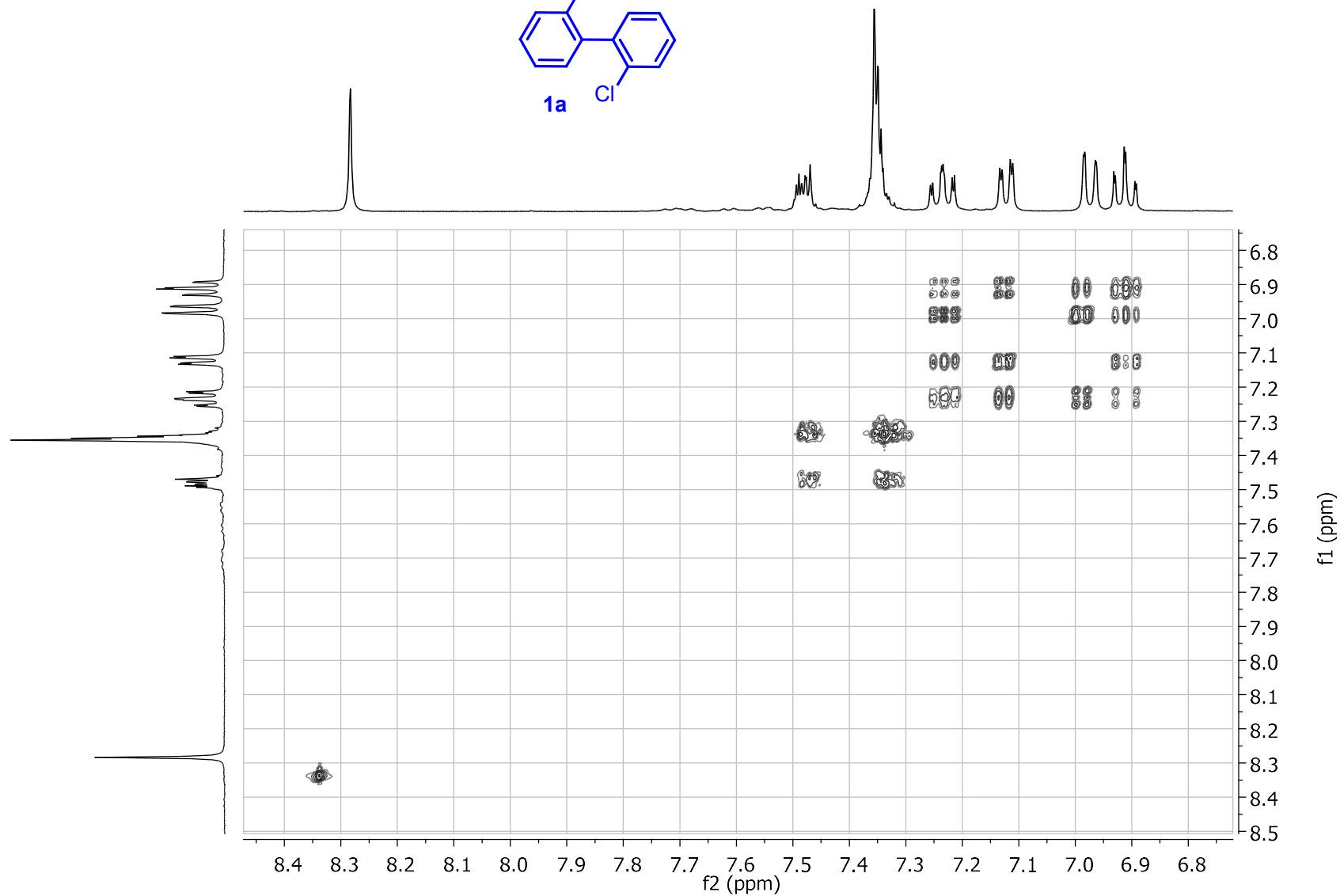
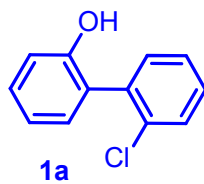
2'-cloro-[1,1'-bifenil]-2-ol (1a).
¹H-NMR (400 MHz, acetona-d₆)



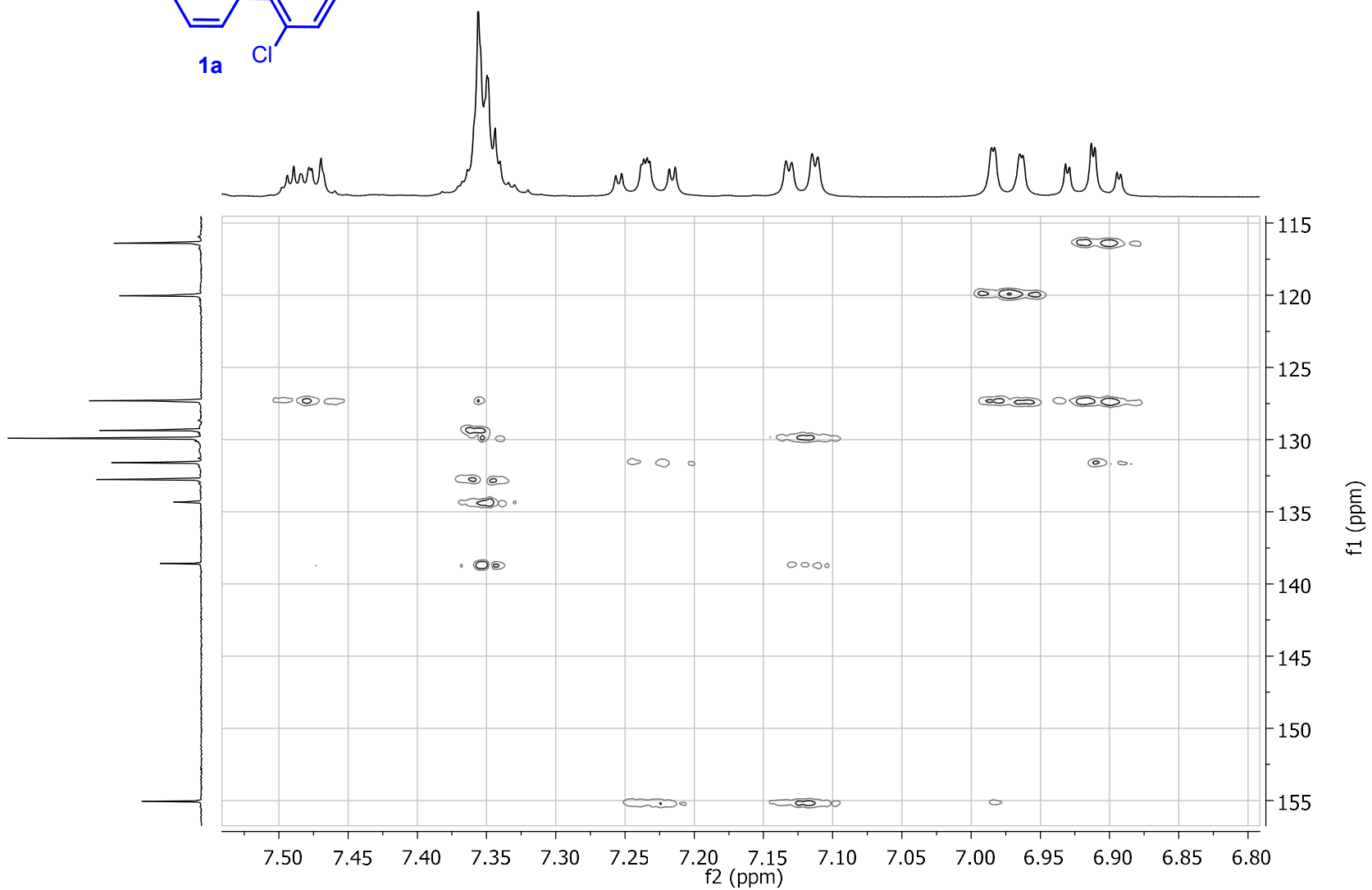
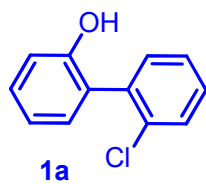
¹³C-NMR (100 MHz, acetona-d₆)



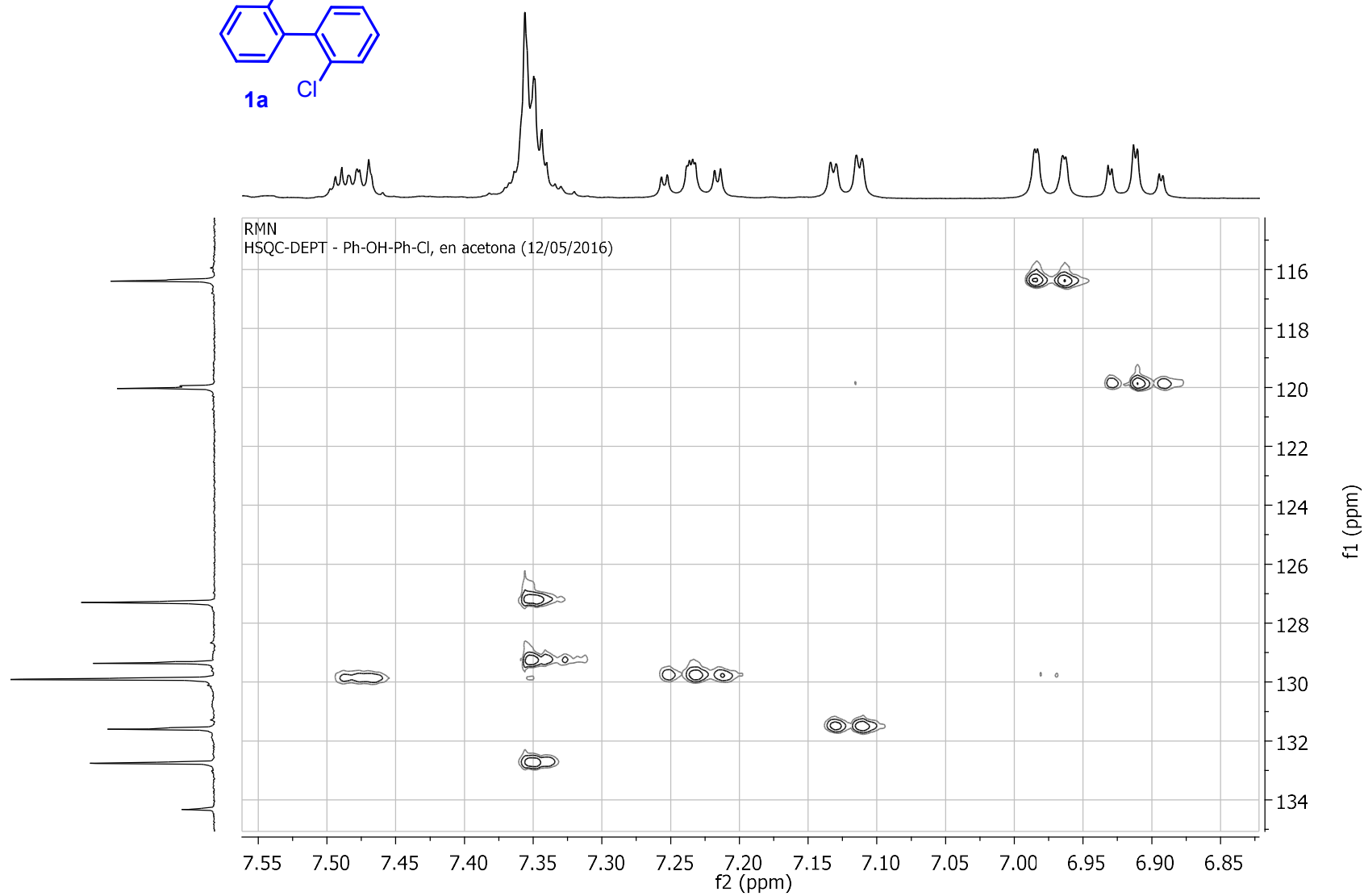
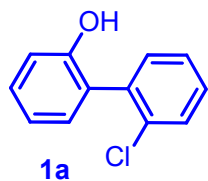
COSY



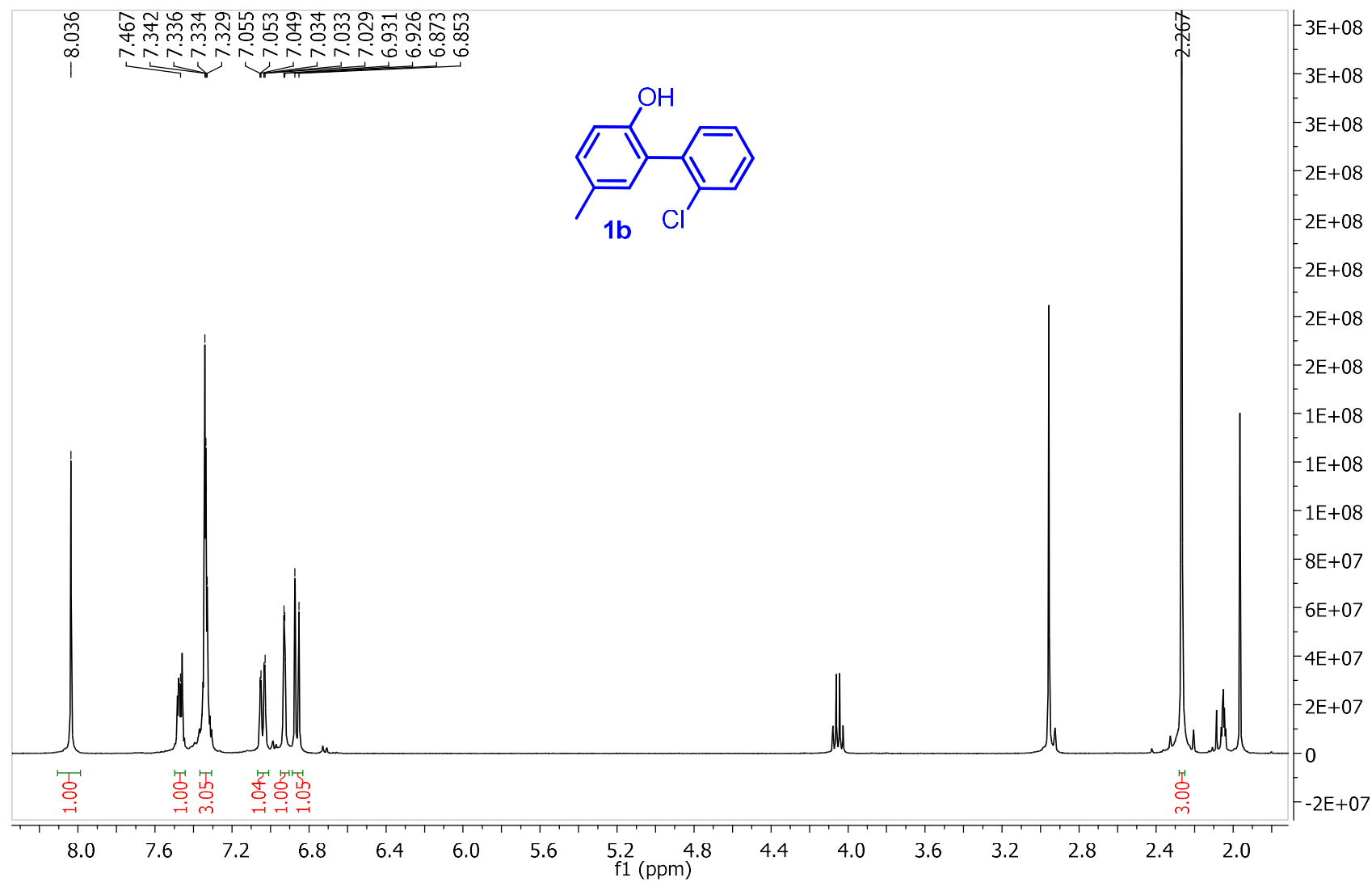
HMBC



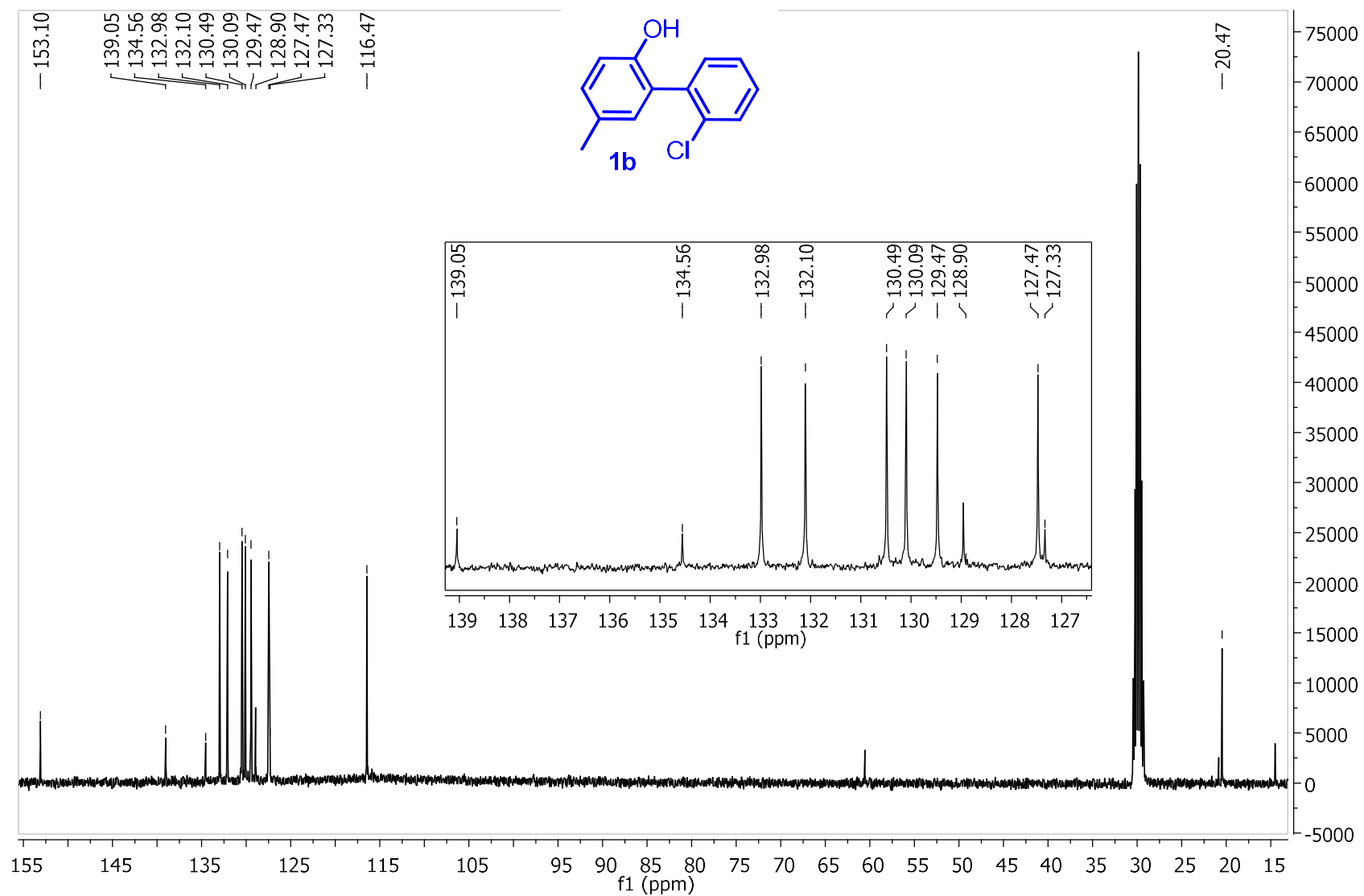
HSQC-DEPT



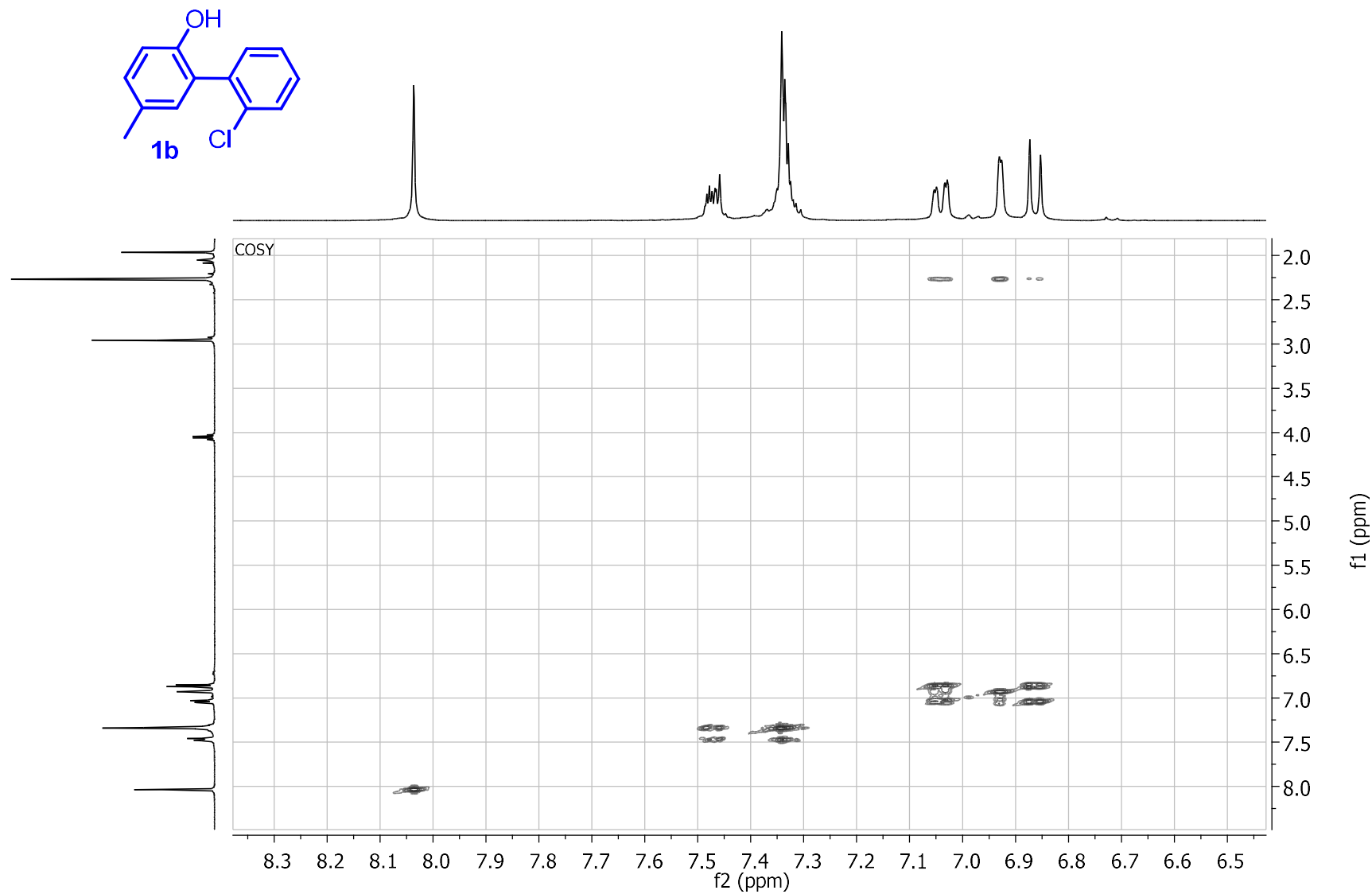
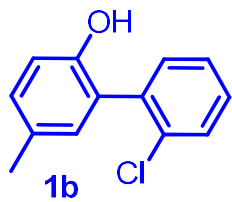
2'-cloro-5-metil-[1,1'-bifenil]-2-ol (1b).
¹H-NMR (400 MHz, acetona-d₆)



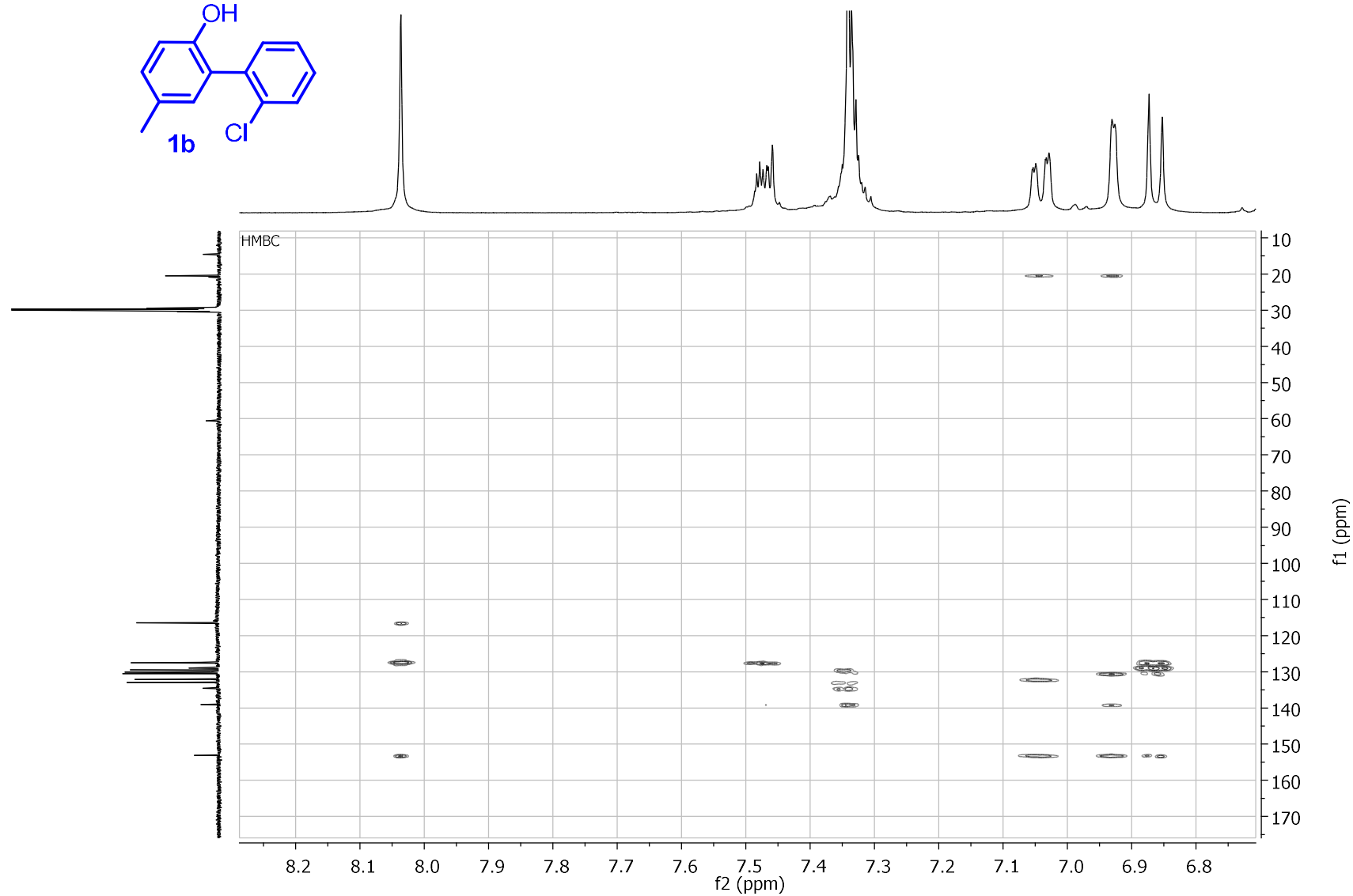
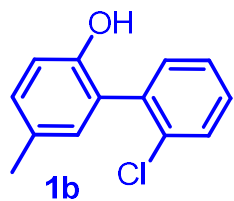
¹³C-NMR (100 MHz, acetona-d₆)



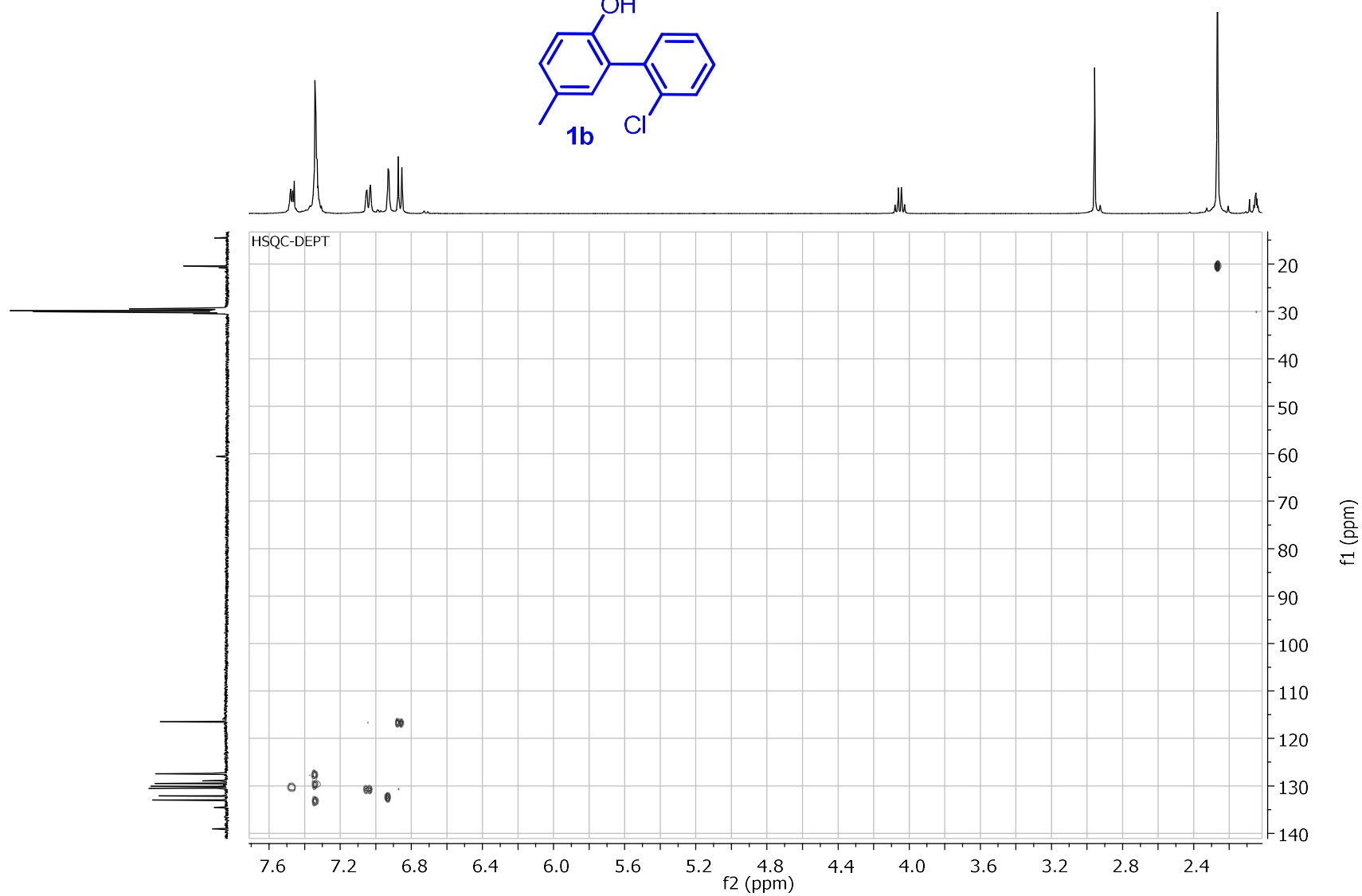
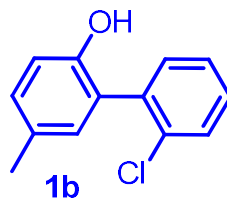
COSY



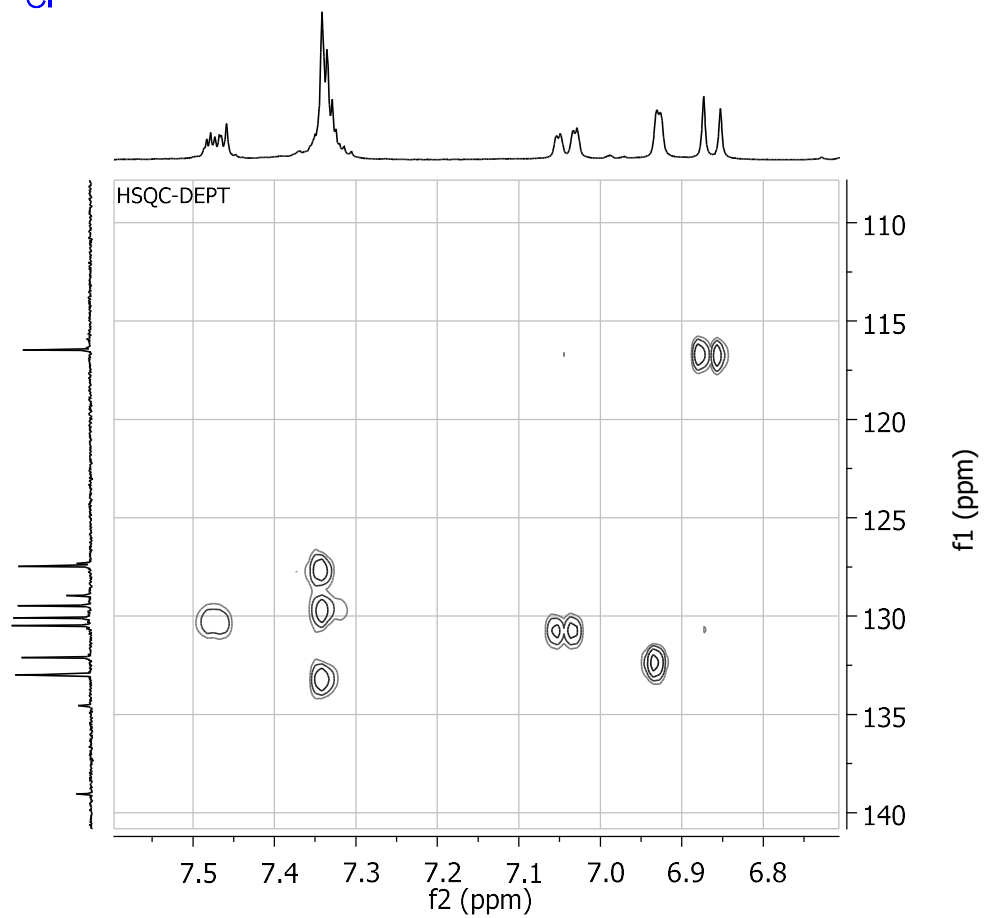
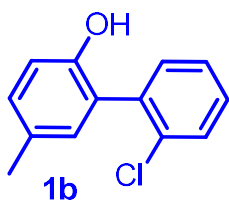
HMBC



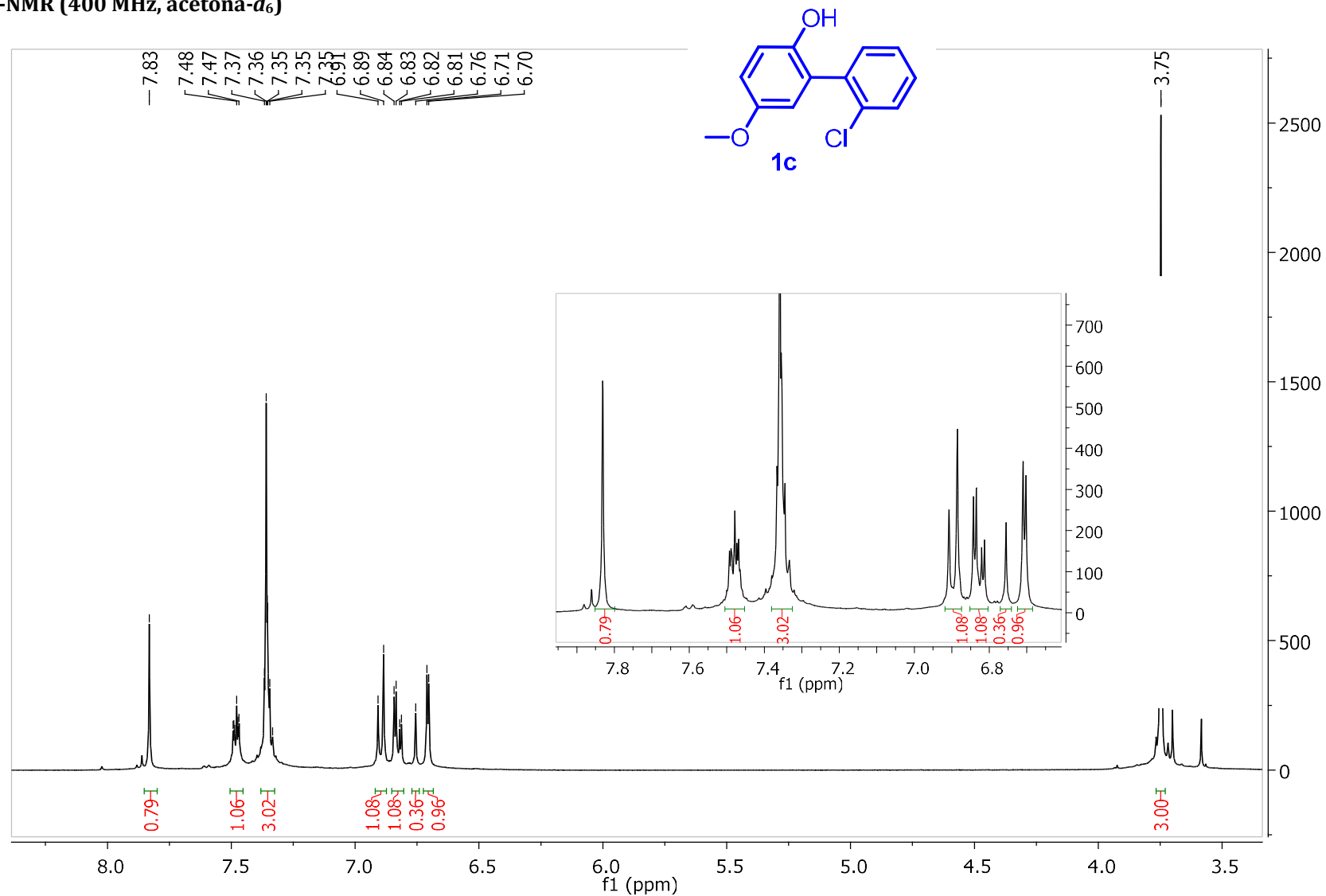
HSQC-DEPT



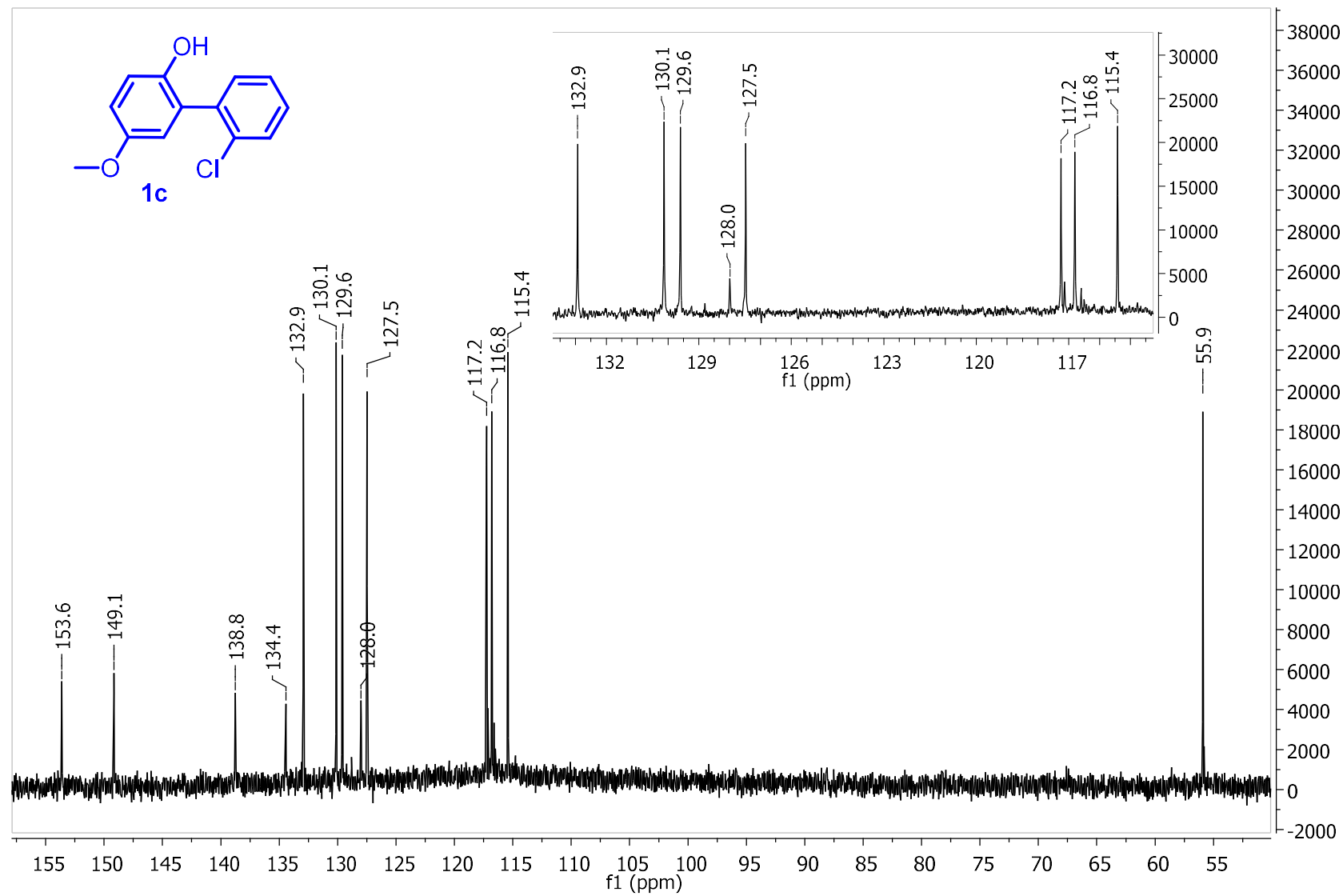
HSQC-DEPT



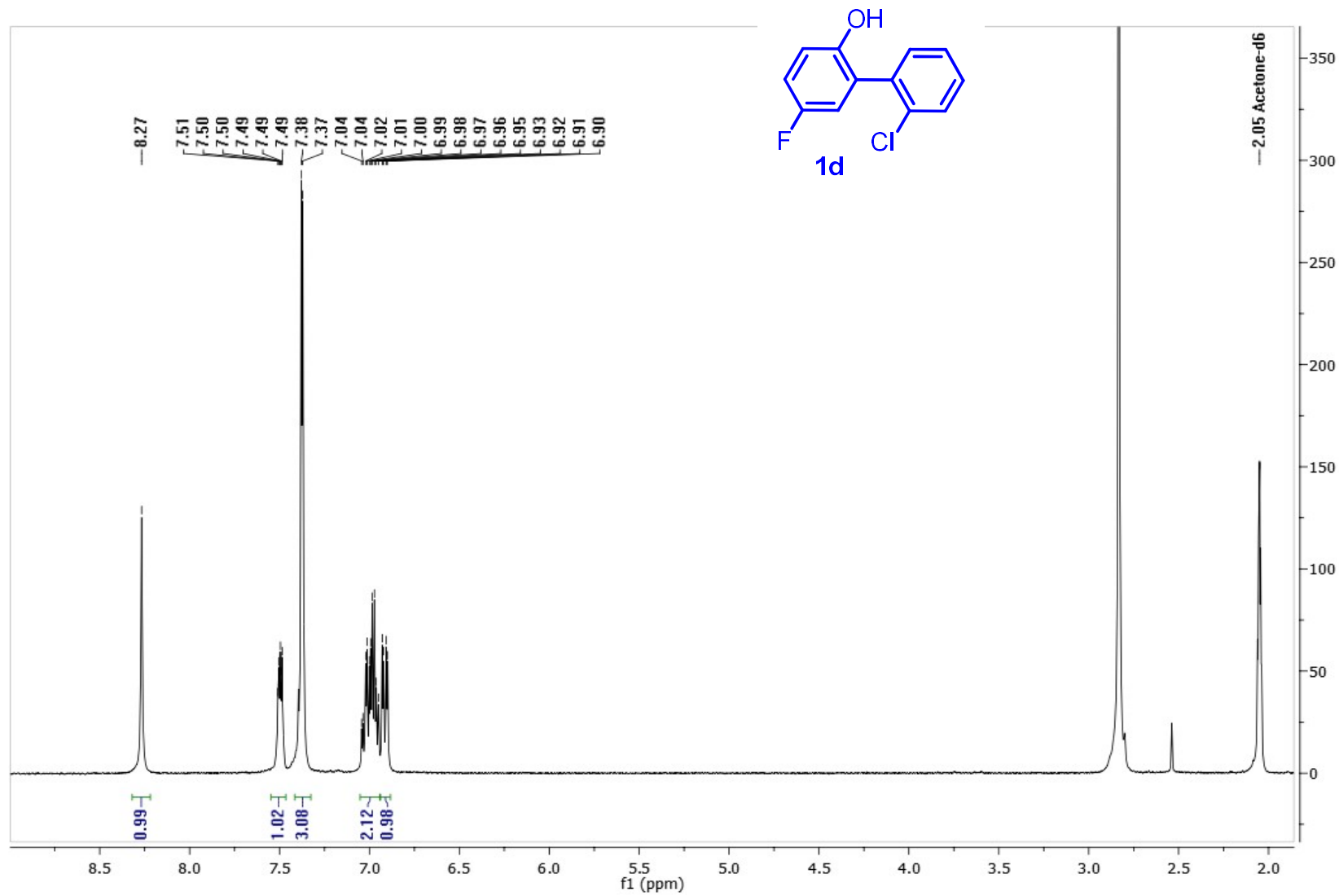
2'-cloro-5-metoxi-[1,1'-bifenil]-2-ol (1c).
¹H-NMR (400 MHz, acetona-d₆)



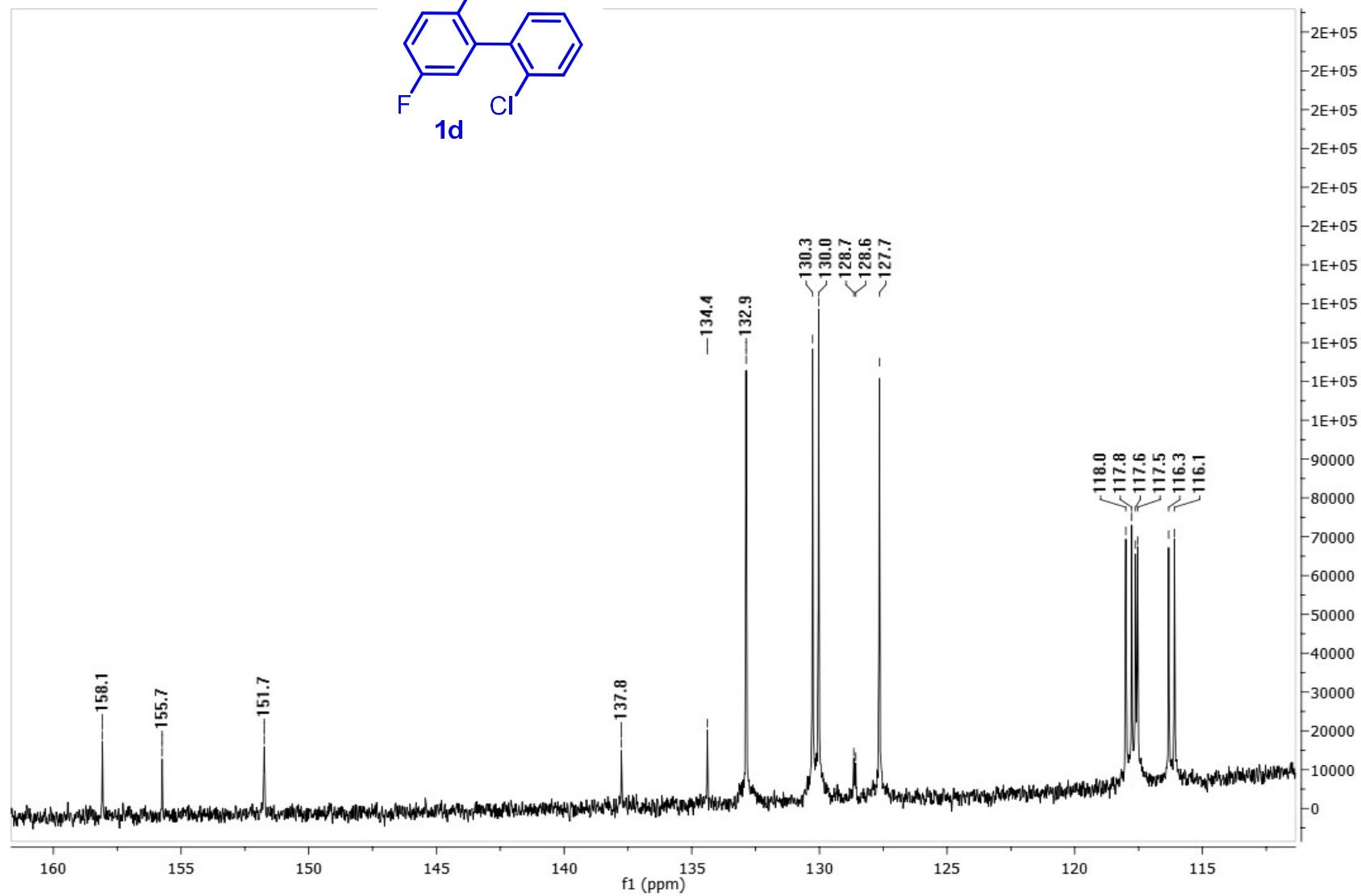
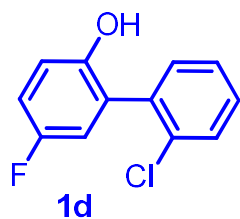
¹³C-NMR (100 MHz, acetona-d₆)



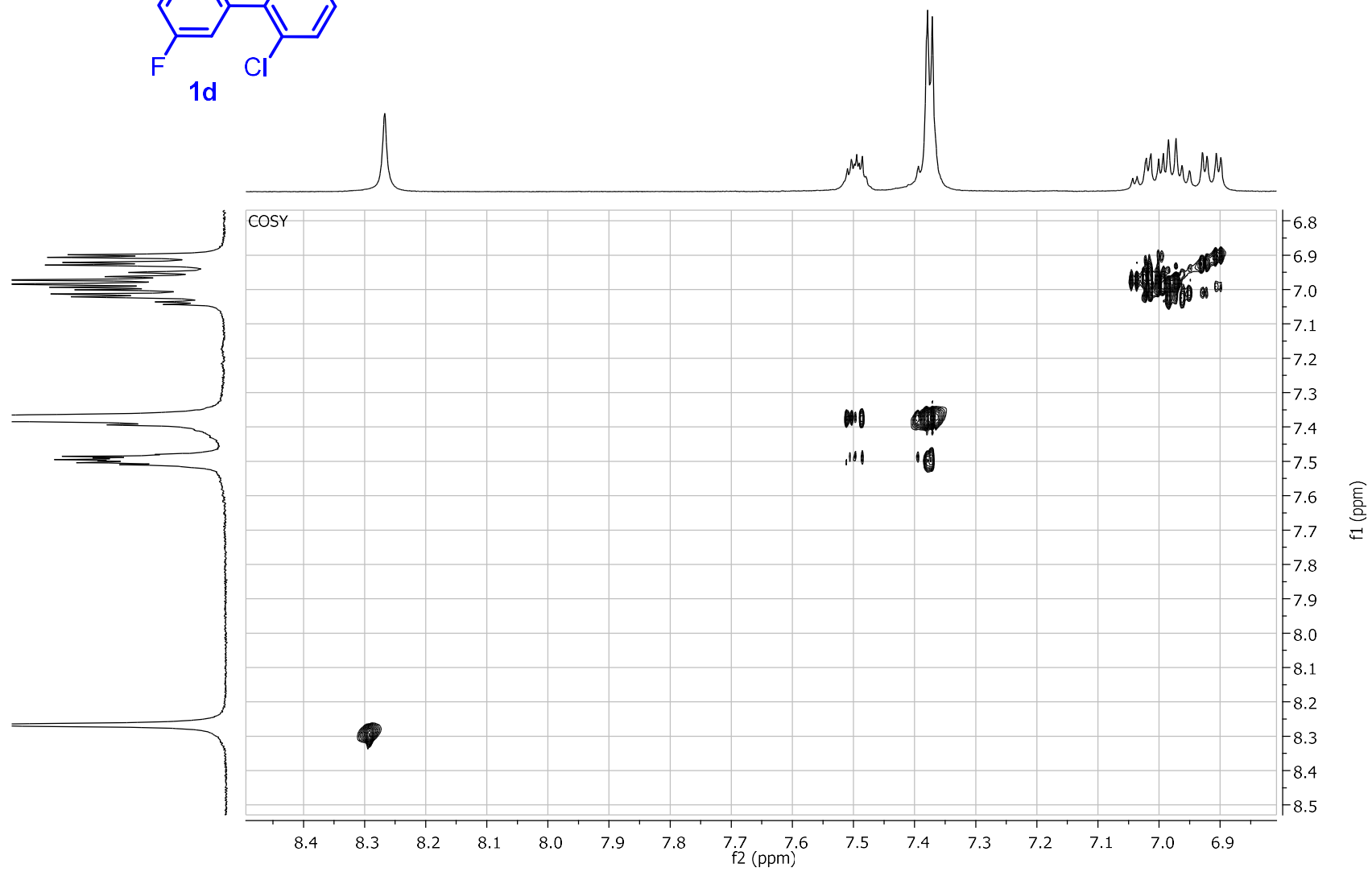
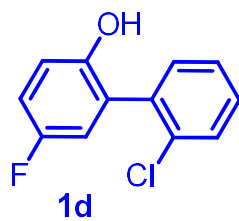
2'-cloro-5-fluoro-[1,1'-bifenil]-2-ol (1d).
¹H-NMR (400 MHz, acetona-d₆)



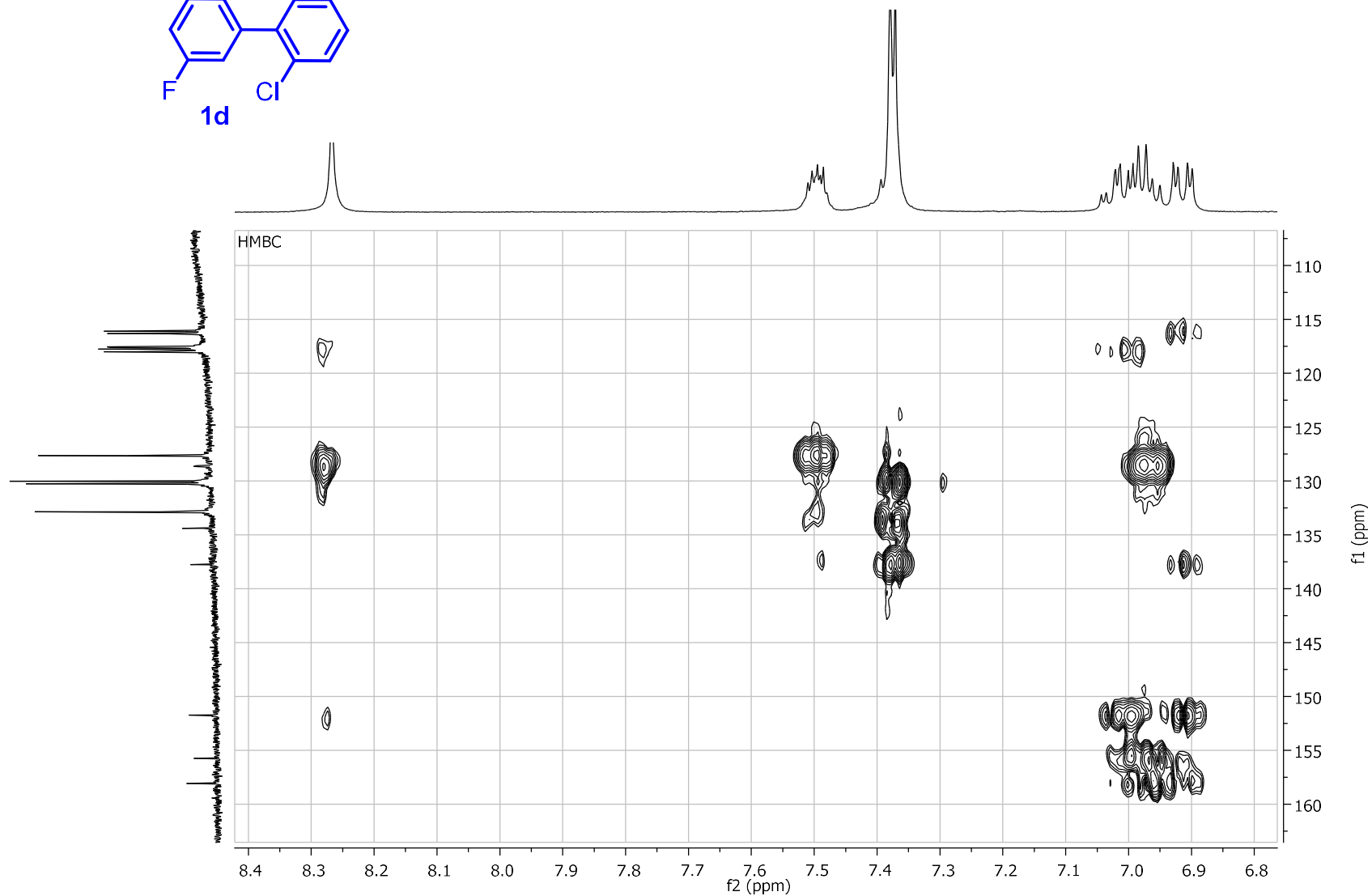
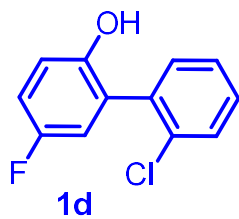
^{13}C -NMR (100 MHz, acetona- d_6)



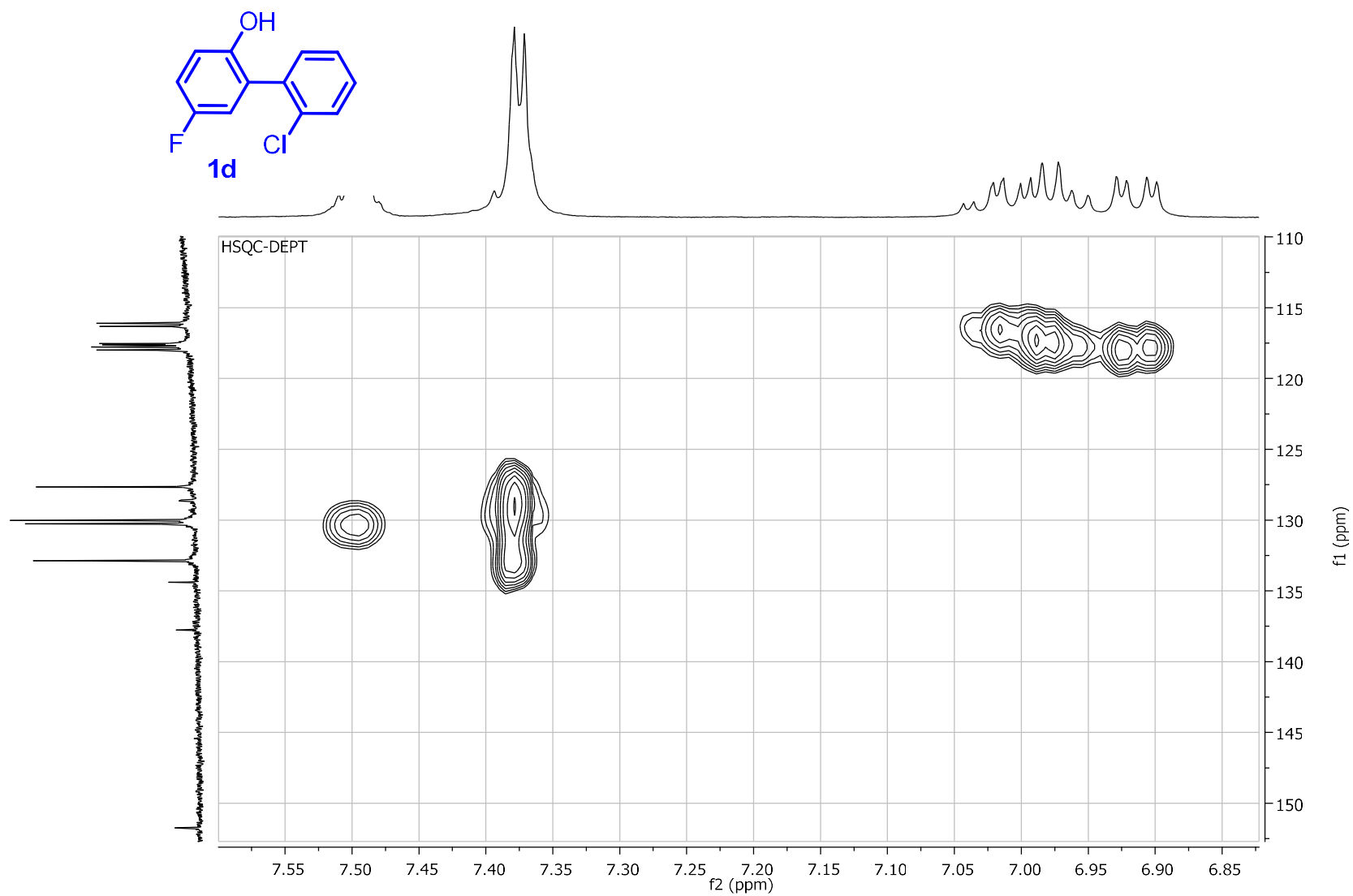
COSY



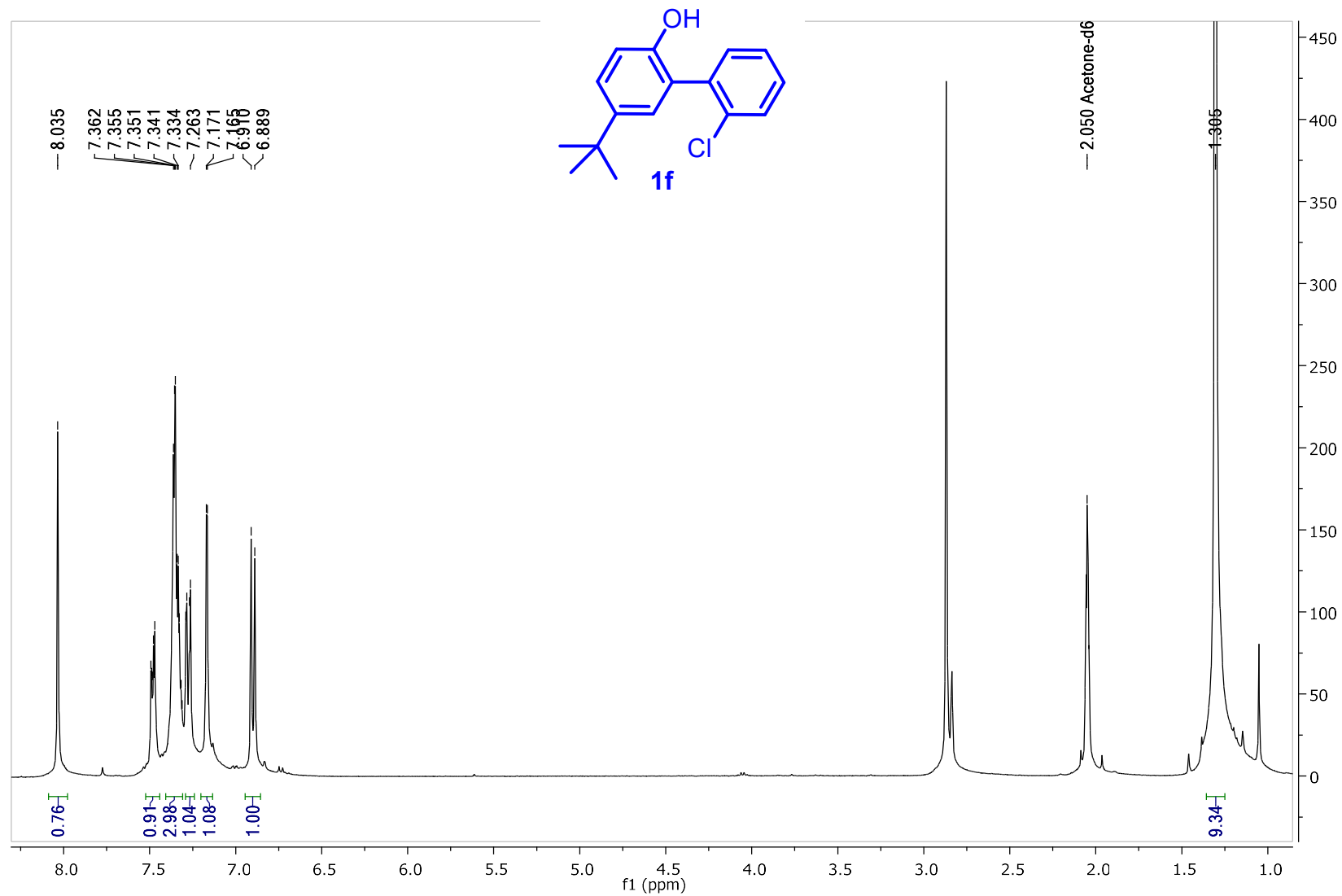
HMBC



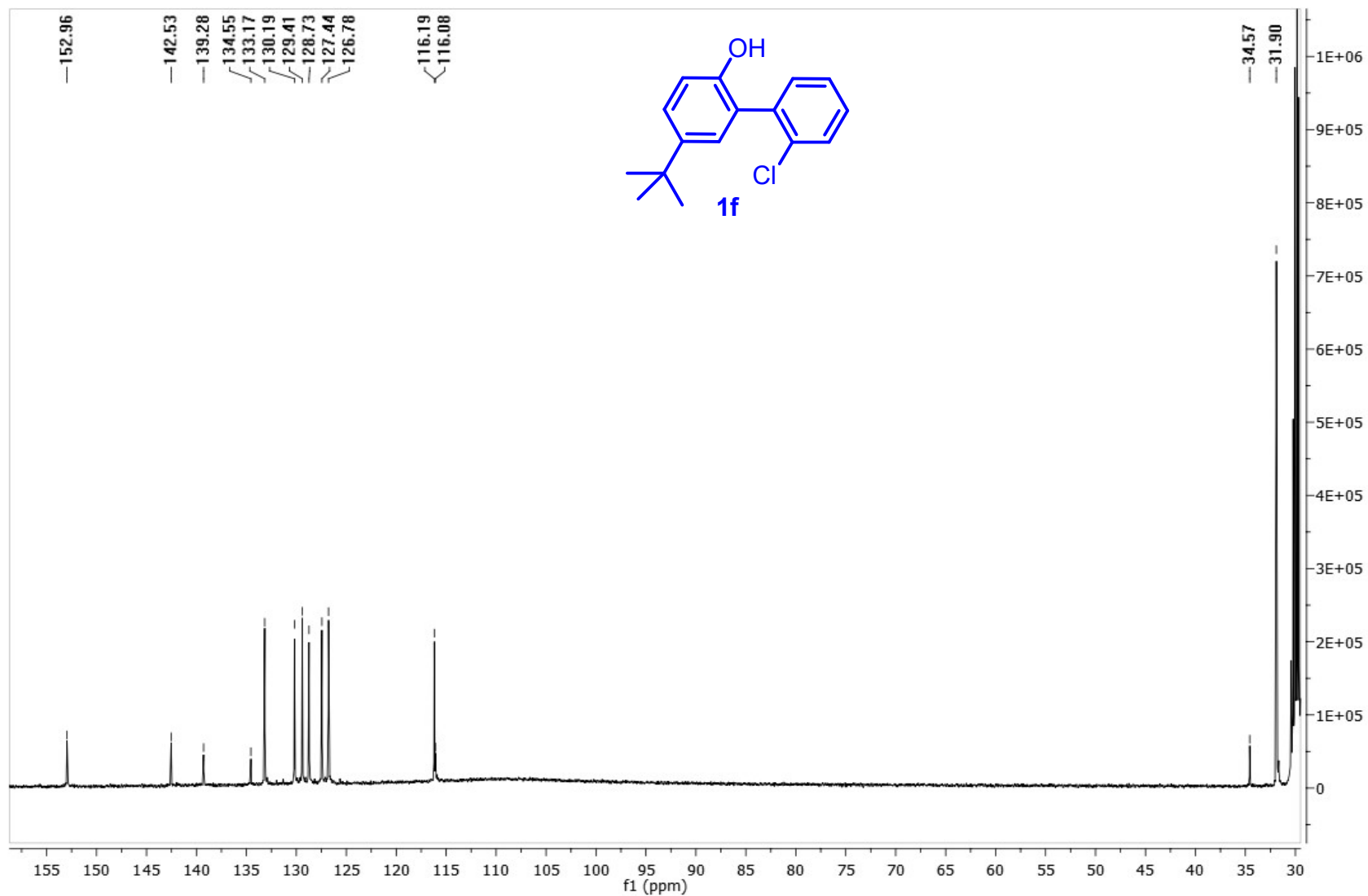
HSQC-DEPT



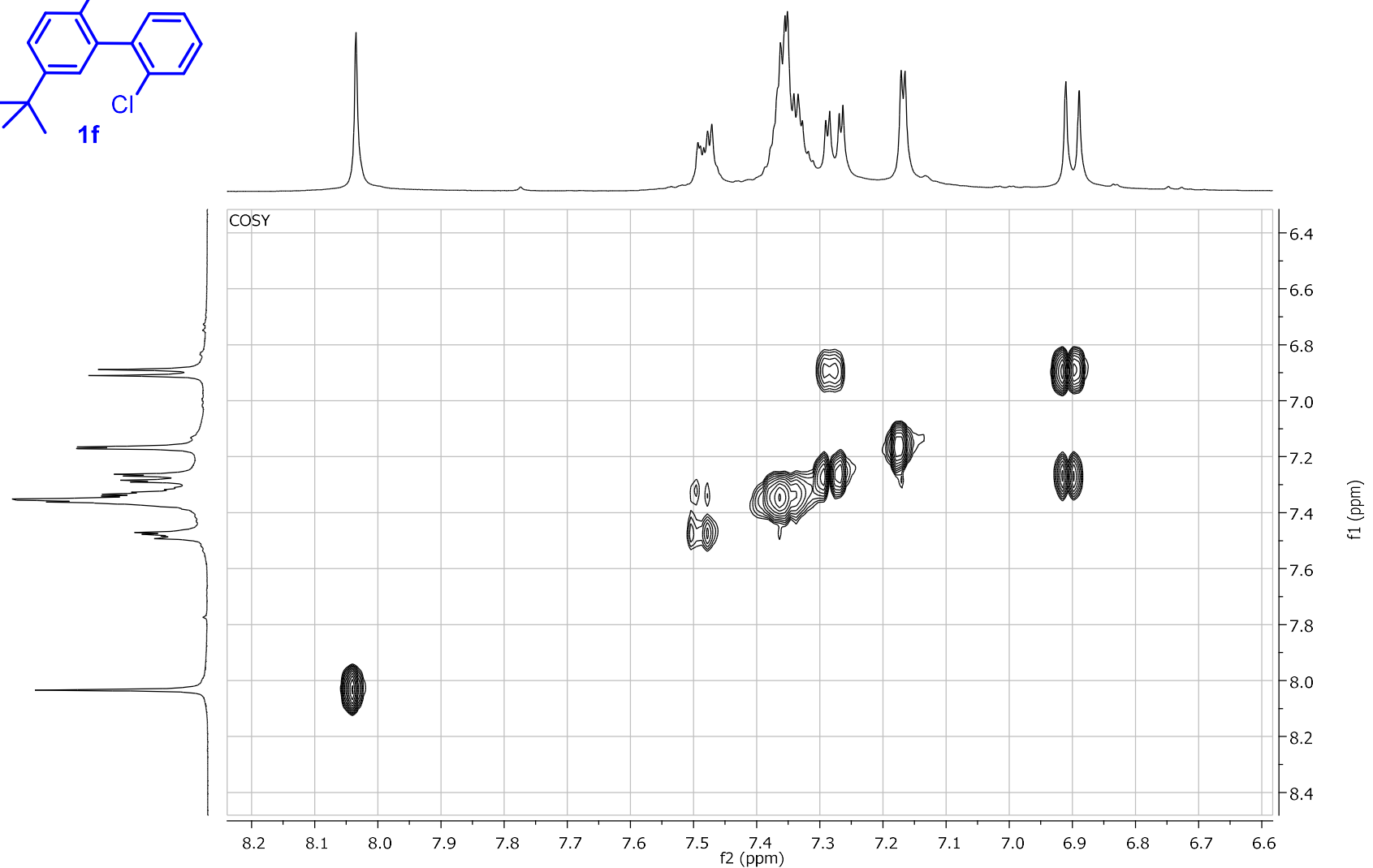
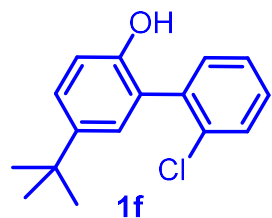
5-(*tert*-butil)-2'-cloro-[1,1'-bifenil]-2-ol (1f).
¹H-NMR (400 MHz, acetona-*d*₆)



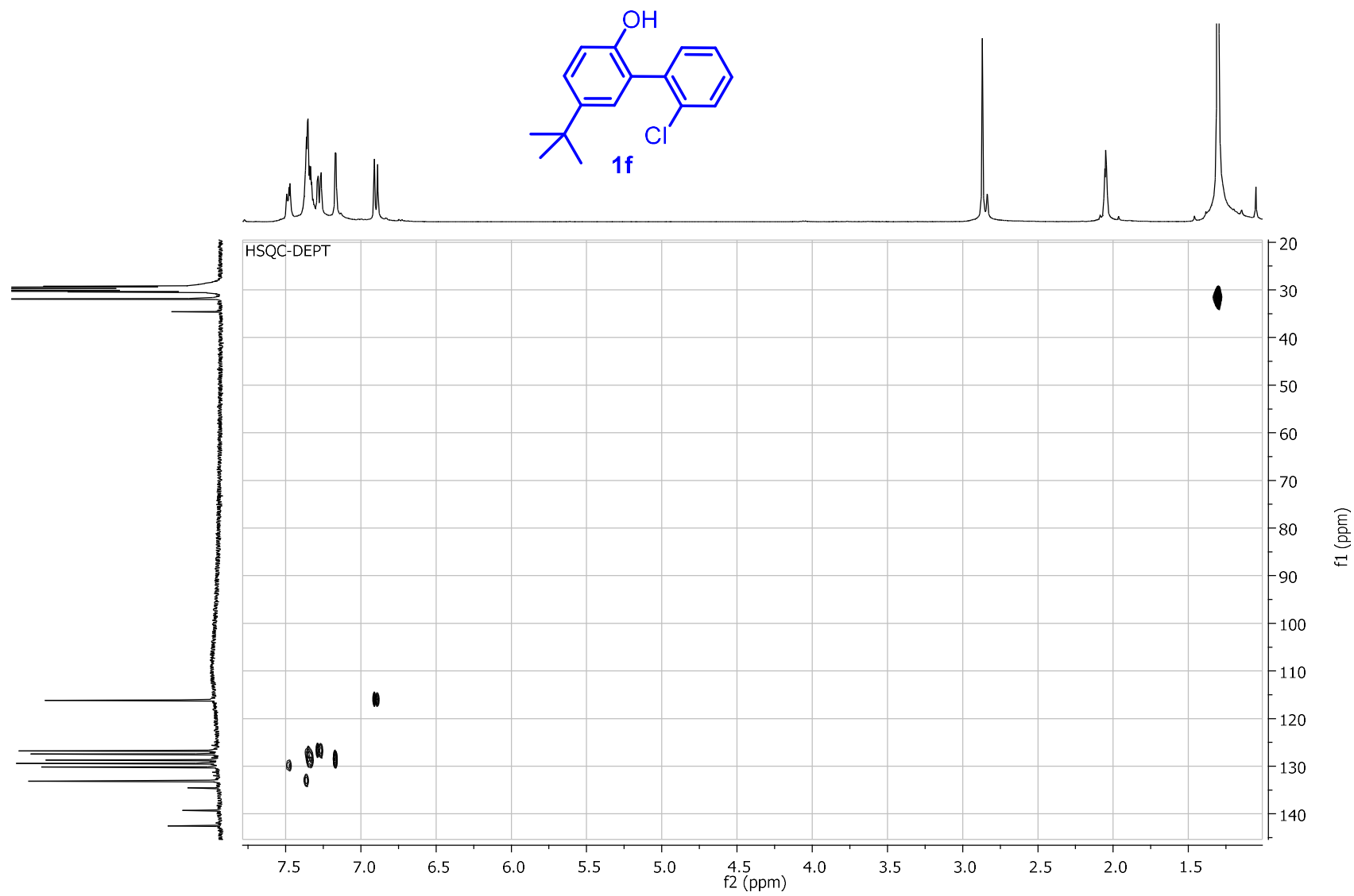
¹³C-NMR (100 MHz, acetona-d₆)



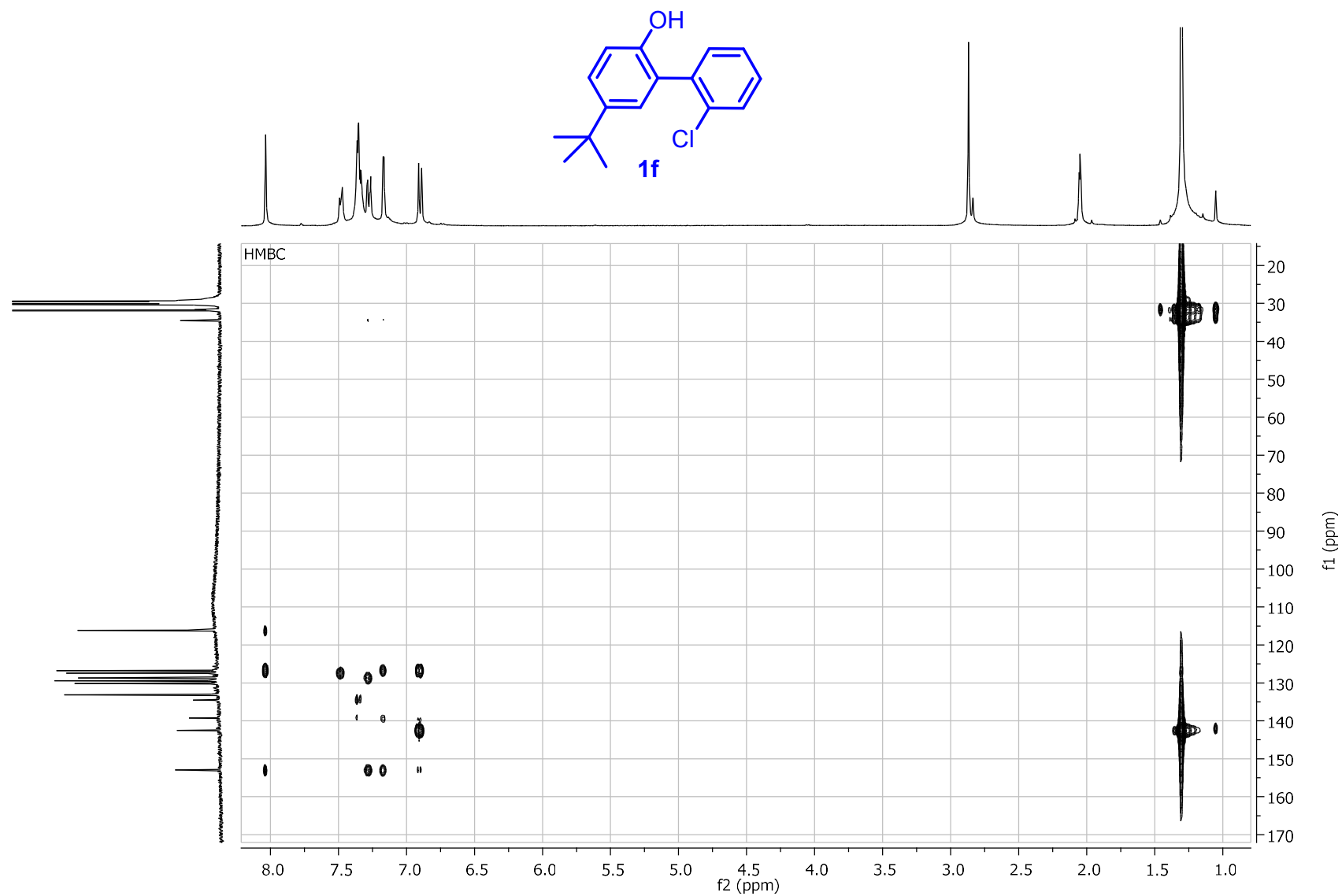
COSY



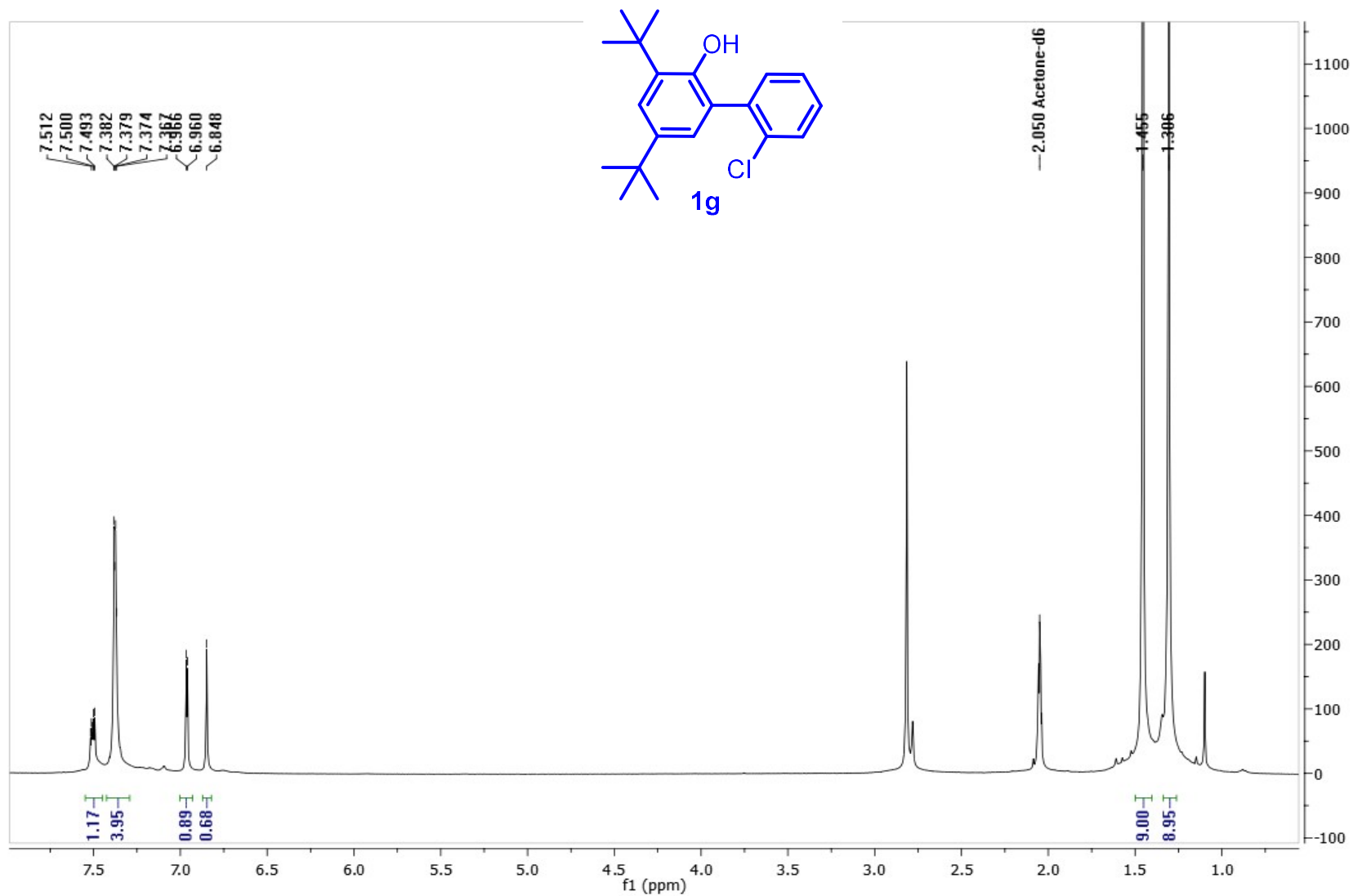
HSQC



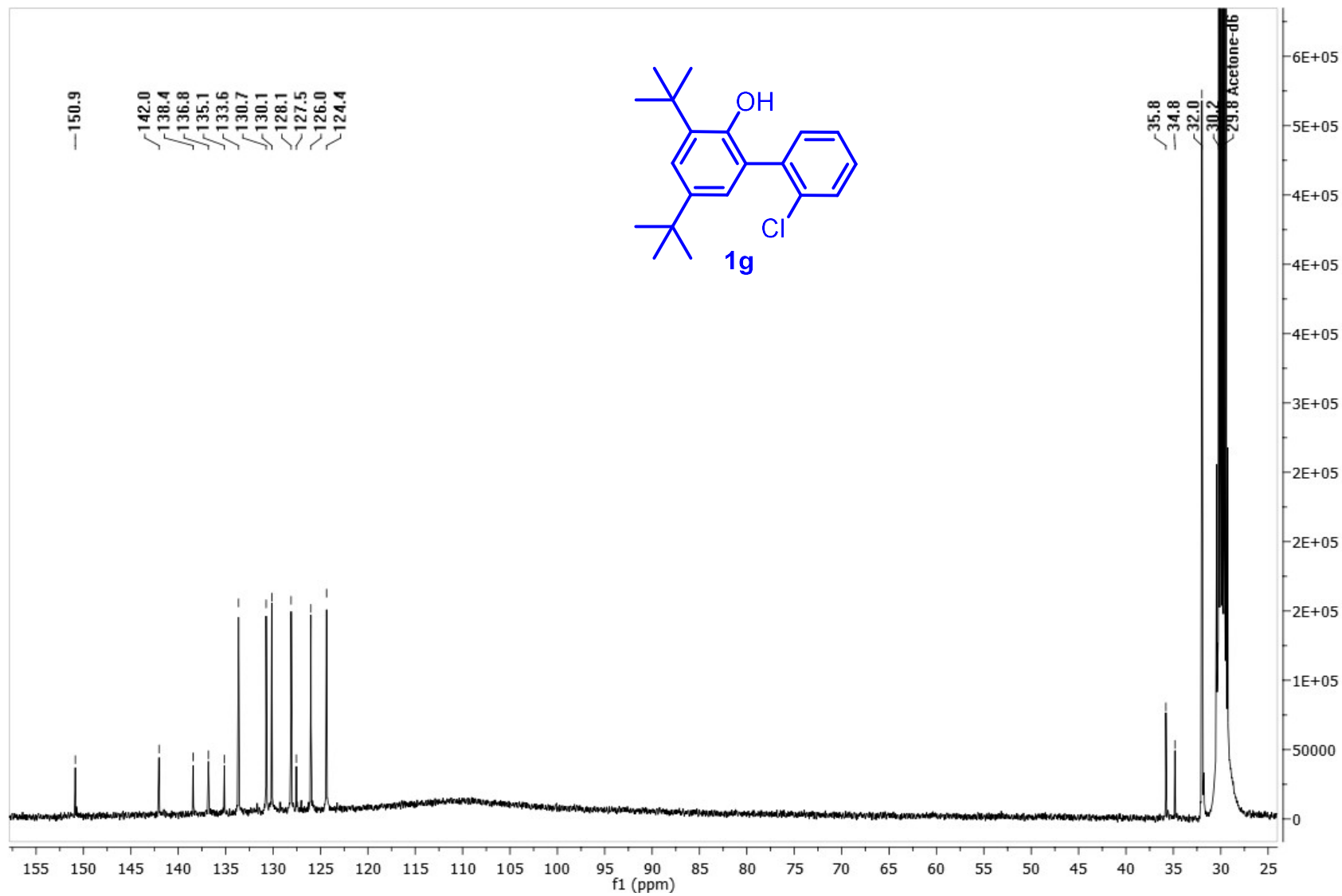
HMBC



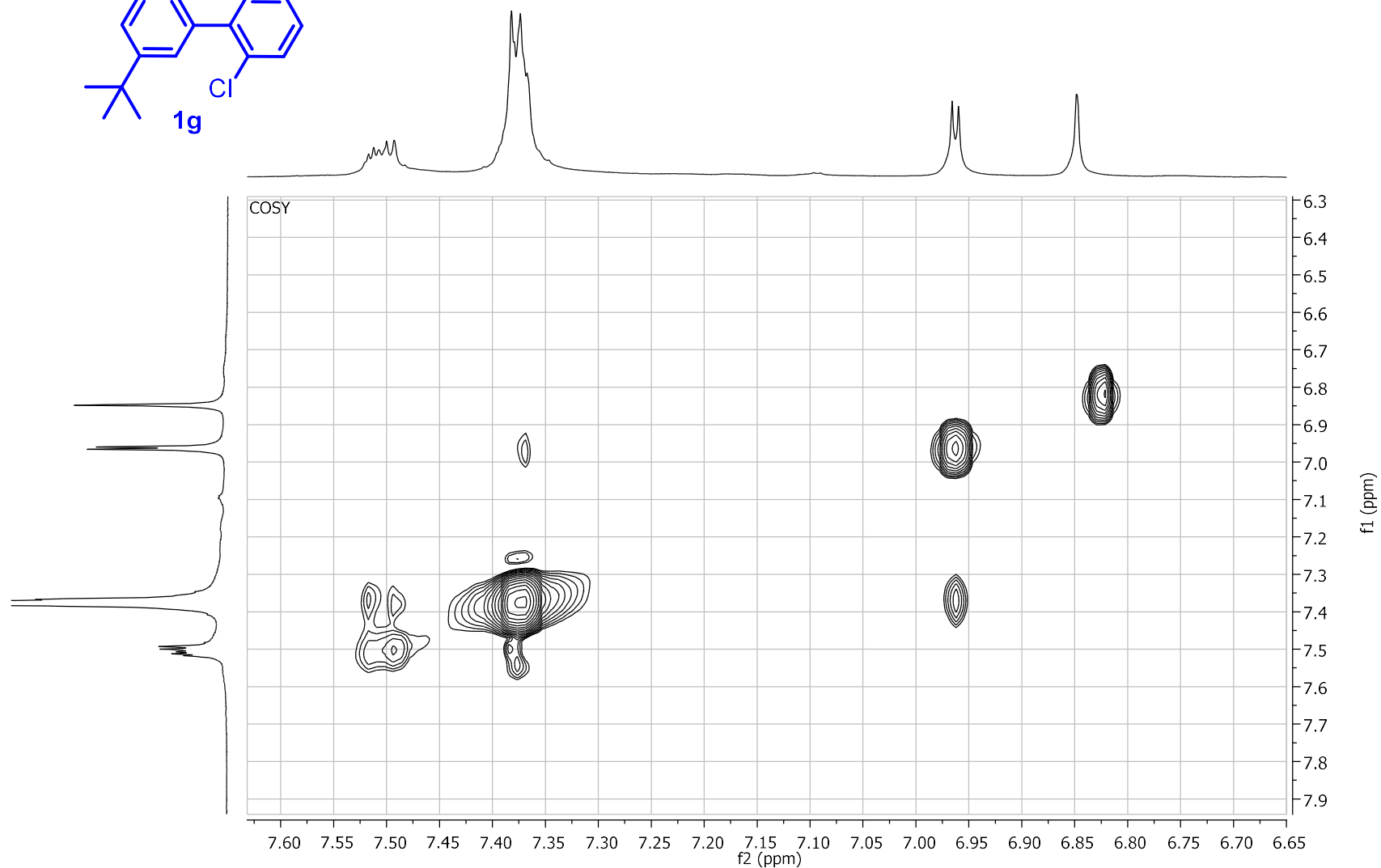
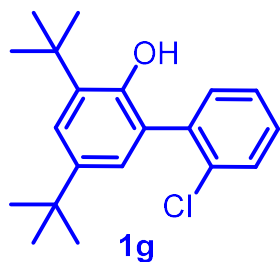
3,5-di-*tert*-butil-2'-cloro-[1,1'-bifenil]-2-ol (1g).
¹H-NMR (400 MHz, acetona-d₆)



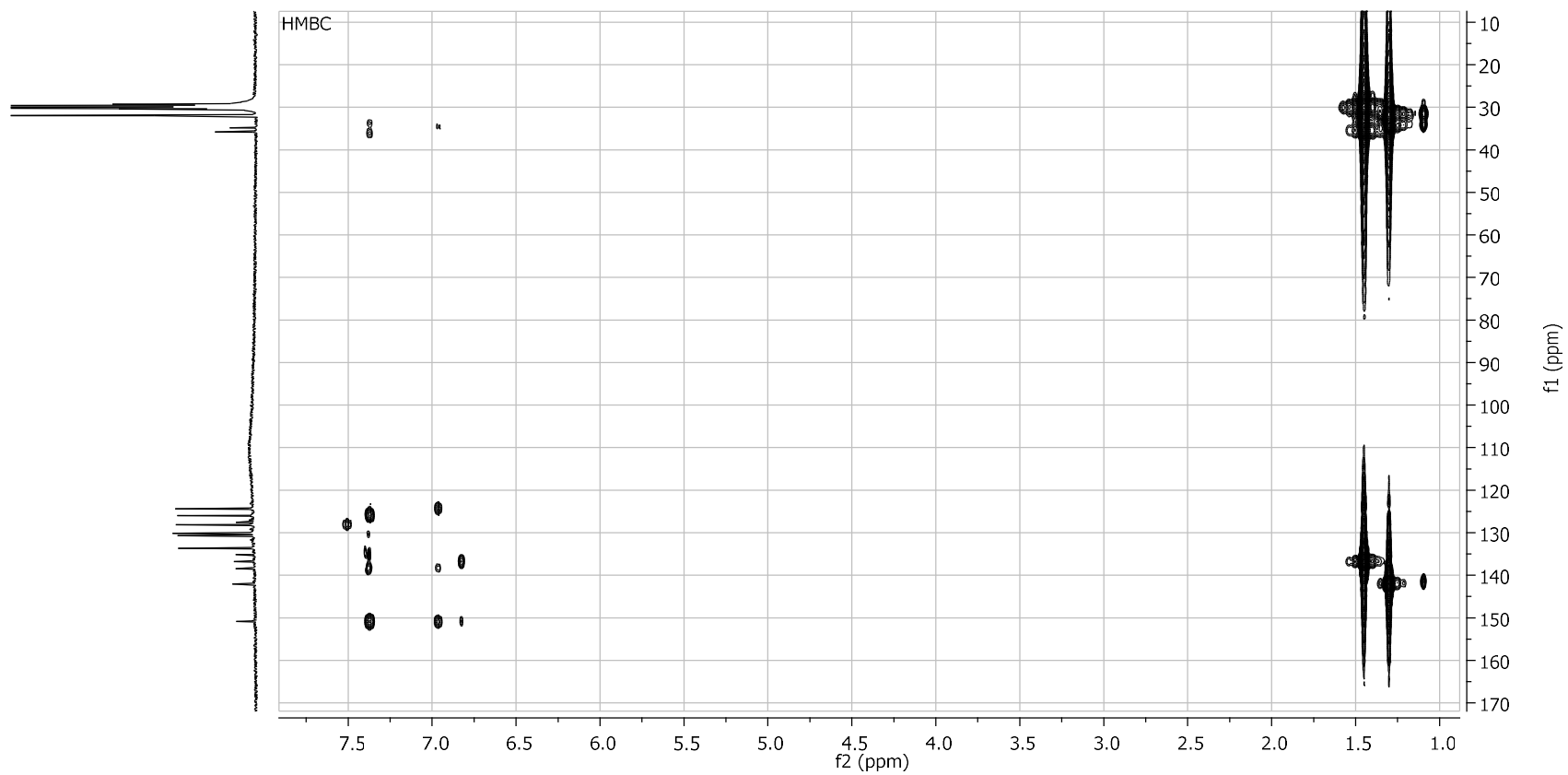
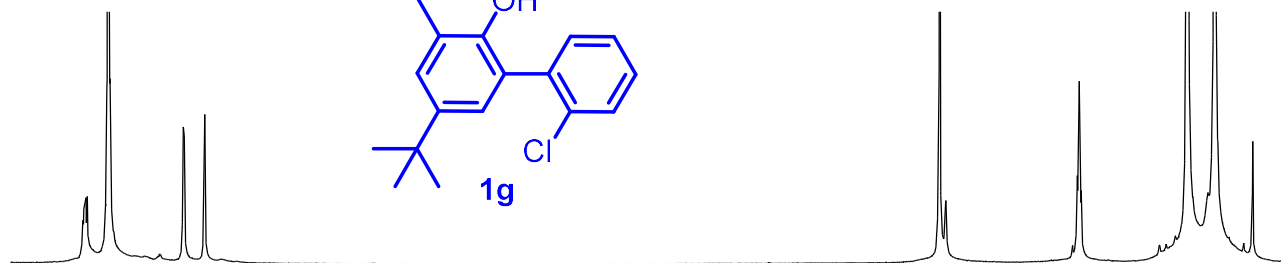
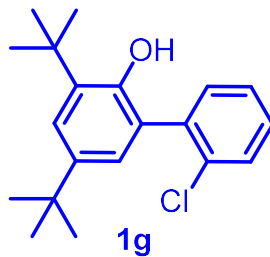
¹³C-NMR (100 MHz, acetona-d₆)



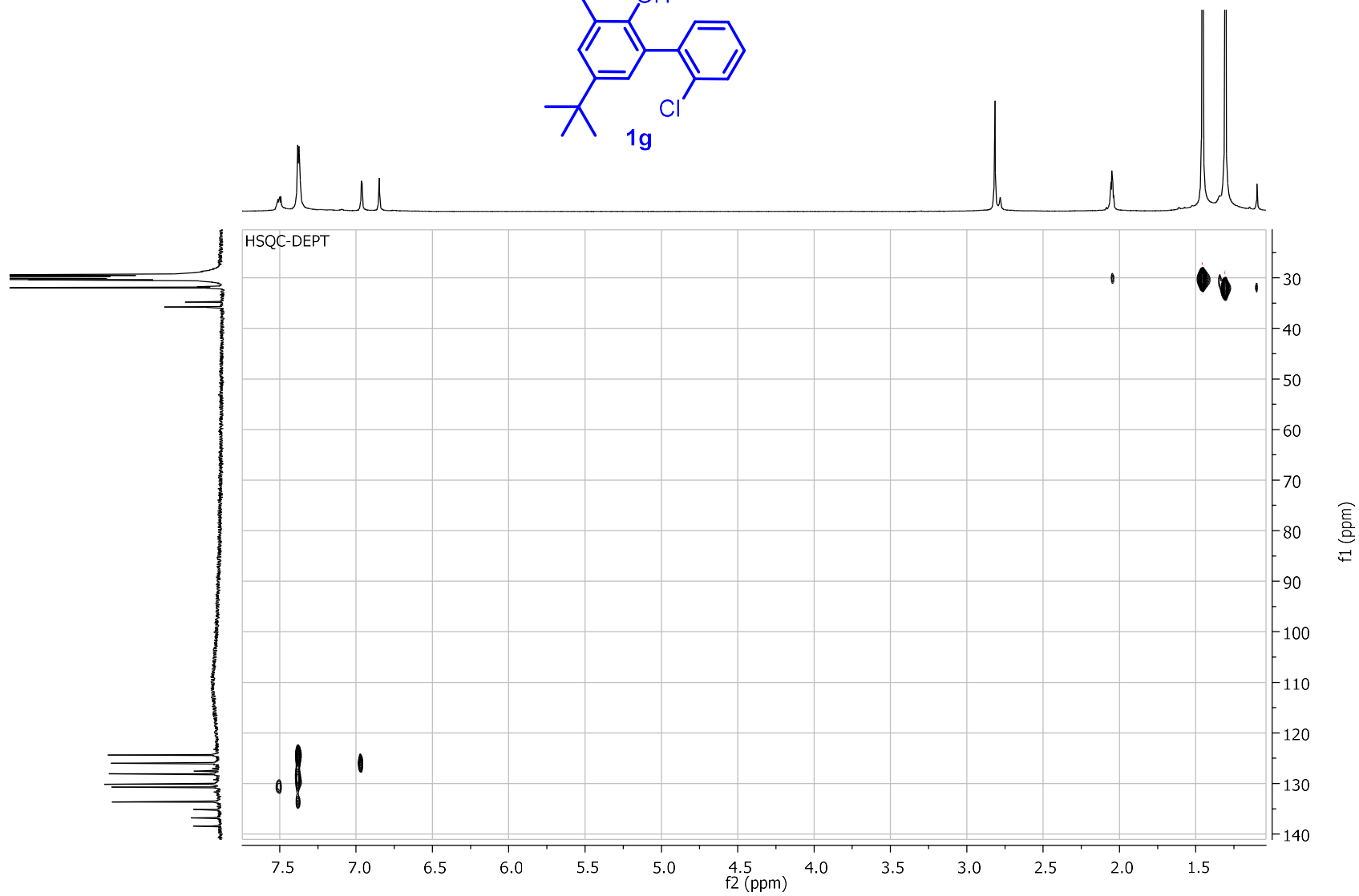
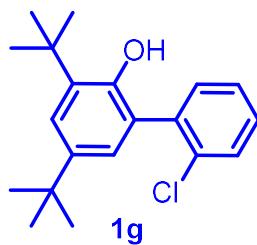
COSY



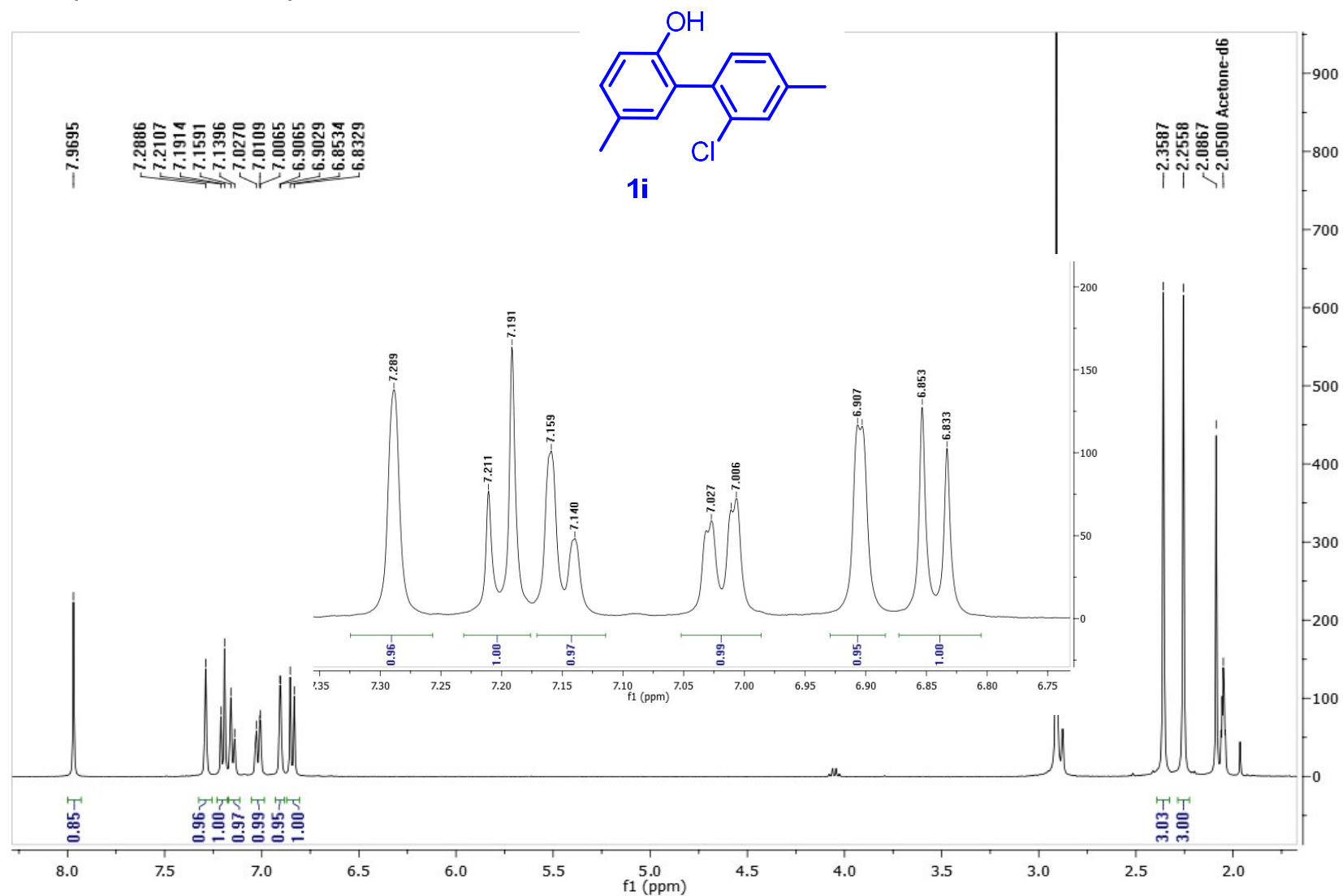
HMBC



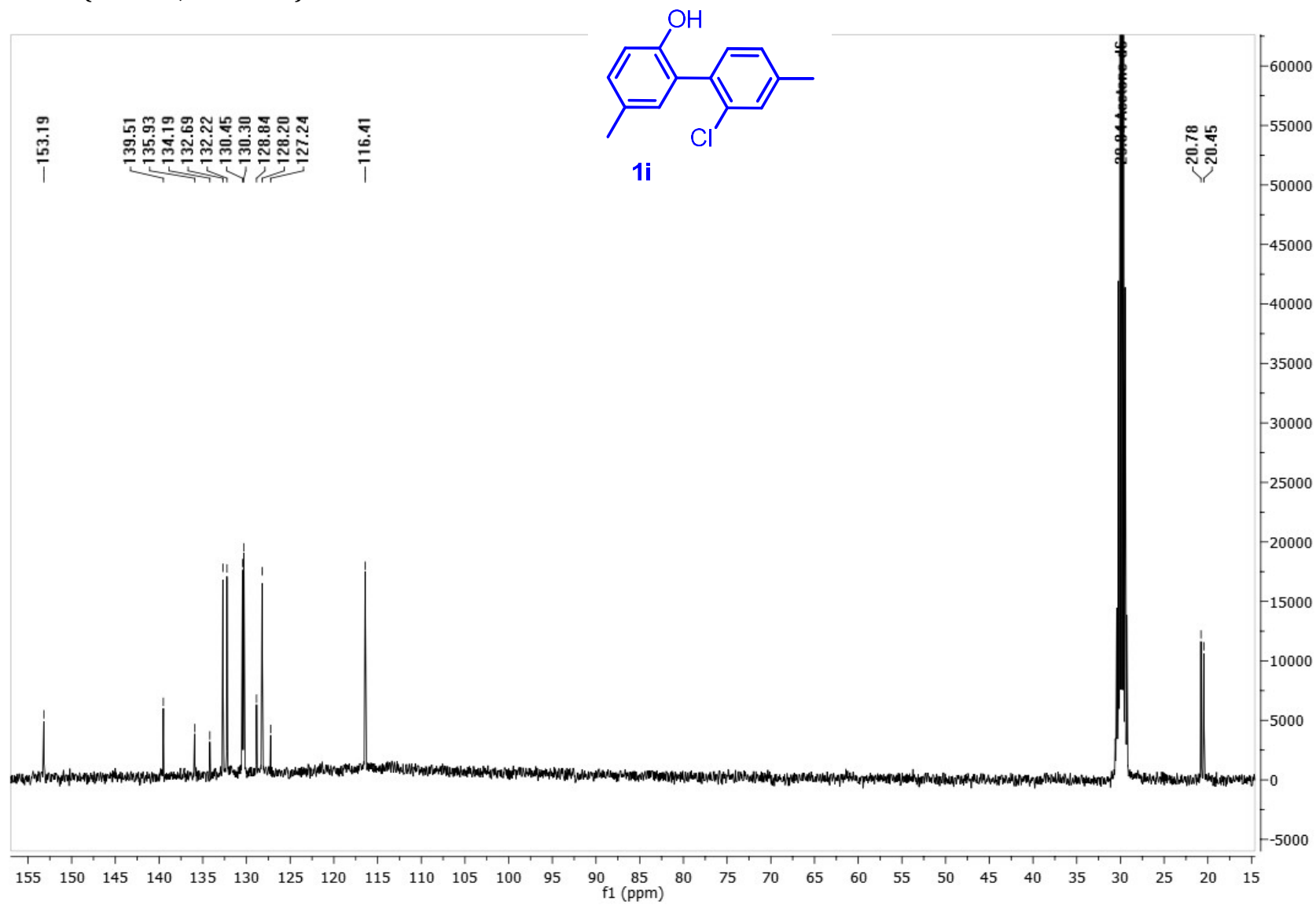
HSQC-DEPT



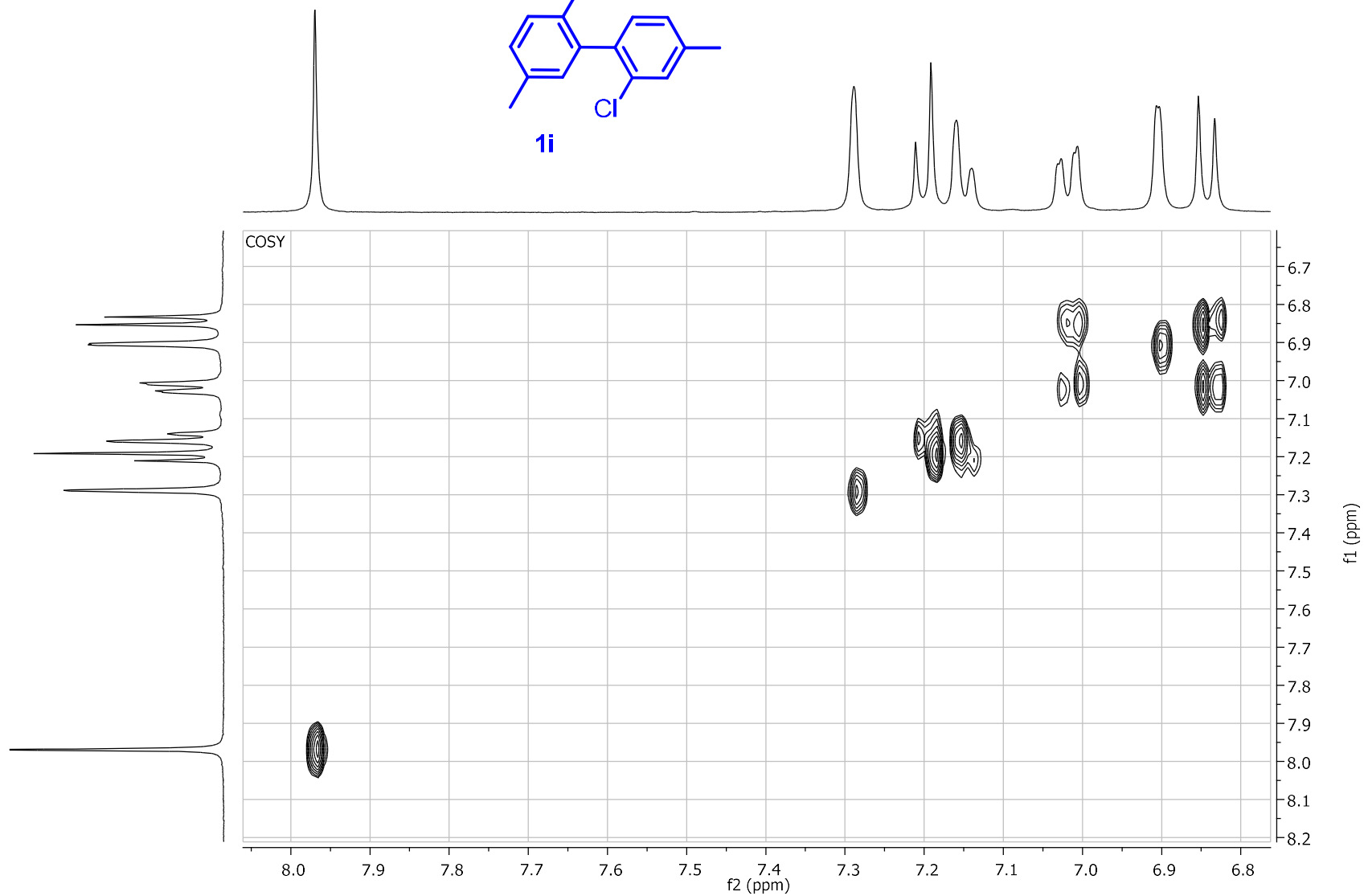
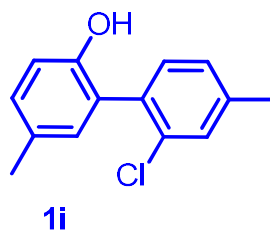
2'-cloro-4',5-dimetil-[1,1'-bifenil]-2-ol (**1i**)
¹H-NMR (400 MHz, acetona-d₆)



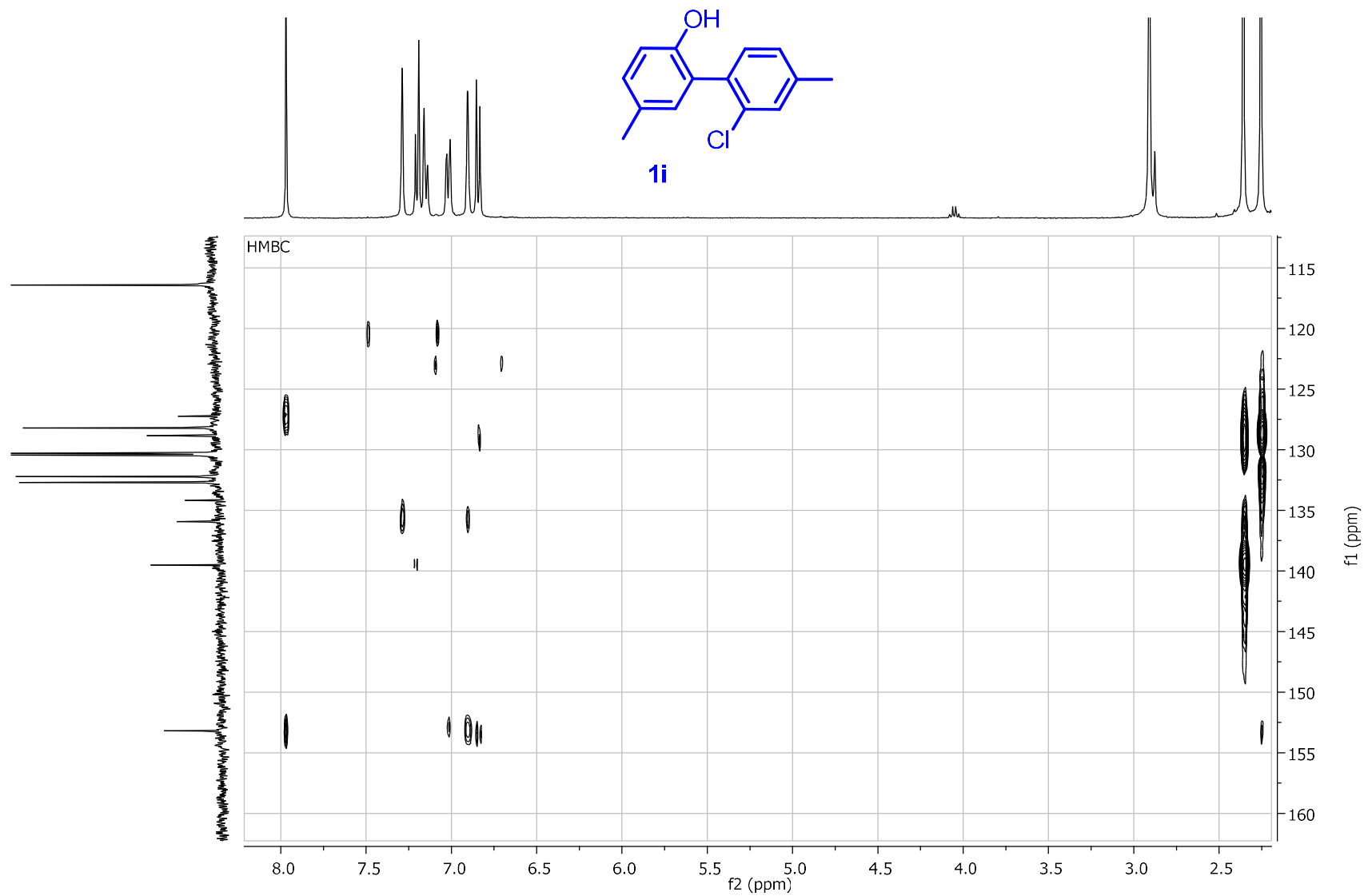
^{13}C -NMR (100 MHz, acetona- d_6)



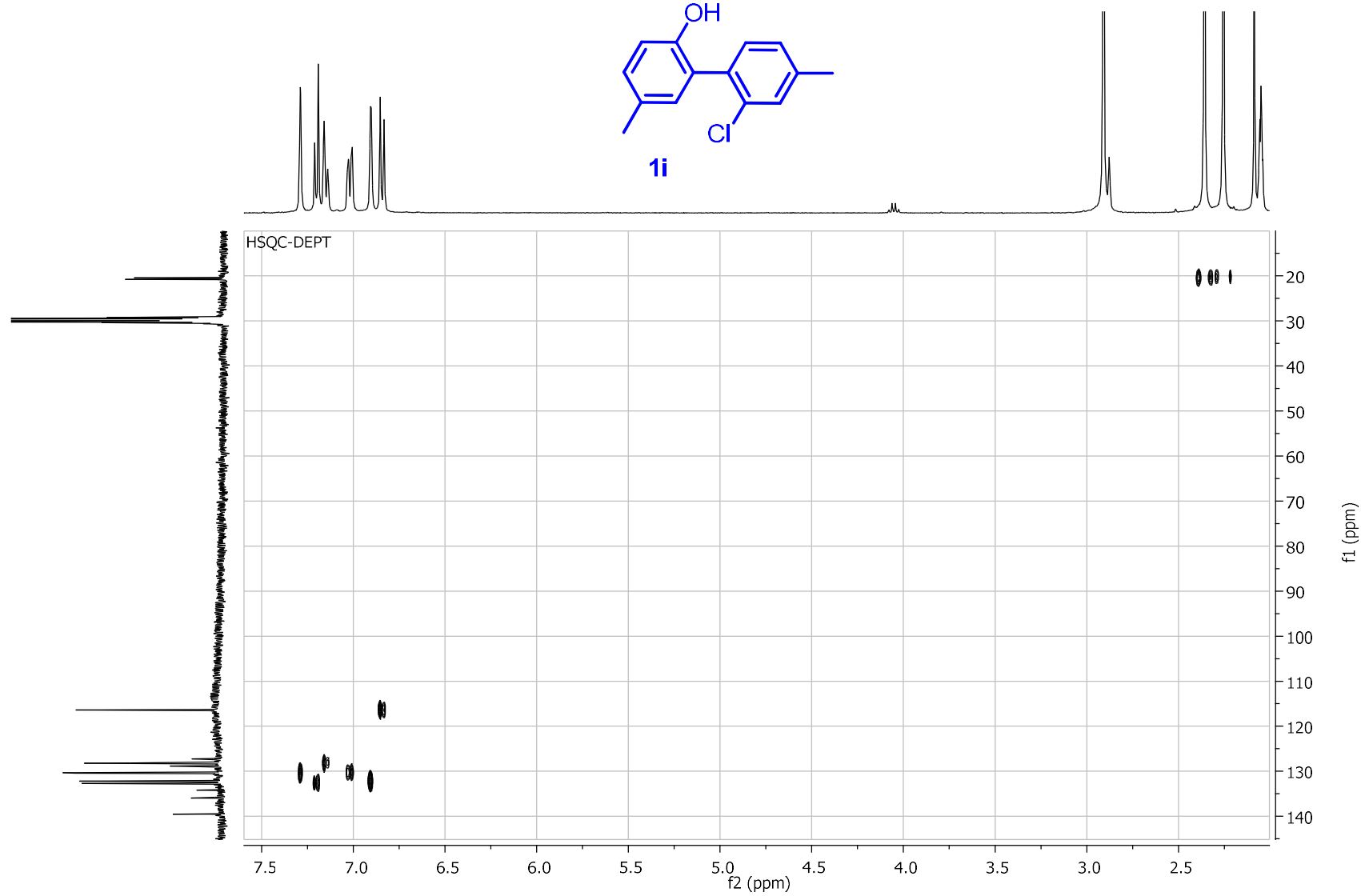
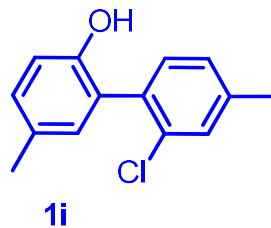
COSY



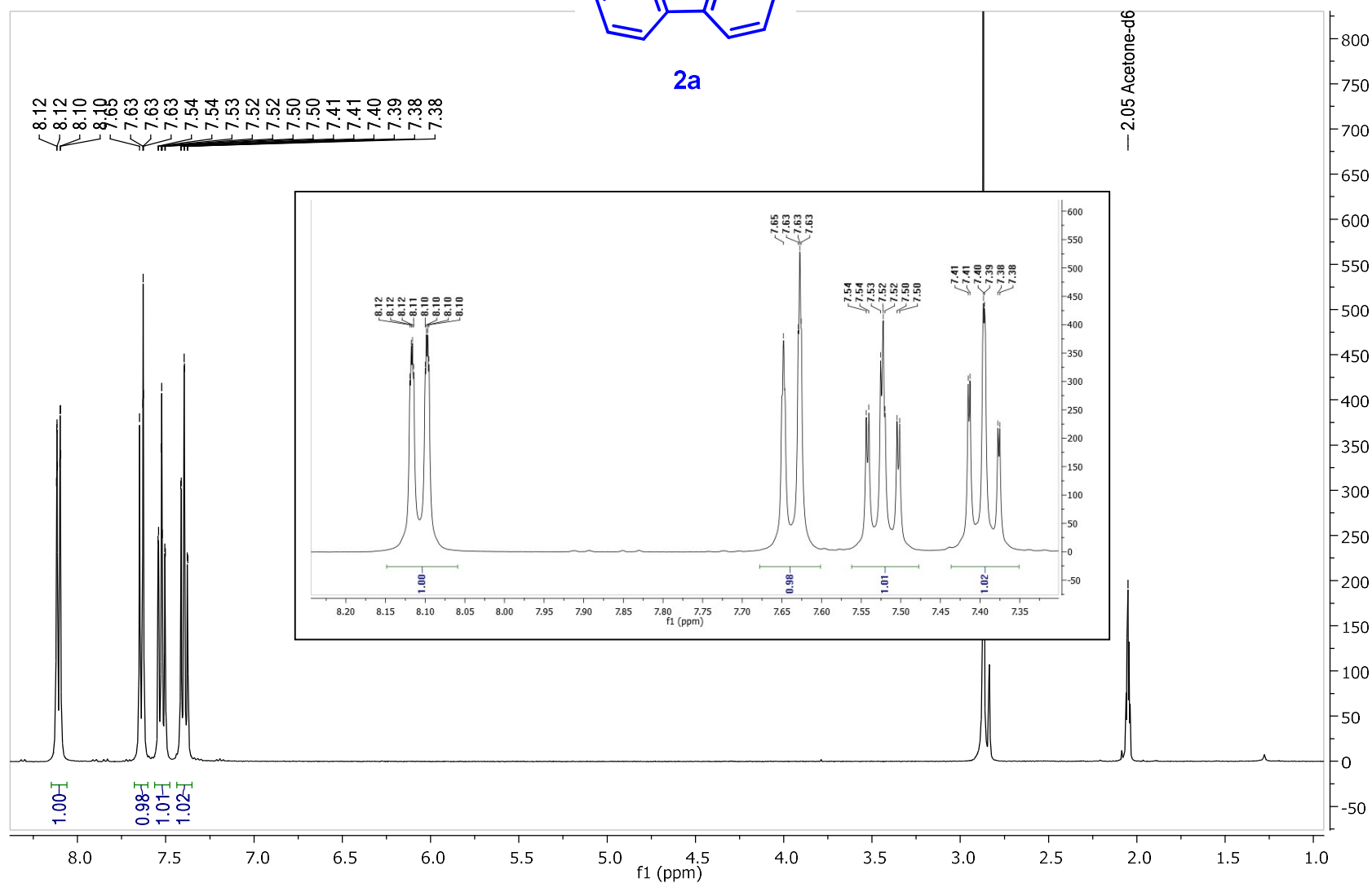
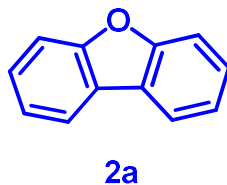
HMBC



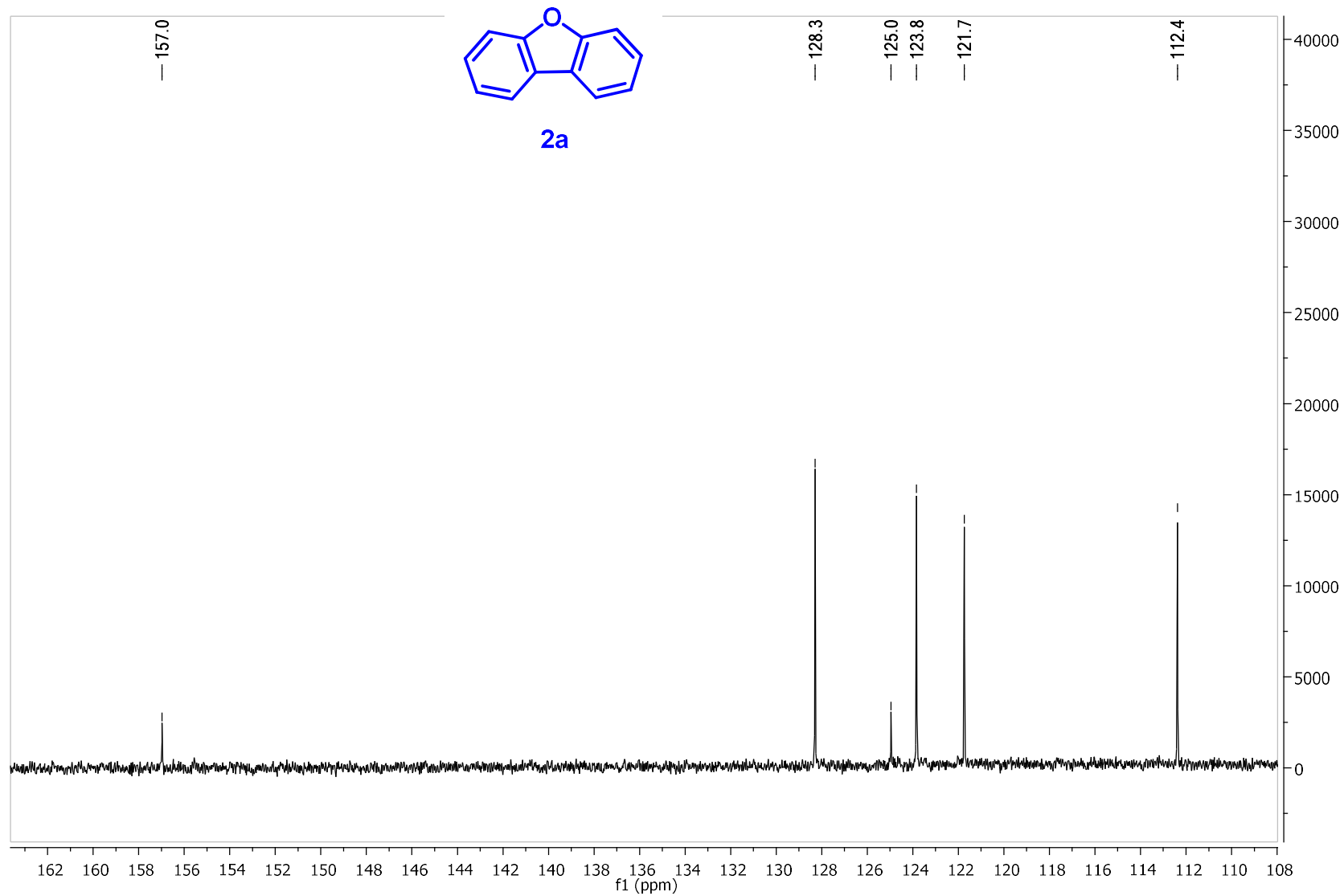
HSQC-DEPT



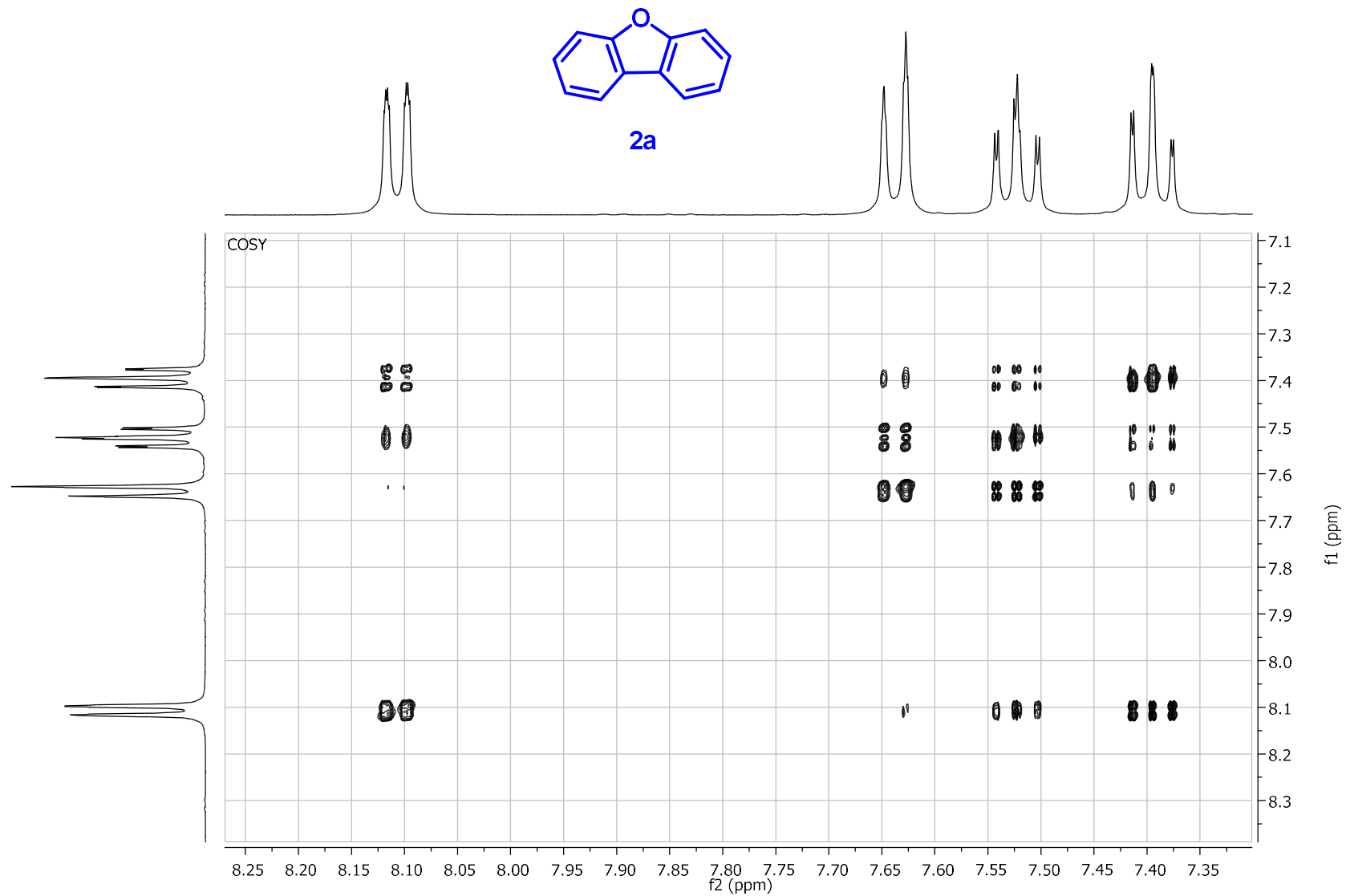
Dibenzo[*b,d*]furano (2a).
¹H-NMR (400 MHz, acetona-*d*₆)



¹³C-NMR (100 MHz, acetona-d₆)

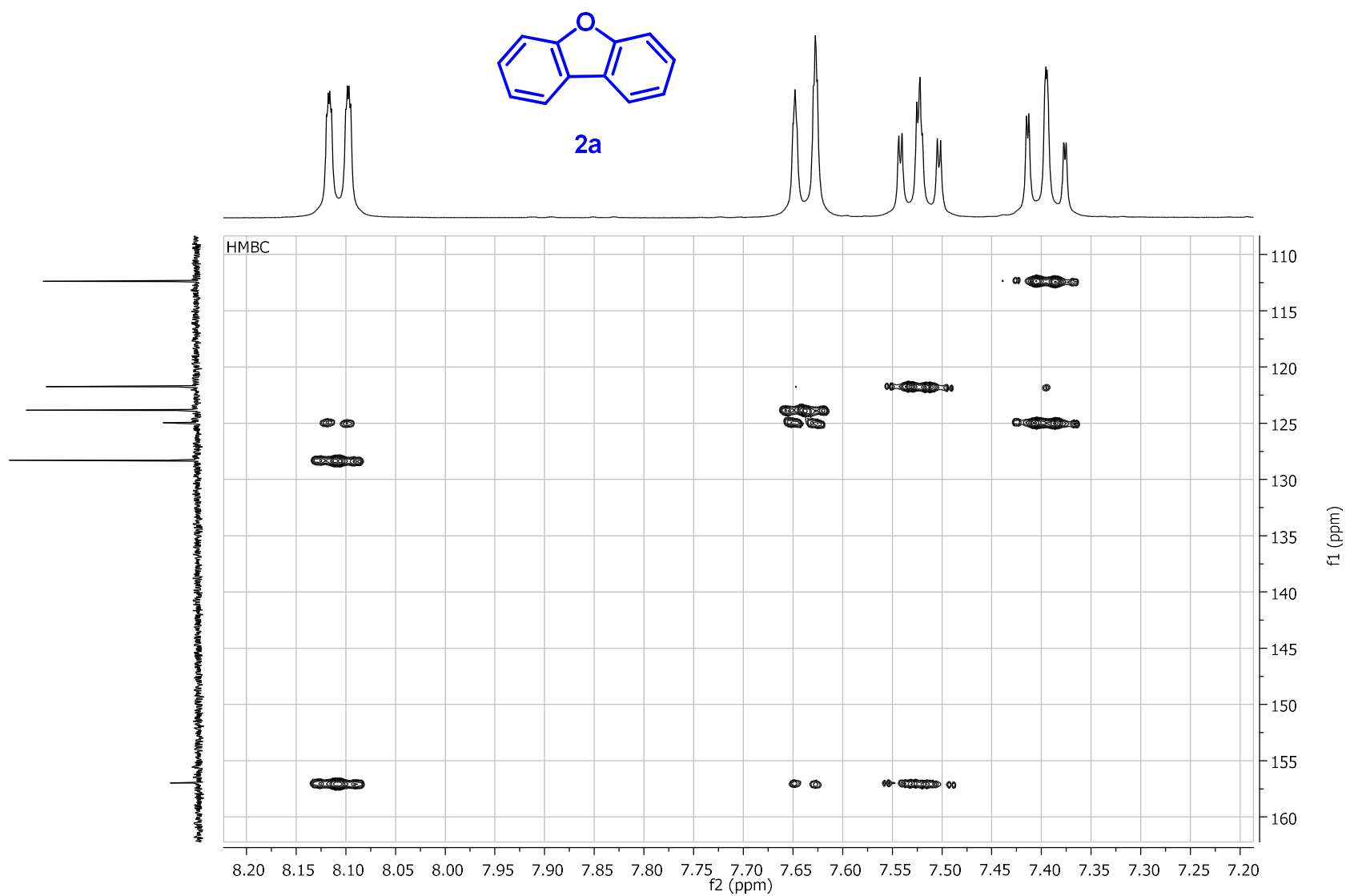


COSY

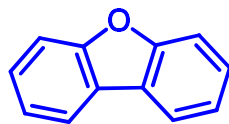


Anexo A: Información Espectroscópica del Capítulo 2

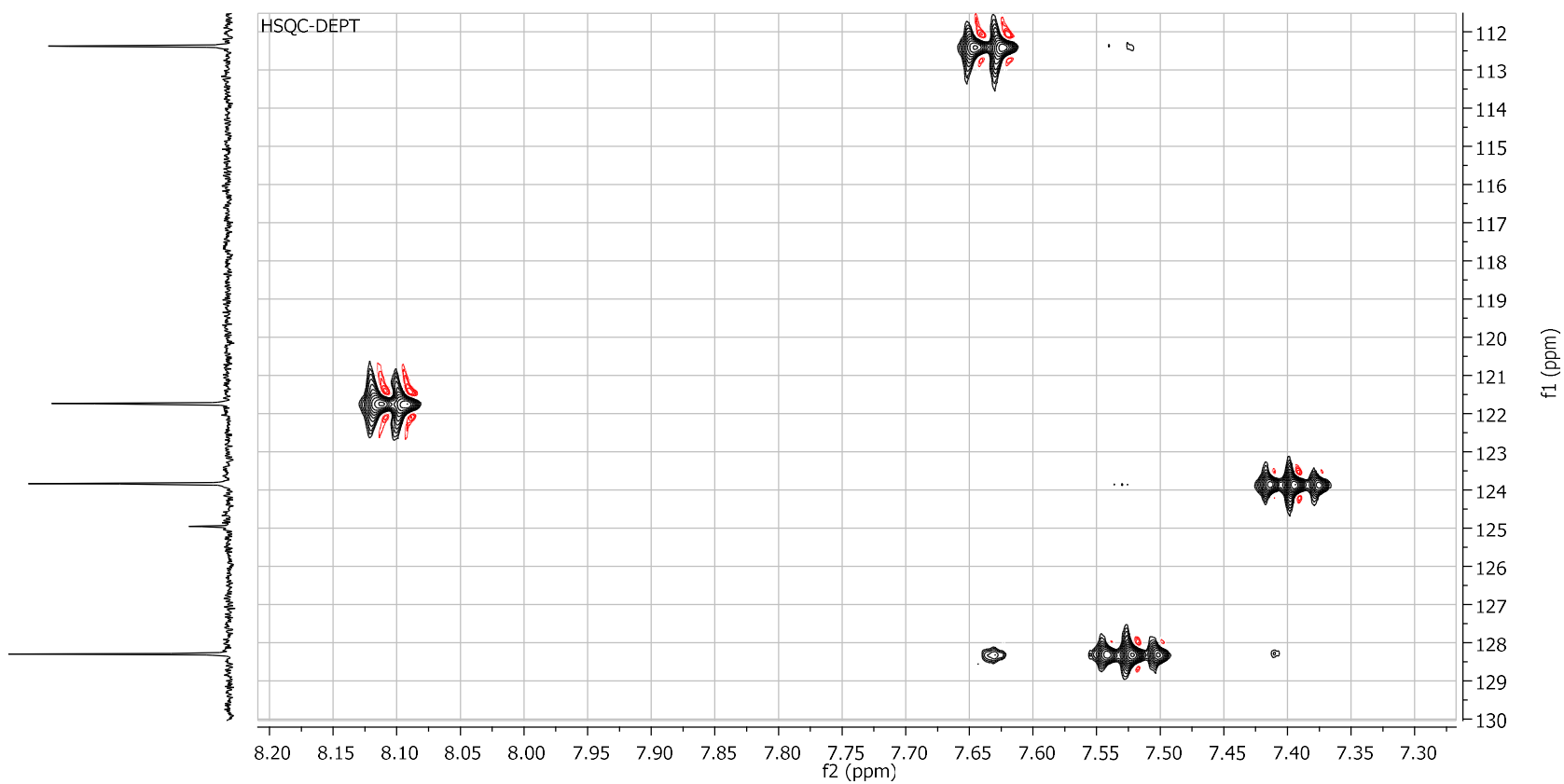
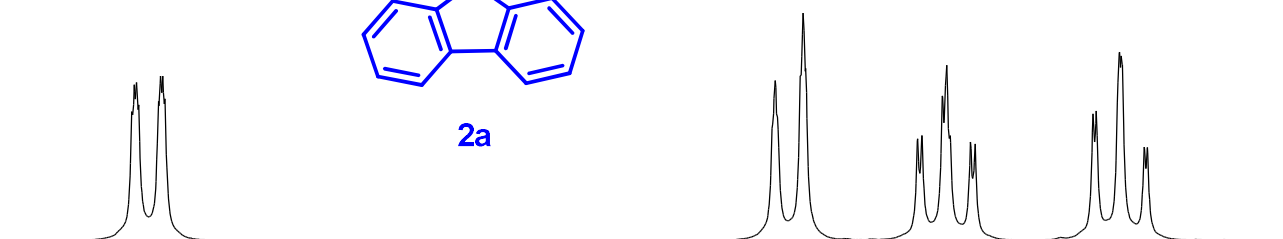
HMBC



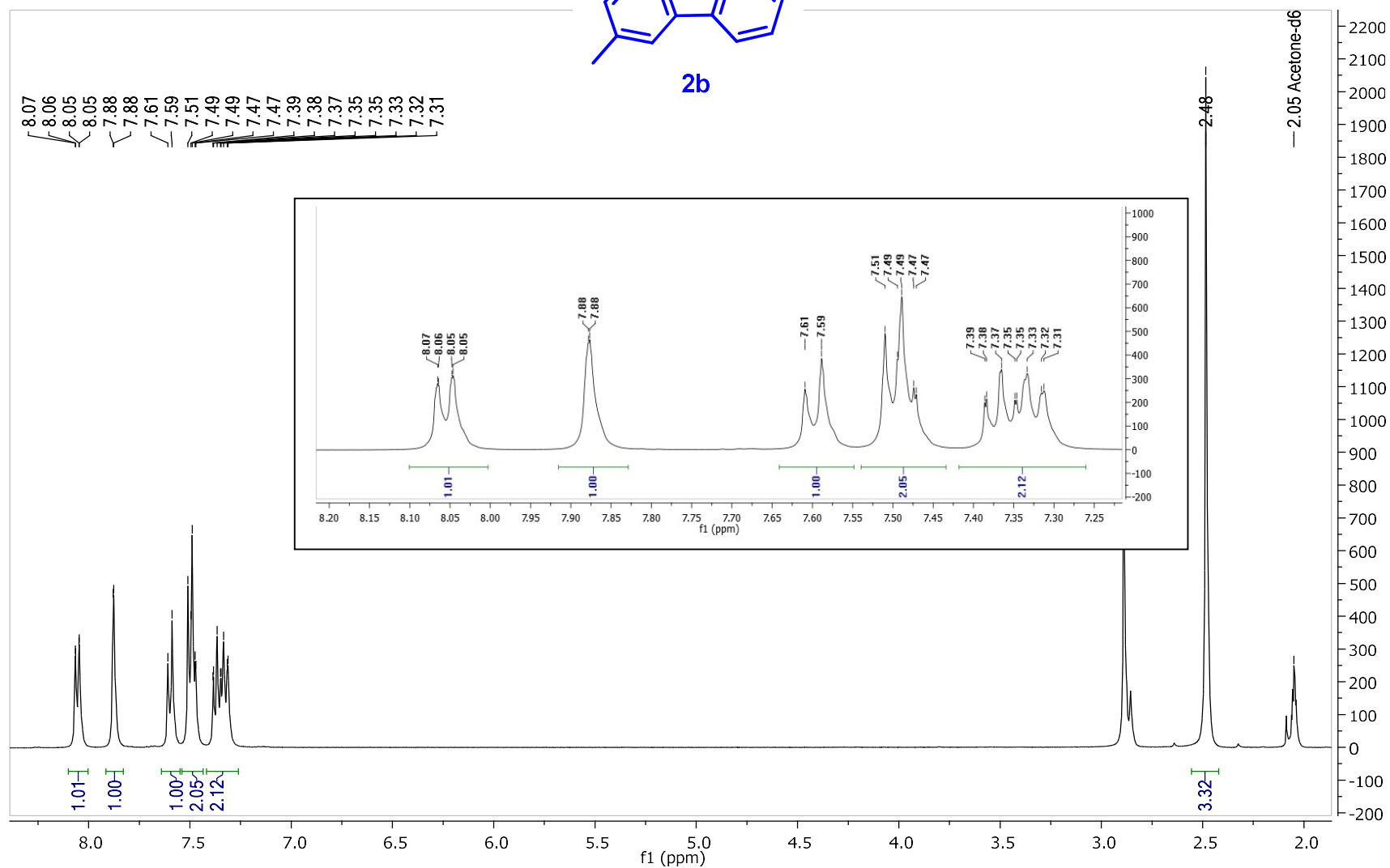
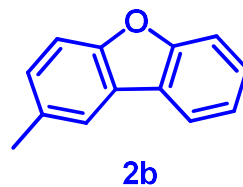
HSQC-DEPT



2a

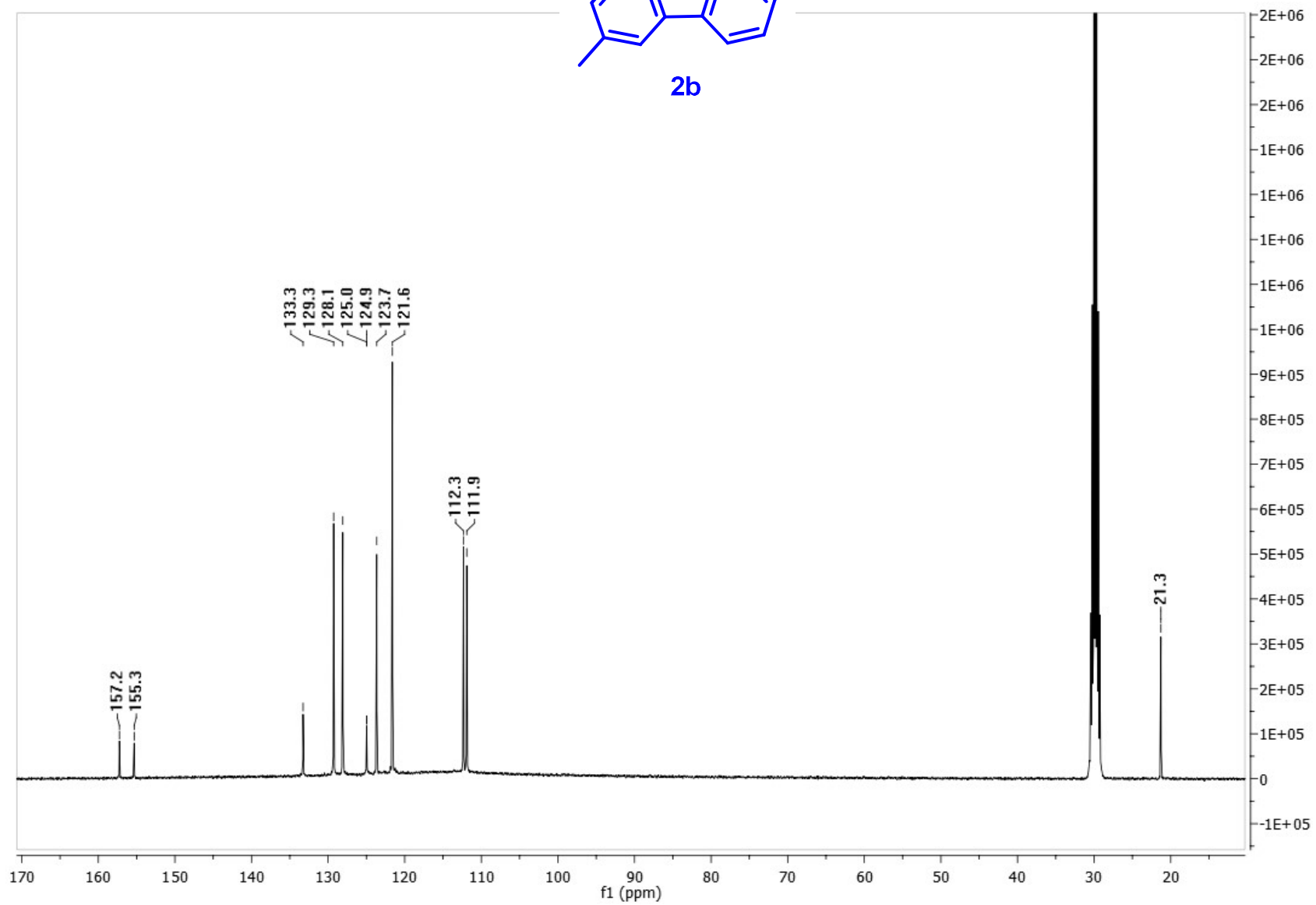
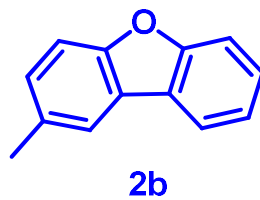


2-Metildibenzo[*b,d*]furano (2b)
¹H-NMR (400 MHz, acetona-*d*₆)

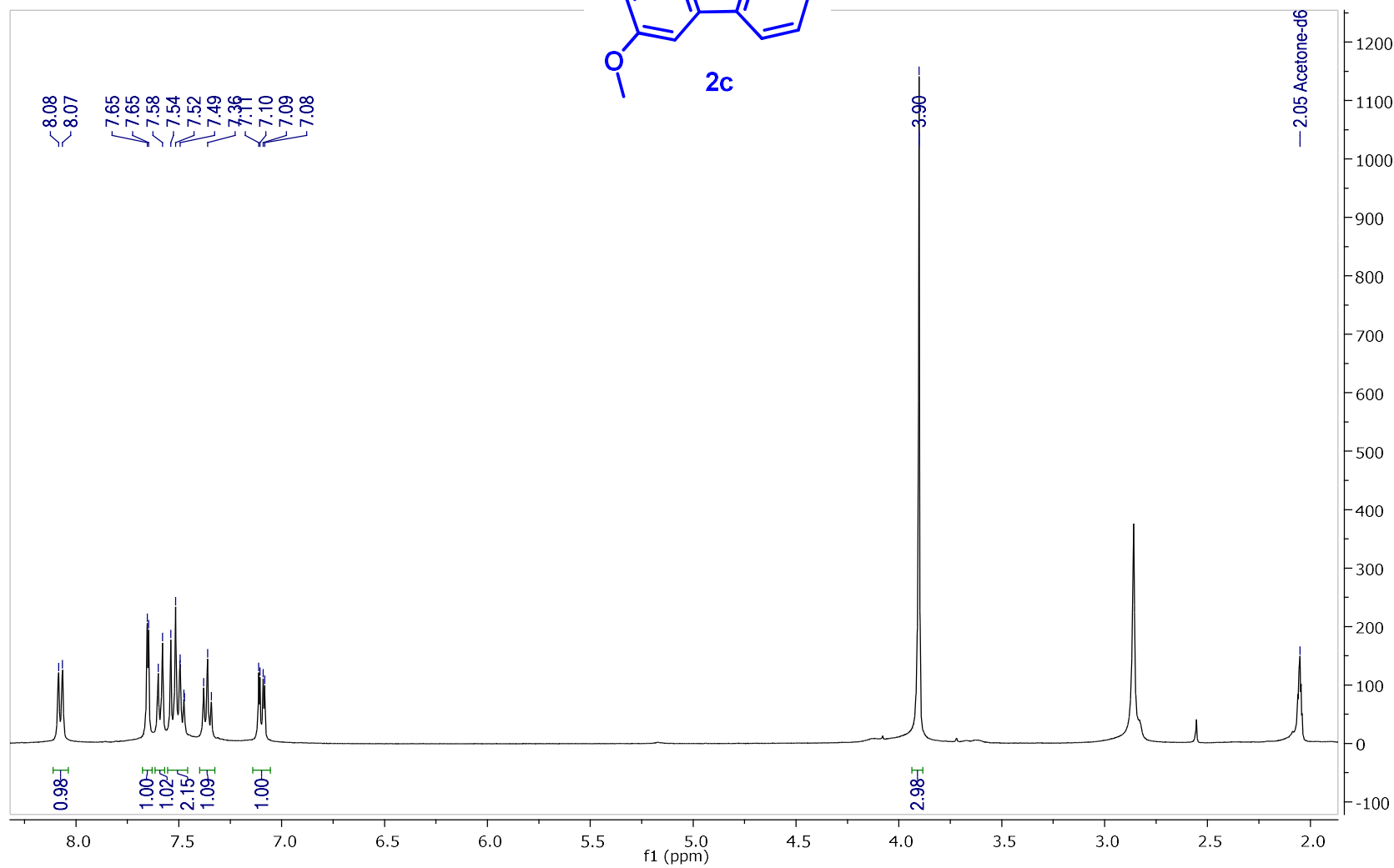
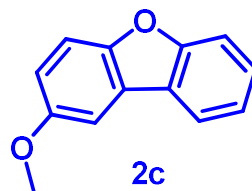


Anexo A: Información Espectroscópica del Capítulo 2

^{13}C -NMR (100 MHz, acetona- d_6)

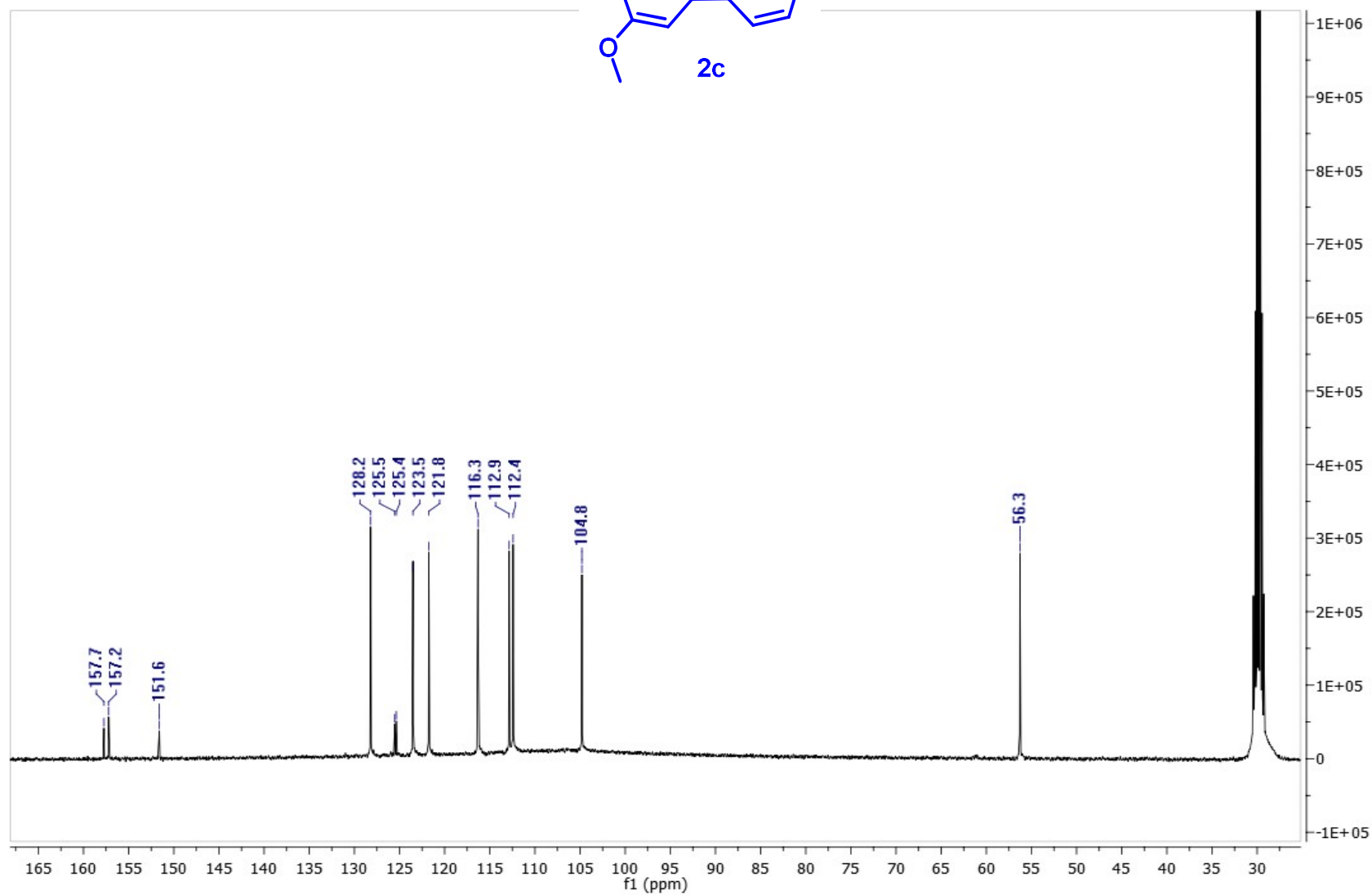
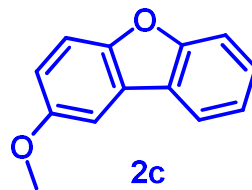


2-Metoxidibenzo[*b,d*]furano (2c)
¹H-NMR (400 MHz, acetona-*d*₆)

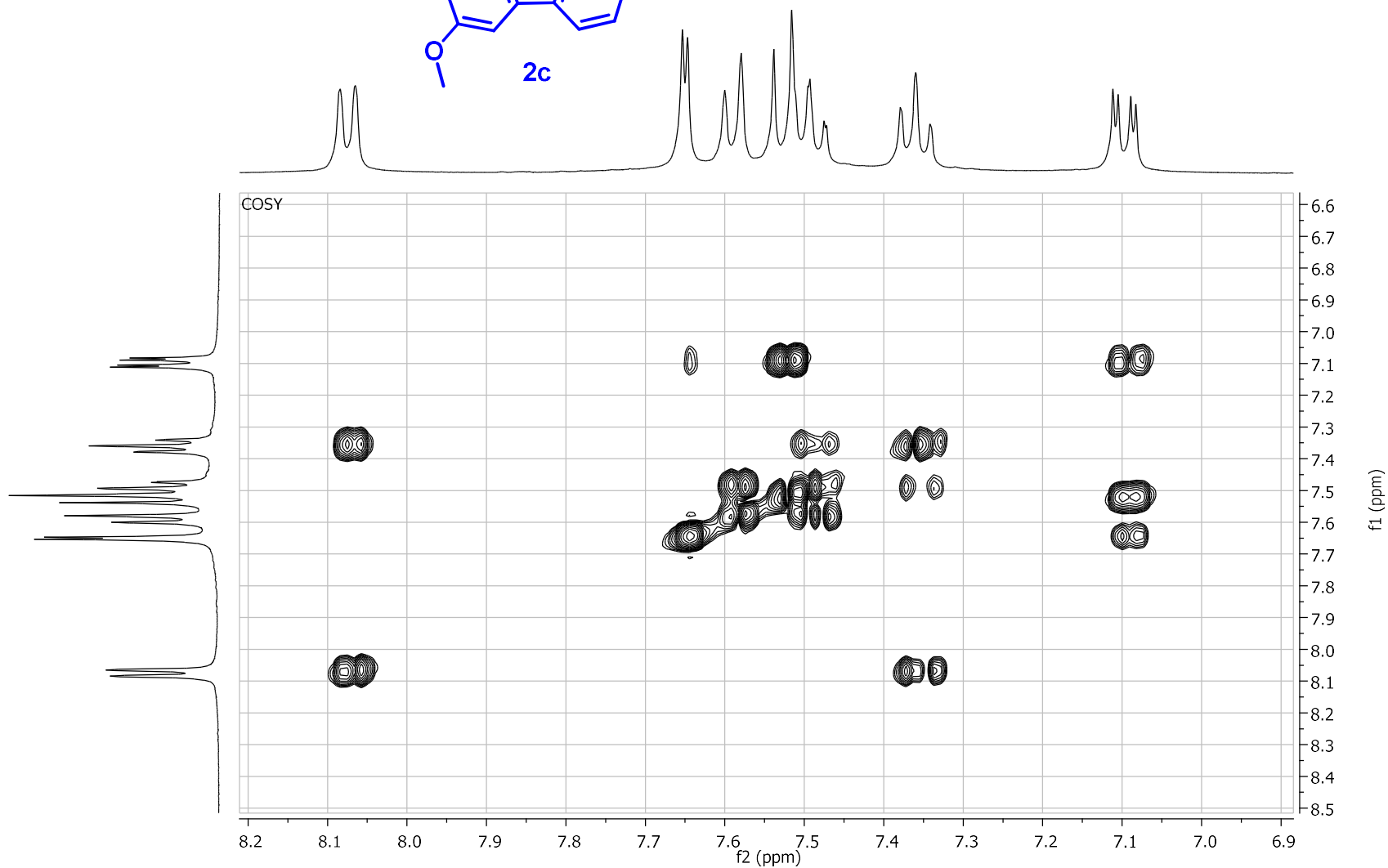
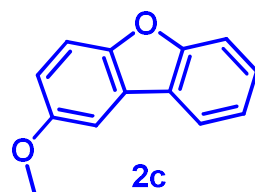


Anexo A: Información Espectroscópica del Capítulo 2

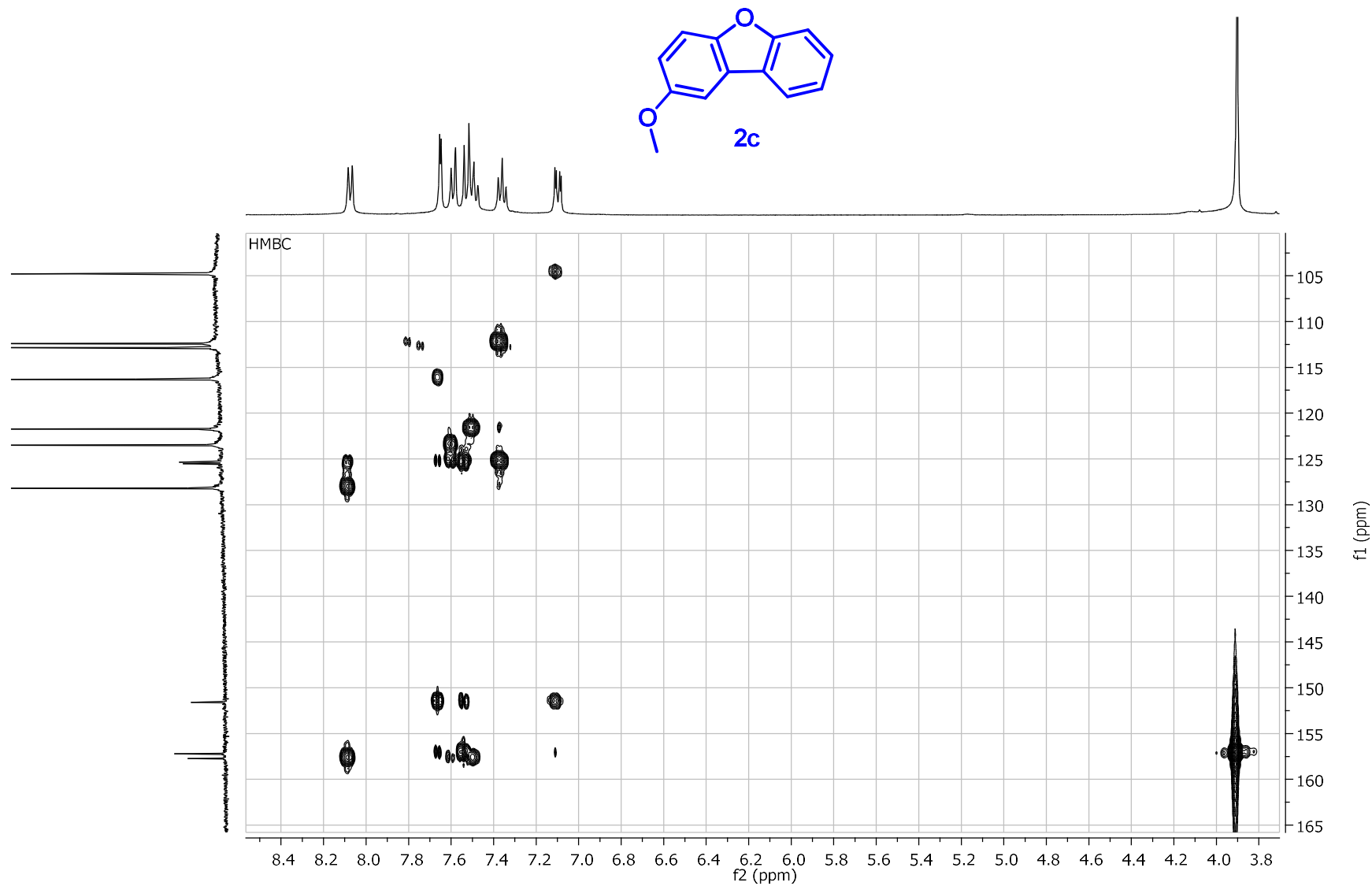
^{13}C -NMR (100 MHz, acetona- d_6)



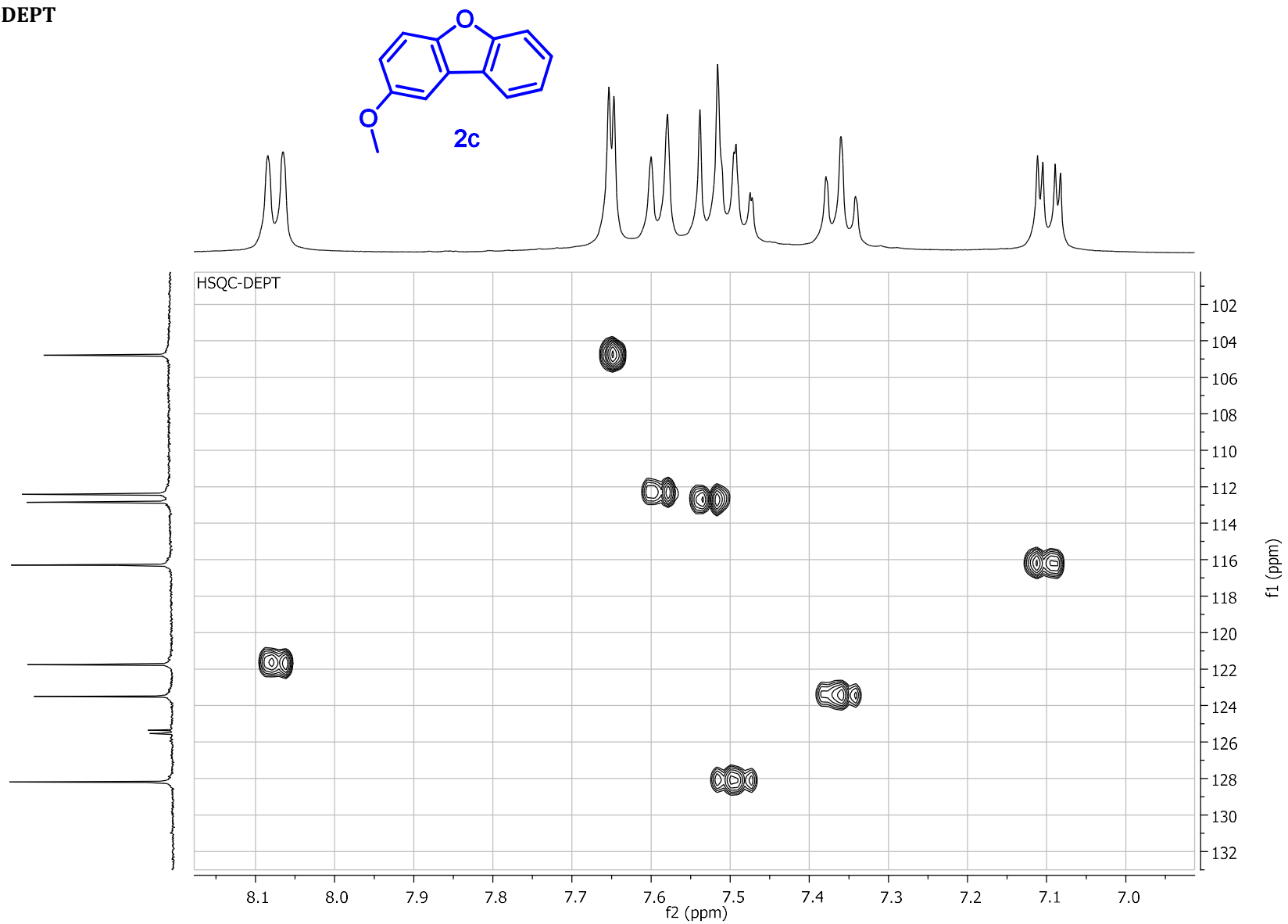
COSY



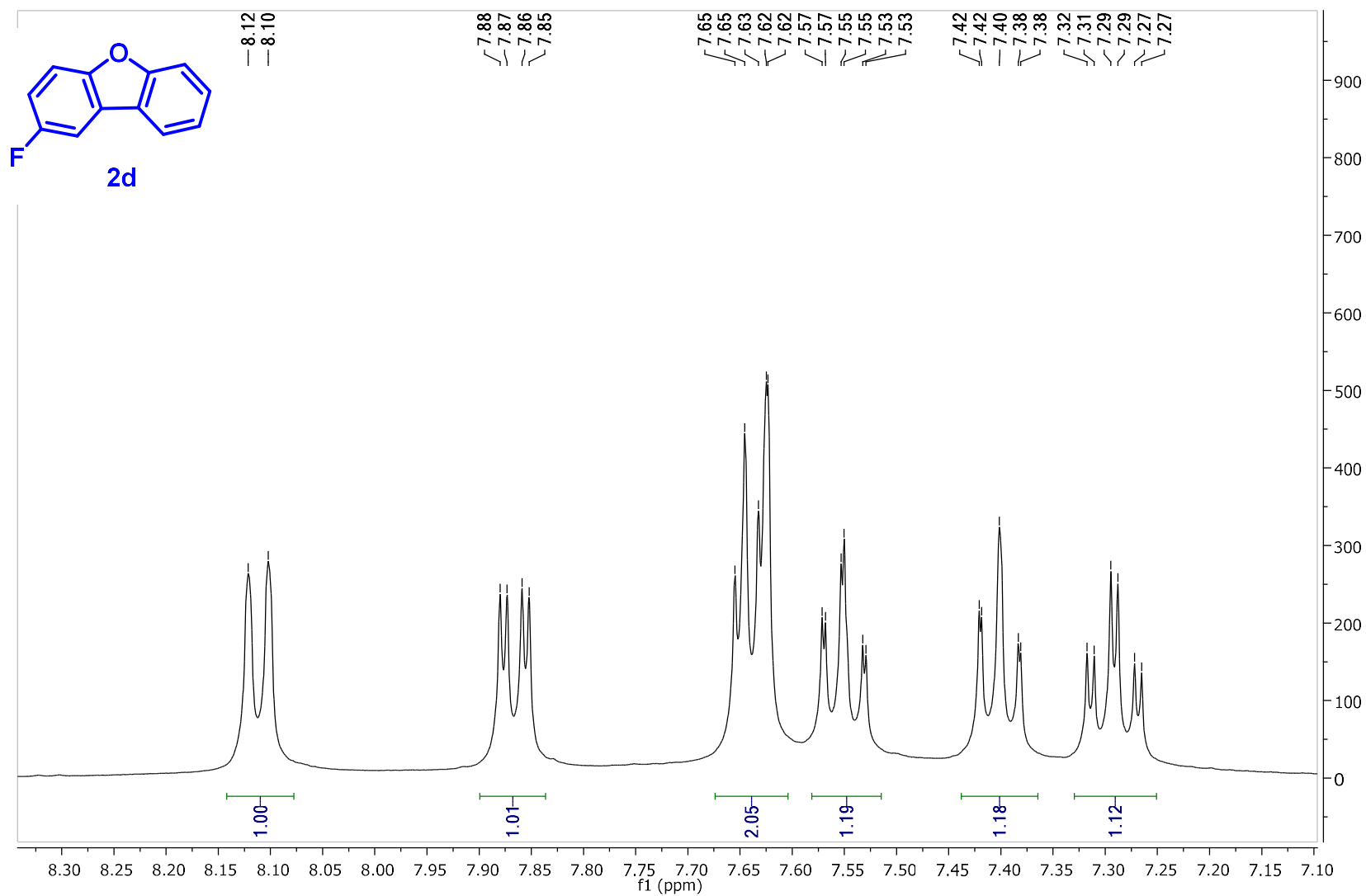
HMBC



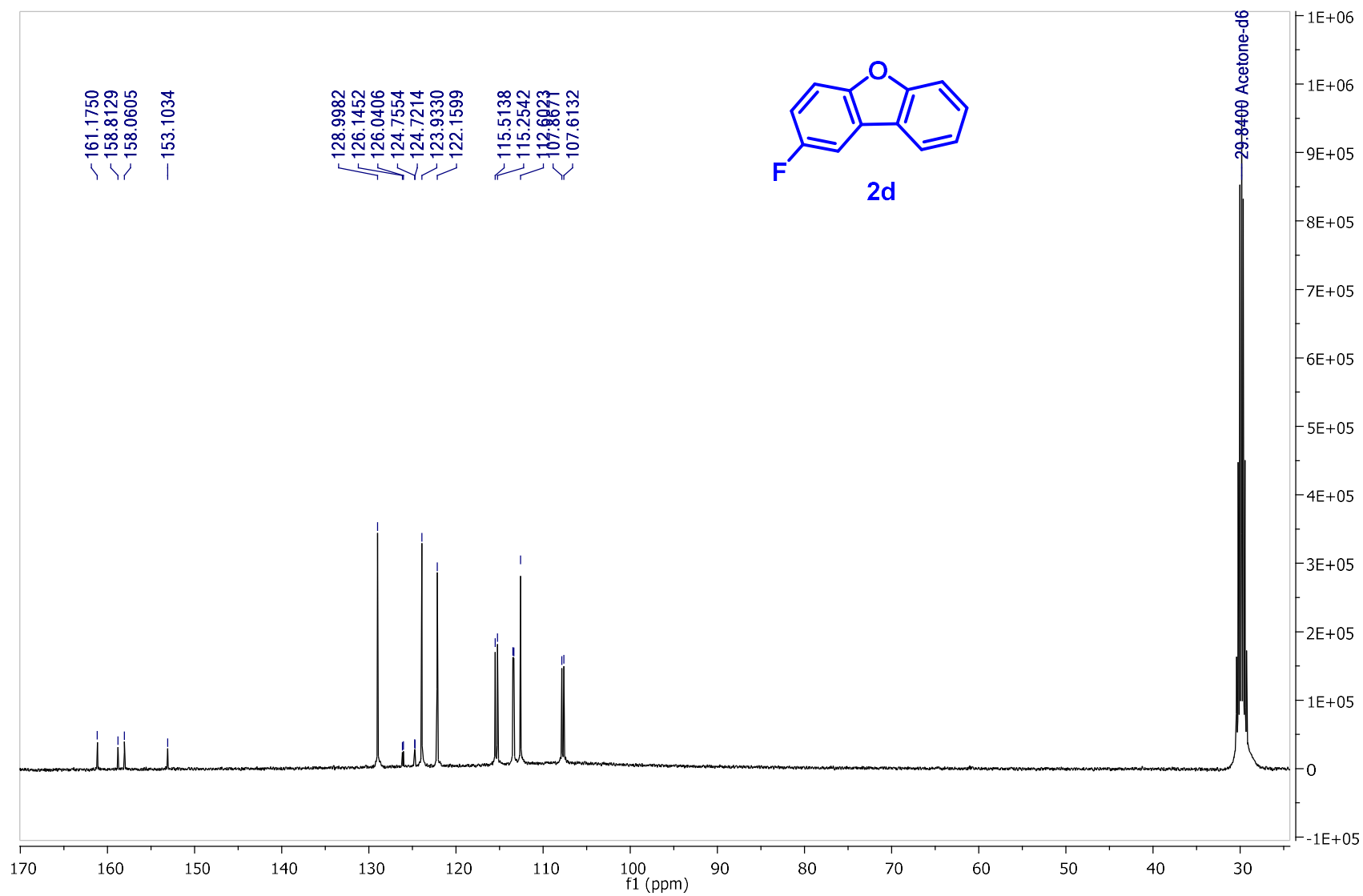
HSQC-DEPT



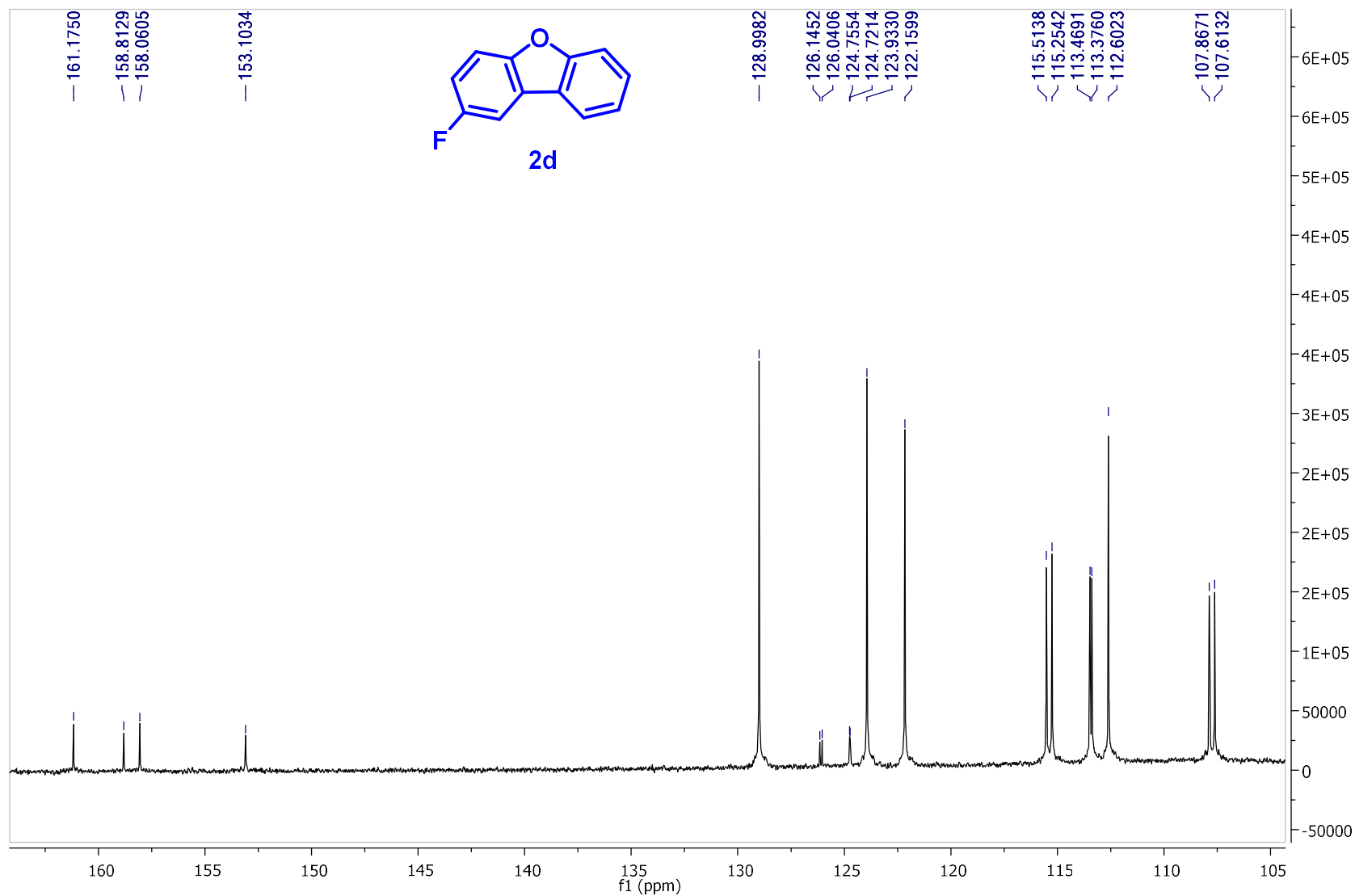
2-Fluorodibenzo[*b,d*]furano (2d).
¹H-NMR (400 MHz, acetona-*d*₆)



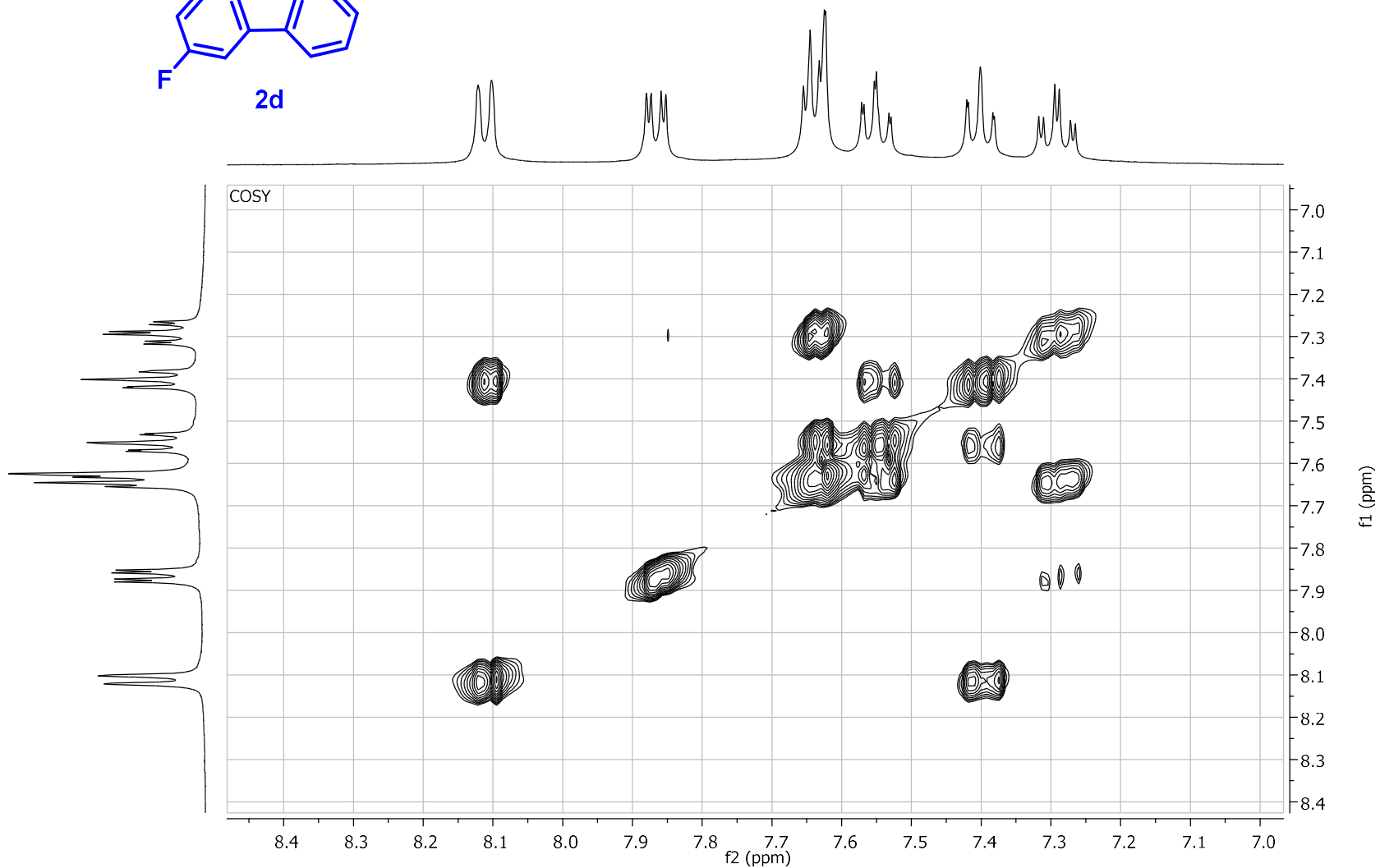
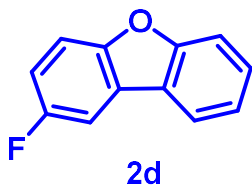
¹³C-NMR (100 MHz, acetona-d₆)



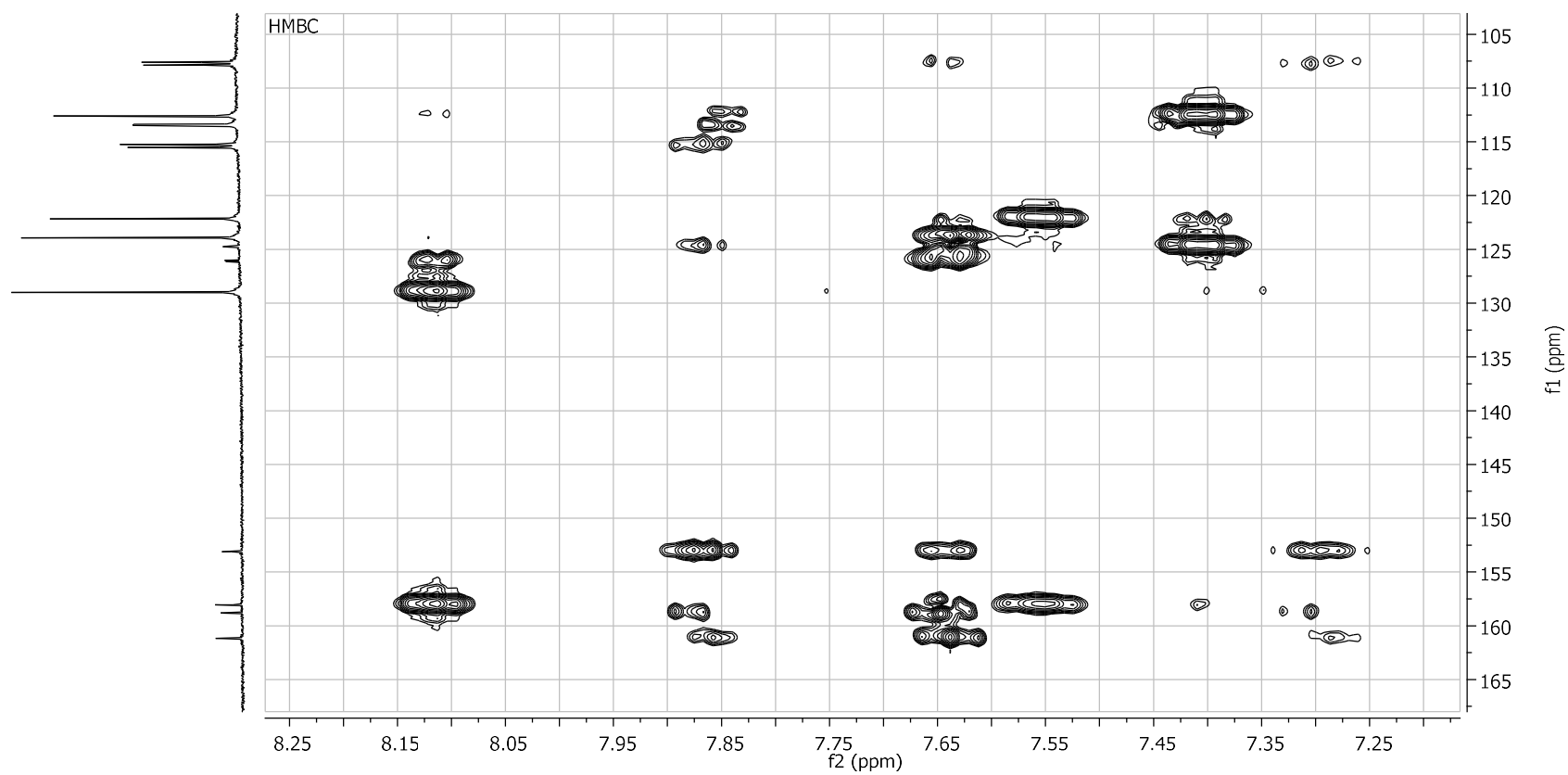
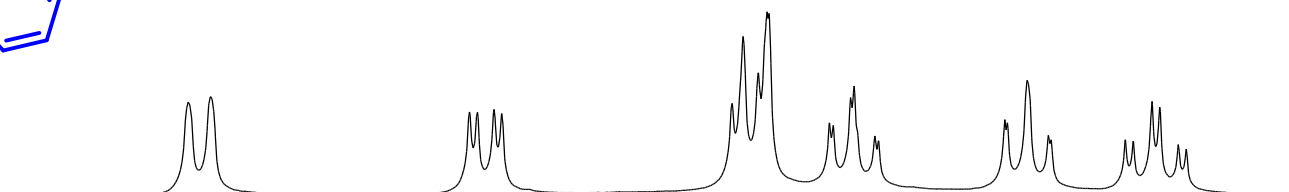
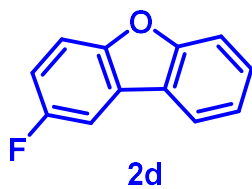
¹³C-NMR (100 MHz, acetona-d₆)



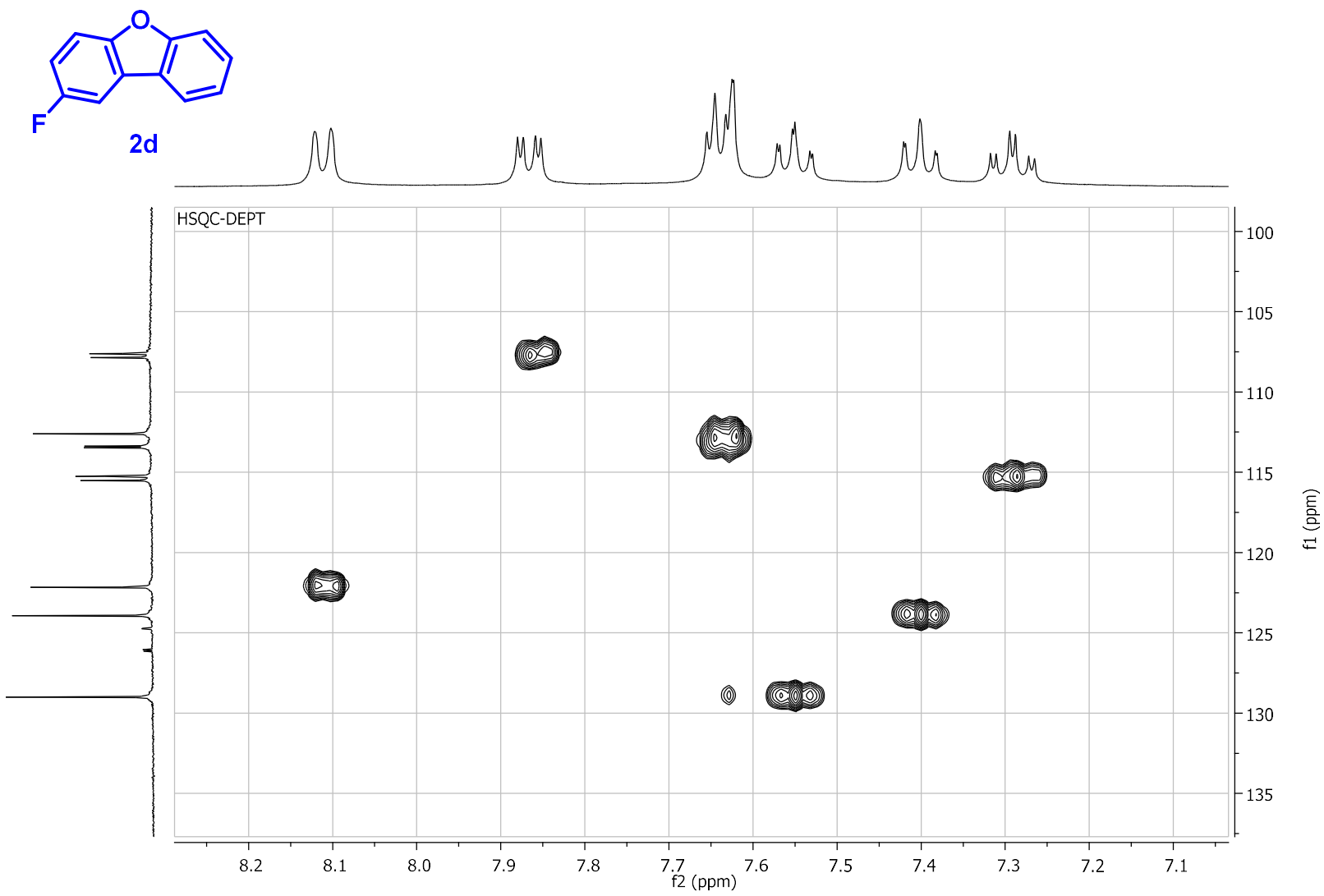
COSY



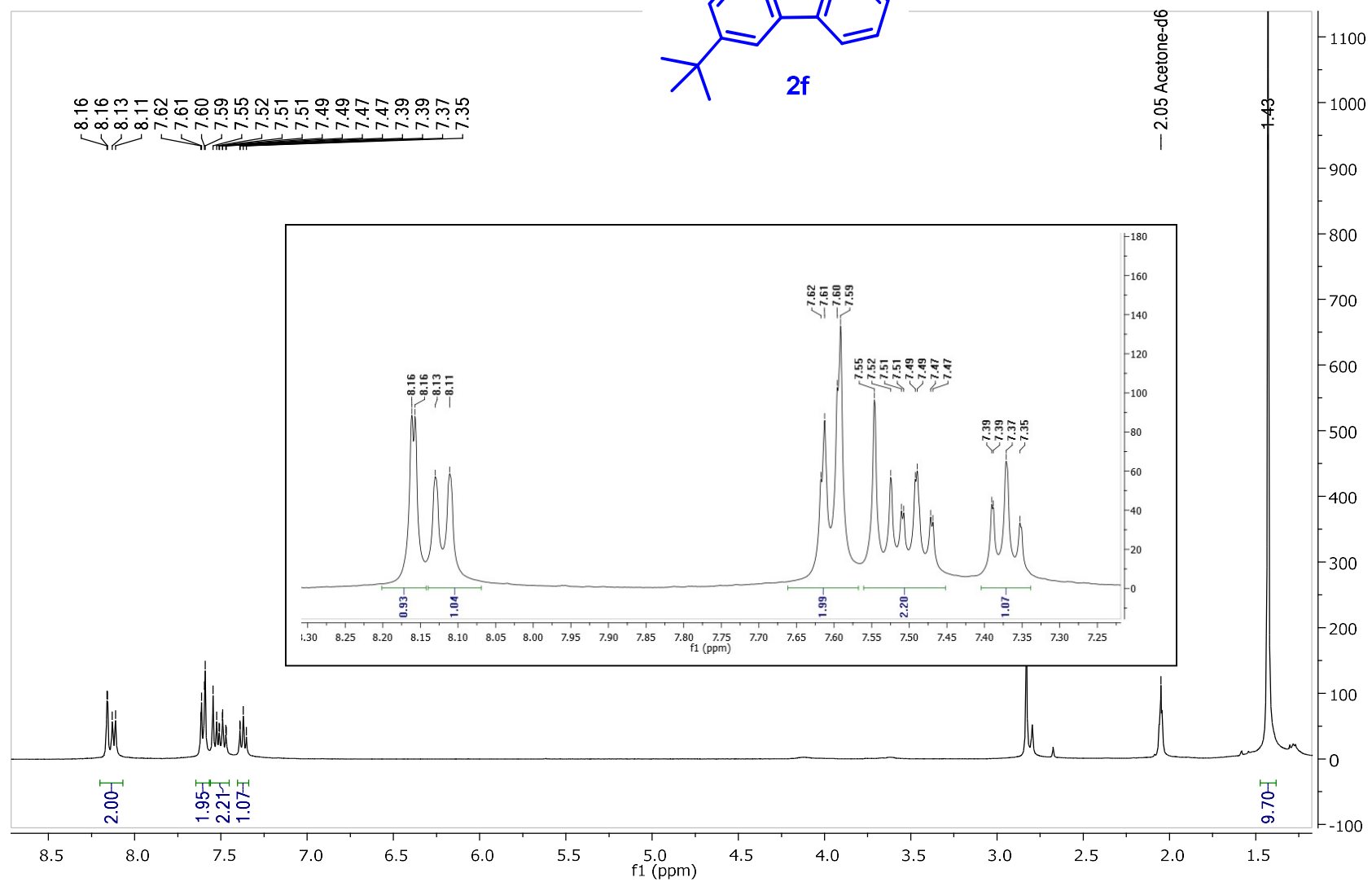
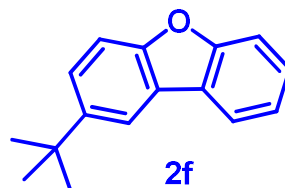
HMBC



HSQC-DEPT

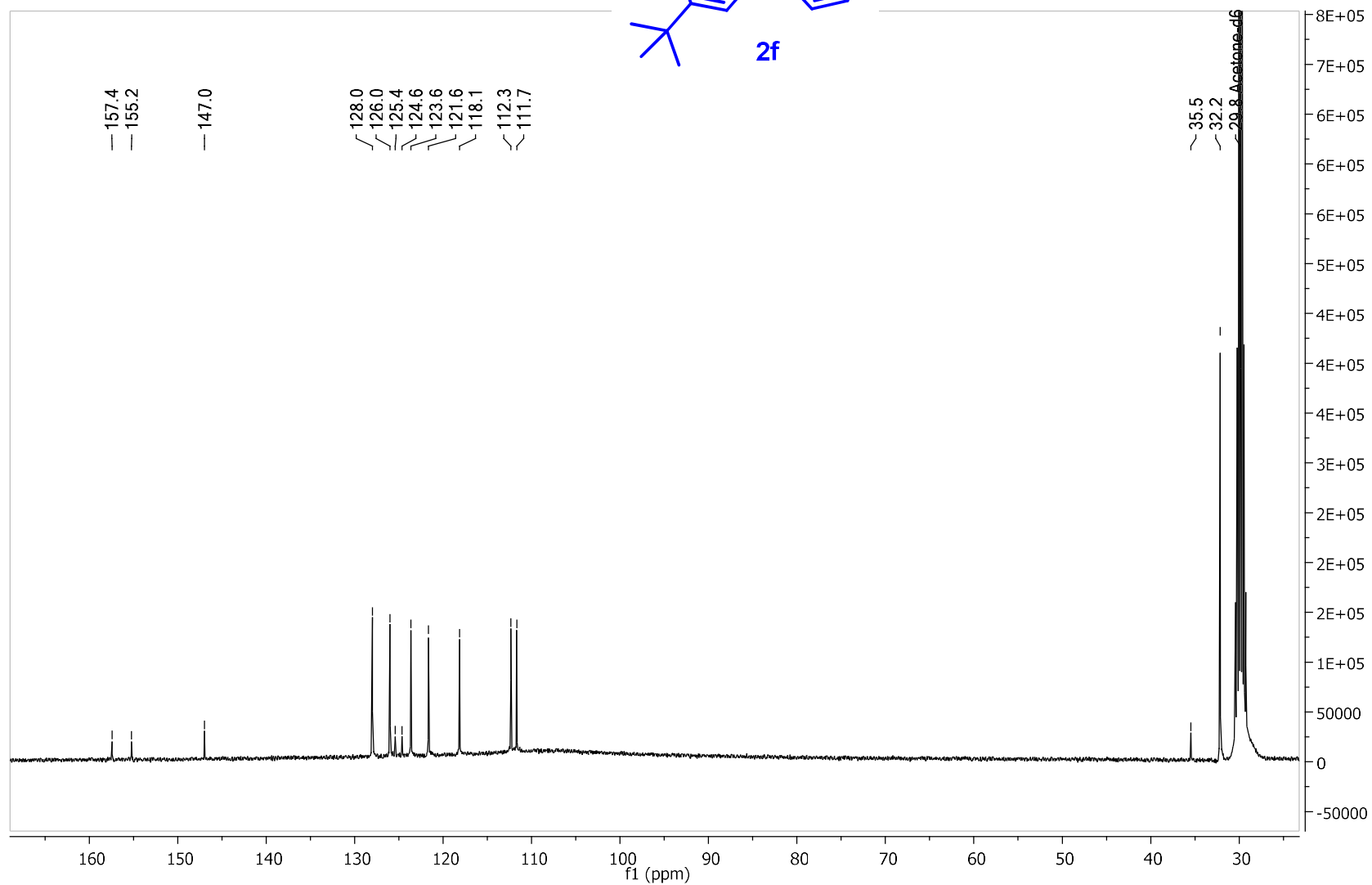
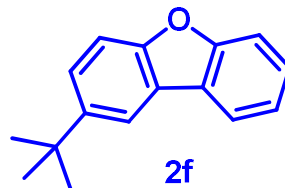


2-(*tert*-butil)dibenzo[*b,d*]furano (2f).
¹H-NMR (400 MHz, acetona-*d*₆)

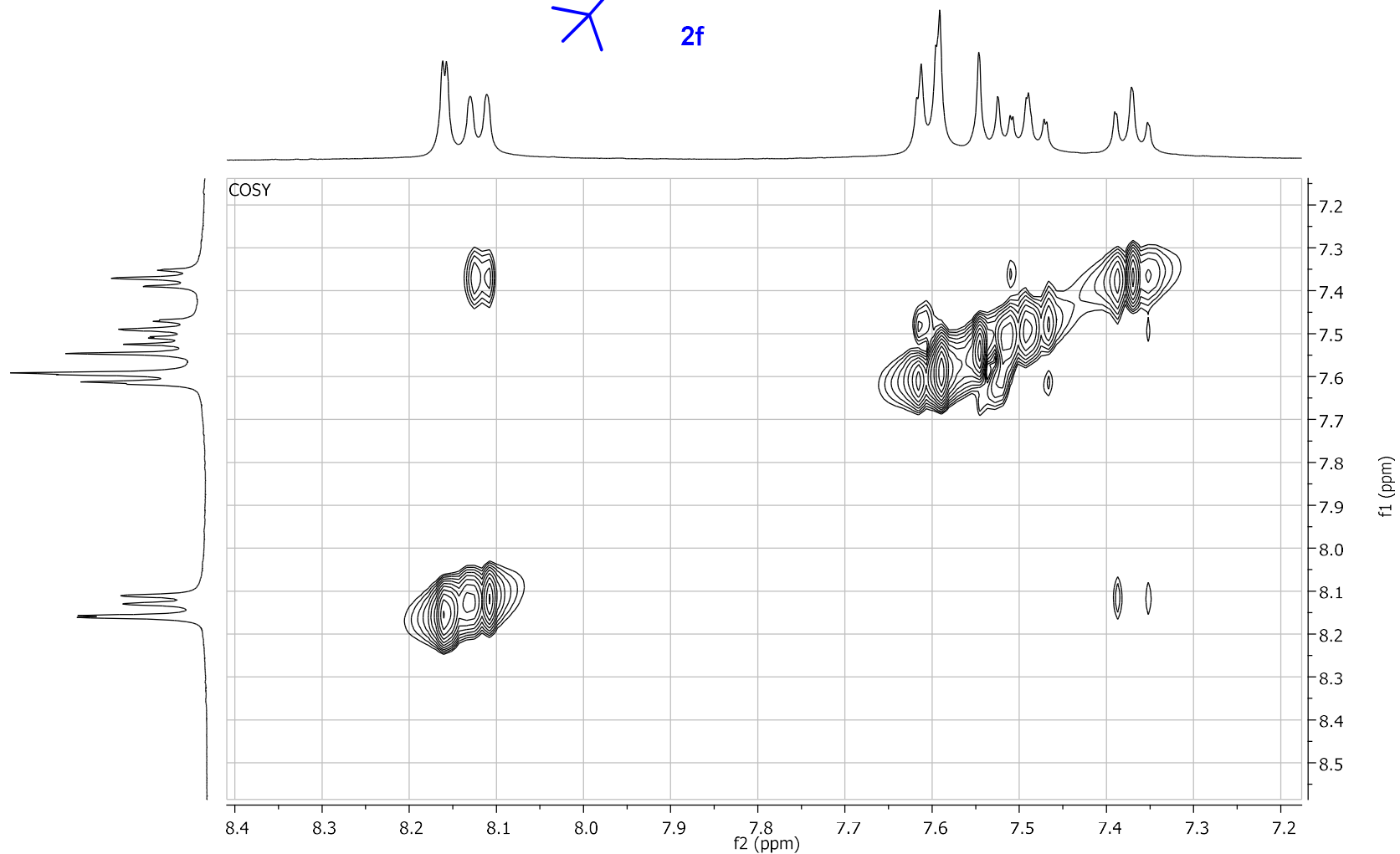
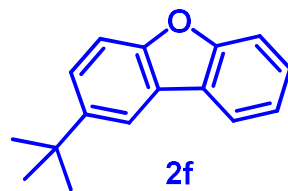


Anexo A: Información Espectroscópica del Capítulo 2

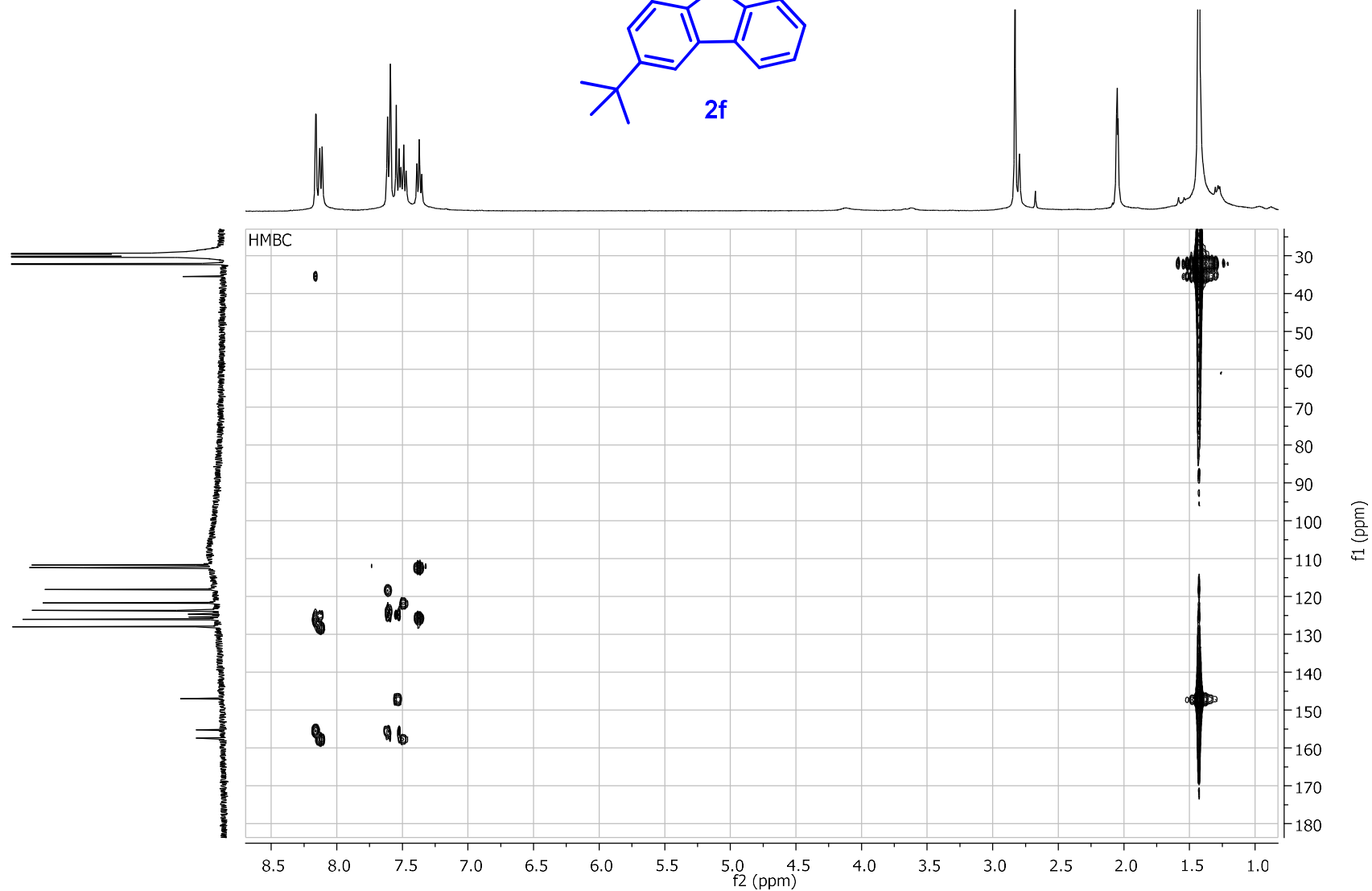
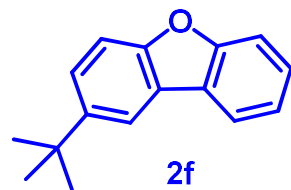
^{13}C -NMR (100 MHz, acetona- d_6)



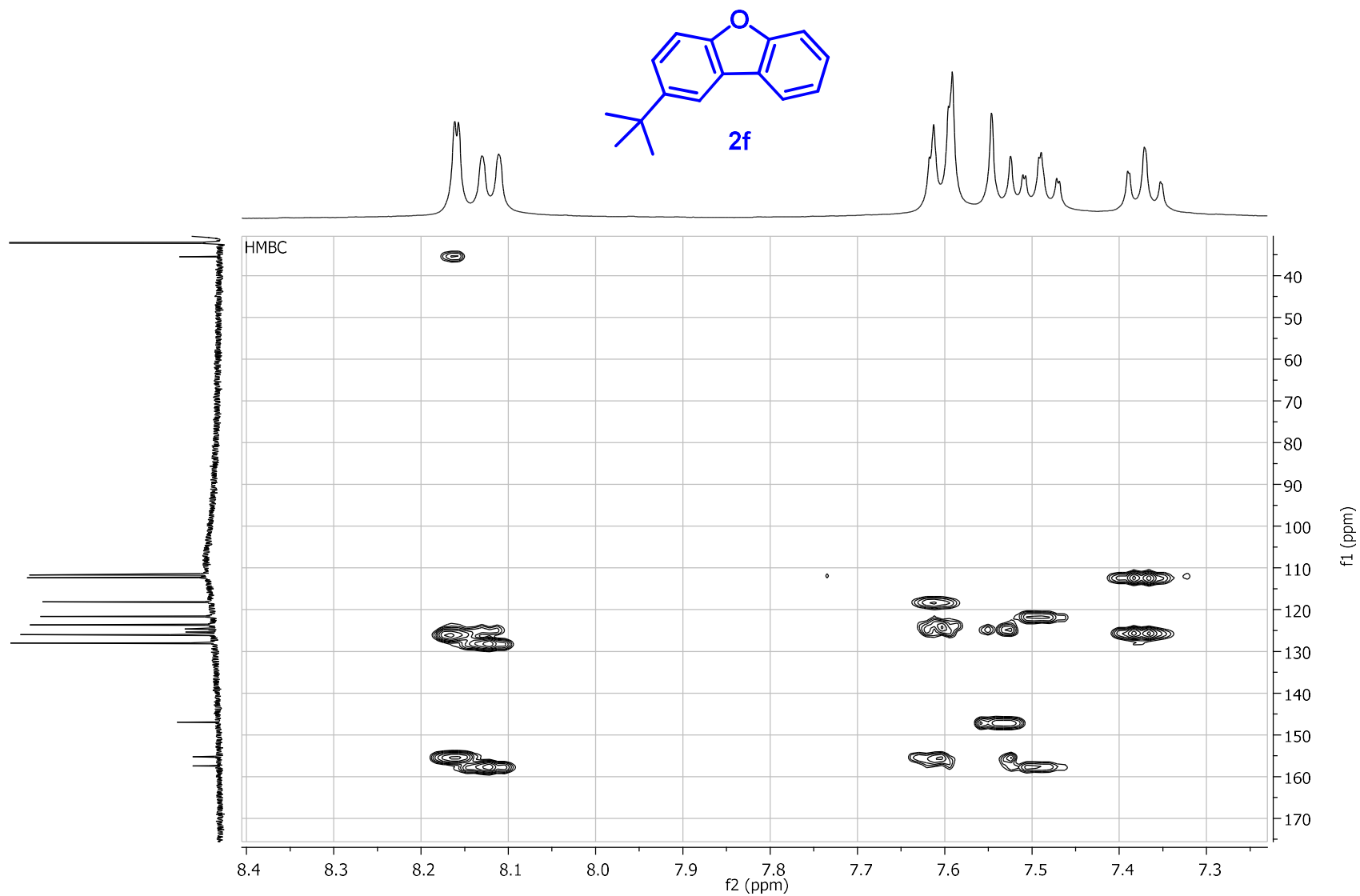
COSY



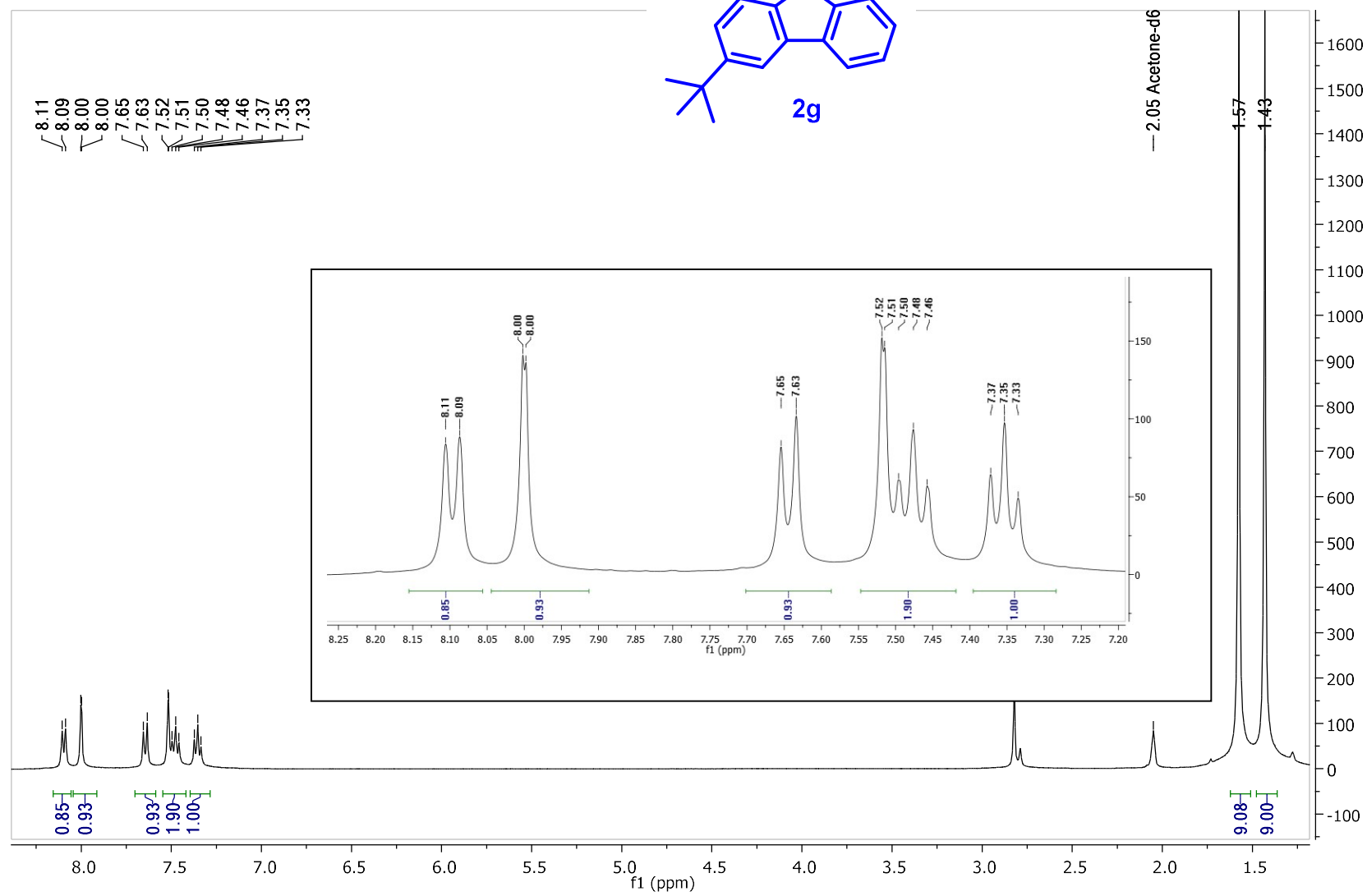
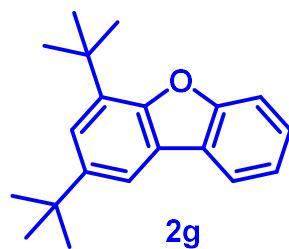
HMBC



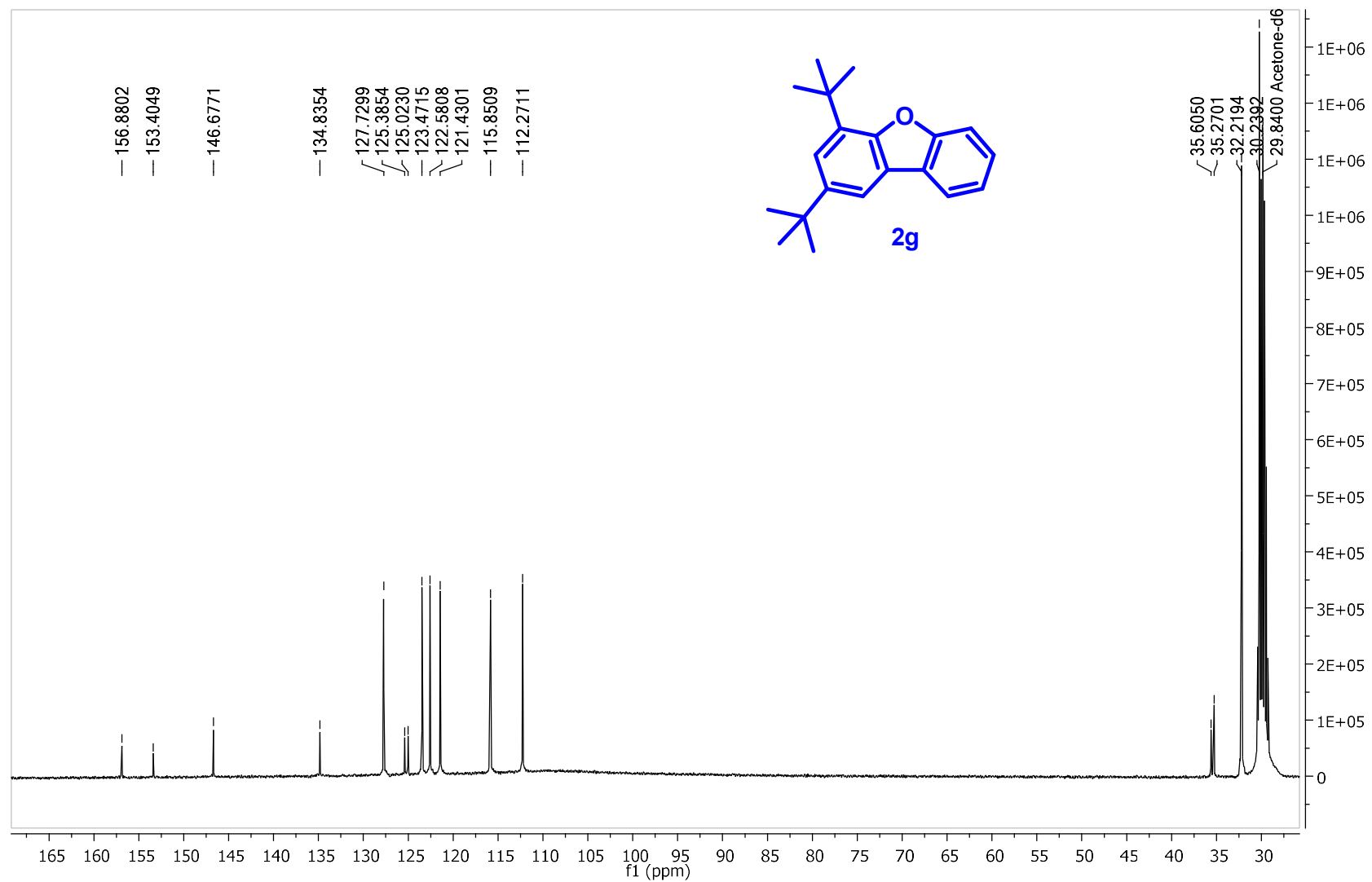
HMBC



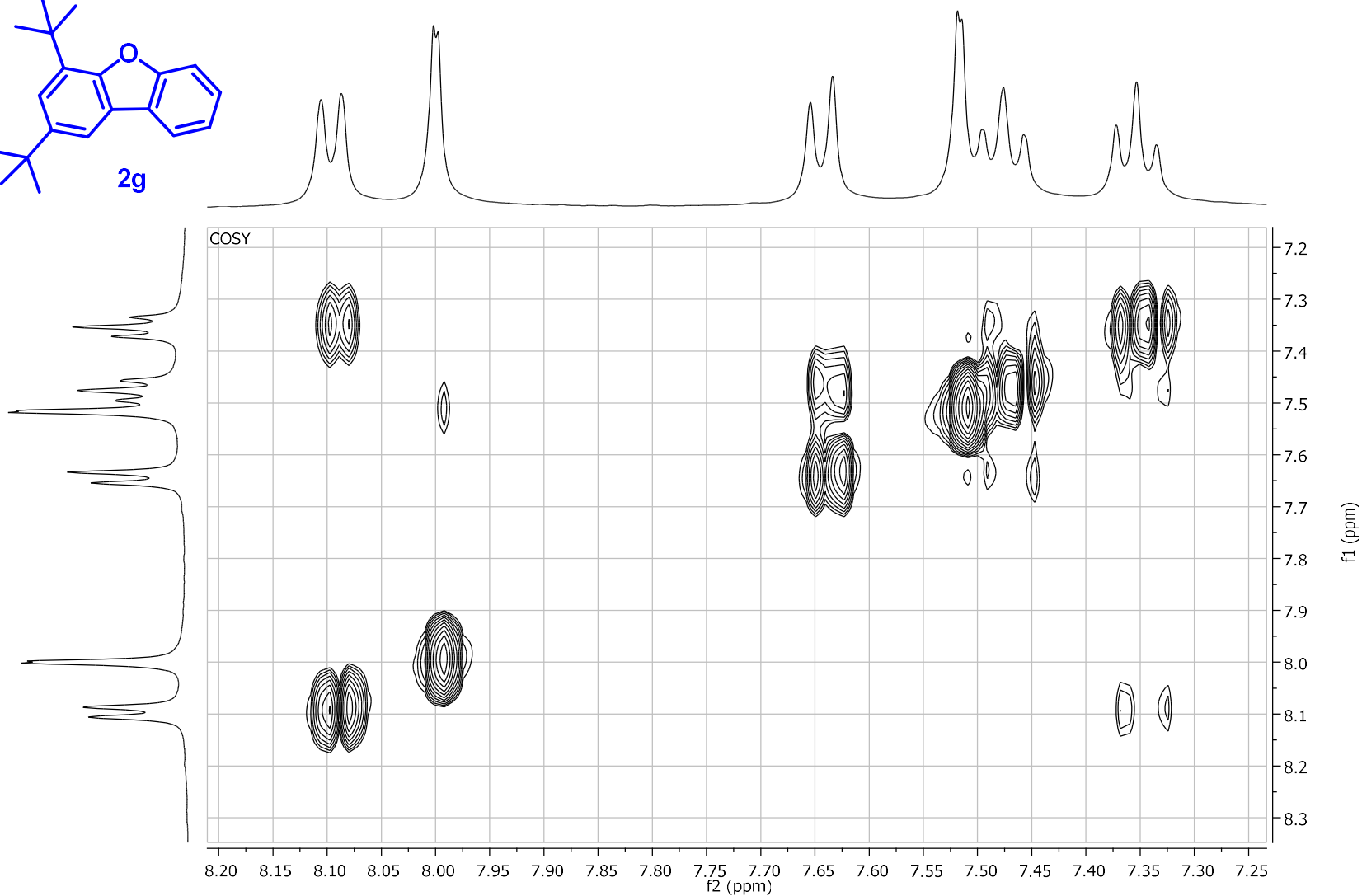
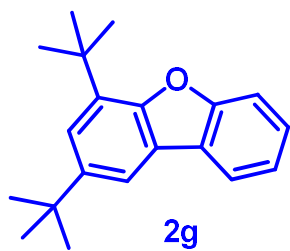
2,4-di-*tert*-butildibenzo[*b,d*]furano (2g).
¹H-NMR (400 MHz, acetona-*d*₆)



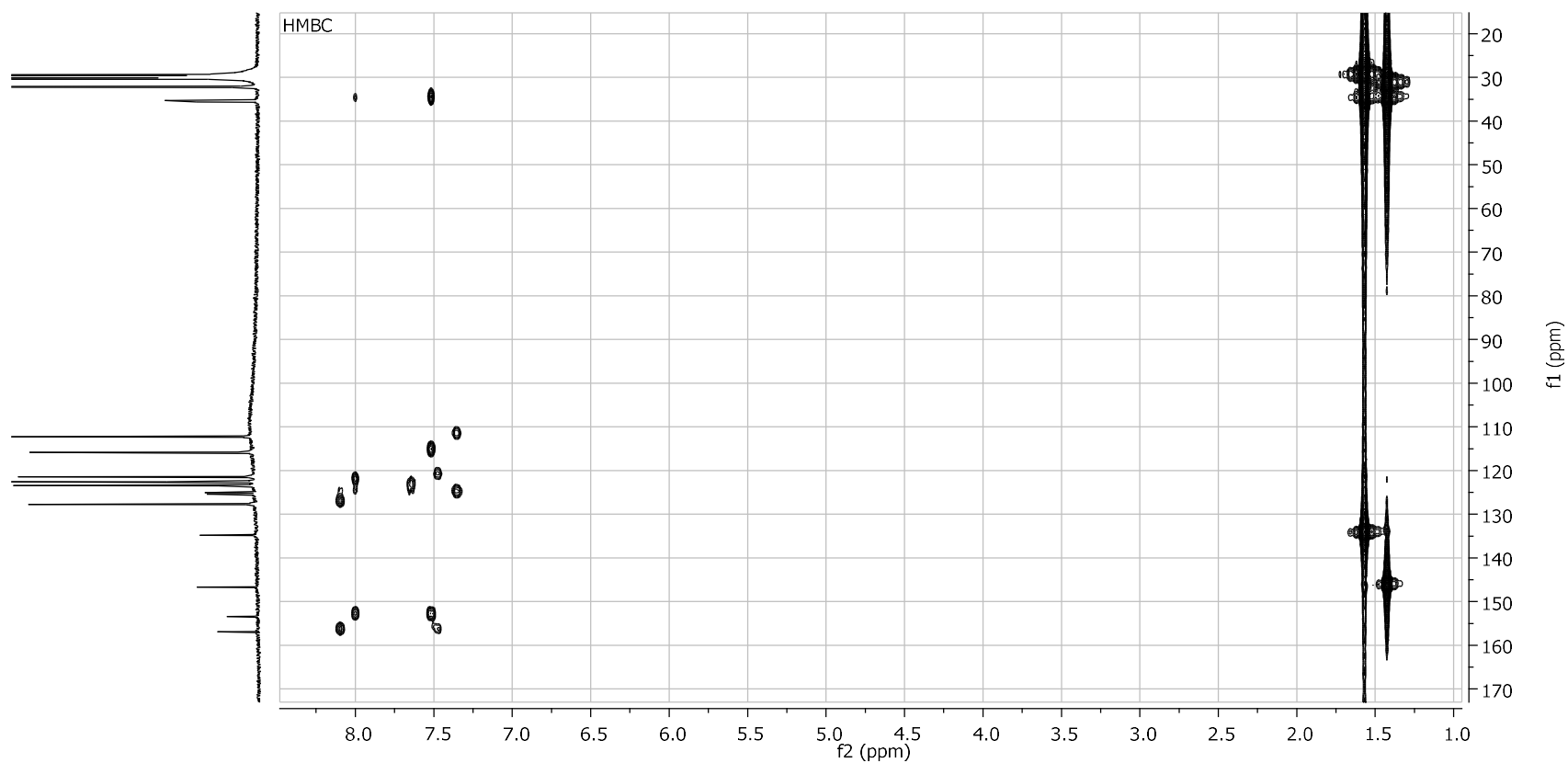
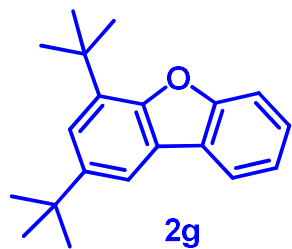
¹³C-NMR (100 MHz, acetona-d₆)



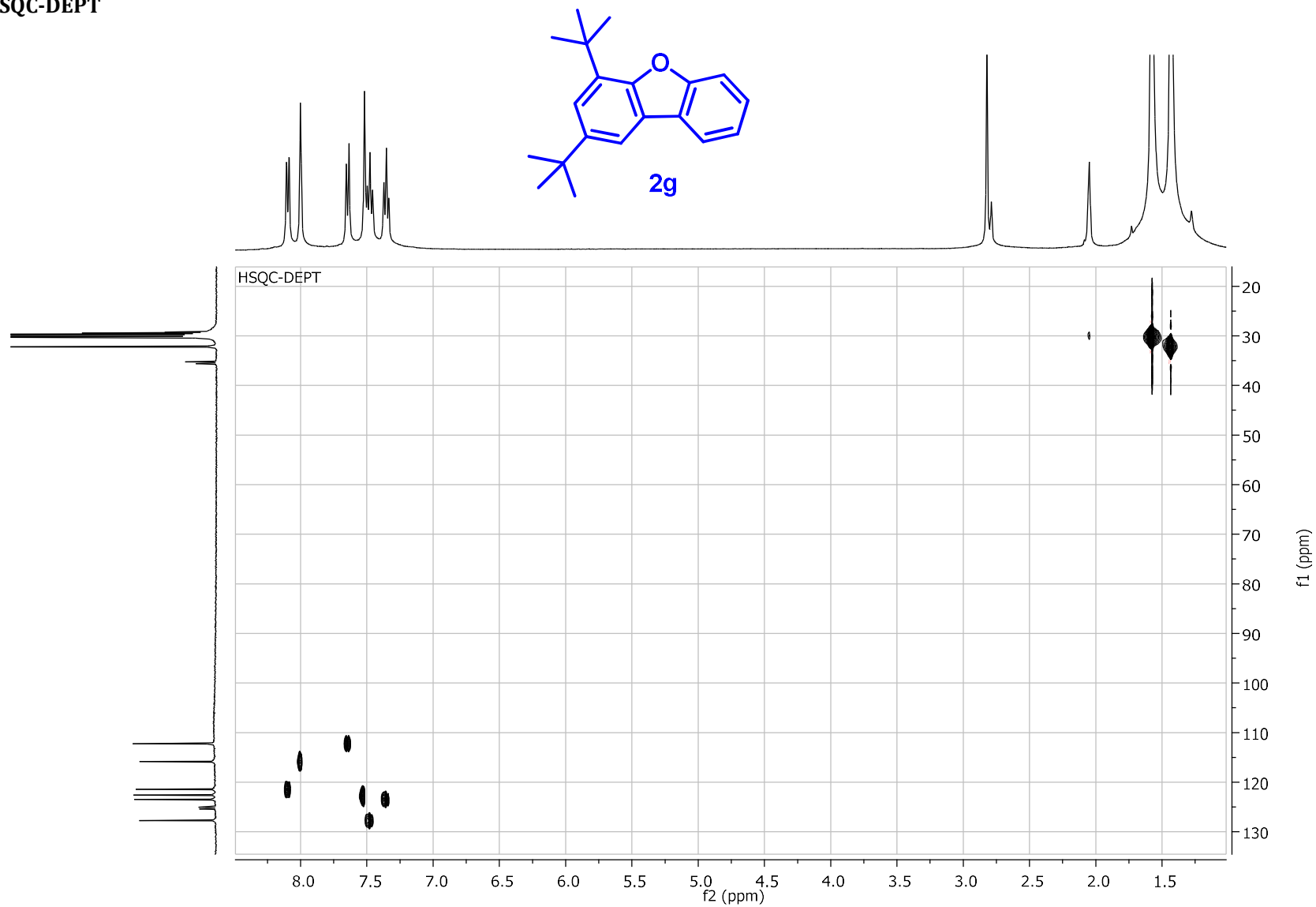
COSY



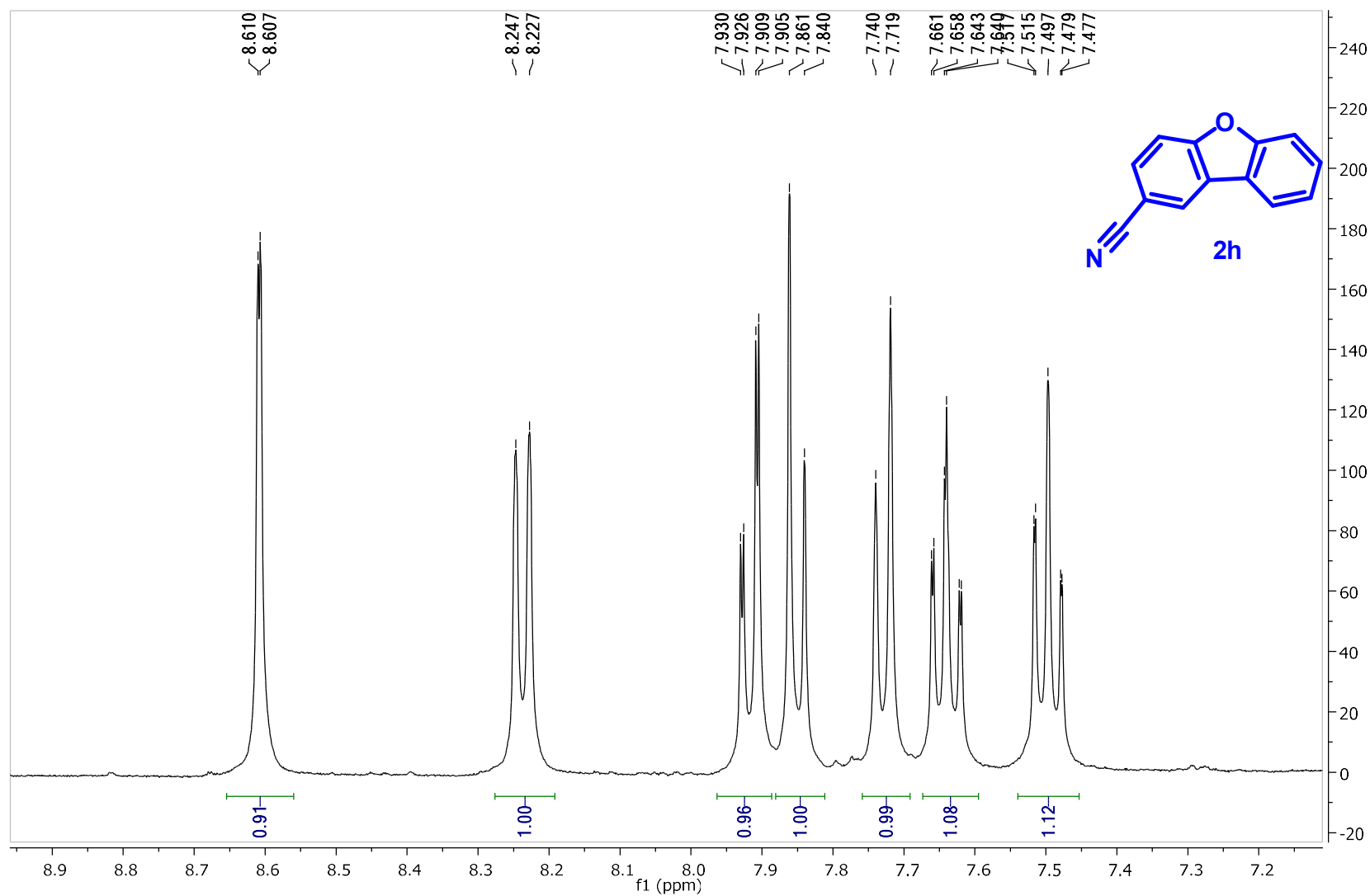
HMBC



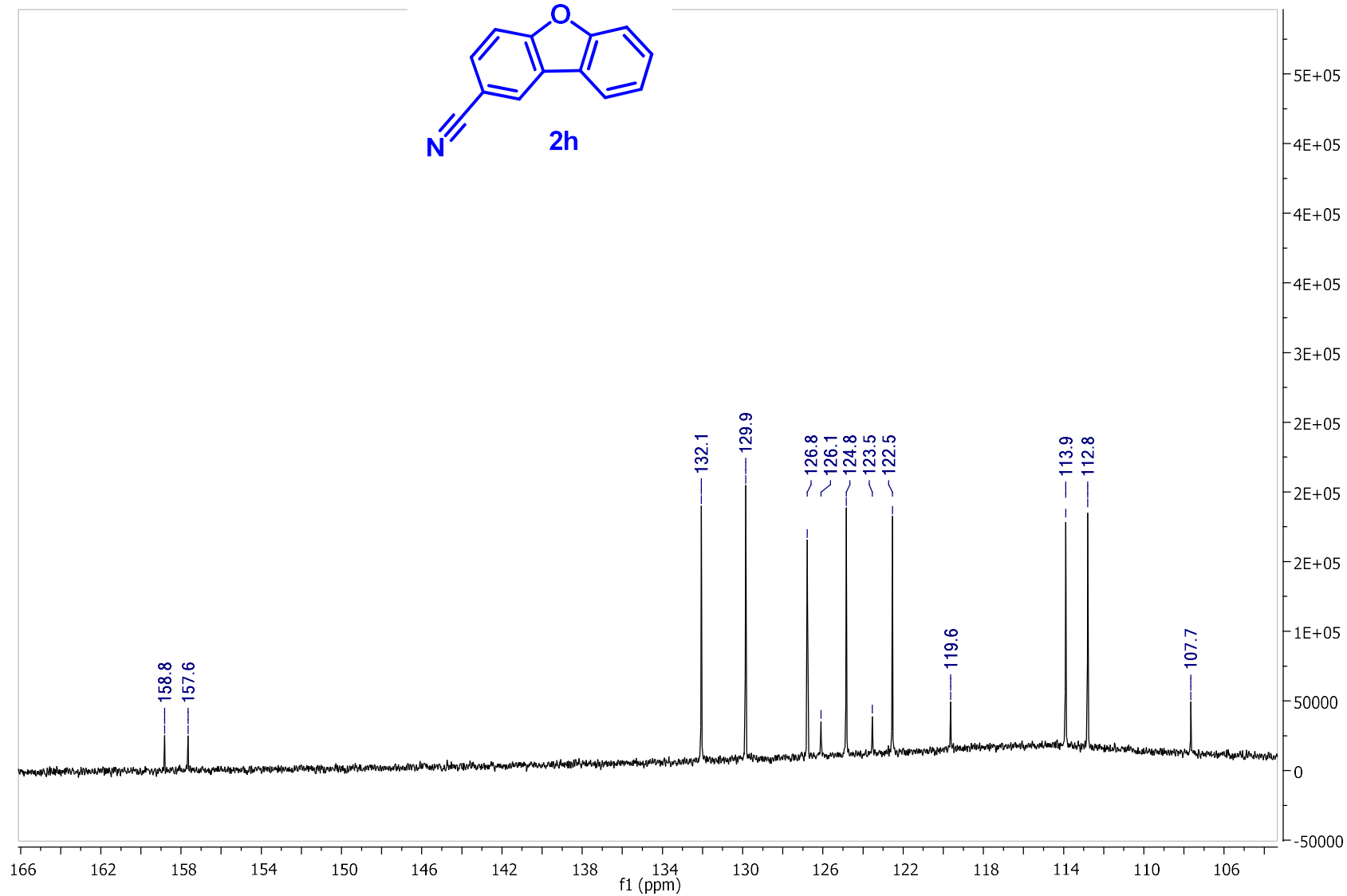
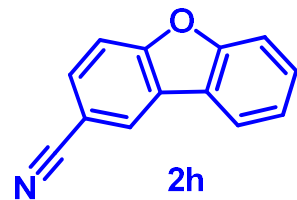
HSQC-DEPT



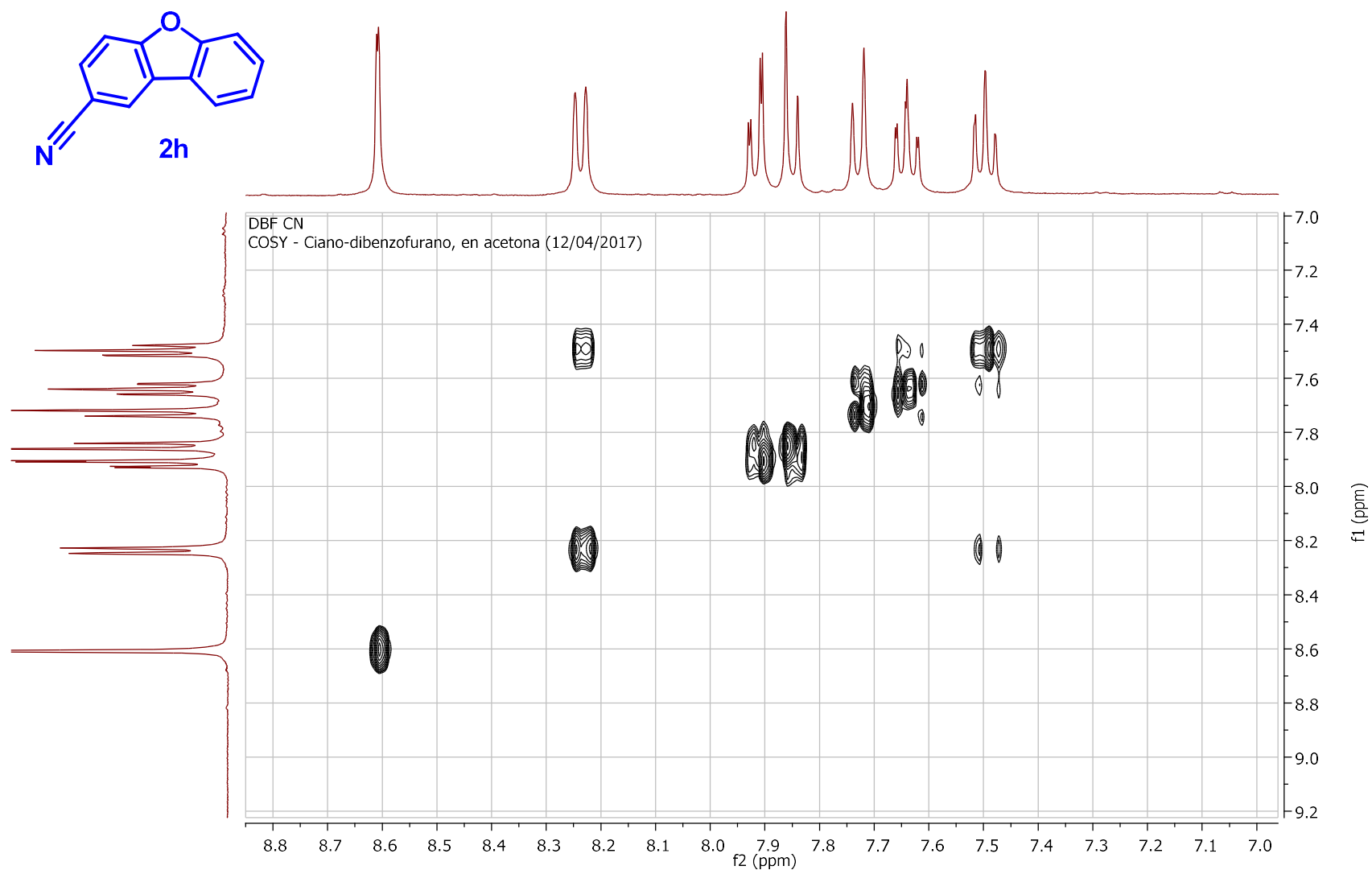
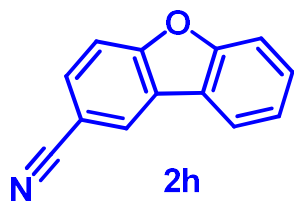
Dibenzo[*b,d*]furano-2-carbonitrilo (2h).
¹H-NMR (400 MHz, acetona-*d*₆)



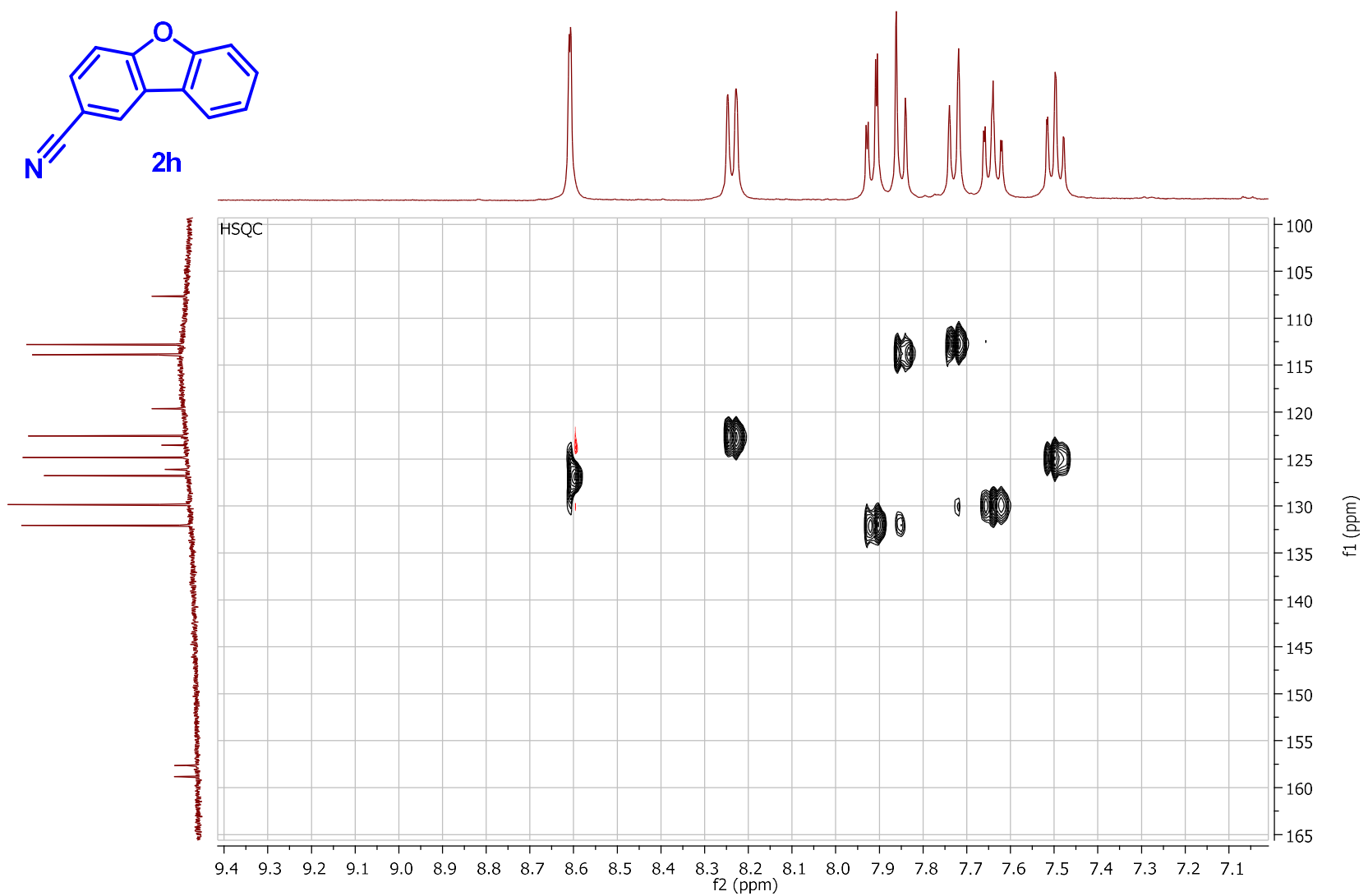
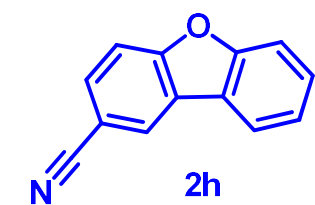
¹³C-NMR (100 MHz, acetona-d₆)



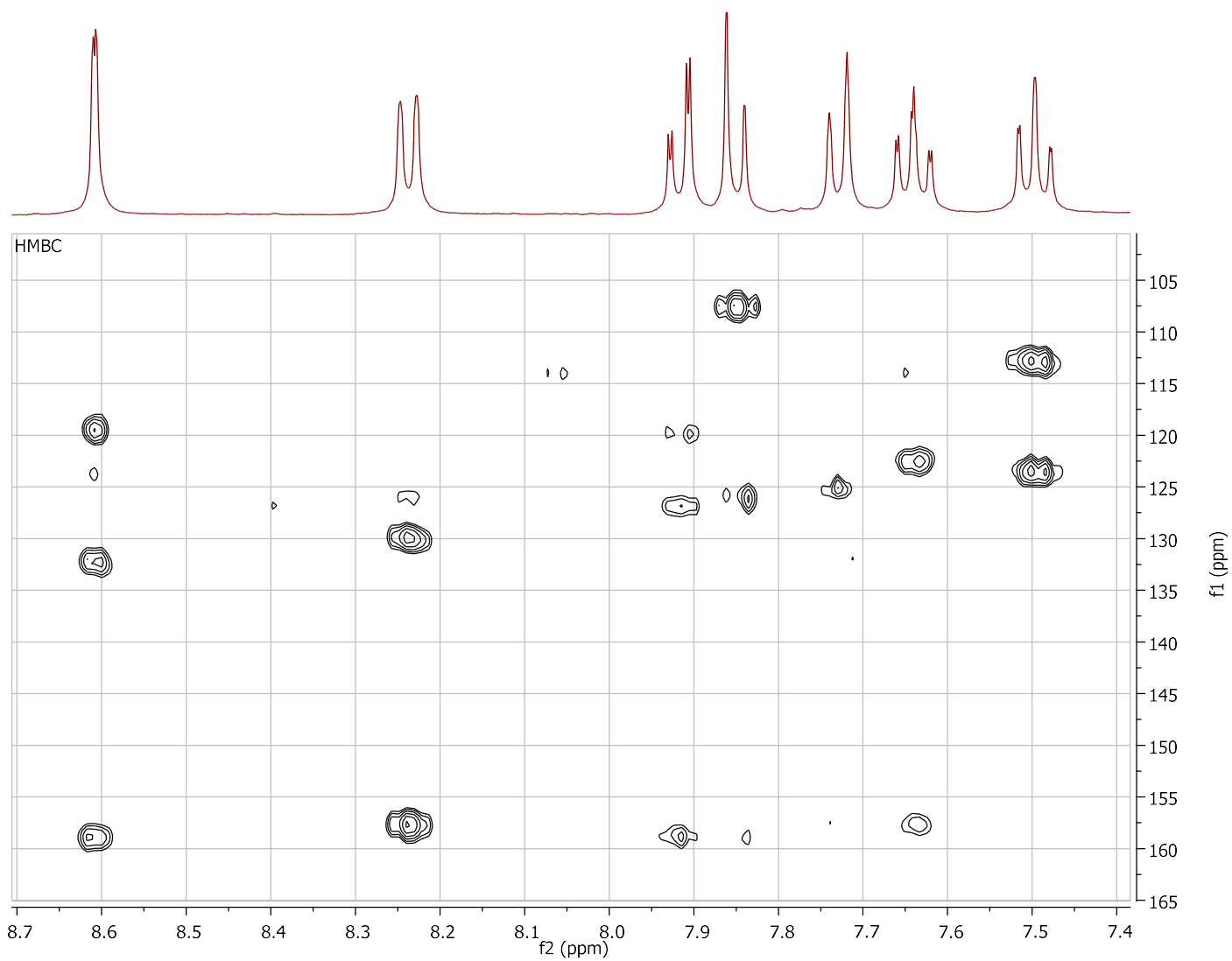
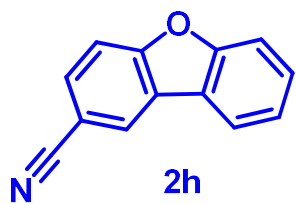
COSY



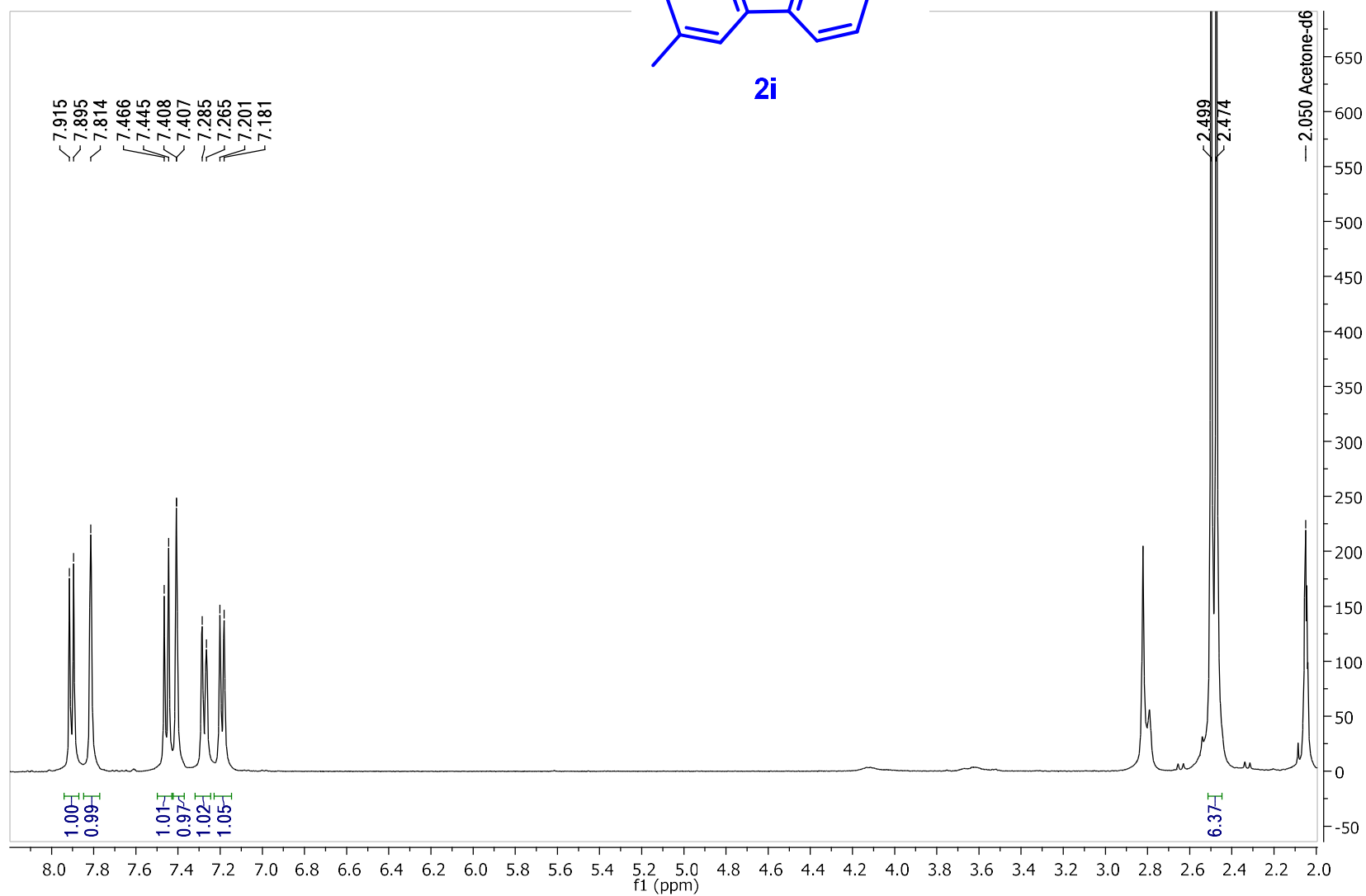
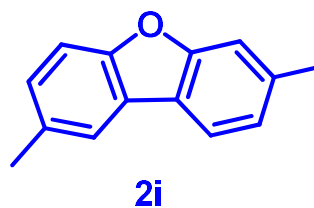
HMBC



HMBC

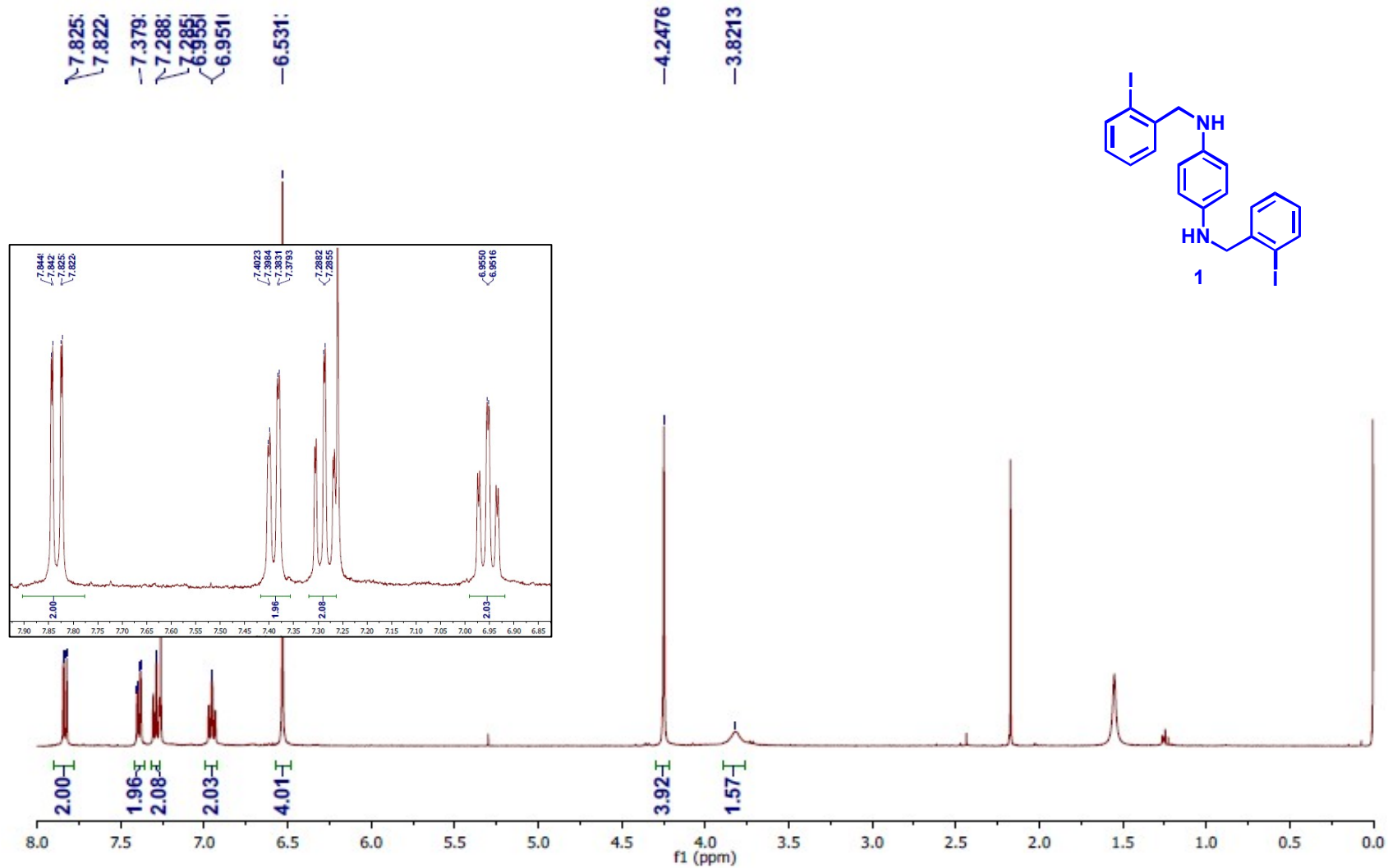


2,7-dimetildibenzo[*b,d*]furano (2i).
¹H-NMR (400 MHz, acetona-*d*₆)

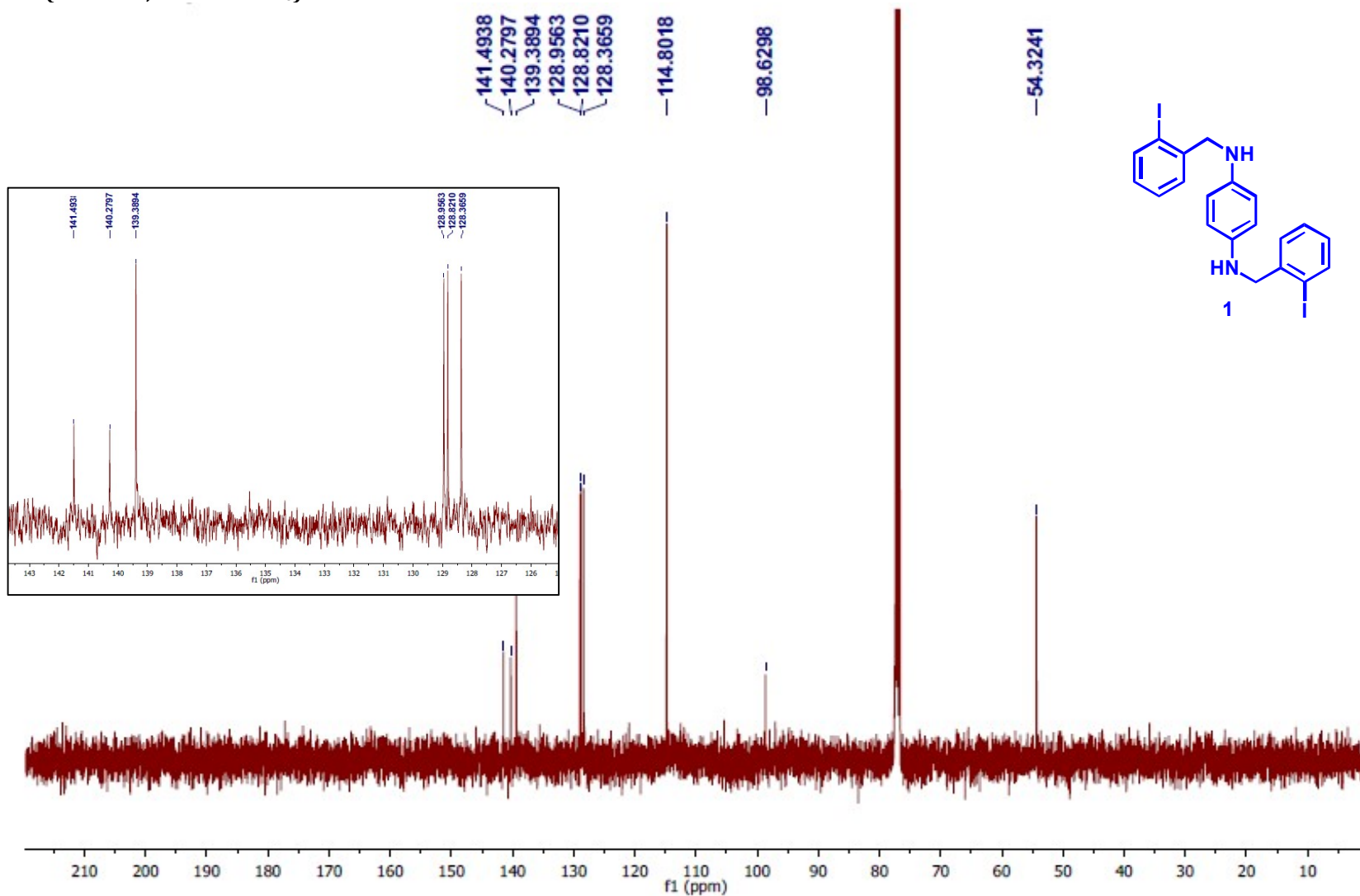


N¹,N⁴-bis(2-iodobencil)benceno-1,4-diamina (1)

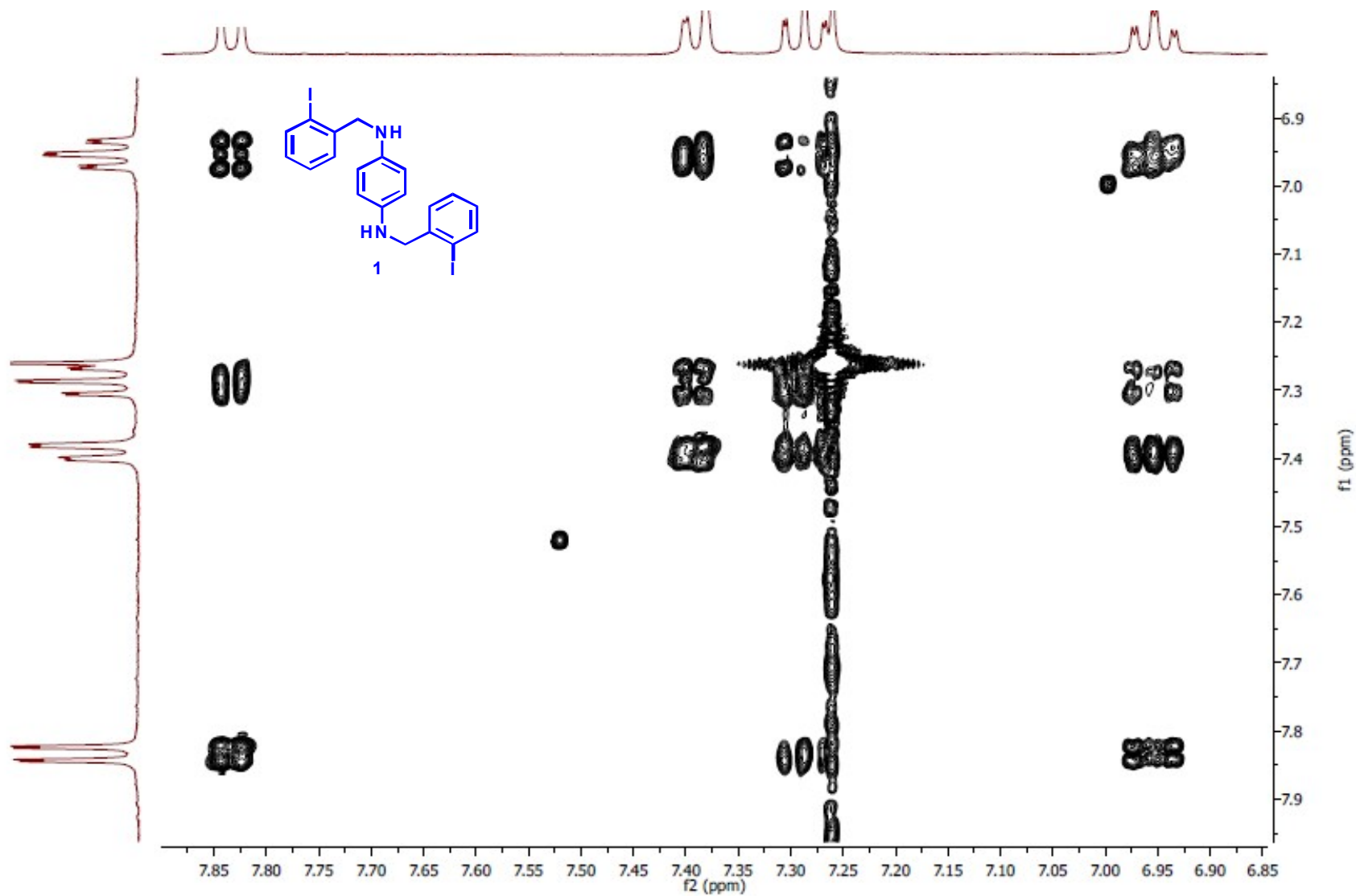
¹H-NMR (400 MHz, cloroformo-*d*₆)



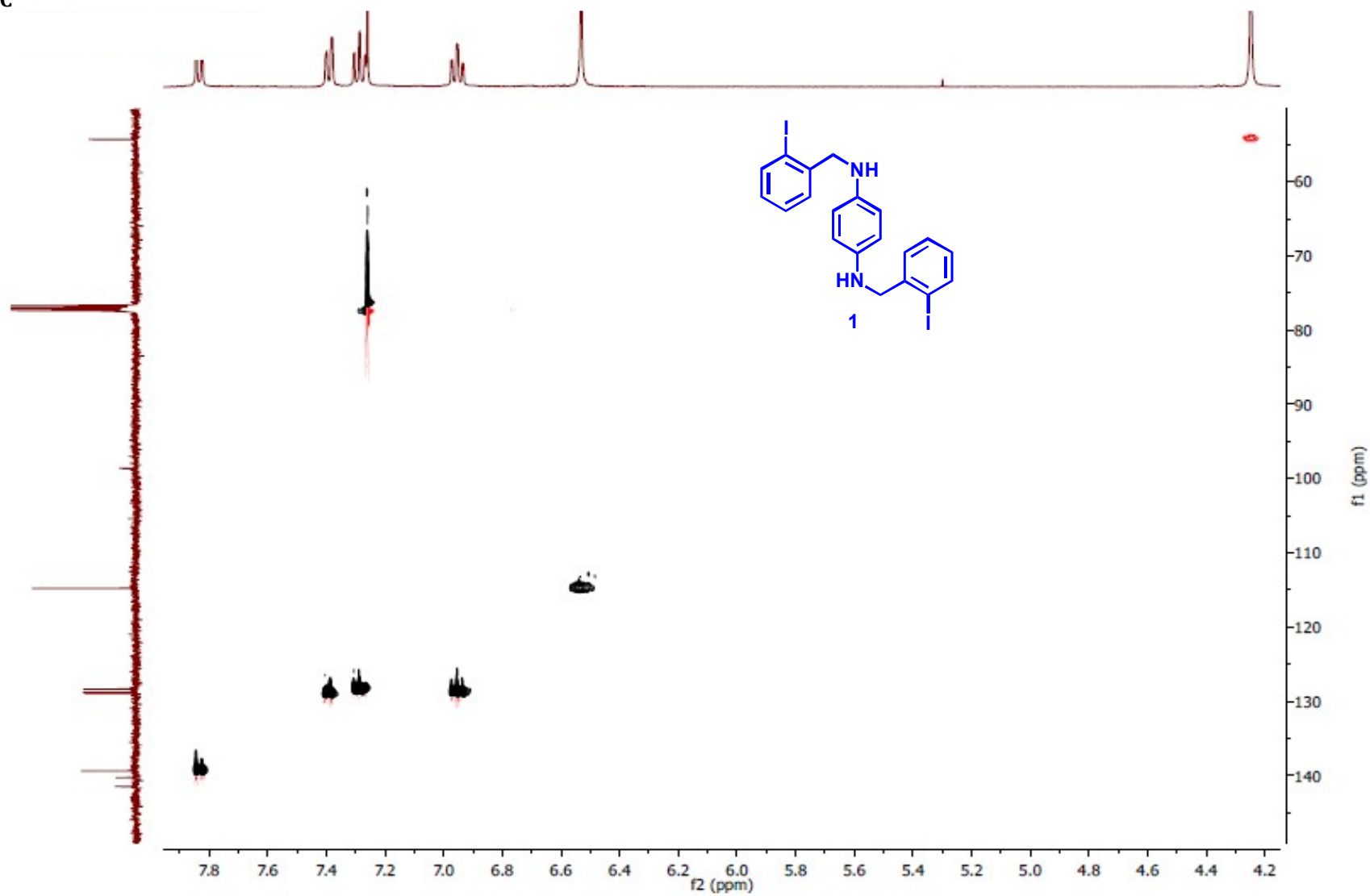
¹³C-NMR (100 MHz, clorofomo-d₆)



COSY

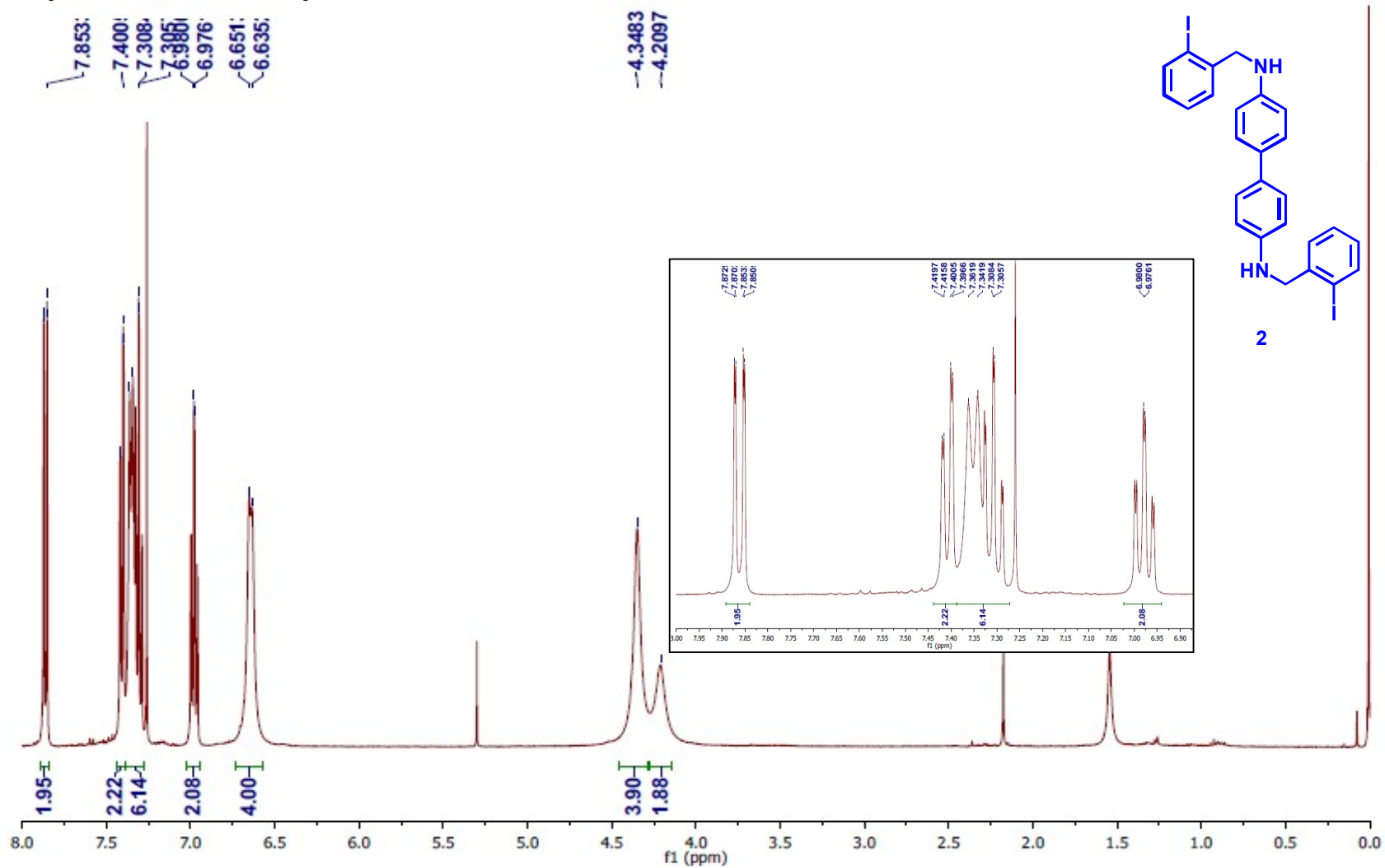


HSQC



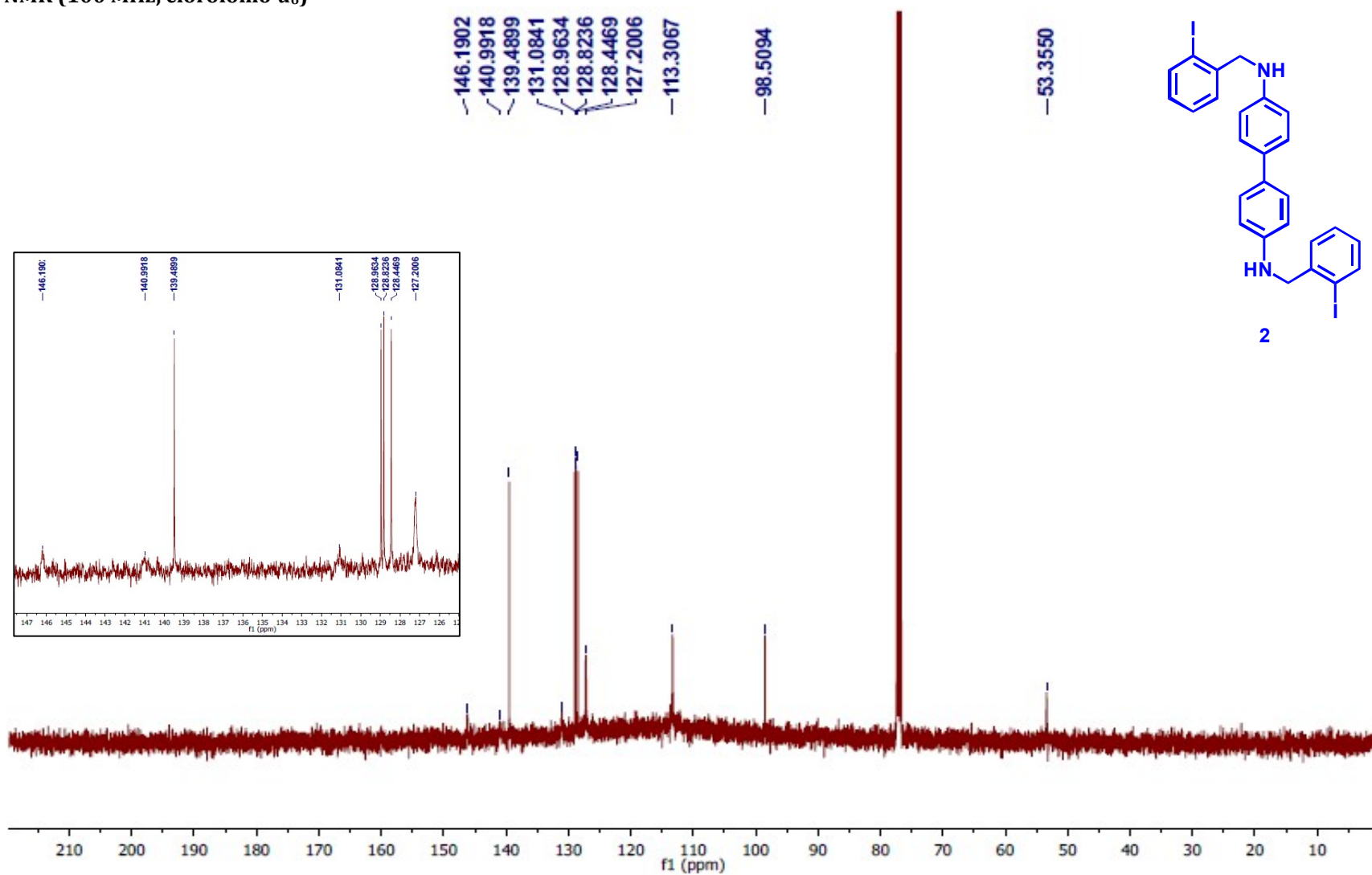
N⁴,N^{4'}-bis(2-iodobencil)-[1,1'-bifenil]-4,4'-diamina (2)

¹H-NMR (400 MHz, cloroformo-*d*₆)

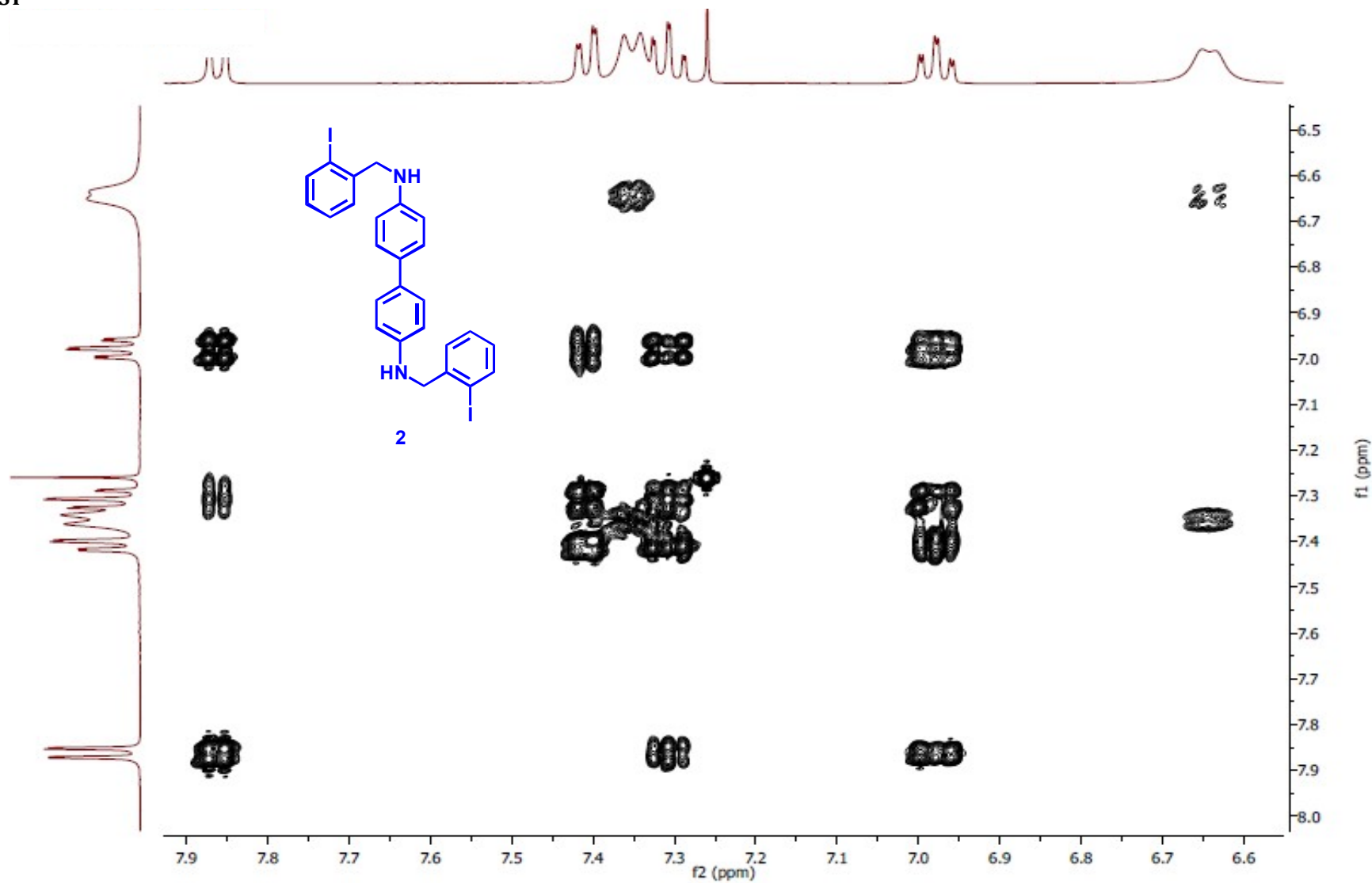


Anexo B: Información Espectroscópica del Capítulo 3

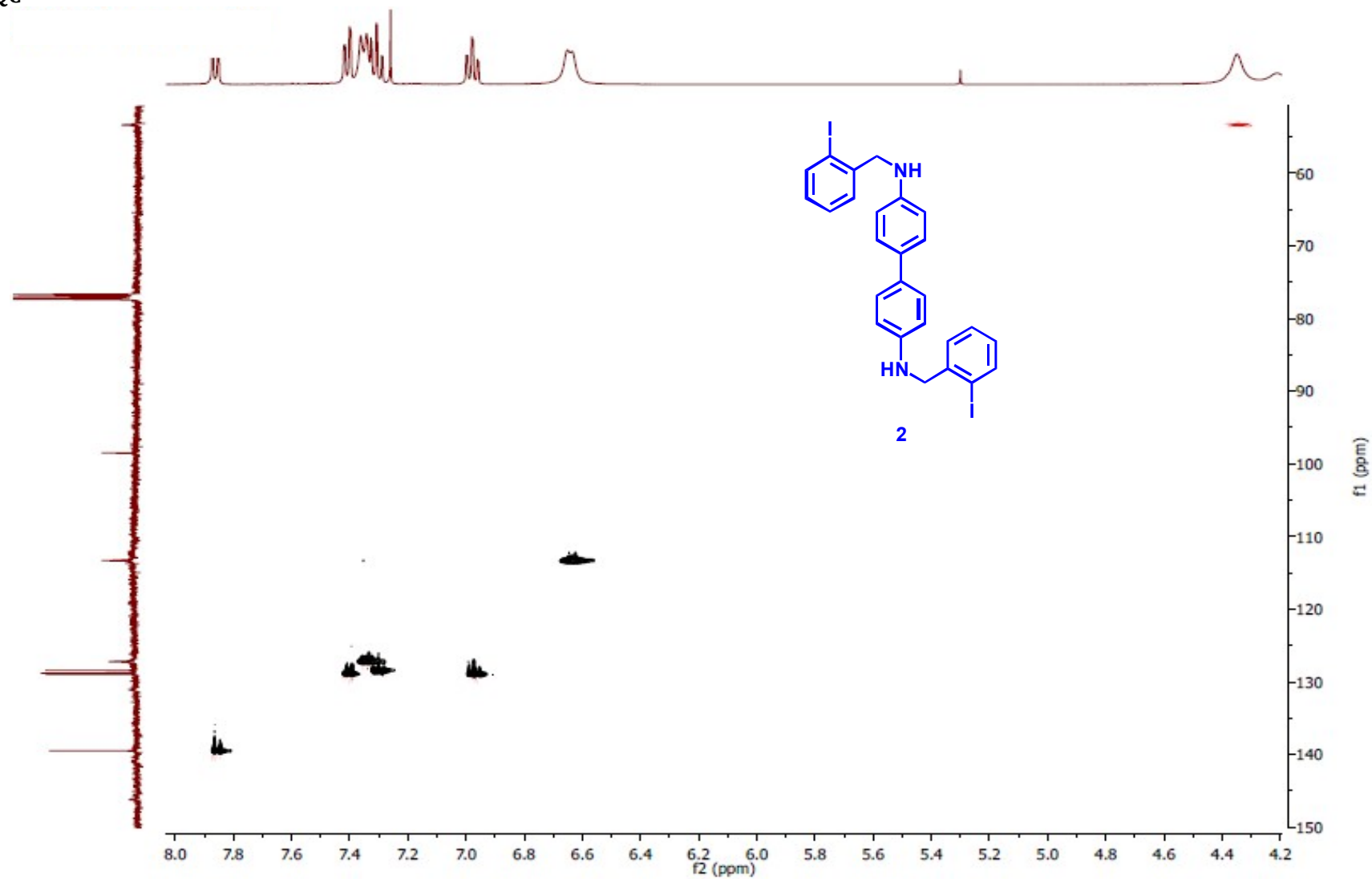
^{13}C -NMR (100 MHz, clorofomo- d_6)



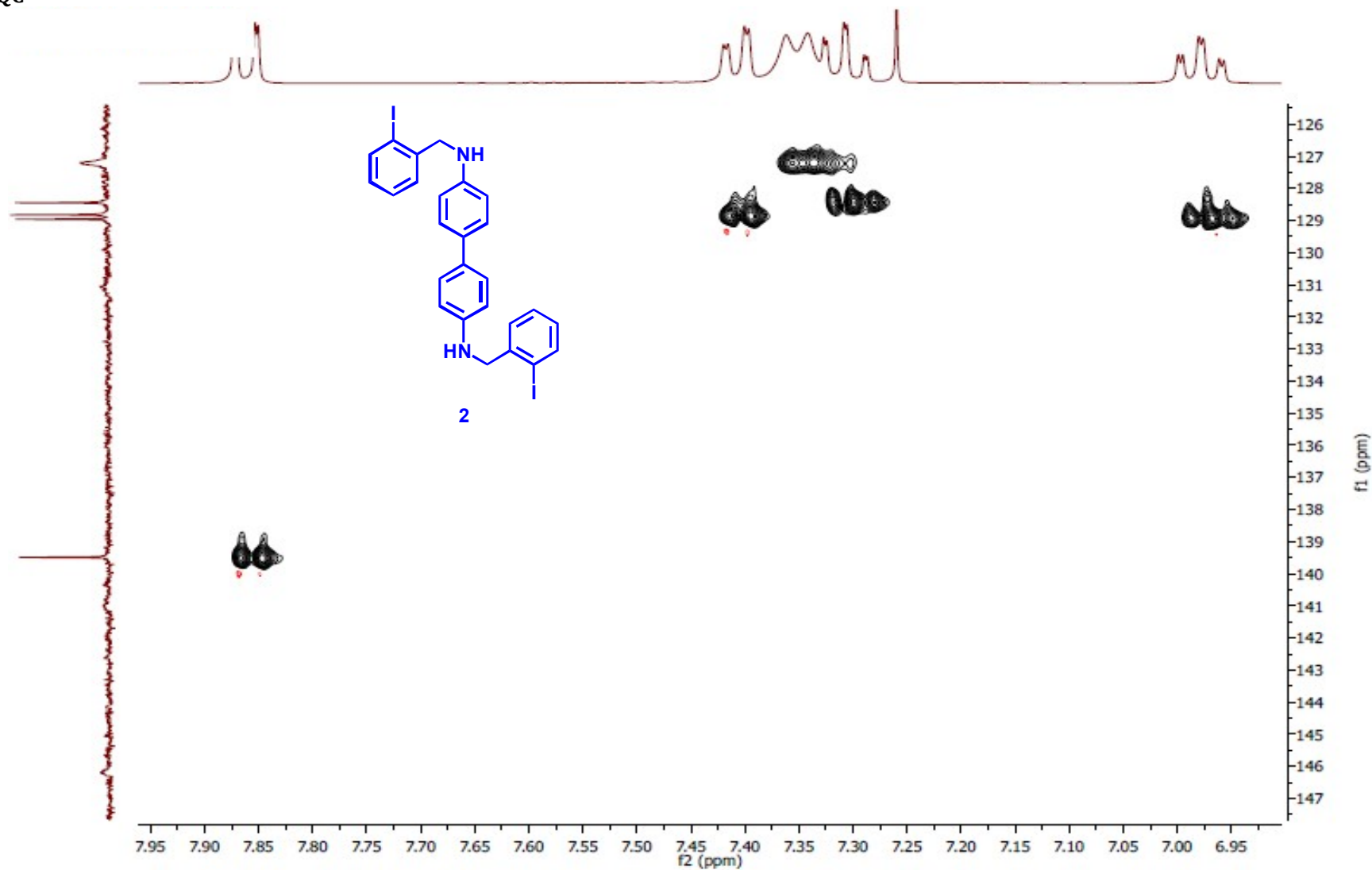
COSY



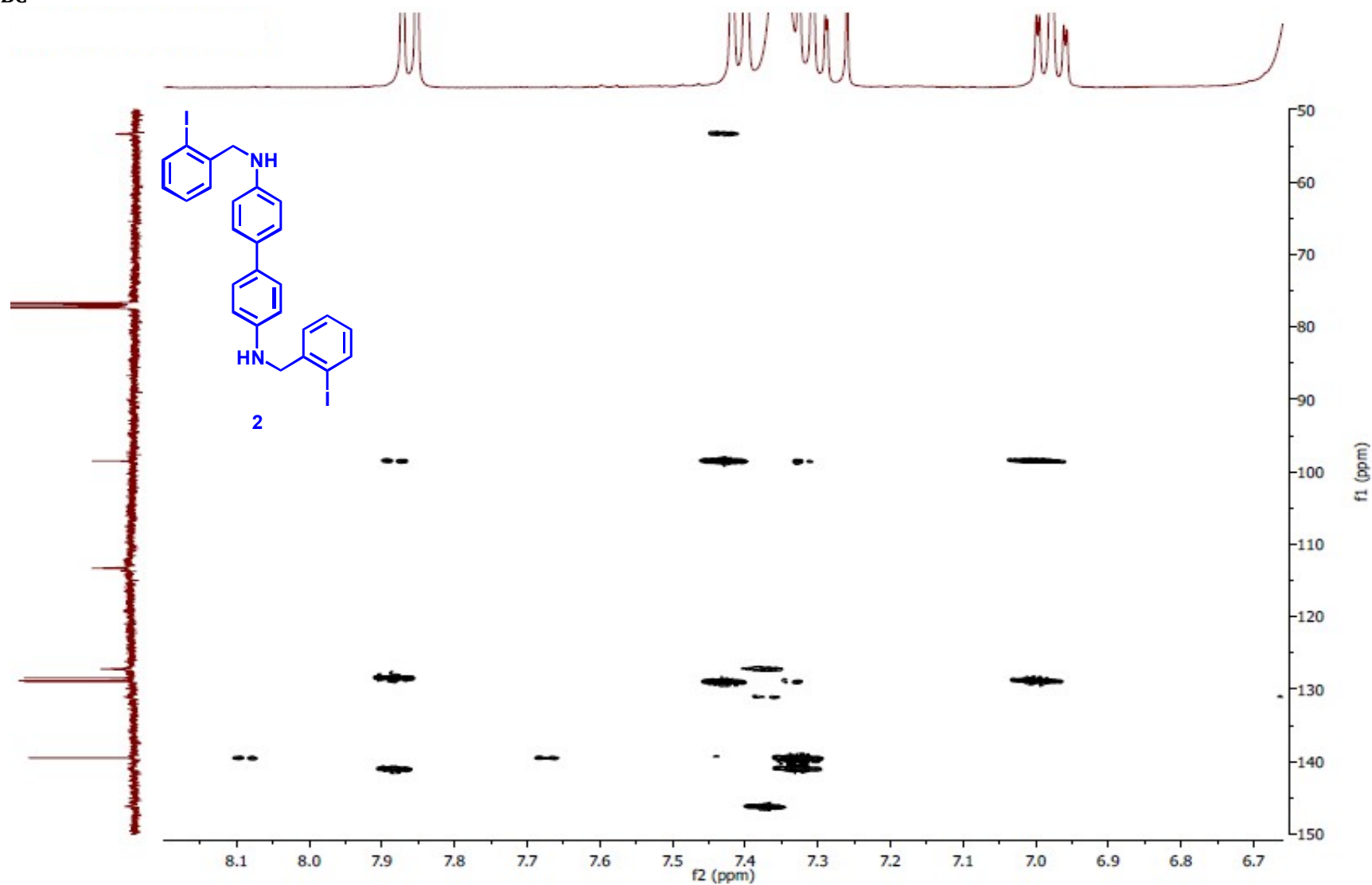
HSQC



HSQC

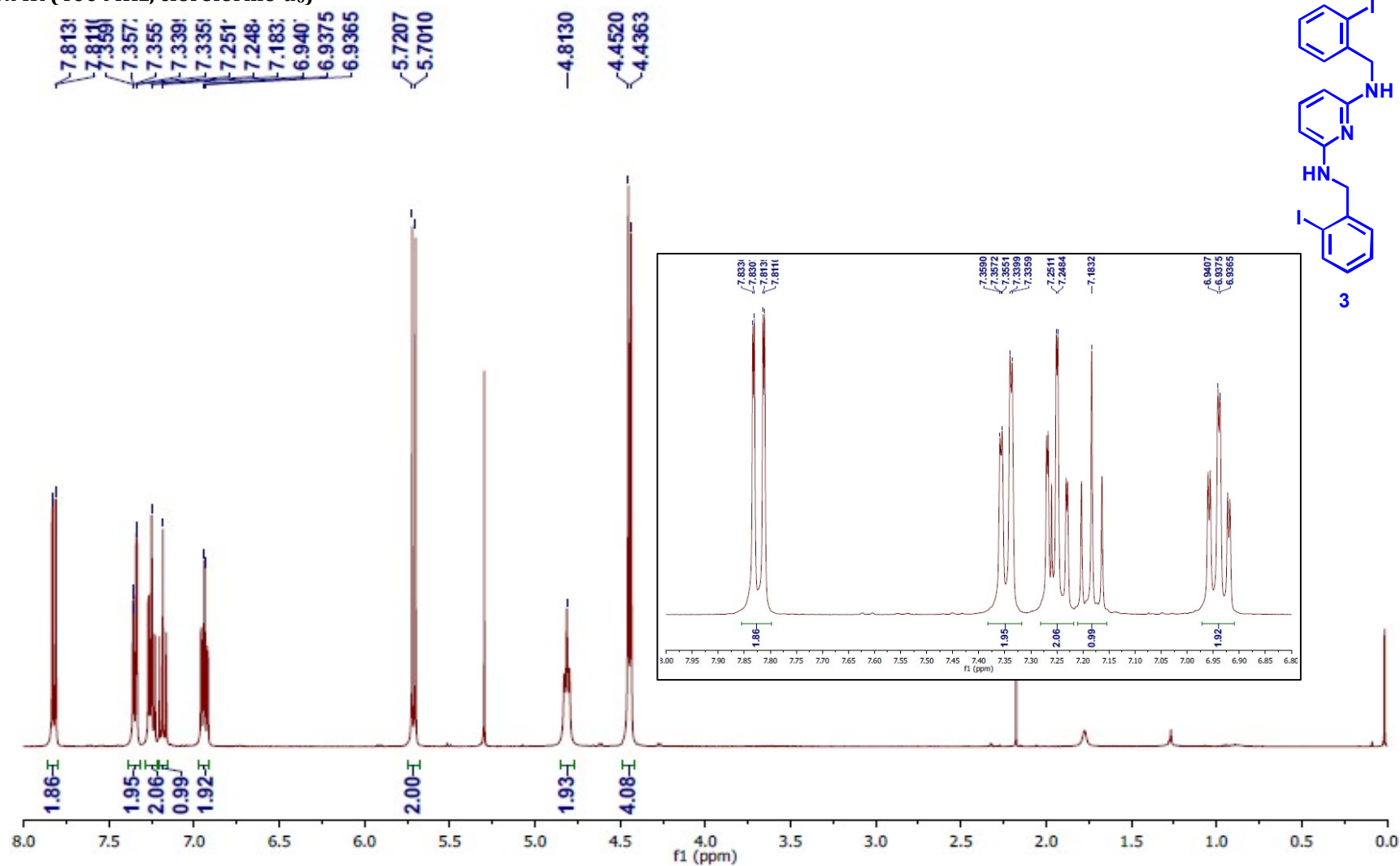


HMBC



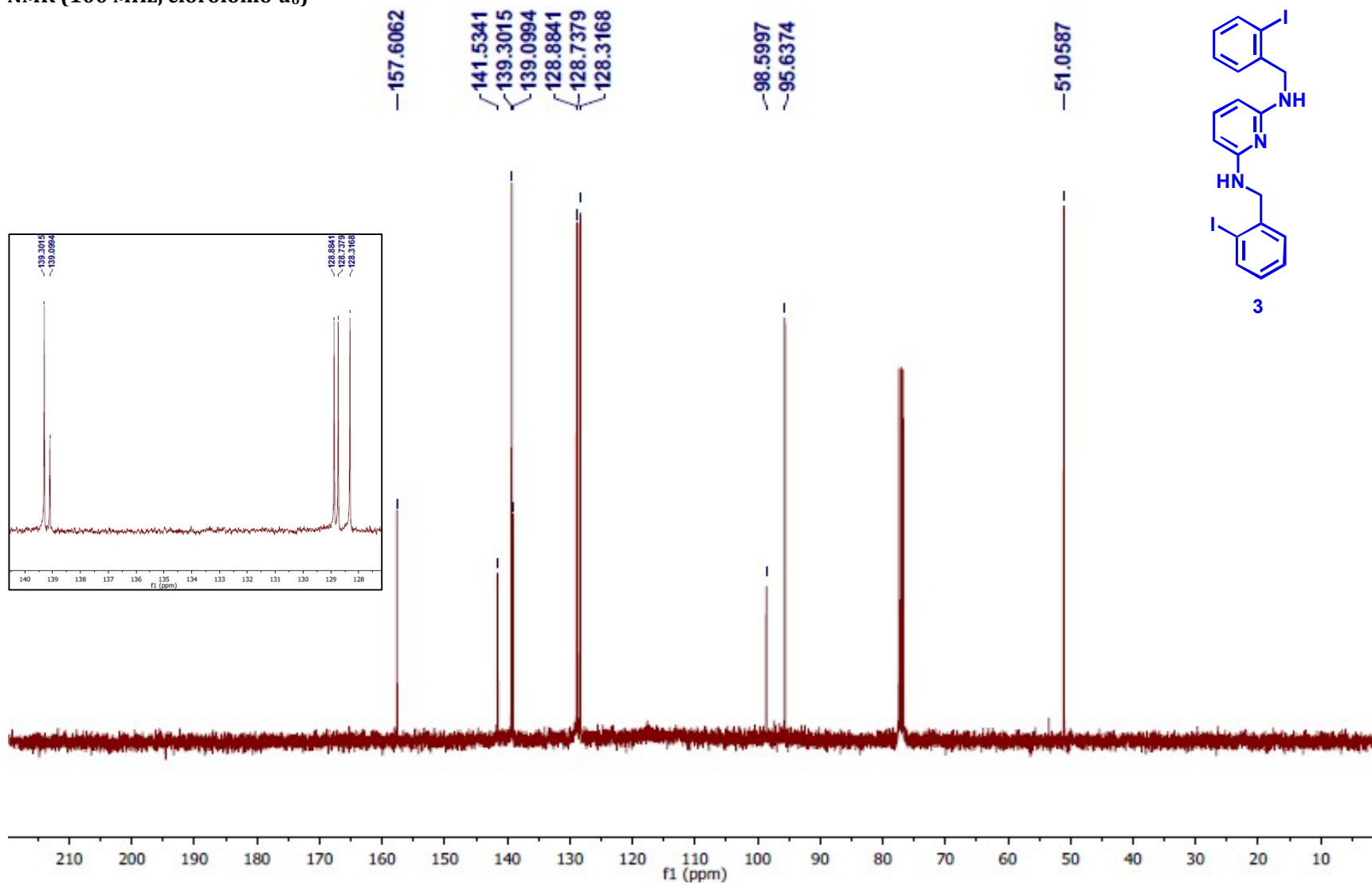
N²,N⁶-bis(2-iodobencil)piridina-2,6-diamina (3)

¹H-NMR (400 MHz, cloroformo-*d*₆)

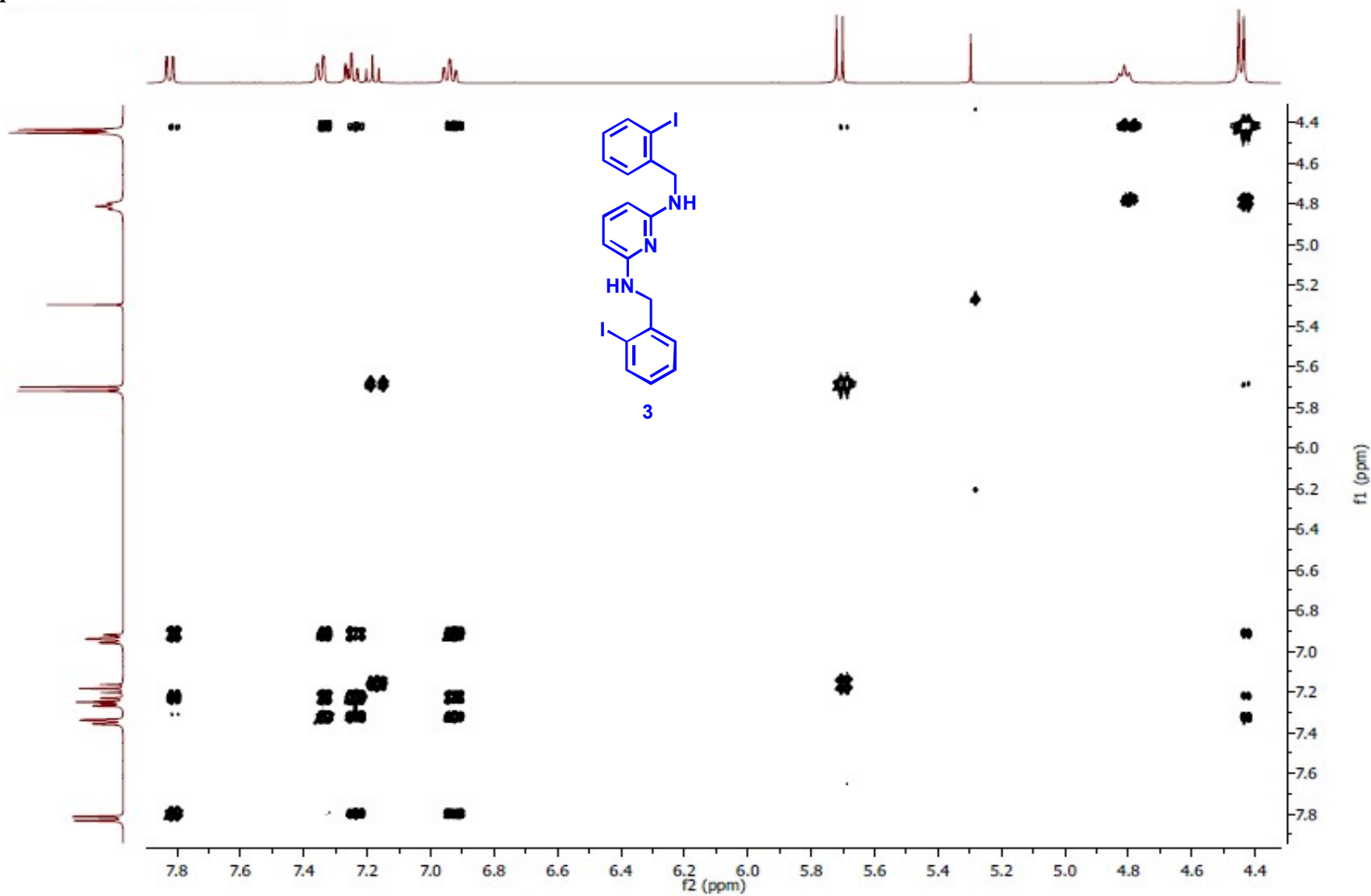


Anexo B: Información Espectroscópica del Capítulo 3

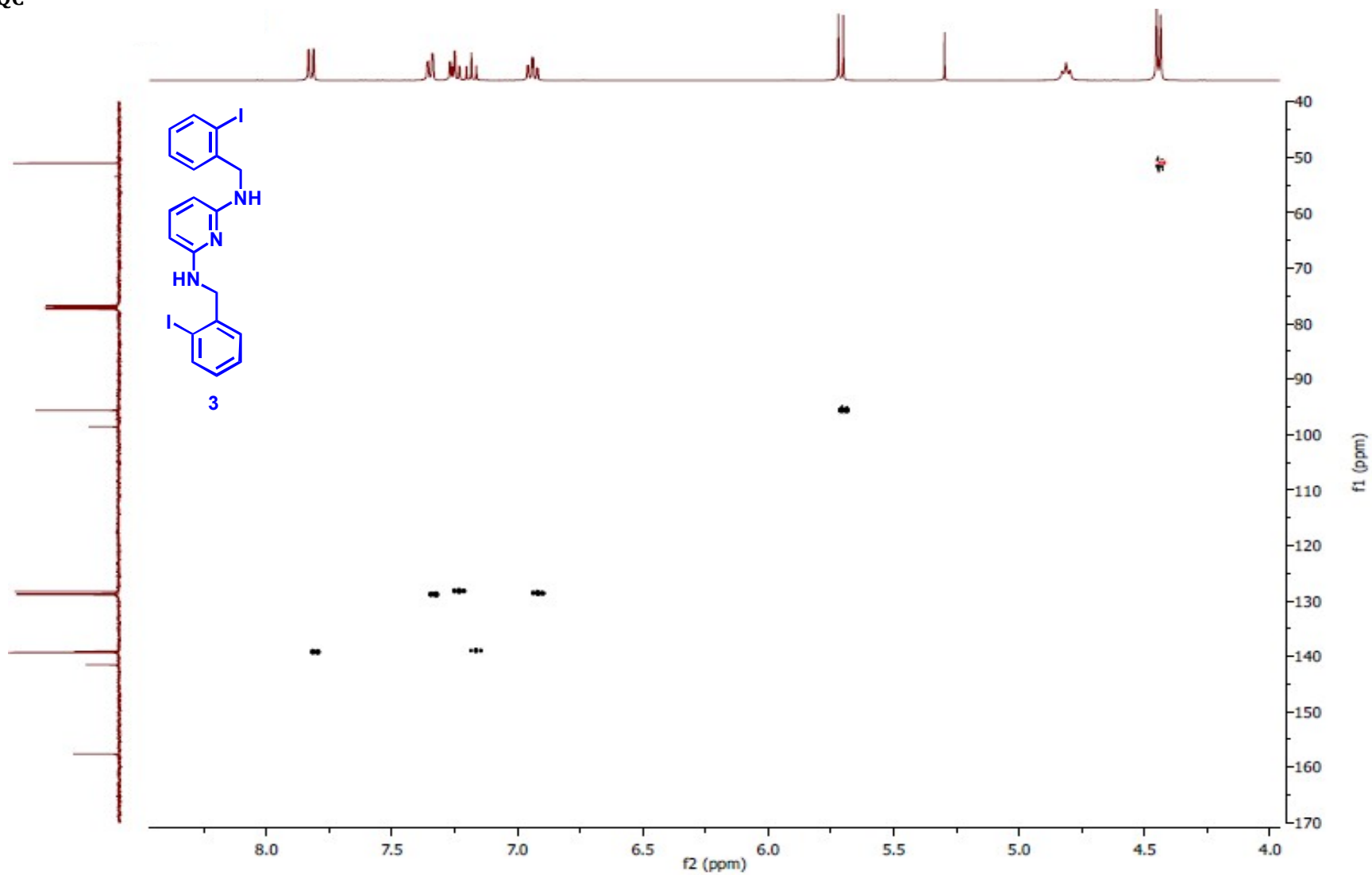
^{13}C -NMR (100 MHz, clorofomo- d_6)



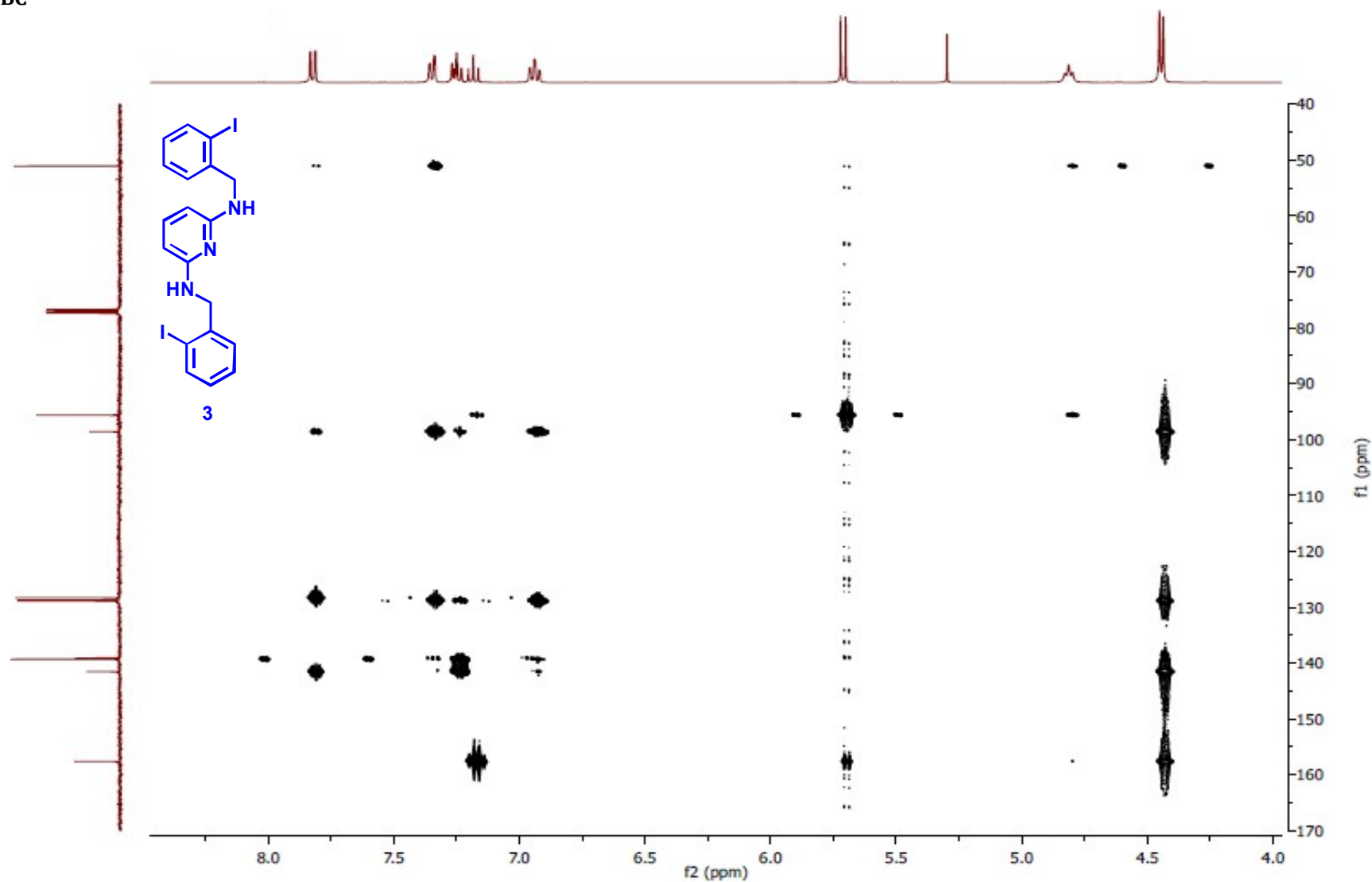
COSY



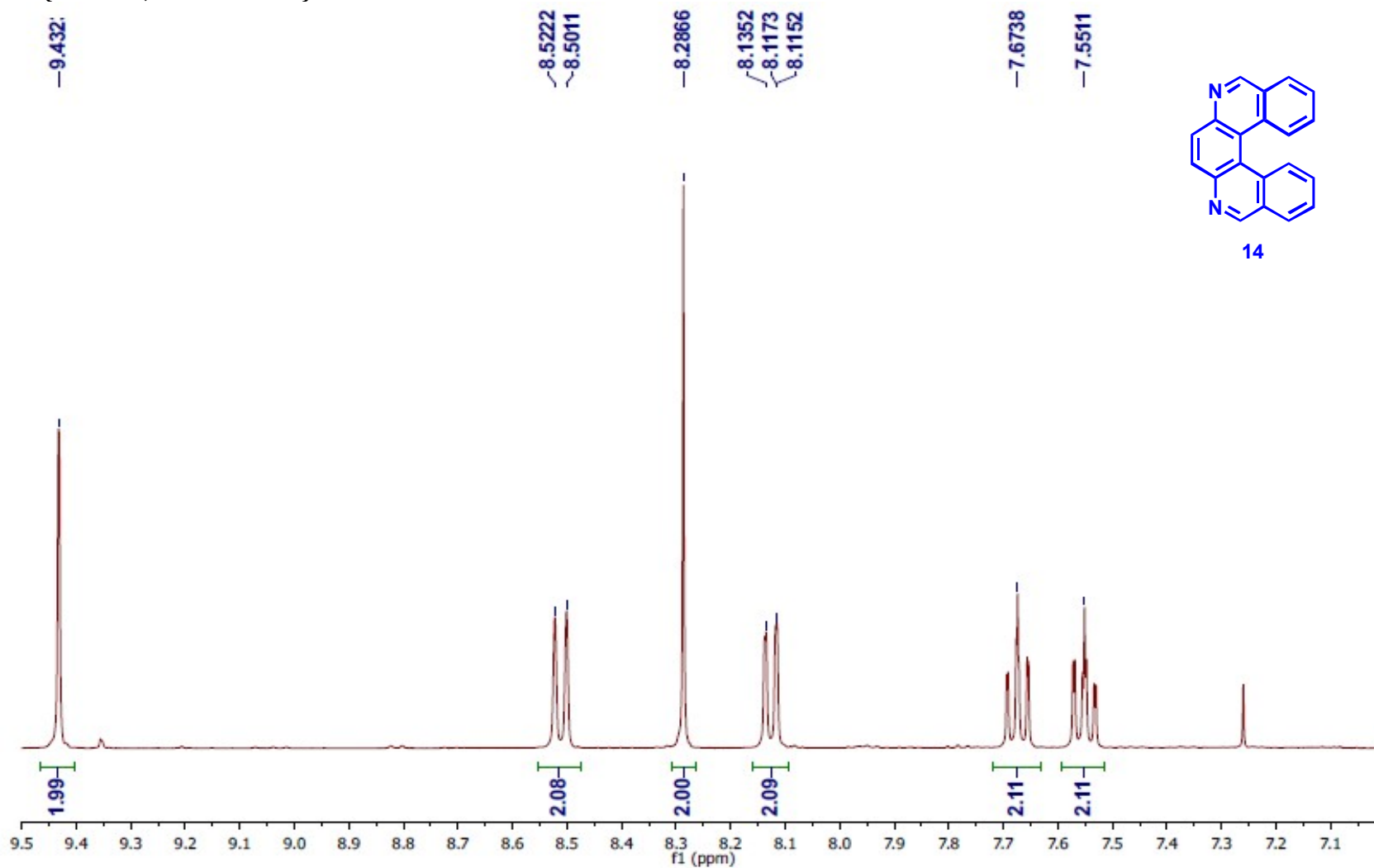
HSQC



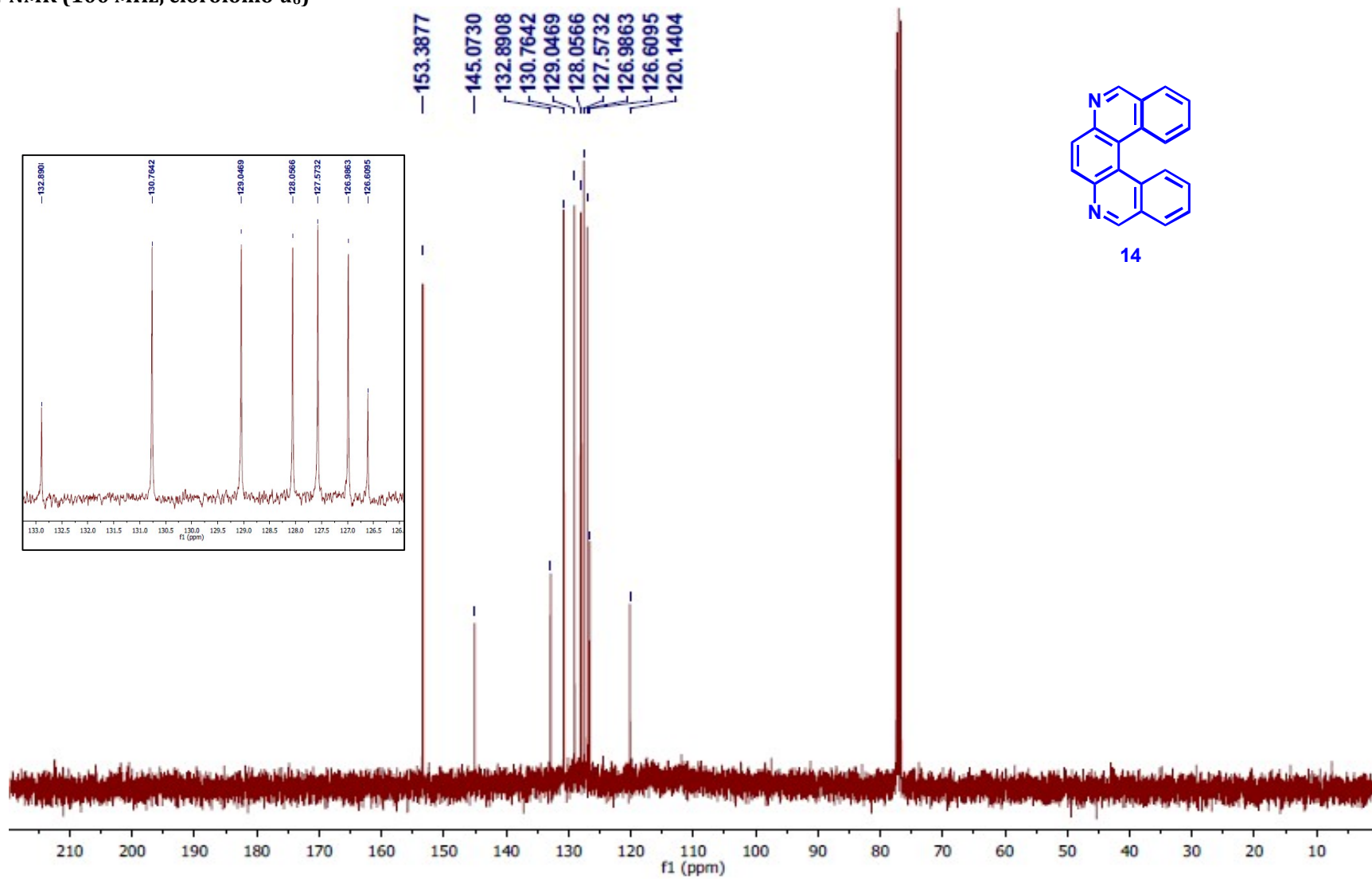
HMBC



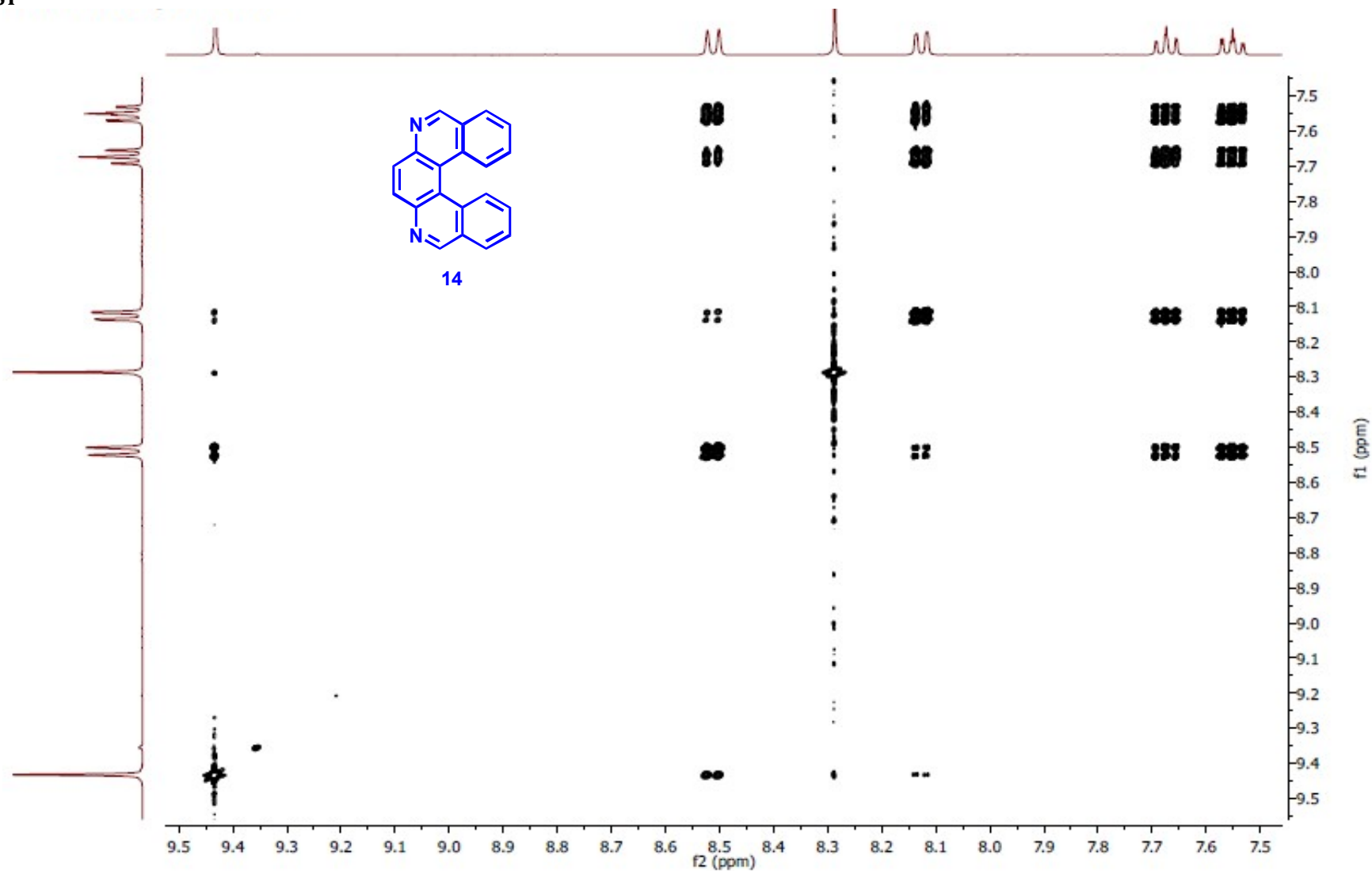
Dibenzo[*a,k*][4,7]fenantrolina (14)
¹H-NMR (400 MHz, cloroformo-*d*₆)



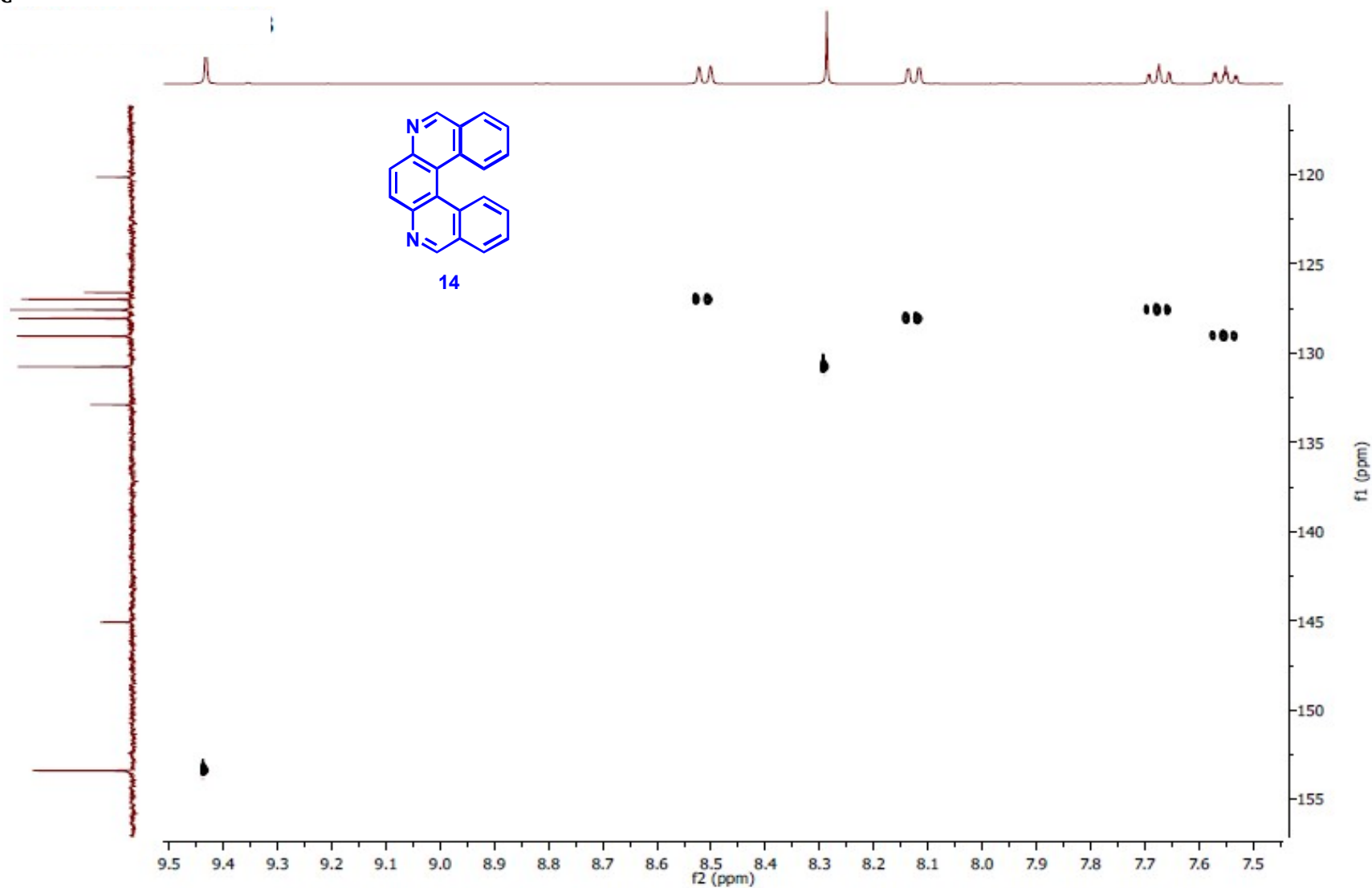
¹³C-NMR (100 MHz, clorofomo-d₆)



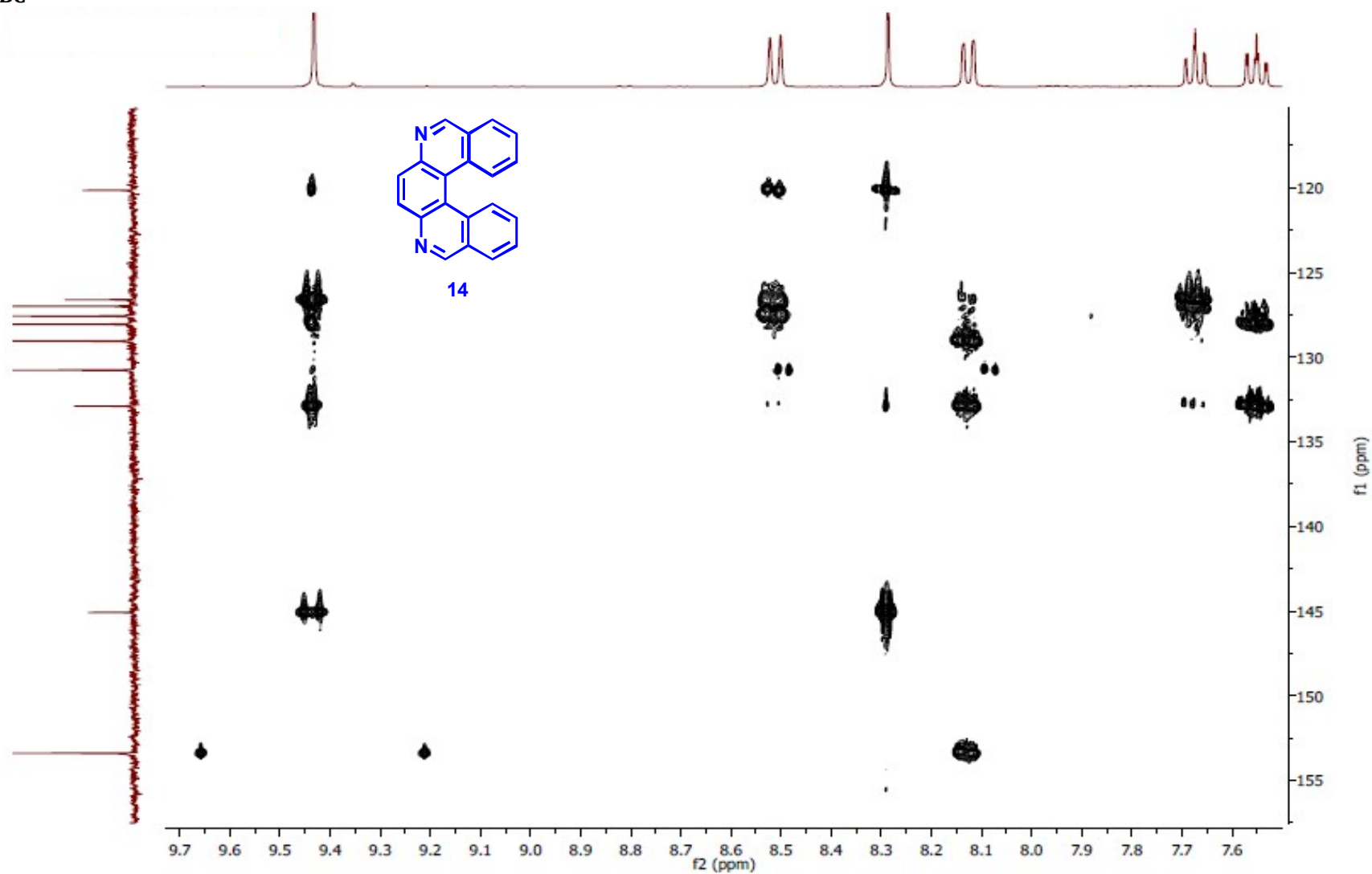
COSY



HSQC

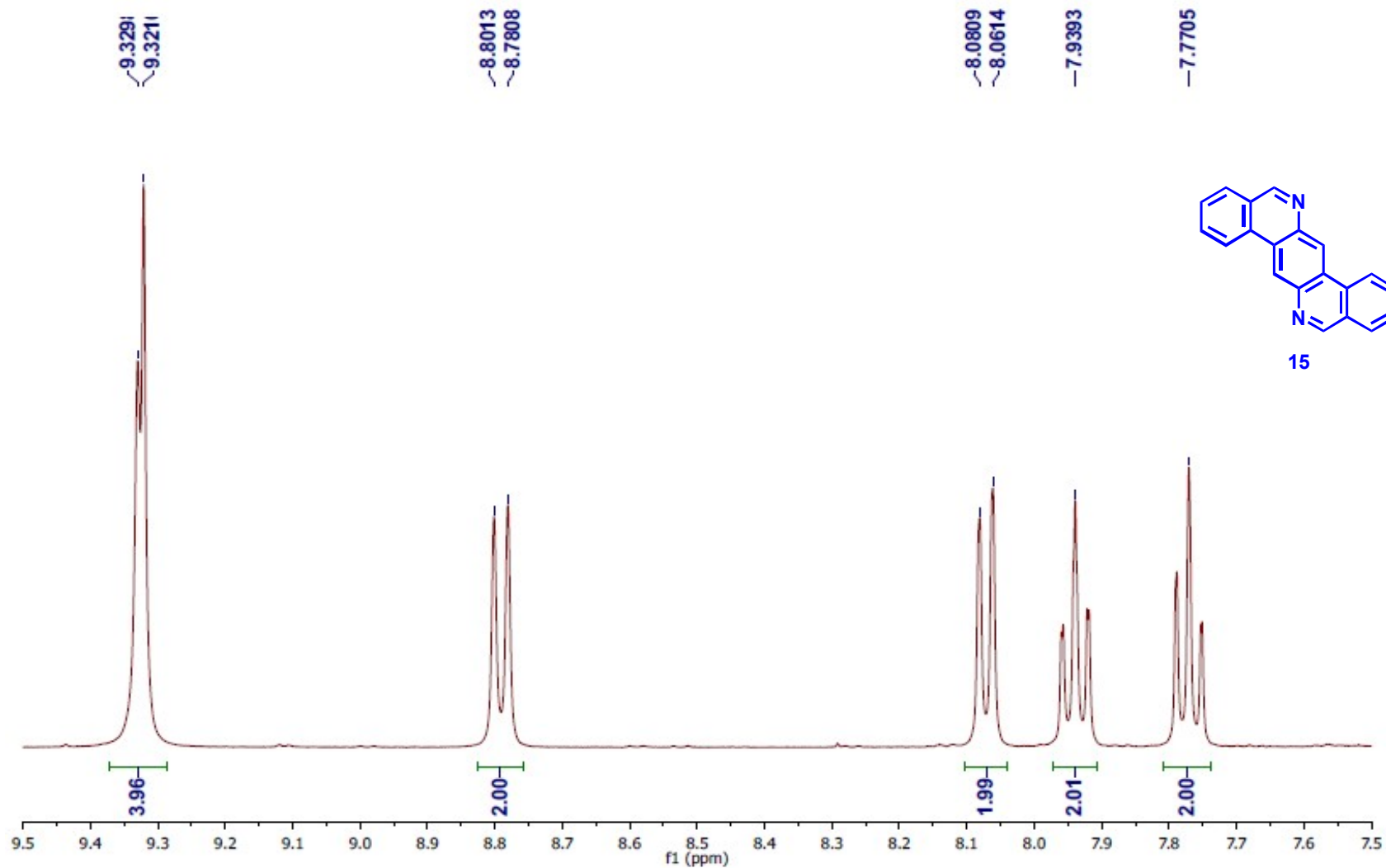


HMBC



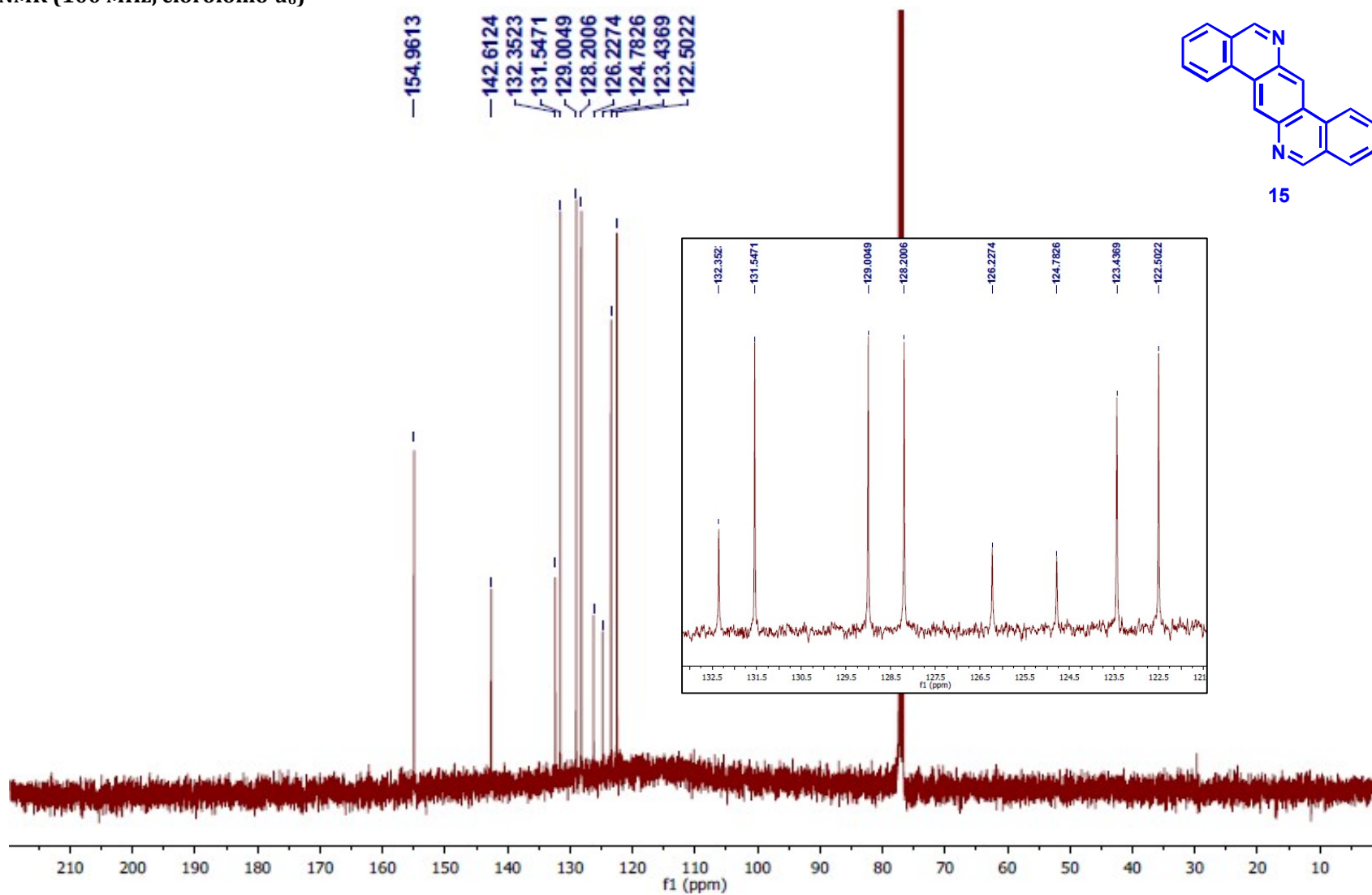
Isoquinolino[3,4-*b*]fenantridina (15)

$^1\text{H-NMR}$ (400 MHz, cloroformo- d_6)

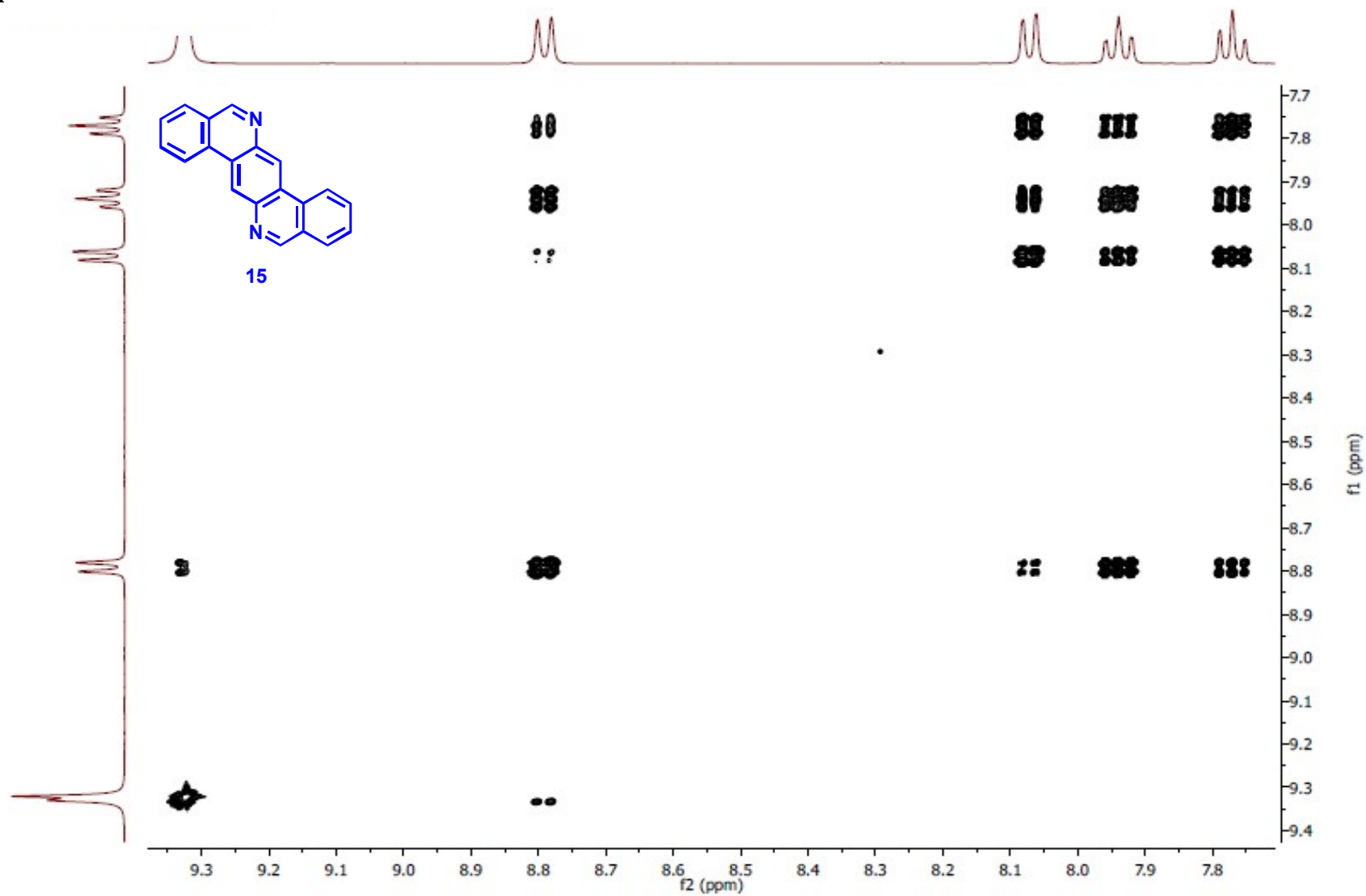


Anexo B: Información Espectroscópica del Capítulo 3

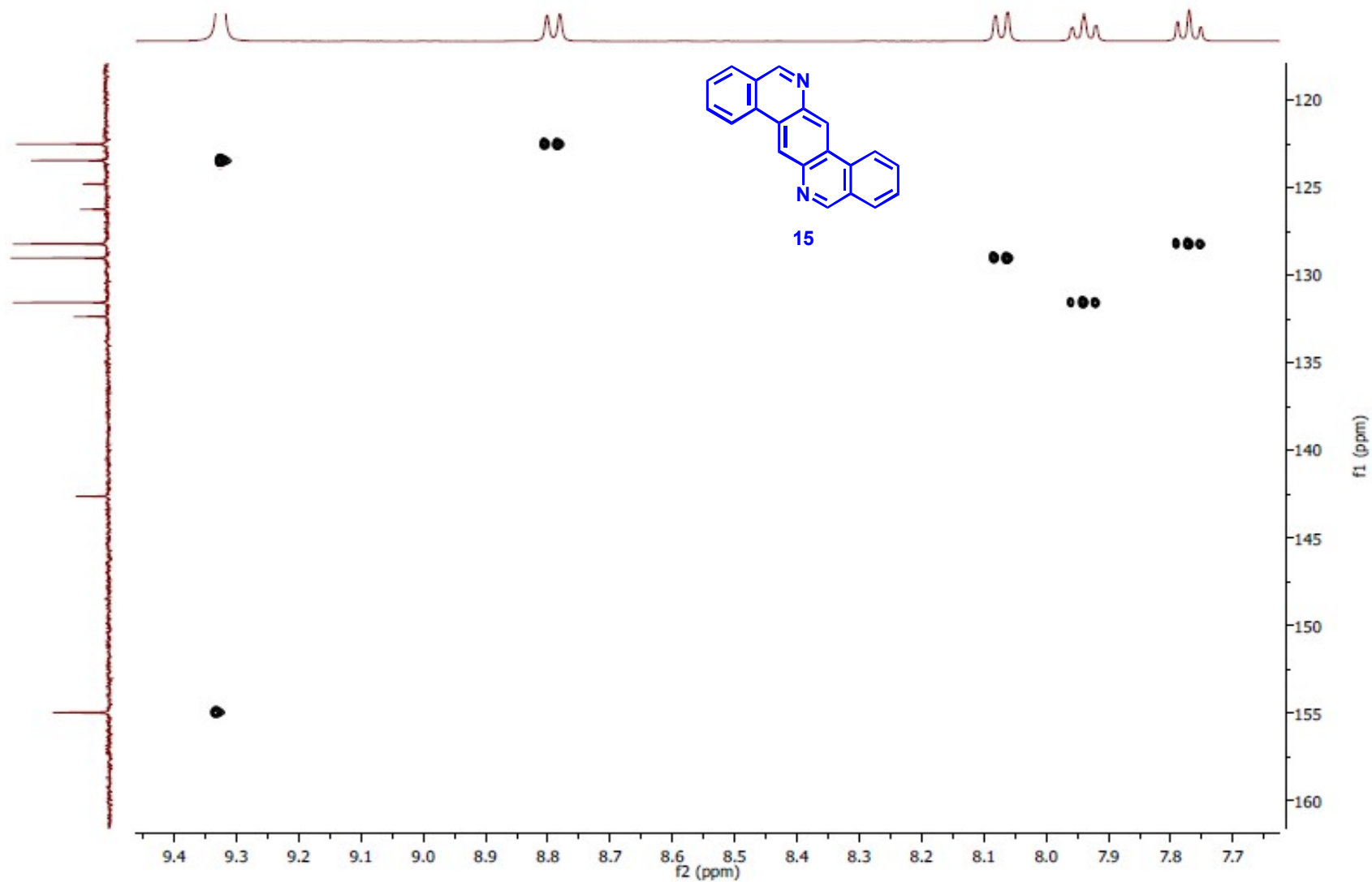
^{13}C -NMR (100 MHz, clorofomo- d_6)



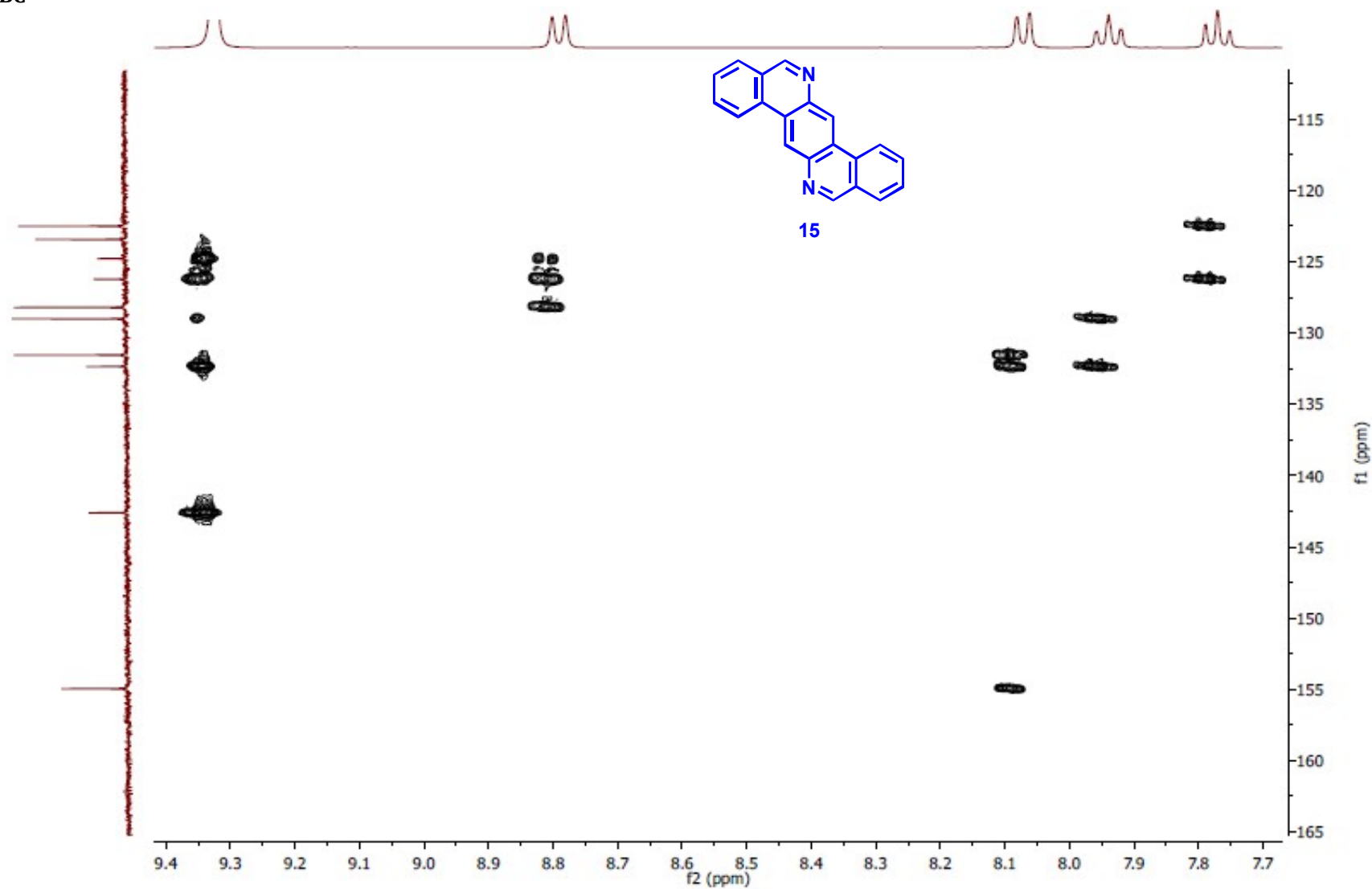
COSY



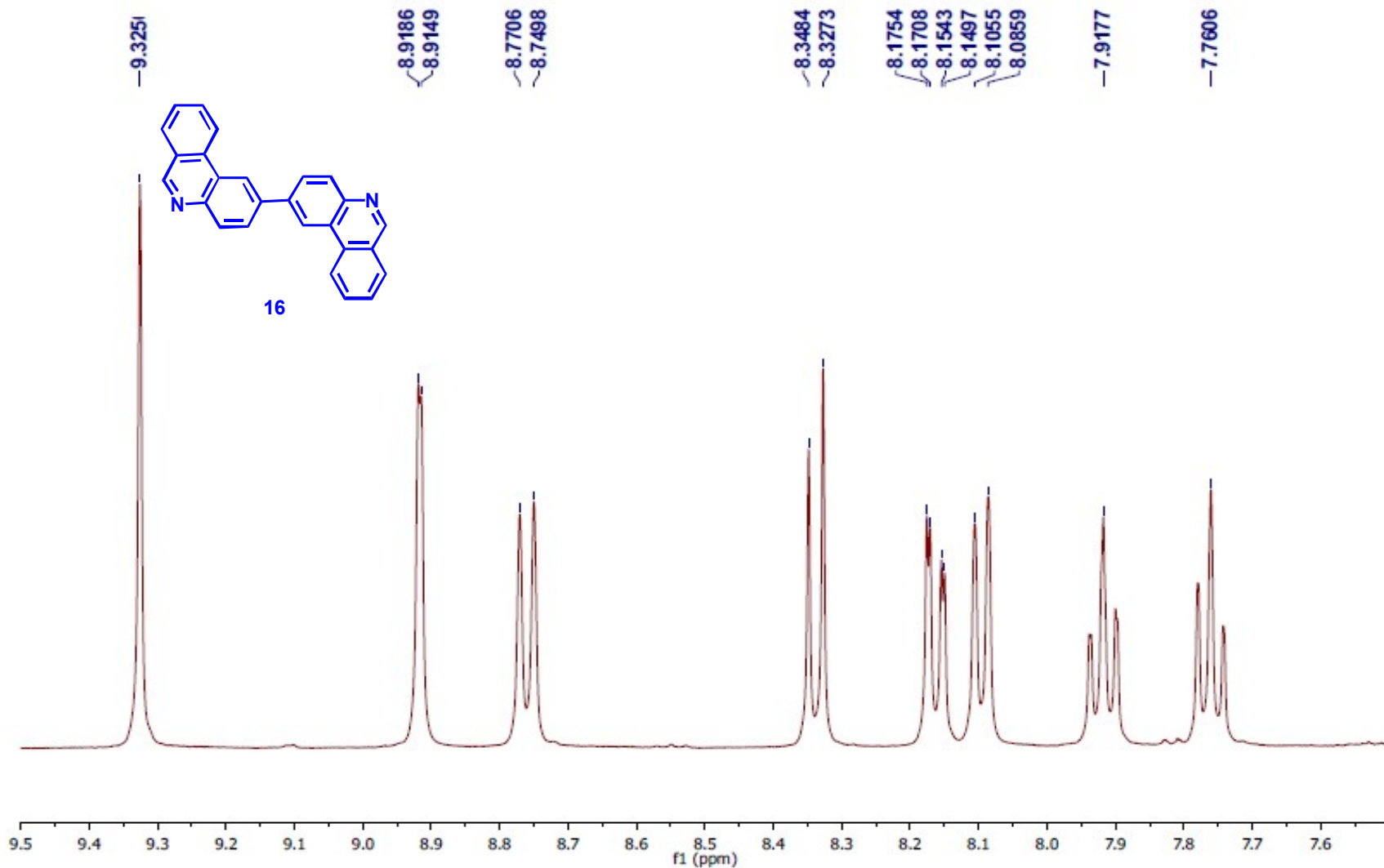
HSQC



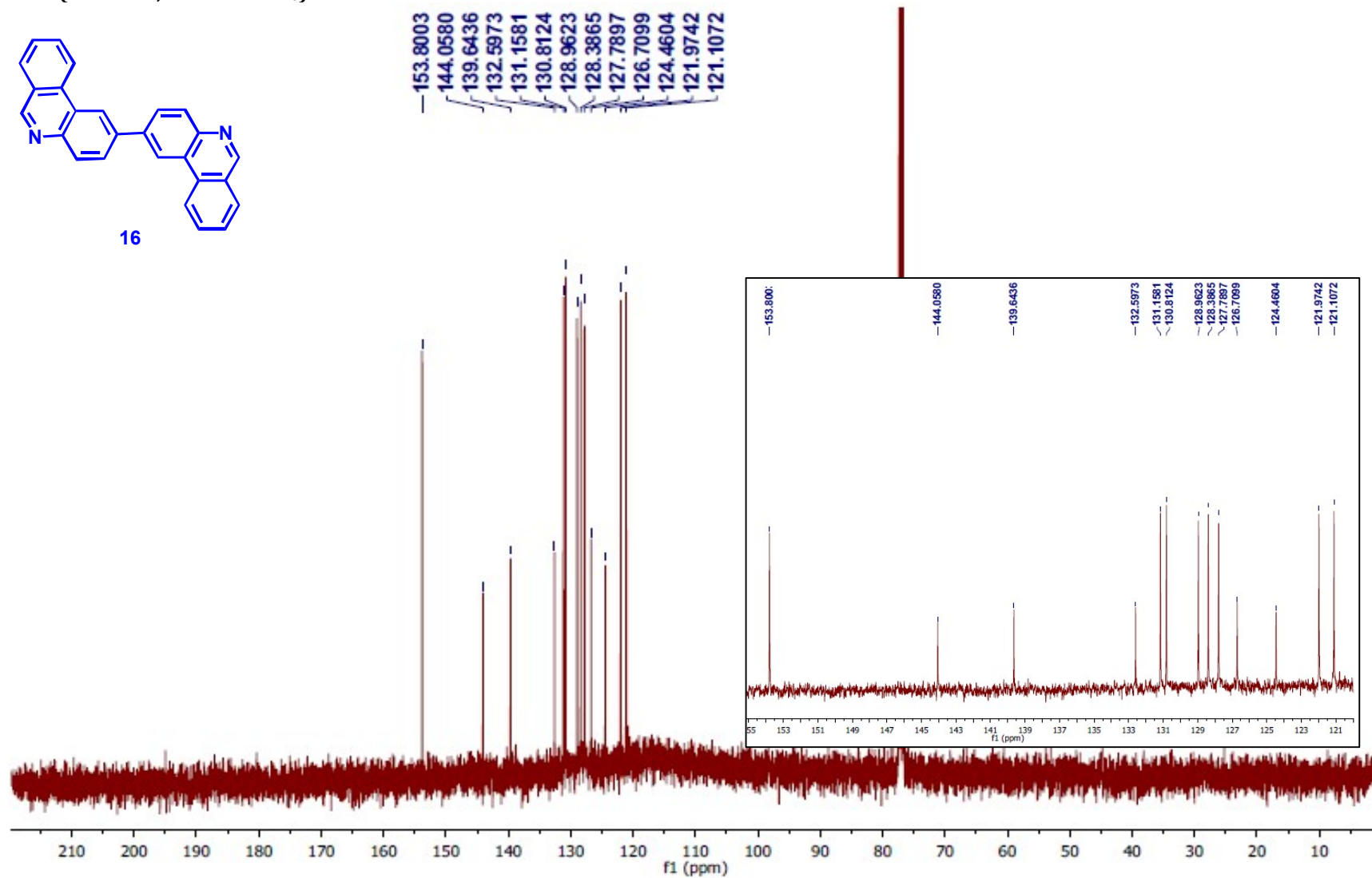
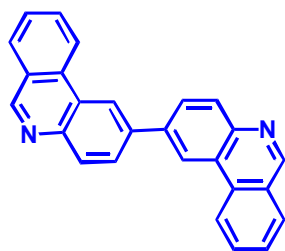
HMBC



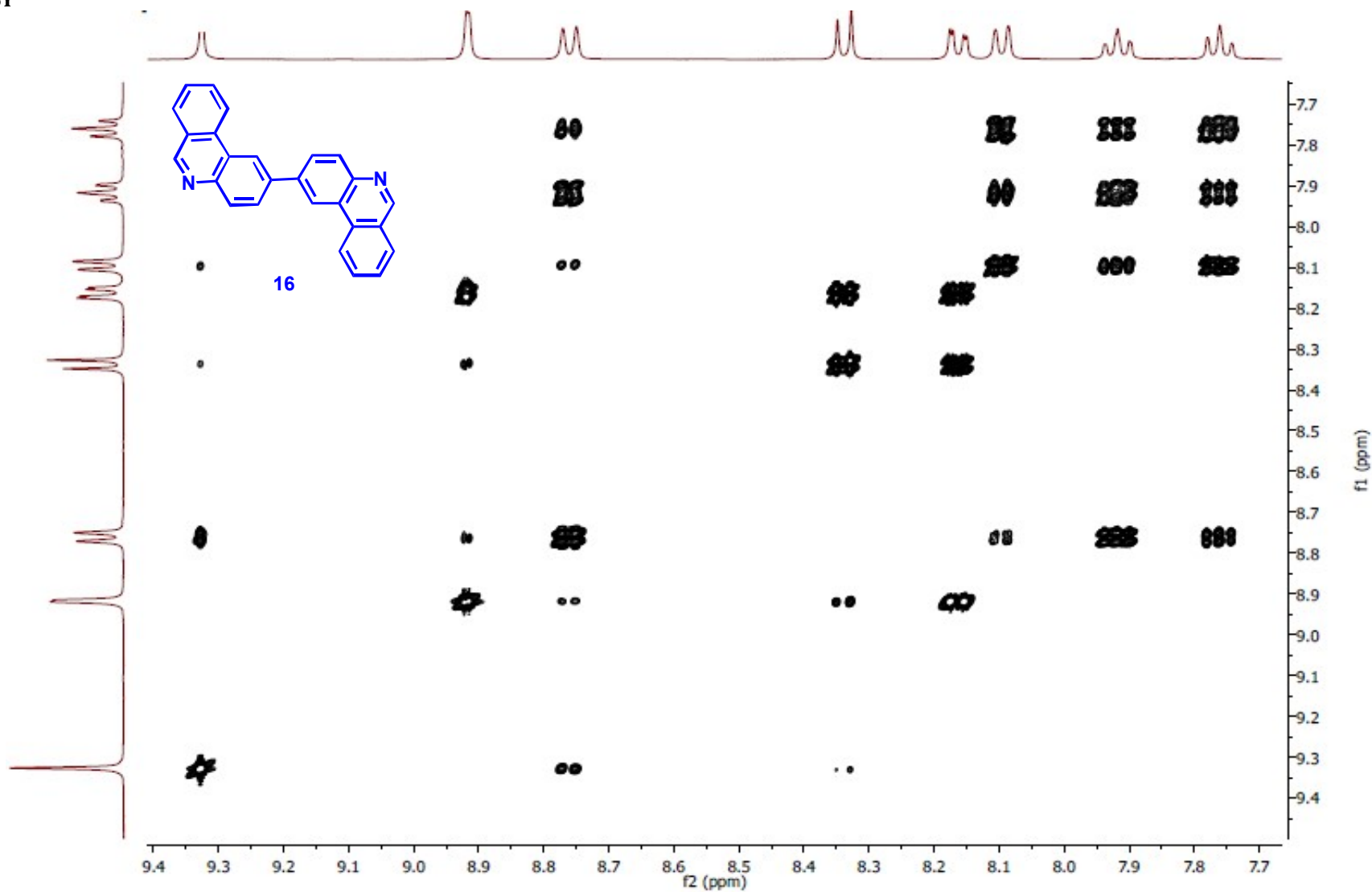
2,2'-bifenantridina (16)
¹H-NMR (400 MHz, cloroformo-*d*₆)



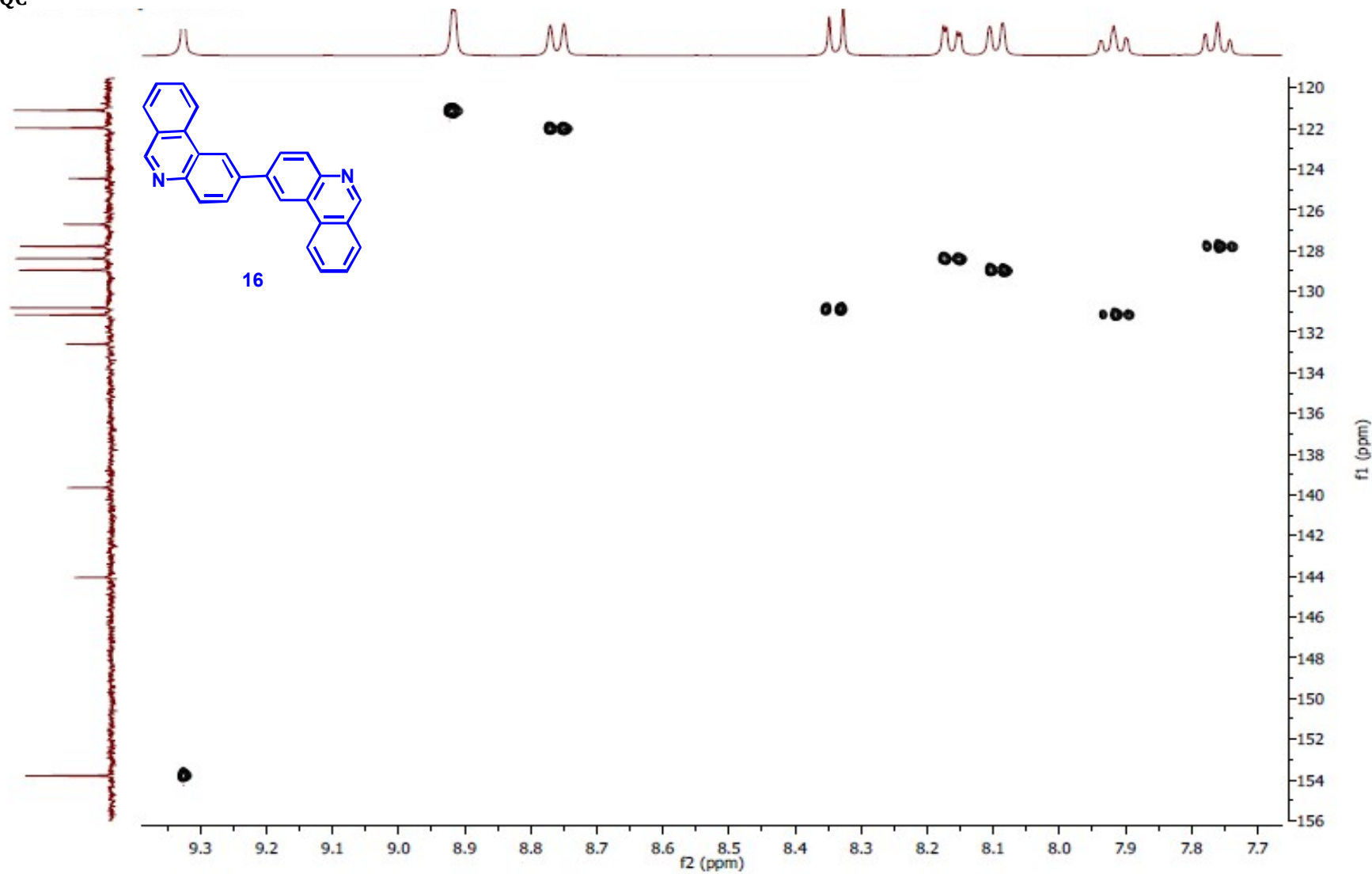
^{13}C -NMR (100 MHz, clorofomo- d_6)



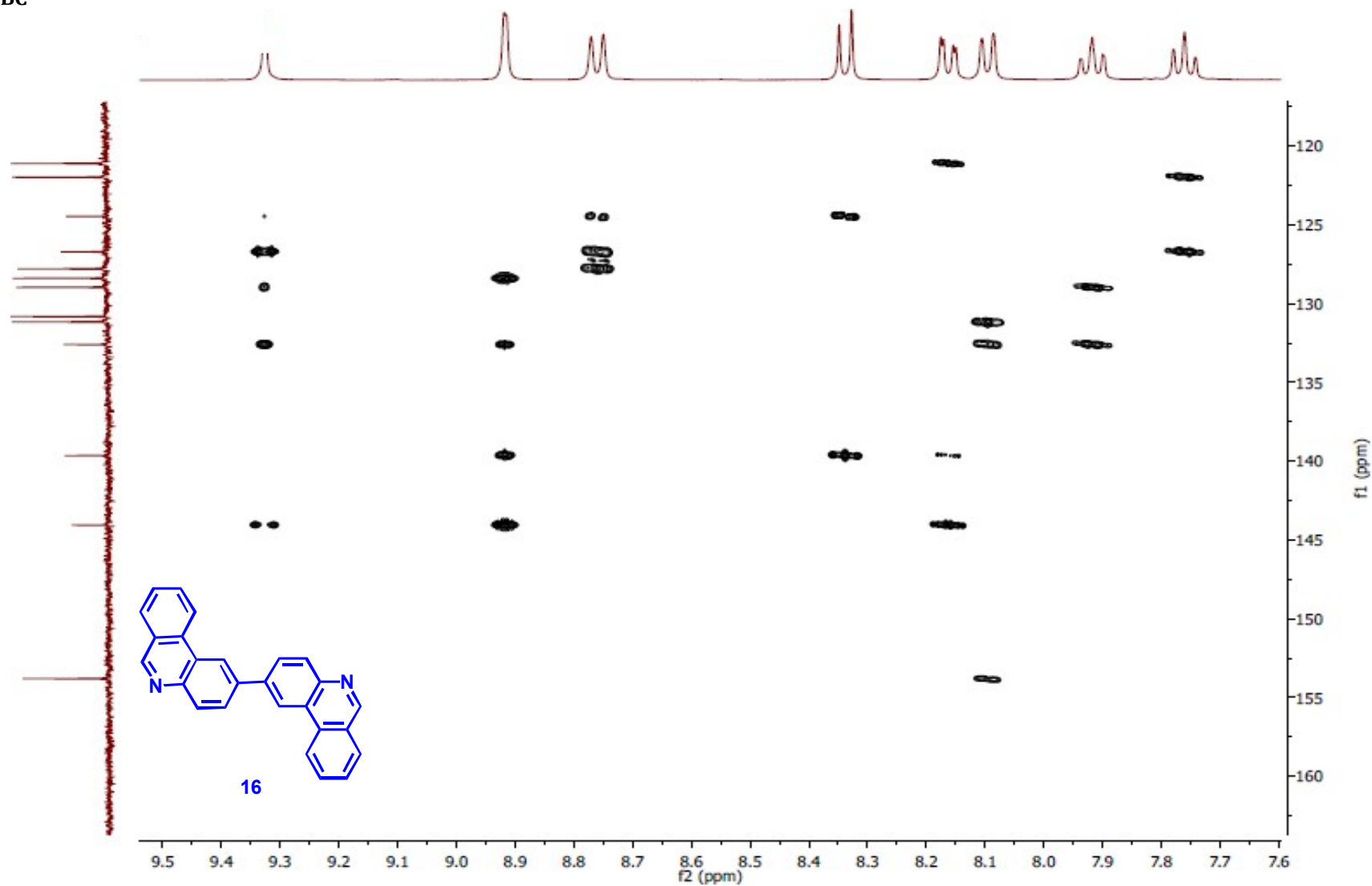
COSY



HSQC

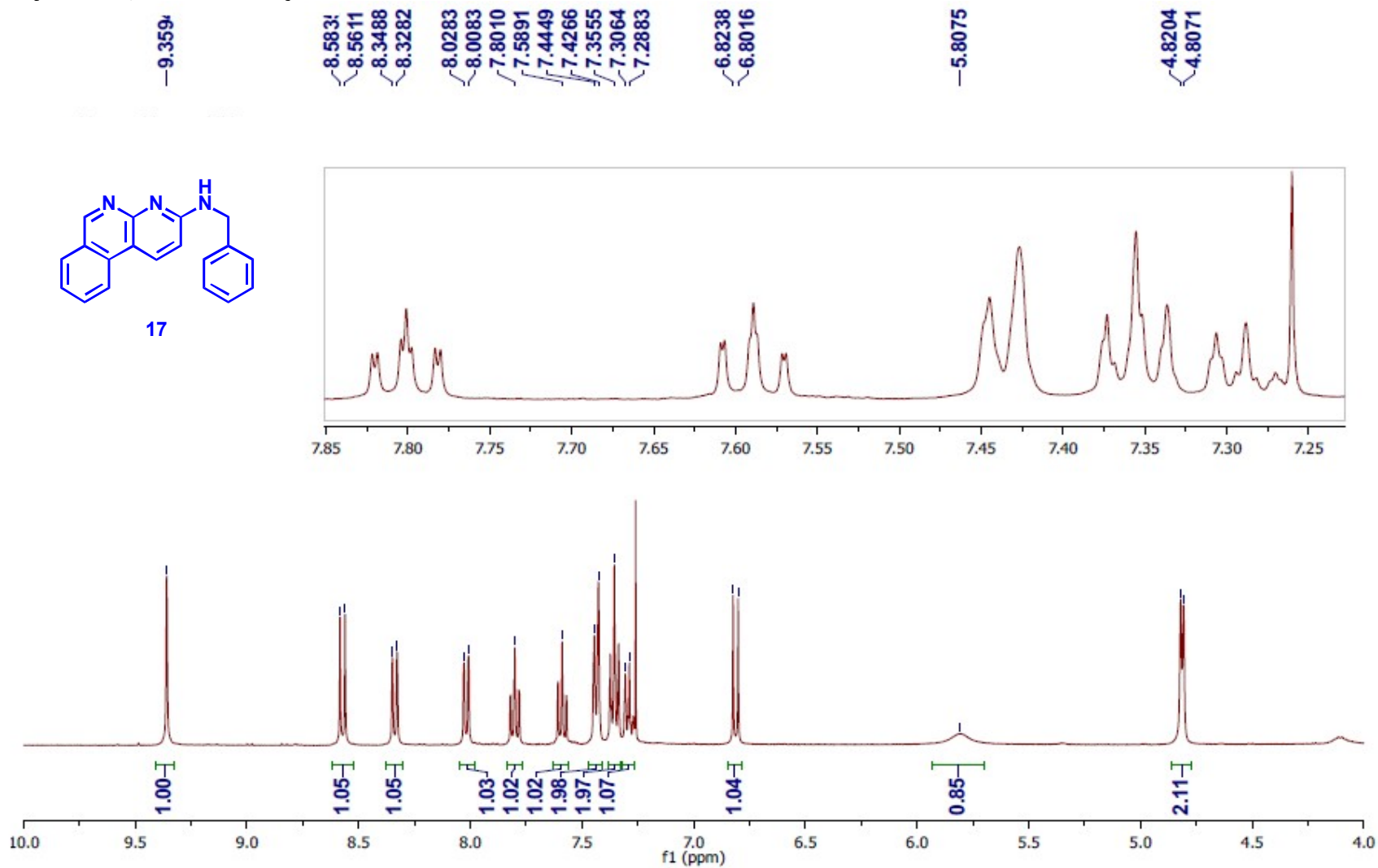


HMBC

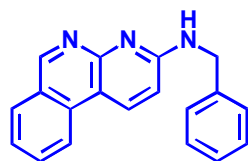


N-bencilbenzo[*c*][1,8]naftiridin-3-amina (17)

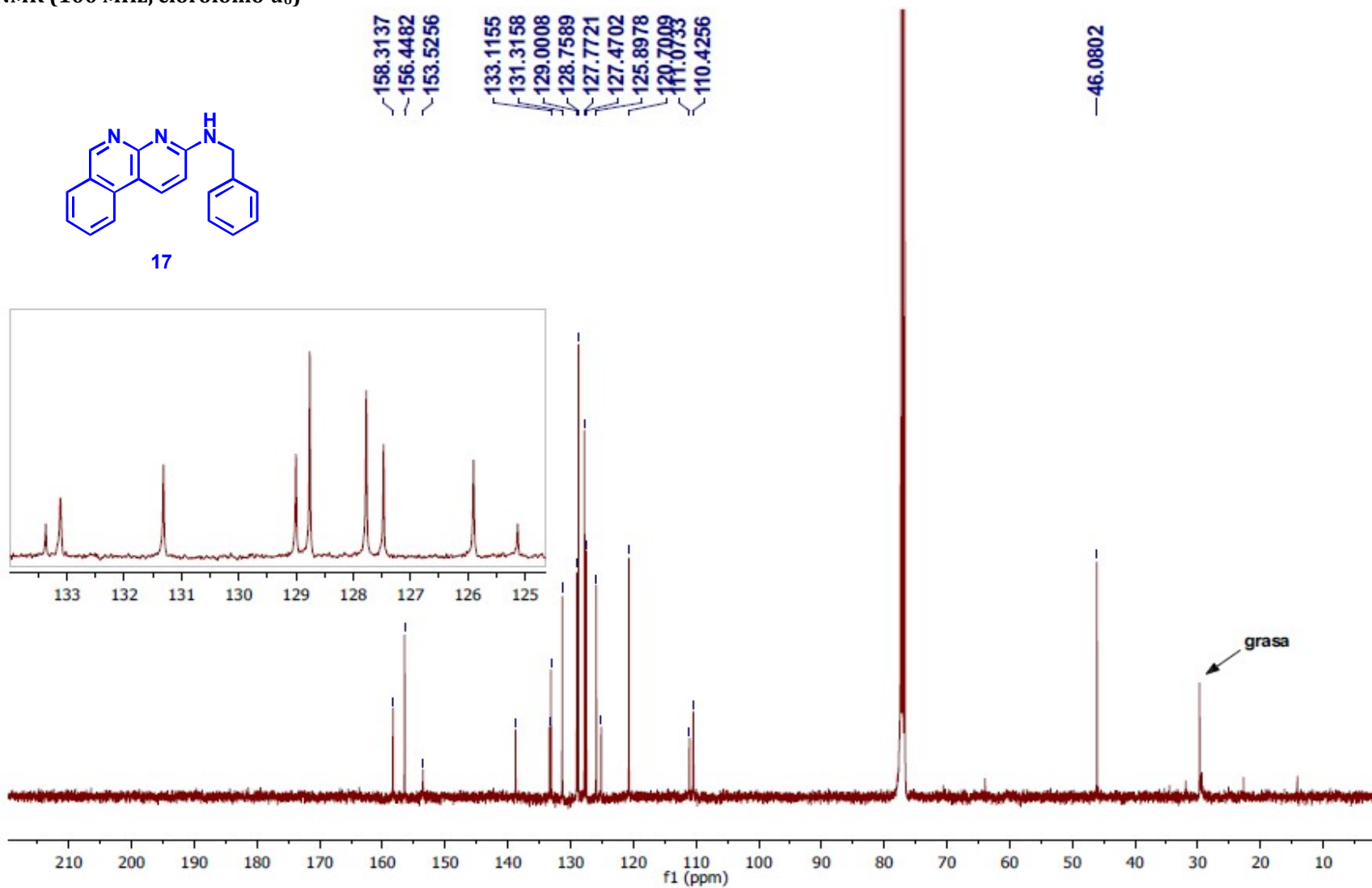
¹H-NMR (400 MHz, cloroformo-*d*₆)



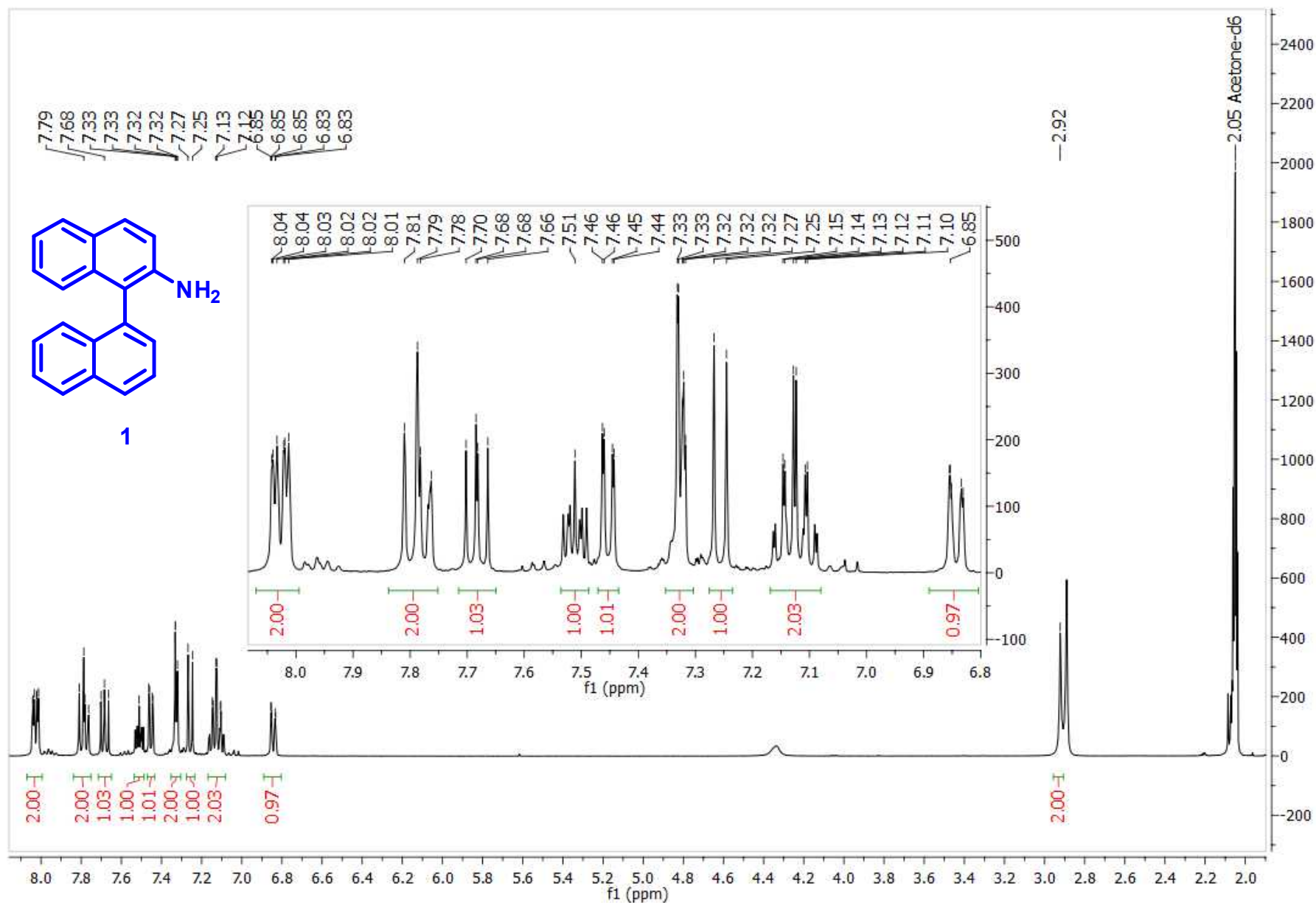
^{13}C -NMR (100 MHz, clorofomo- d_6)



17

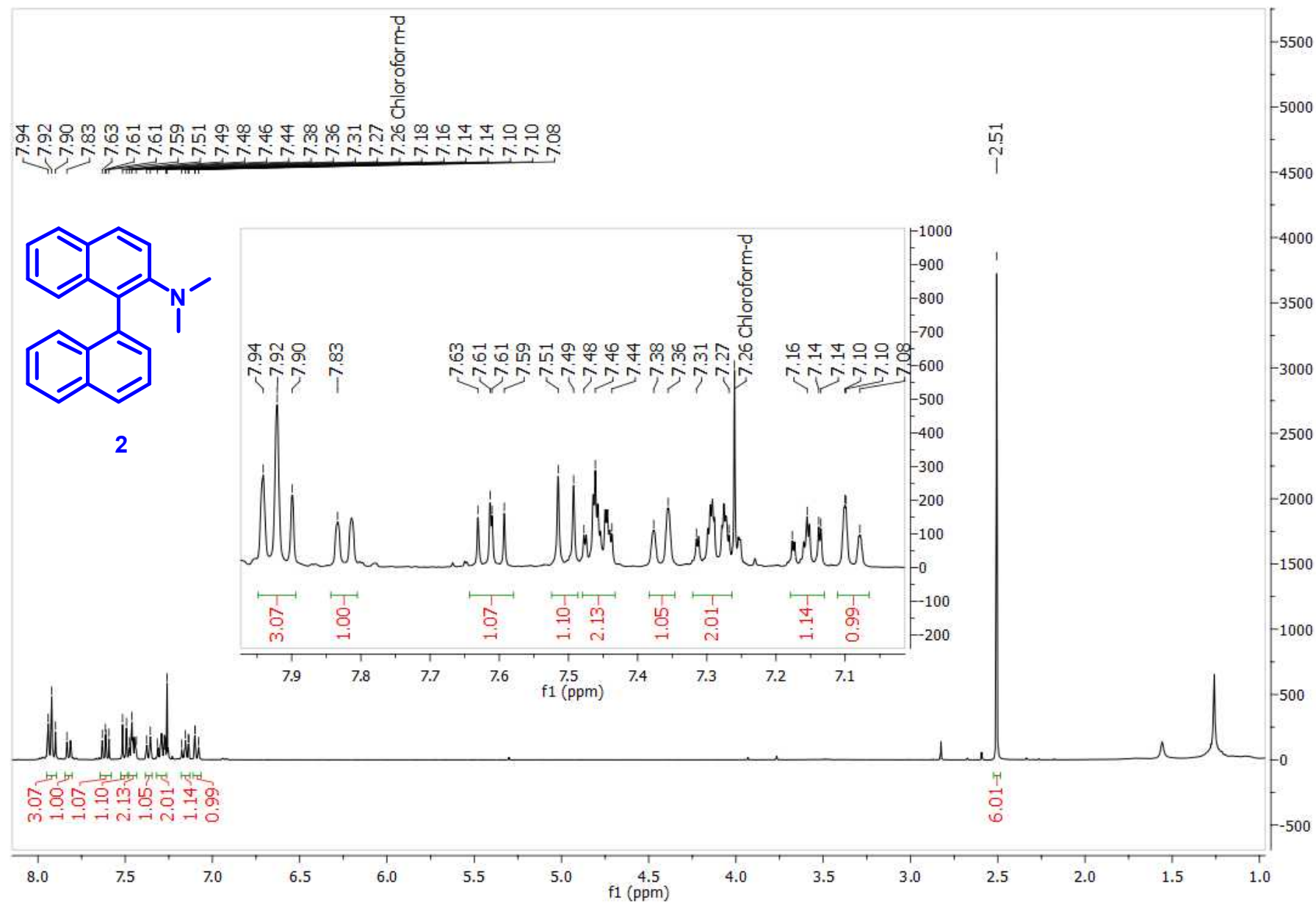


[1,1'-binaftalen]-2-amina (1).
¹H-NMR (400 MHz, acetona-d₆)

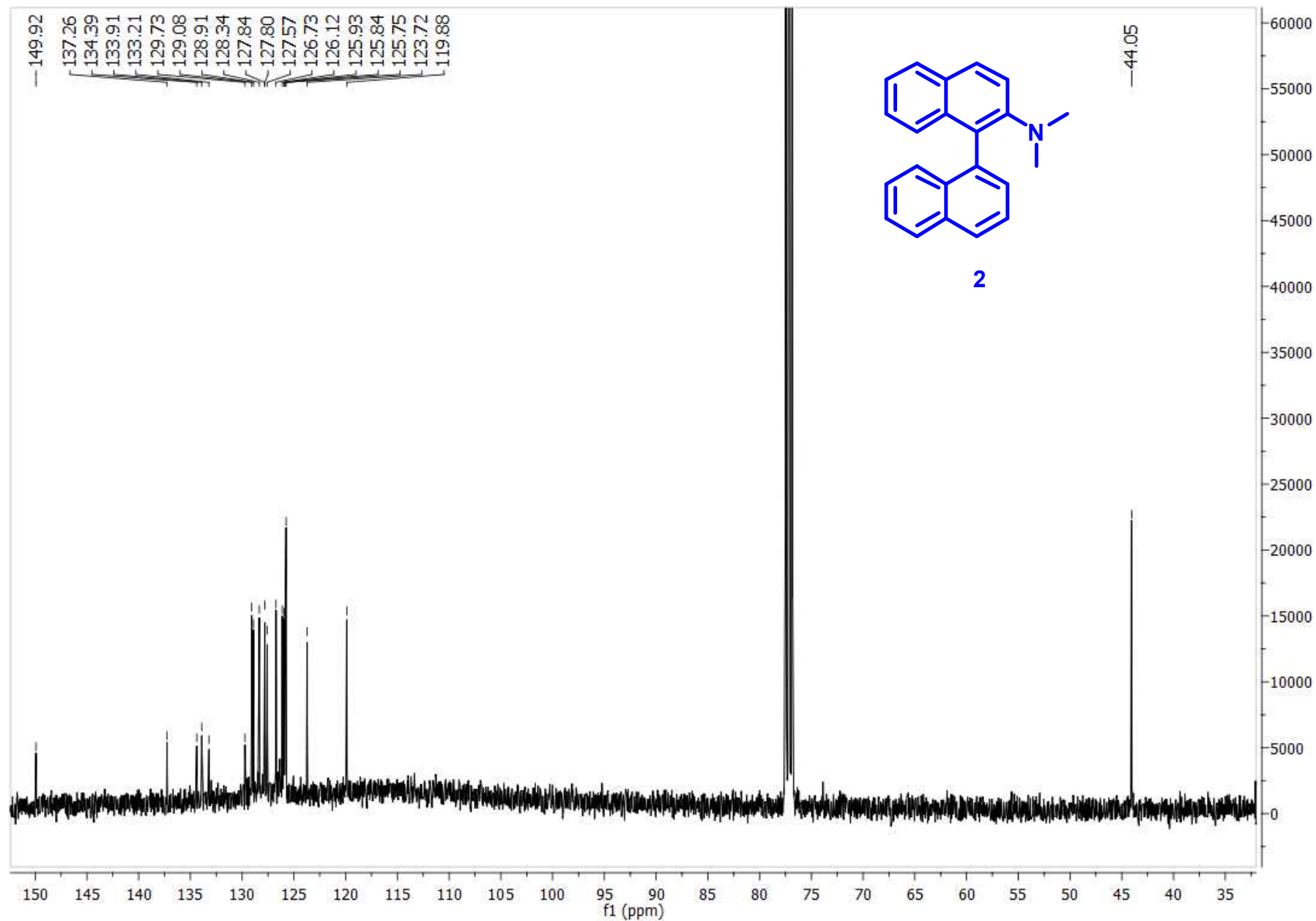


N,N-dimetil-[1,1'-binaftalen]-2-amina (2).

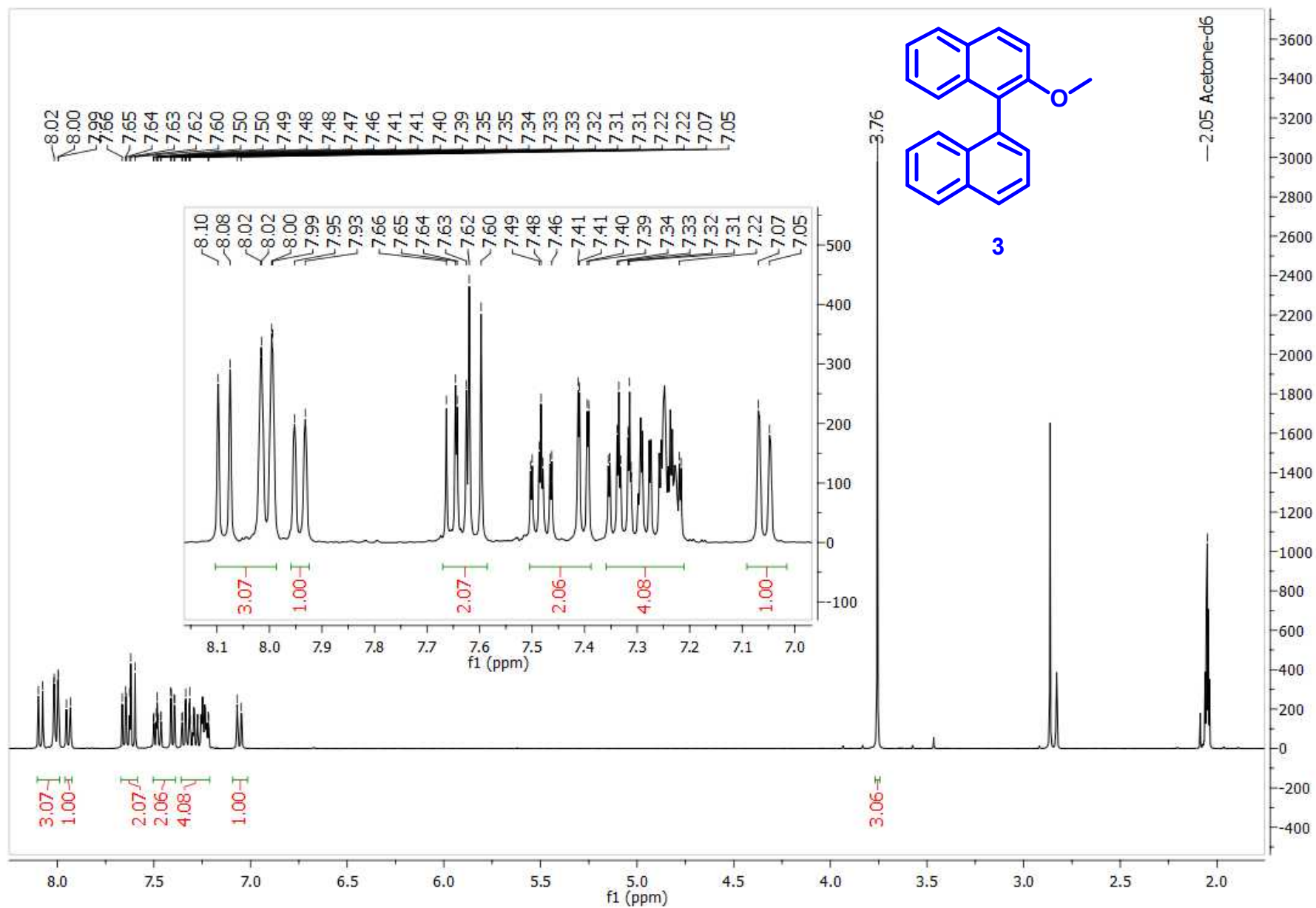
¹H-NMR (400 MHz, cloroformo-d₁)



¹³C-NMR (100 MHz, cloroformo-*d*₁)

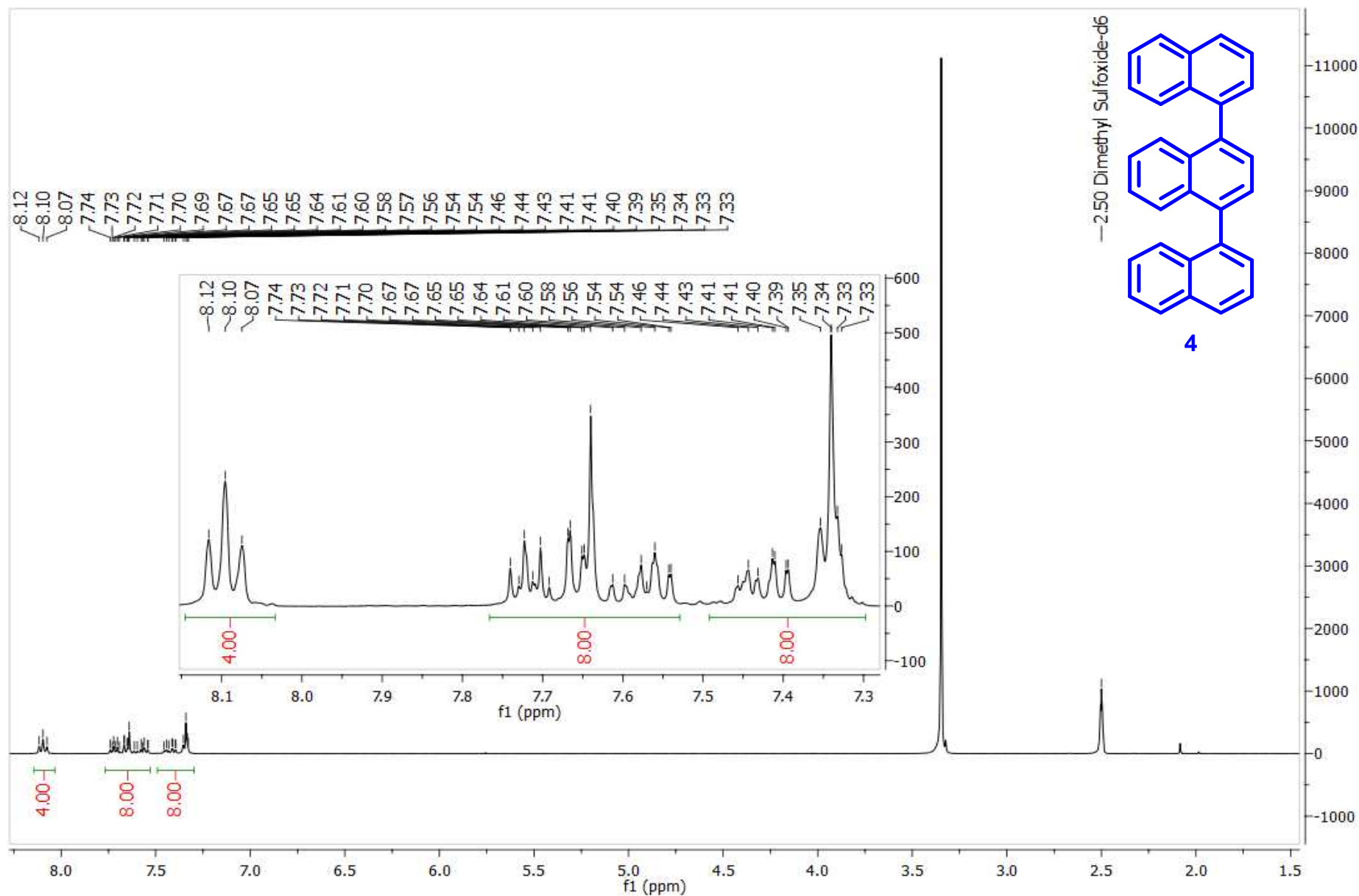


2-metoxi-1,1'-binaftaleno (3).
¹H-NMR (400 MHz, acetona-d₆)



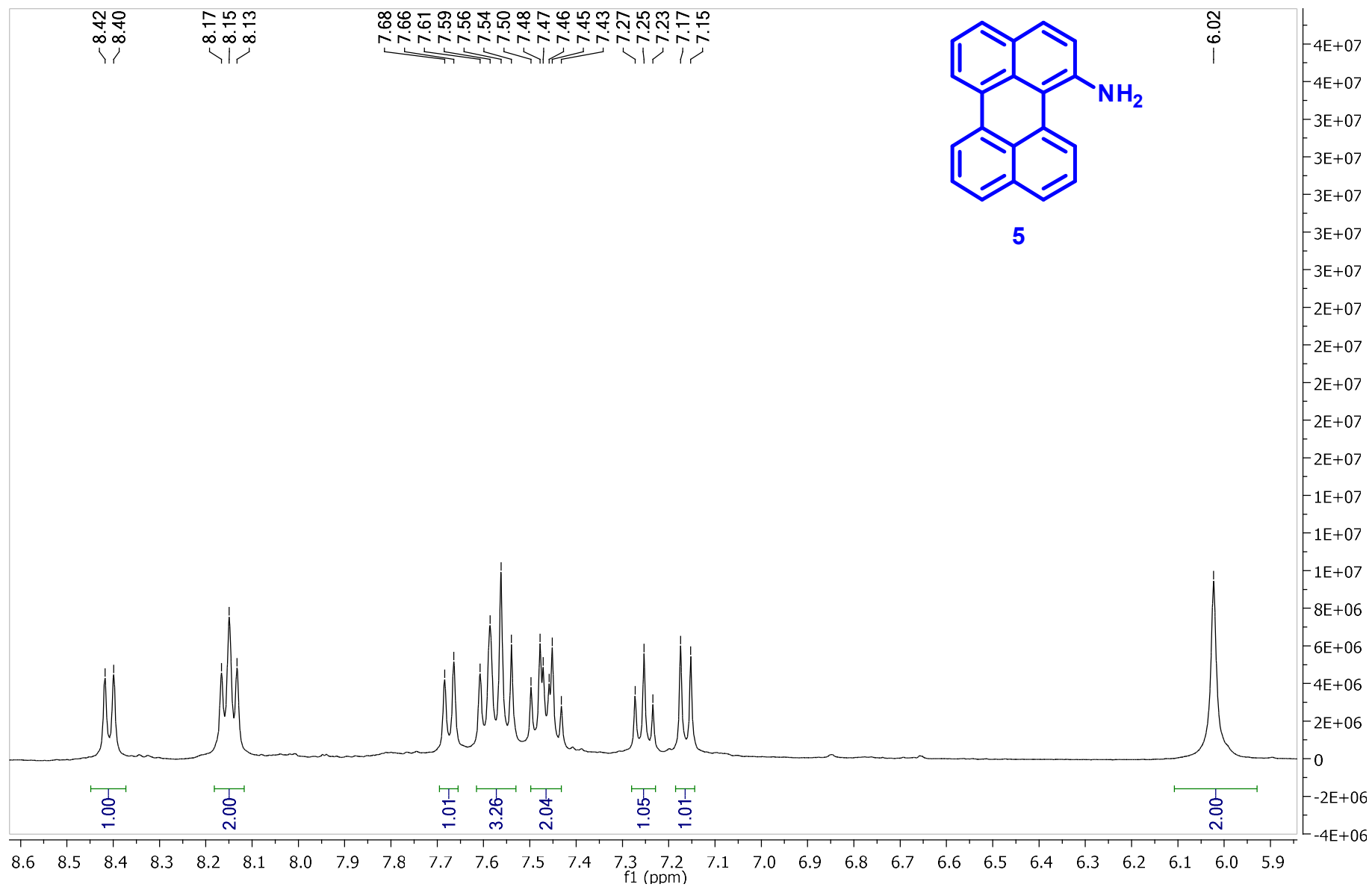
1,1':4',1''-ternaftaleno (4).

¹H-NMR (400 MHz, dimetilsulfóxido-d₆)

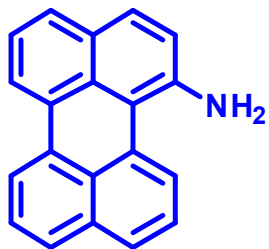


Perilen-1-amina (5).

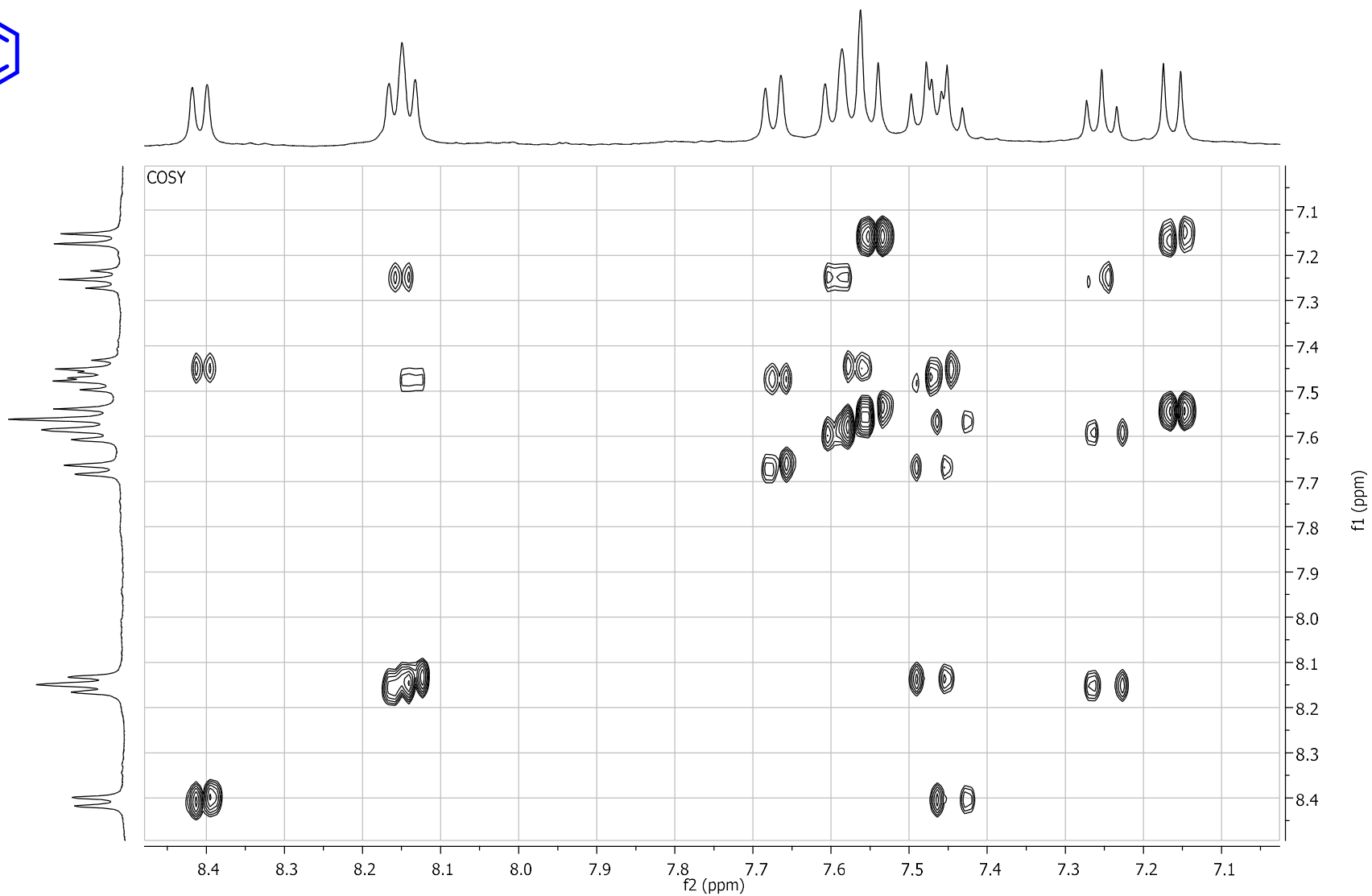
¹H-NMR (400 MHz, acetona-*d*₆)



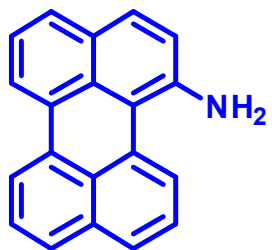
COSY



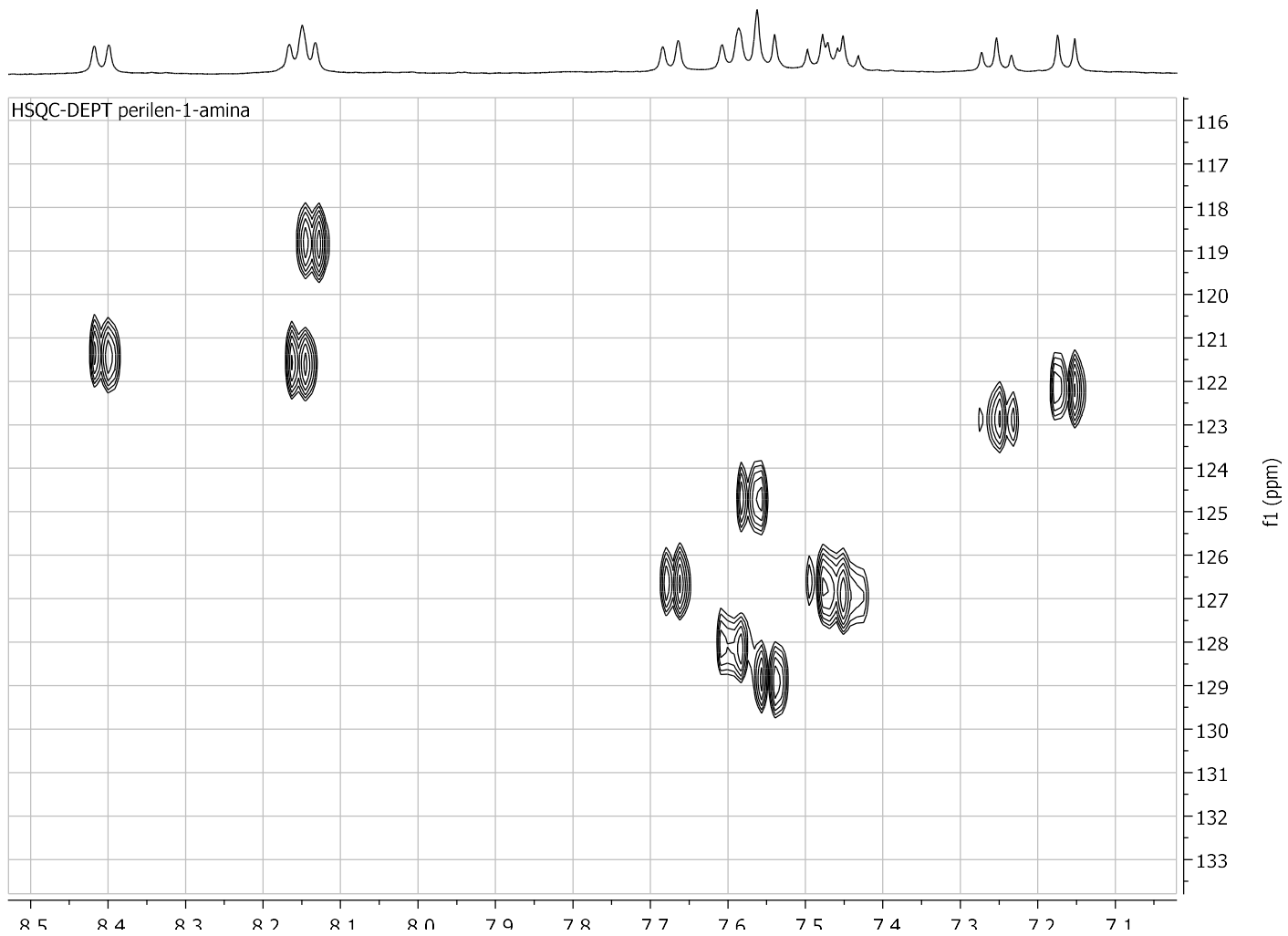
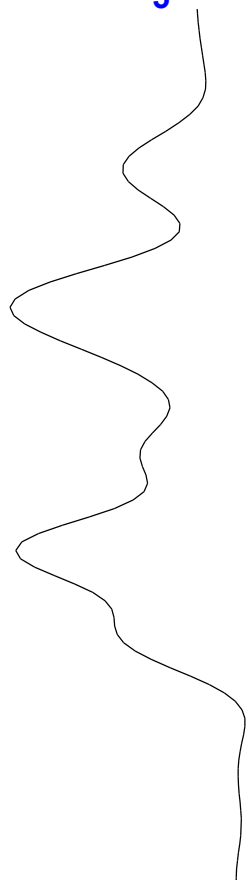
5



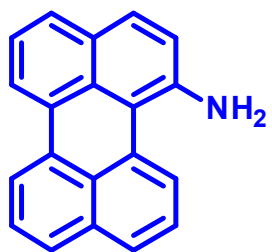
HSQC



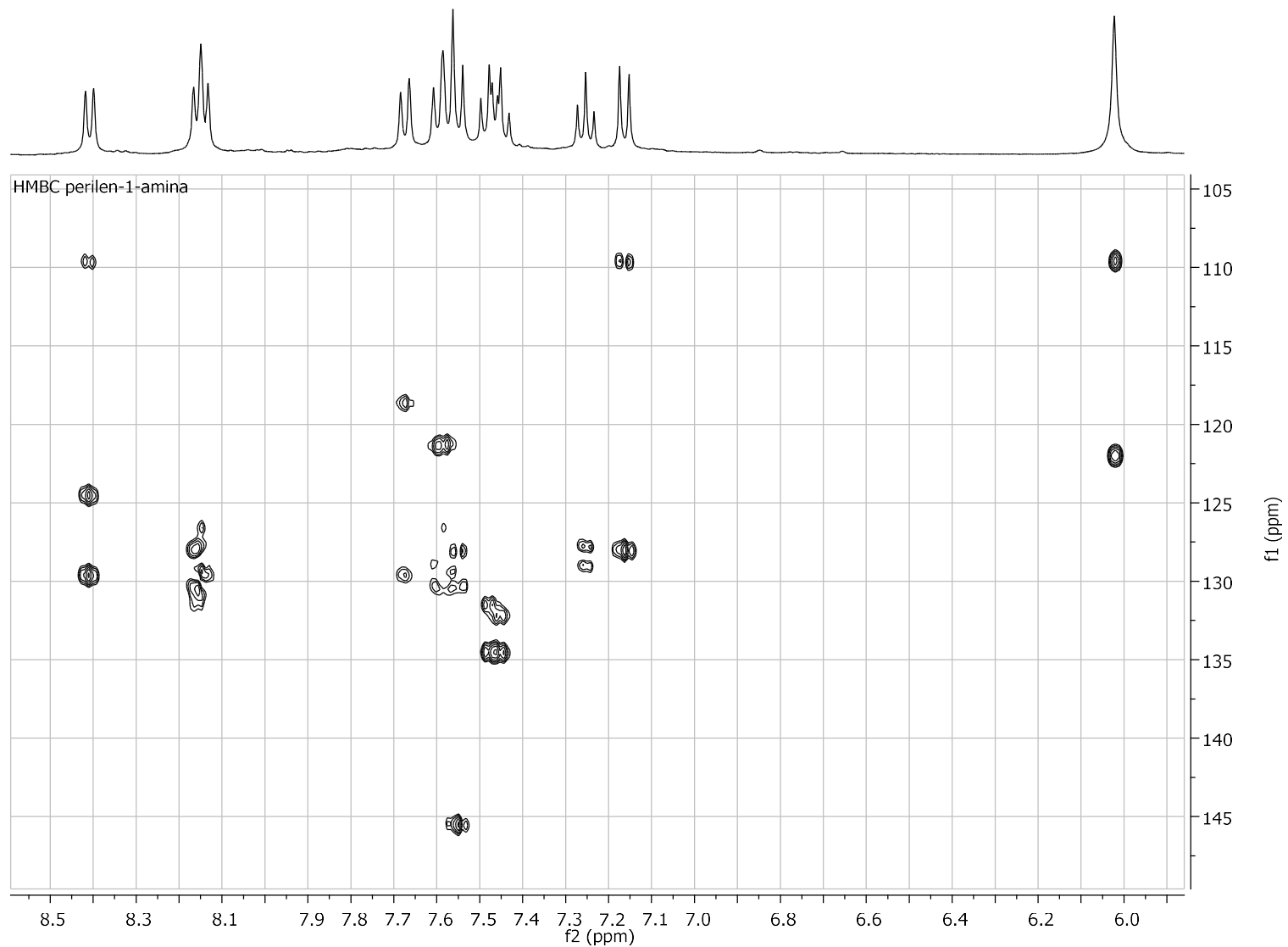
5



HMBC

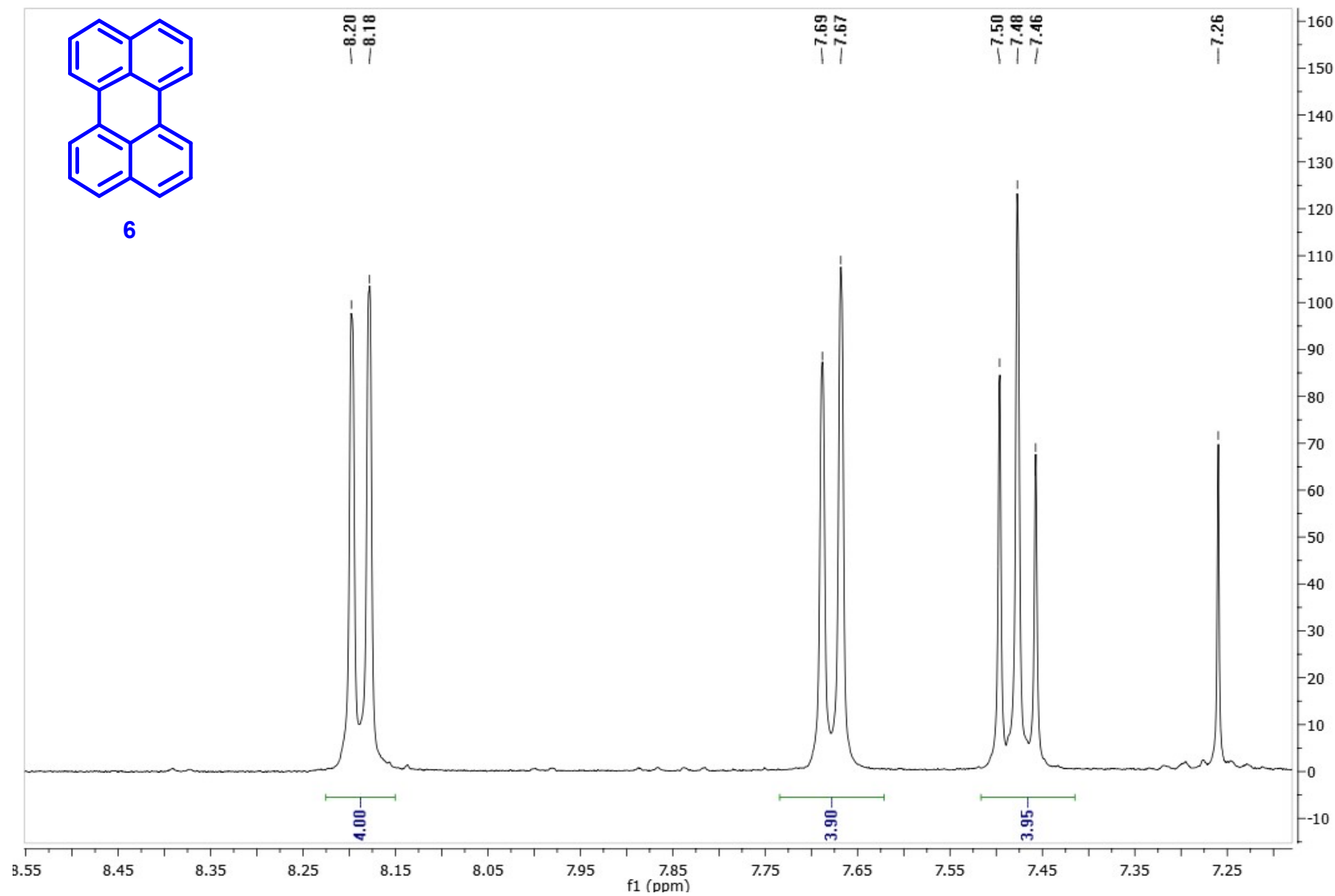


5



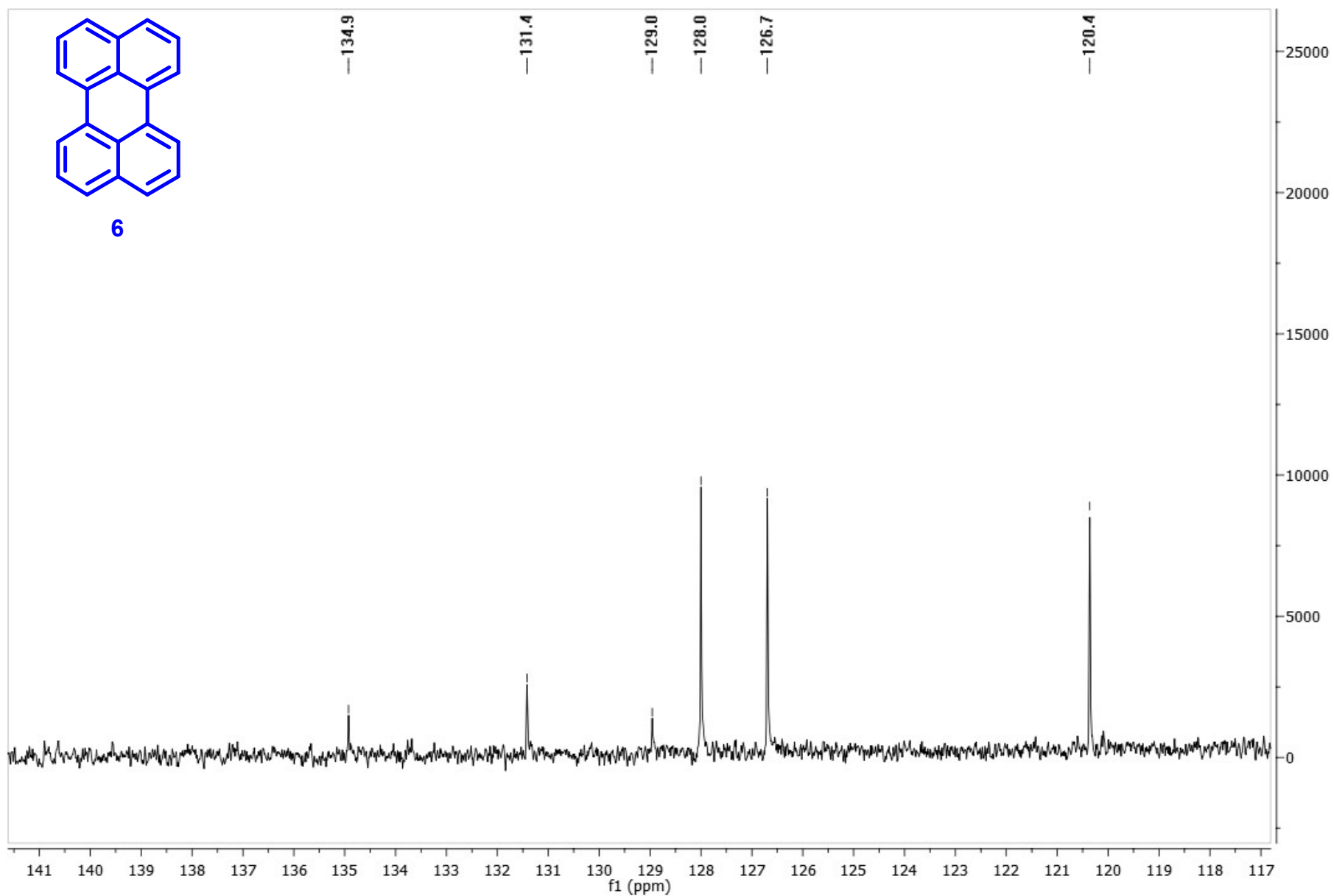
Perileno (6).

¹H-NMR (400 MHz, cloroformo-*d*₁)

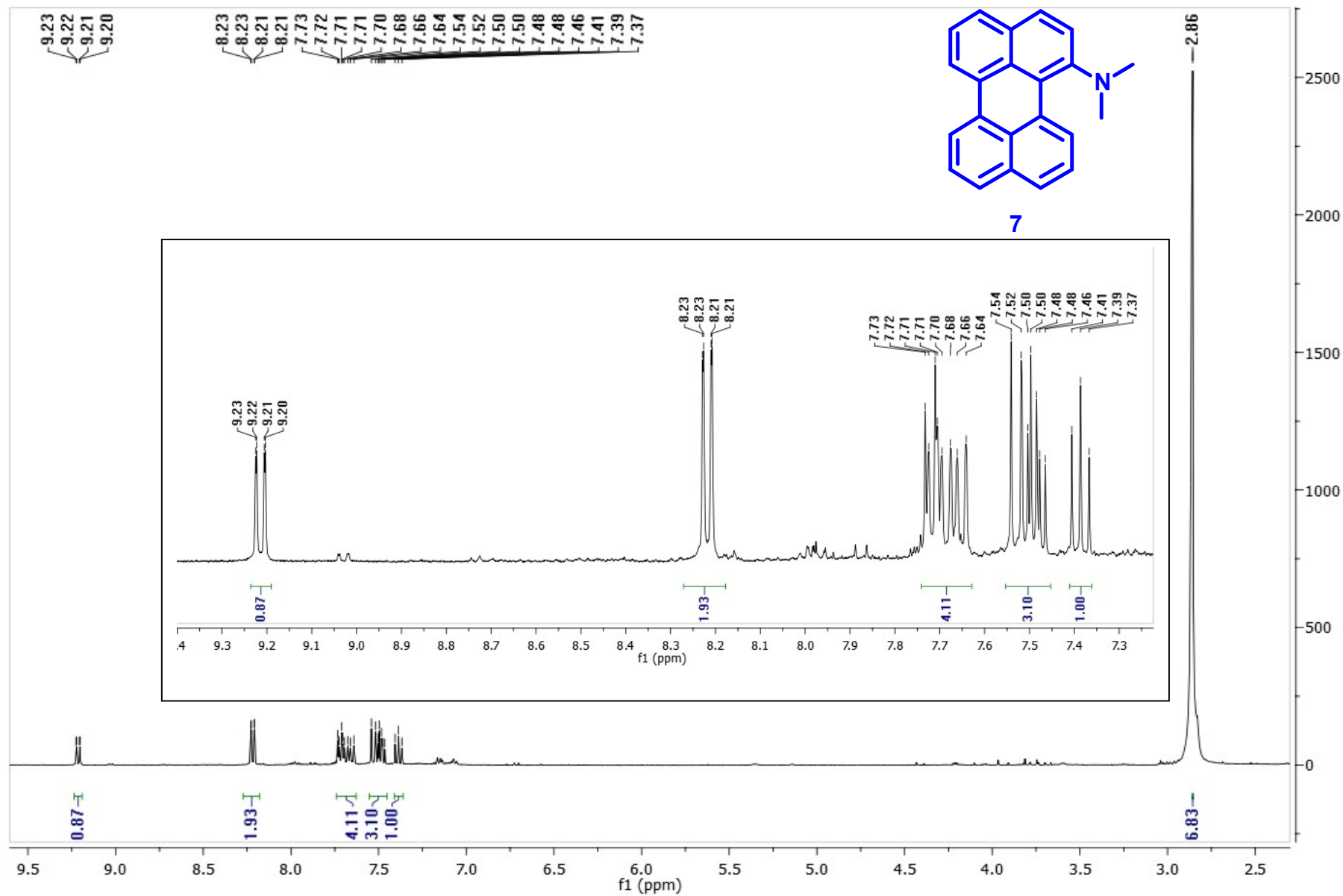


Perileno (6).

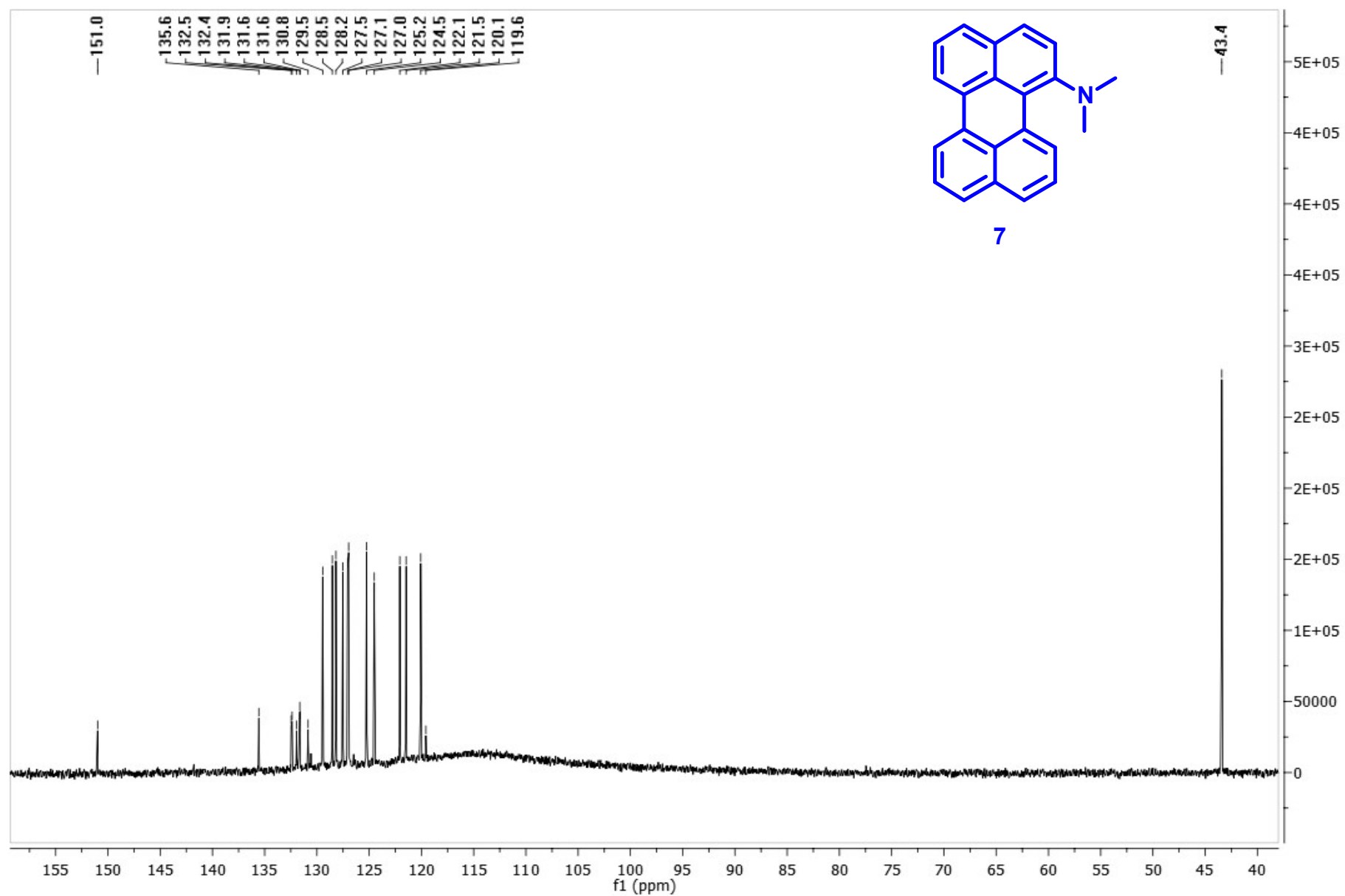
¹³C-NMR (100 MHz, cloroformo-*d*₁)



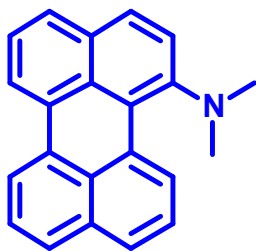
N,N-dimetilperilen-1-amina (7).
¹H-NMR (400 MHz, acetona-d₆)



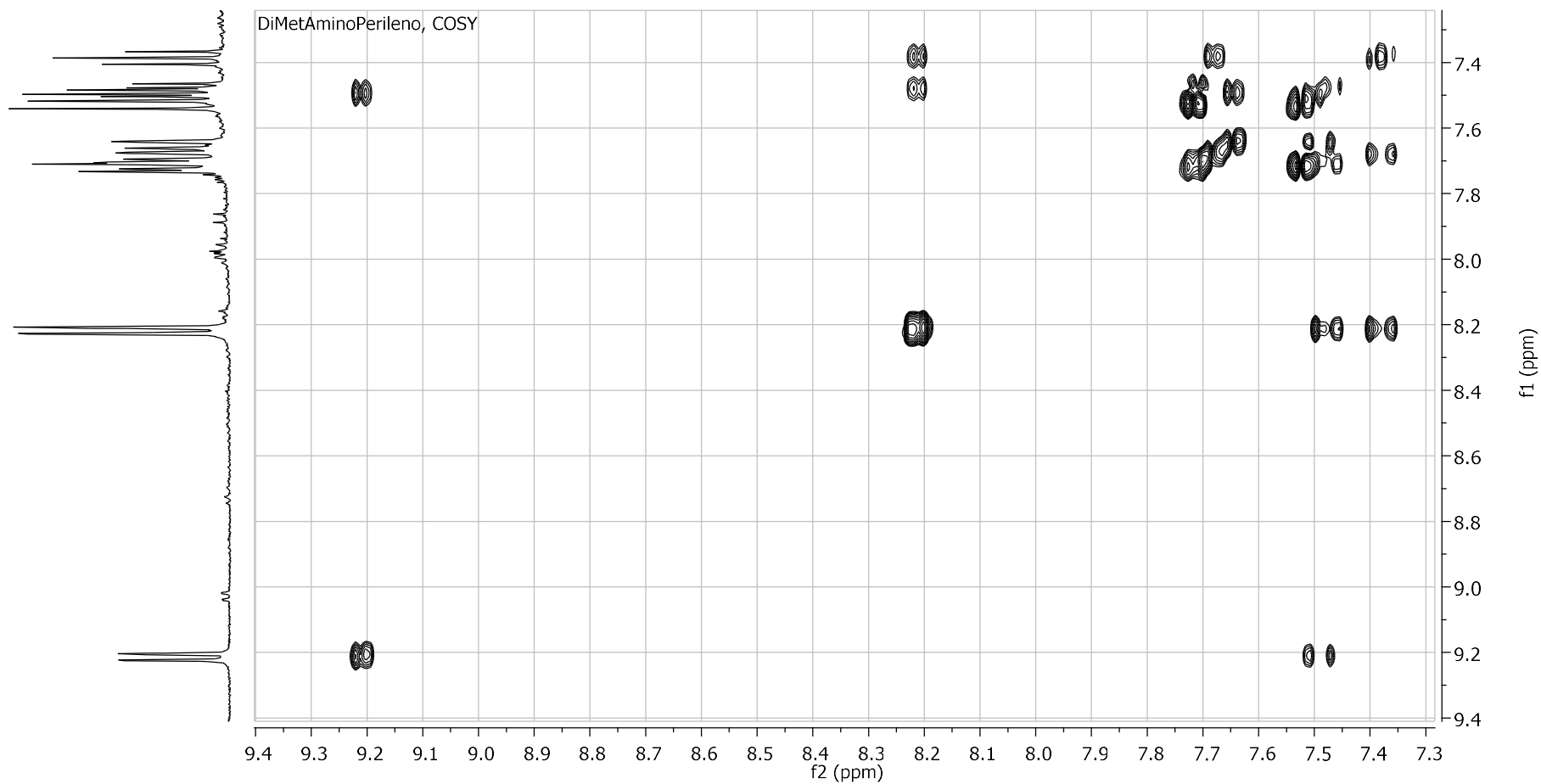
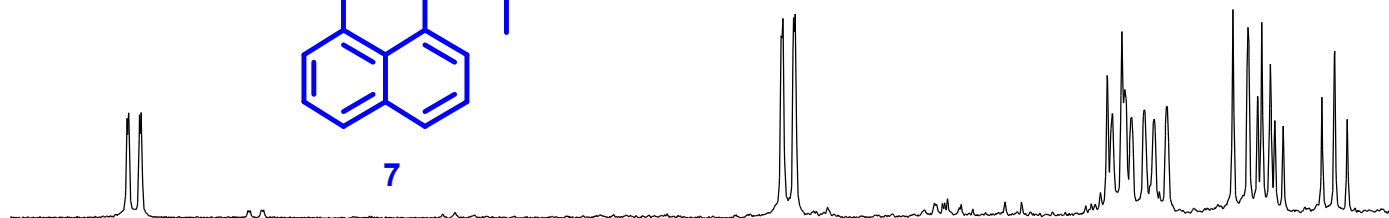
¹³C-NMR (100 MHz, acetona-d₆)



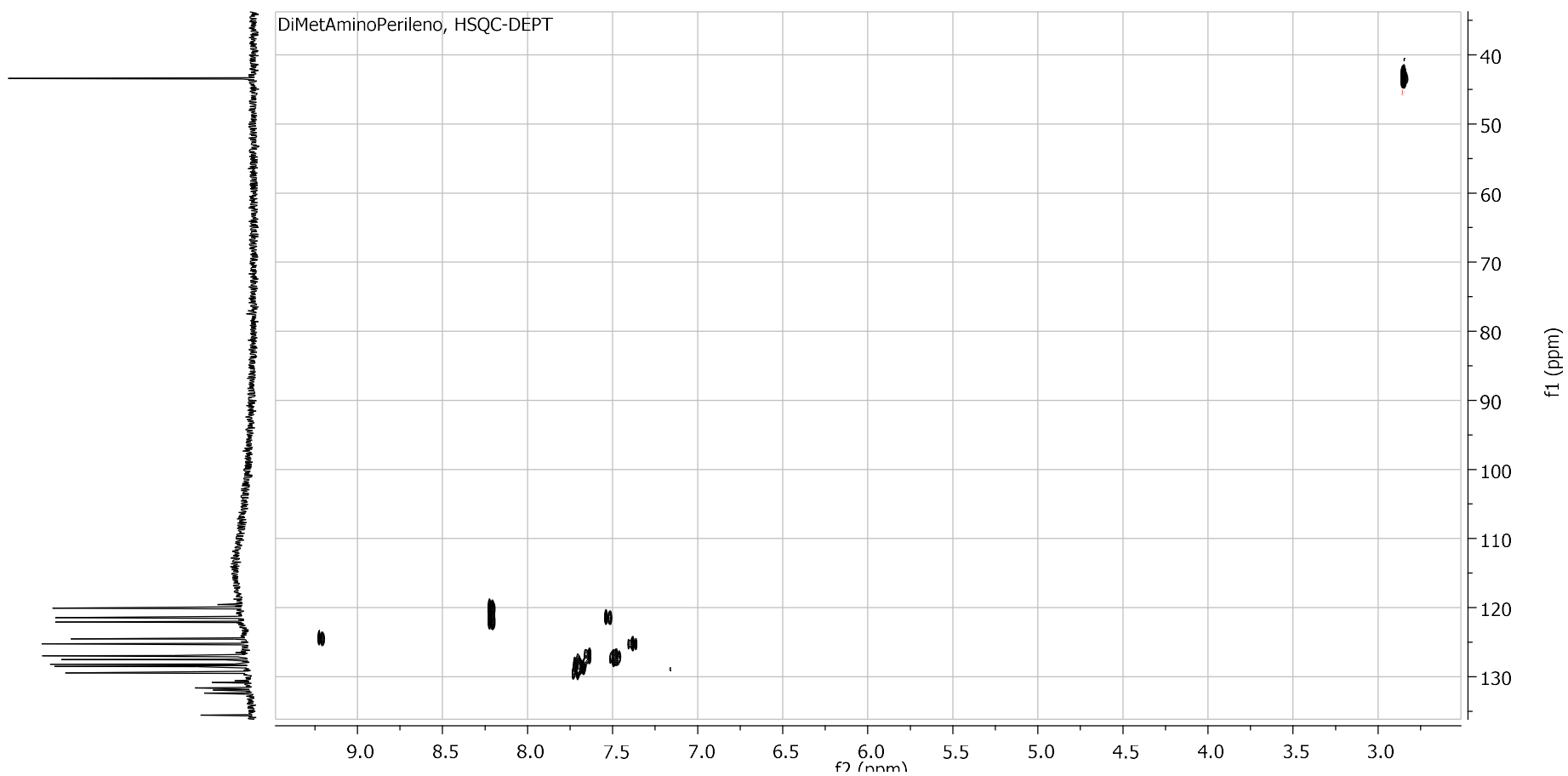
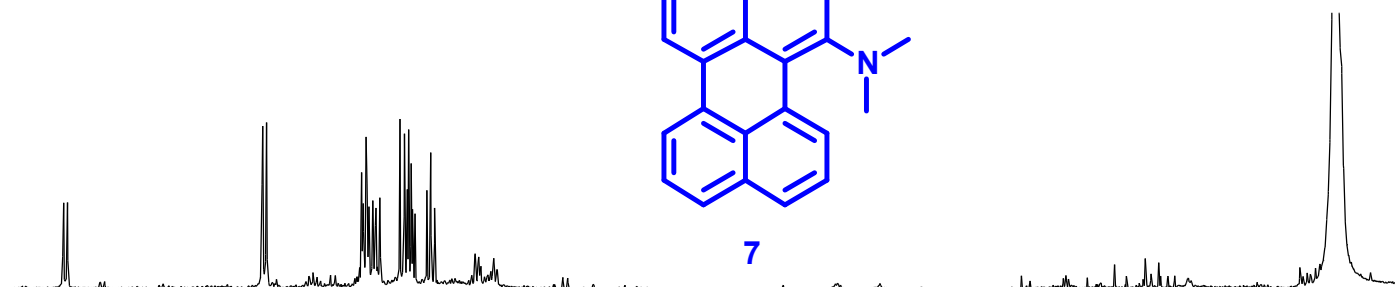
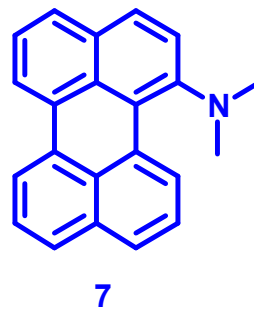
COSY



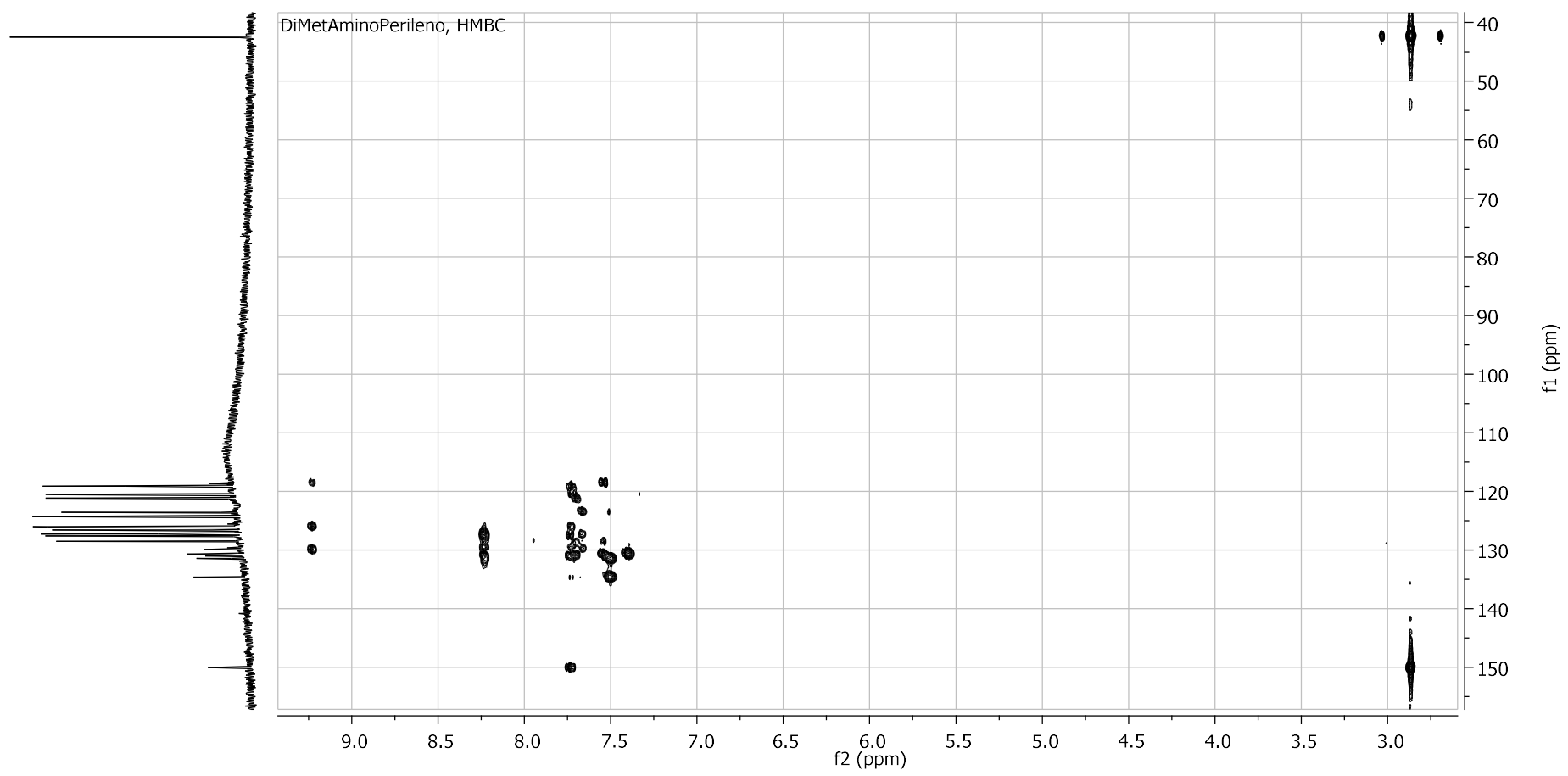
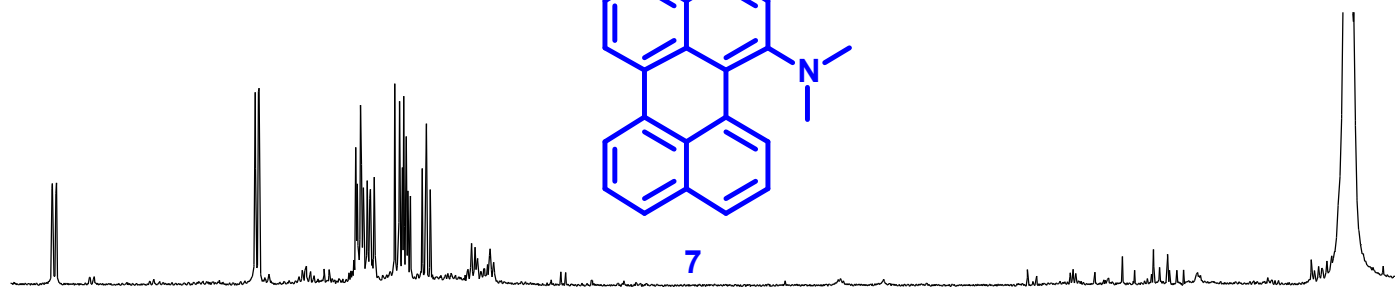
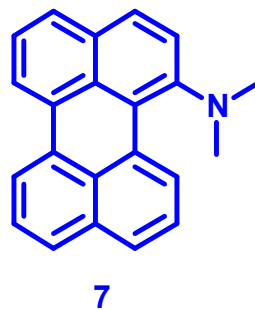
7



HSQC-DEPT

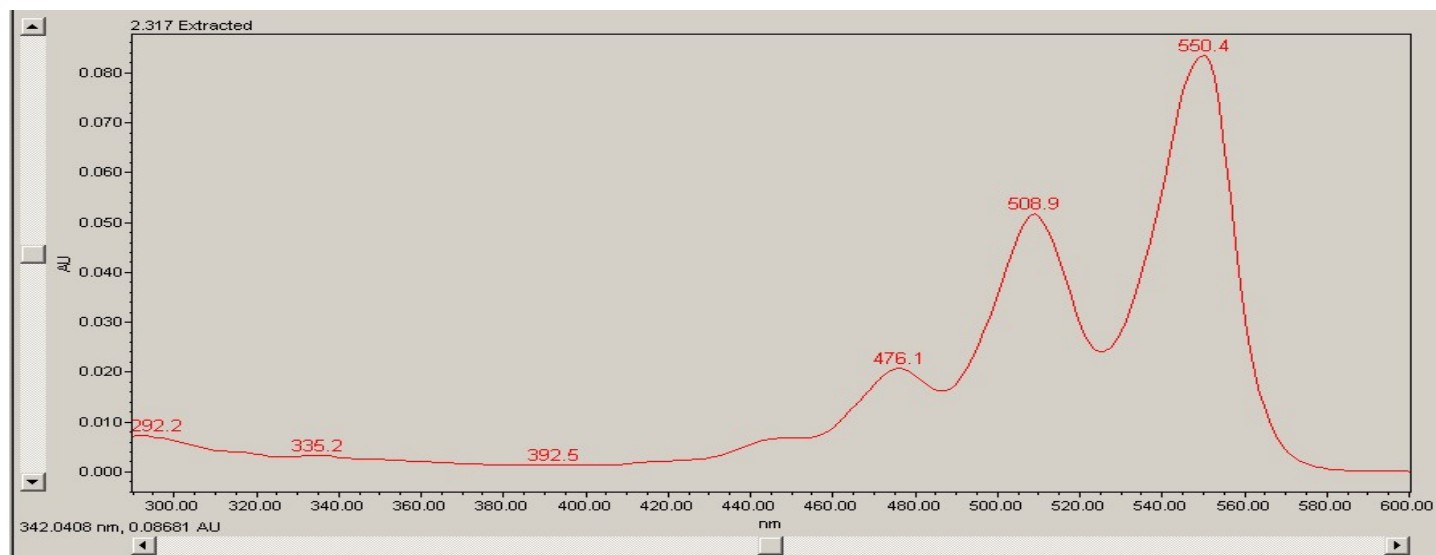


HMBC

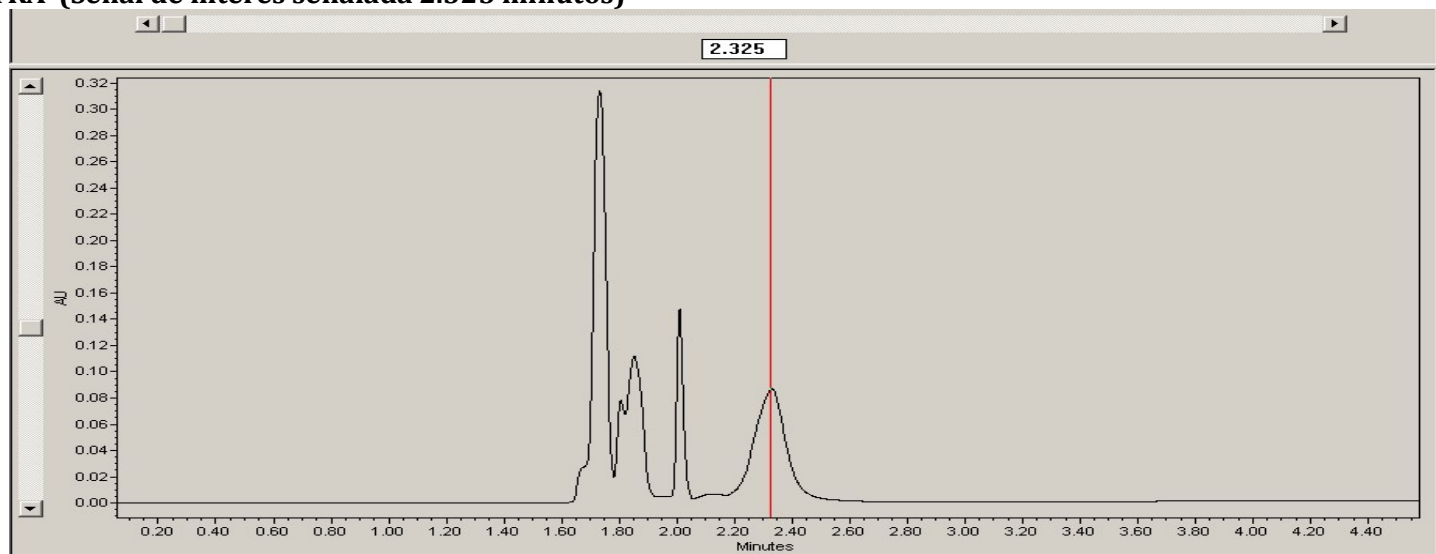


Terrileno (10).

UV-Visible (max plot 290nm – 600nm) con λ_{max} (diclorometano)/nm): 550.4, 508.9, 476.1.



PERFIL DE MUESTRA (Señal de interés señalada 2.325 minutos)



Presentaciones a Congresos

ESTUDIO COMPUTACIONAL DE LA CICLACIÓN OXIDATIVA DE BINAFTALENOS SUSTITUIDOS

AUTORES: Patricia Camargo S, Adriana B. Pierini, Liliana Jiménez y Marcelo Puiatti

TIPO DE PUBLICACIÓN: Presentación Tipo Poster. XXI Simposio Nacional de Química Orgánica. Sociedad Argentina de Investigaciones en Química Orgánica. Potrero de los Funes, San Luis, ARGENTINA, 8 al 9 de Noviembre de 2017. ISSN 2346-9862. Clase: Nacional

SÍNTESIS DE DIBENZOFURANOS POR SUSTITUCIÓN NUCLEOFÍLICA FOTOINDUCIDA UNI- Y BI- MOLECULAR

AUTORES: Patricia Camargo S, Federico Brigante, Adriana B. Pierini y Liliana Jiménez

TIPO DE PUBLICACIÓN: Presentación Tipo Poster. XXI Simposio Nacional de Química Orgánica. Sociedad Argentina de Investigaciones en Química Orgánica. Potrero de los Funes, San Luis, ARGENTINA, 8 al 9 de Noviembre de 2017. ISSN 2346-9862. Clase: Nacional

ESTUDIO DE LA REACCIÓN DE SCHOLL EN LA SÍNTESIS DE COMPUESTOS DERIVADOS DE PERILENO

AUTORES: Patricia Camargo S, Liliana Jiménez y Adriana B. Pierini

TIPO DE PUBLICACIÓN: Presentación Tipo Poster. XX Simposio Nacional de Química Orgánica. Sociedad Argentina de Investigaciones en Química Orgánica. Mar del Plata, Buenos Aires, ARGENTINA, Noviembre de 2015. ISSN 2346-9862, Rosario. Clase: Nacional

REACCIONES DE FOTÓLISIS EN LA SÍNTESIS DE COMPUESTOS AZA-HETEROCÍCLICOS

AUTORES: Patricia Camargo S, Lucas E. Peisino y Adriana B. Pierini

TIPO DE PUBLICACIÓN: Presentación Tipo Poster. XIX Simposio Nacional de Química Orgánica. Sociedad Argentina de Investigaciones en Química Orgánica. Mar del Plata, Buenos Aires, ARGENTINA, Noviembre de 2013. ISSN 2346-9862, Rosario. Clase: Nacional

Publicaciones Generadas

- ❖ Camargo Solórzano, G. Patricia, Jiménez, Liliana B.; Brigante, Federico A.; Pierini Adriana. *"PHOTOINDUCED SYNTHESIS OF DIBENZOFURANS. INTRAMOLECULAR AND INTERMOLECULAR COMPARATIVE METHODOLOGIES"*. **2018** (En proceso de publicación, aceptado con correcciones).
- ❖ Peisino Lucas, Camargo Solórzano G. Patricia, Budén María, Pierini Adriana. *"ITERATIVE DOUBLE CYCLIZATION REACTION BY $S_{RN}1$ MECHANISM. A THEORETICAL INTERPRETATION OF THE REGIOCHEMICAL OUTCOME OF DIAZAHETEROCYCLES"*. RSC Advances. **2015**. Vol. 5, 36374 - 36384. Clase: Internacional ISSN 2046-2069.